

VALENCIA

NORTE

Luis Angel Alonso Matilla



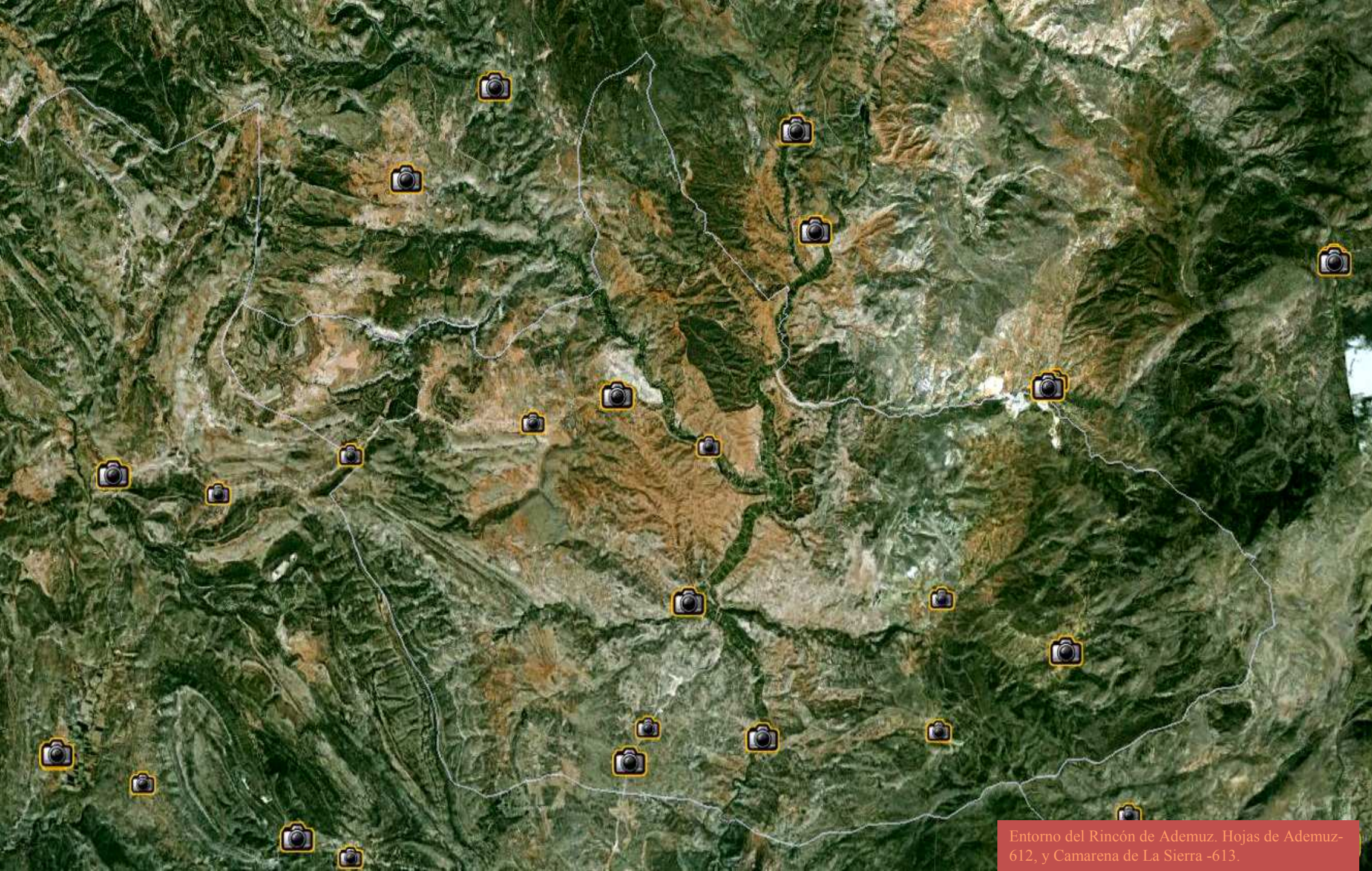
*Dedicado a Doña María José Peluso Carbonell,
porque también es eterna.*



..... *Y luego dirán que son solo piedras. NW de Estivella.*



En Chulilla. ... Valencia, ... algunos se lo ven como una playa, e... No saben lo que se pierden.. (foto de sistemas-google)



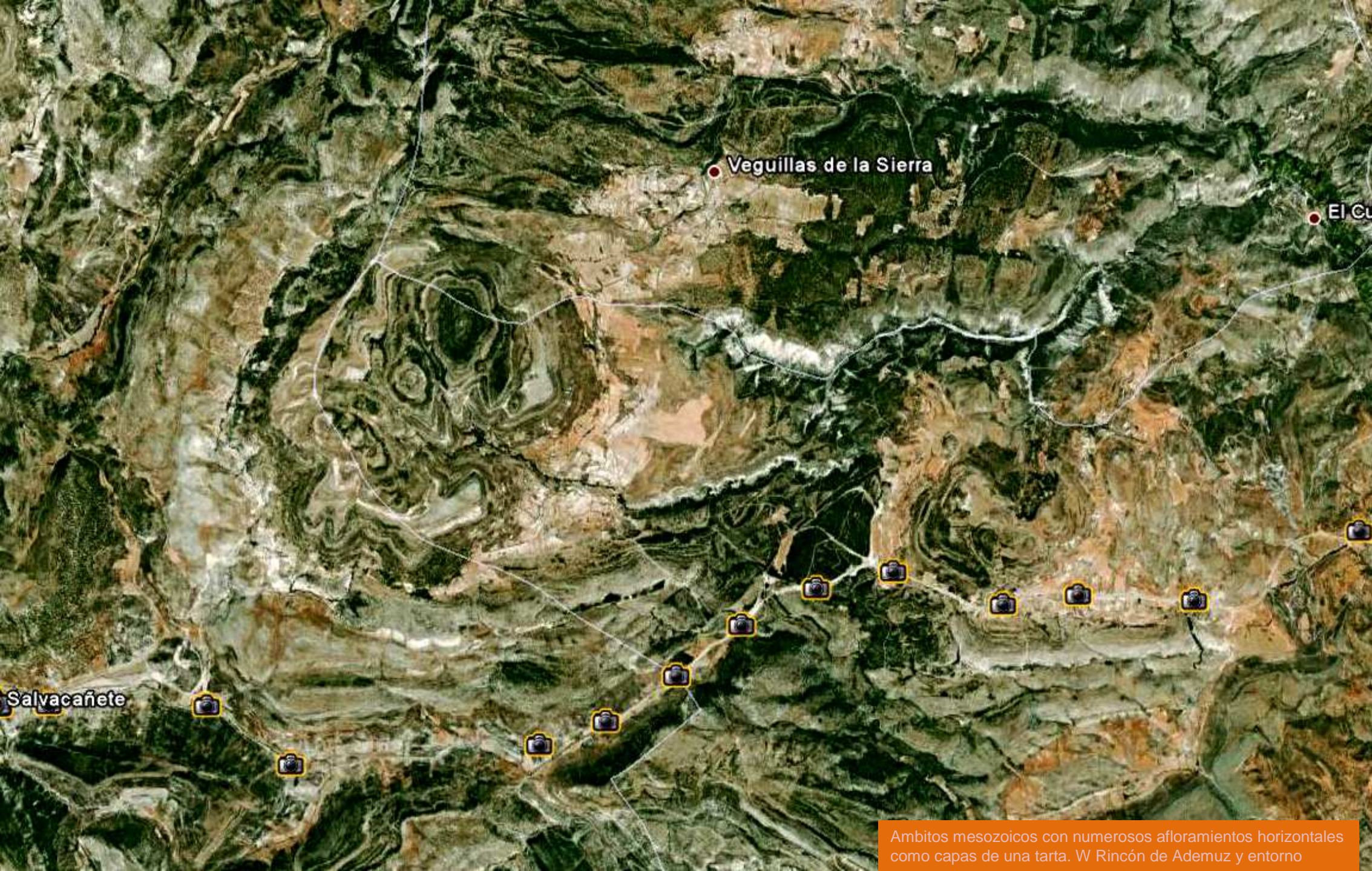
Entorno del Rincón de Ademuz. Hojas de Ademuz-612, y Camarena de La Sierra -613.



Perspectiva desde el S del entorno del Rincón de Ademuz- línea azul cerrada. Hojas de Ademuz-612, y Camarena de La Sierra -613. Y la falla Teruel-Alfambra.



Dolomías- calizas Jurásico Inf. fuertemente tectonizadas. W de región de Ademuz



Veguillas de la Sierra

El Cu

Salvacañete

Ambitos mesozoicos con numerosos afloramientos horizontales como capas de una tarta. W Rincón de Ademuz y entorno



Dolomías y calizas dolomíticas Liásico, Jurásico Inf.
Comienzo de falla. W de Hontanar. W de región de Ademuz



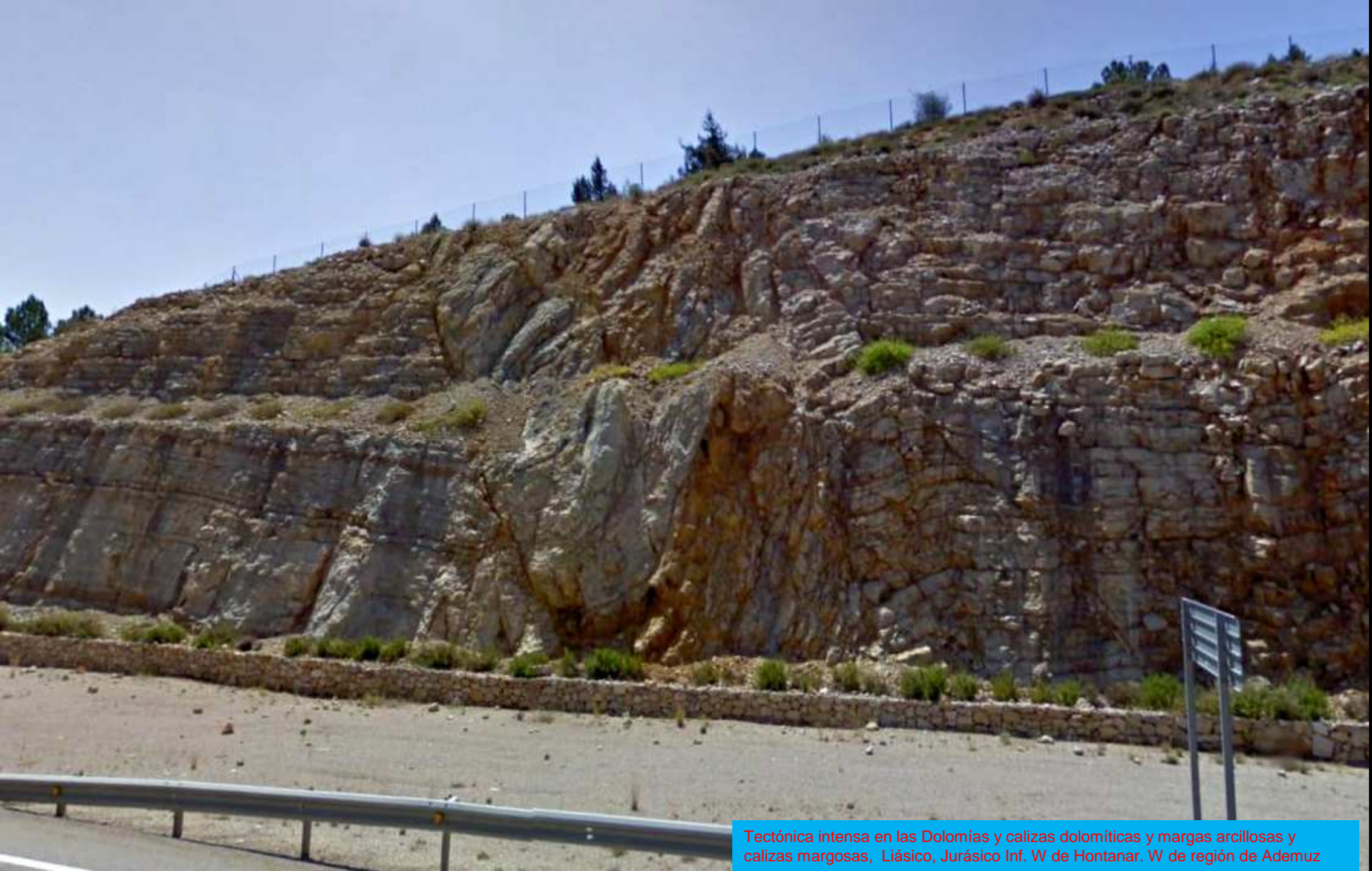
Tectónica intensa en las Dolomías y calizas dolomíticas
Liásico, Jurásico Inf. W de Hontanar. W de región de Ademuz



Tectónica intensa en las Dolomías y calizas dolomíticas
Liásico, Jurásico Inf. W de Hontanar. W de región de Ademuz



Tectónica intensa en las Dolomías y calizas dolomíticas Liásico, Jurásico Inf. W de Hontanar, W de región de Ademuz



Tectónica intensa en las Dolomías y calizas dolomíticas y margas arcillosas y calizas margosas, Liásico, Jurásico Inf. W de Hontanar. W de región de Ademuz



Evolución de pliegues a falla en dolomías y calizas dolomíticas Liásico, Jurásico Inf. W de Hontanar. W de región de Ademuz



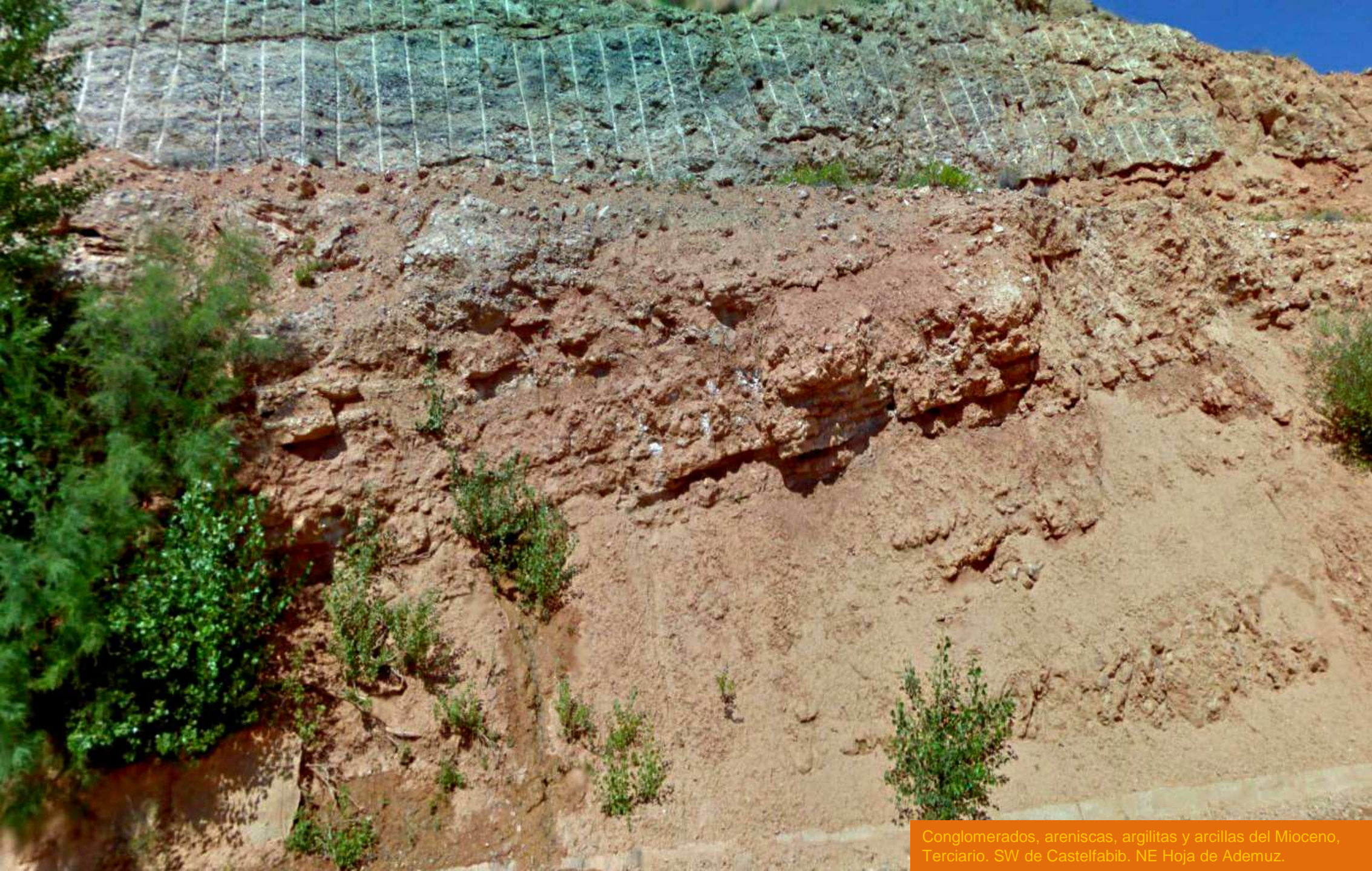
Dolomías y calizas dolomíticas Liásico, Jurásico Inf. fuertemente tectonizadas. W de Hontanar. W de región de Ademuz



Calizas arenosas, arcillas y margas calizas Cenomanenses Cretácico Sup. E de Hontanar. Centro N Hoja de Ademuz.



Conglomerados del Mioceno, Terciario. SW de Castelfabib. NE Hoja de Ademuz.



Conglomerados, areniscas, argilitas y arcillas del Mioceno, Terciario. SW de Castelfabib. NE Hoja de Ademuz.



Areniscas, argilitas y arcillas del Mioceno, Terciario.
SW de Castelfabib. NE Hoja de Ademuz.



Areniscas, argilitas y arcillas del Mioceno, Terciario. S de Castelfabib. NE Hoja de Ademuz.



Areniscas, argilitas y arcillas del Mioceno, Terciario. SE de Castelfabib. NE Hoja de Ademuz.



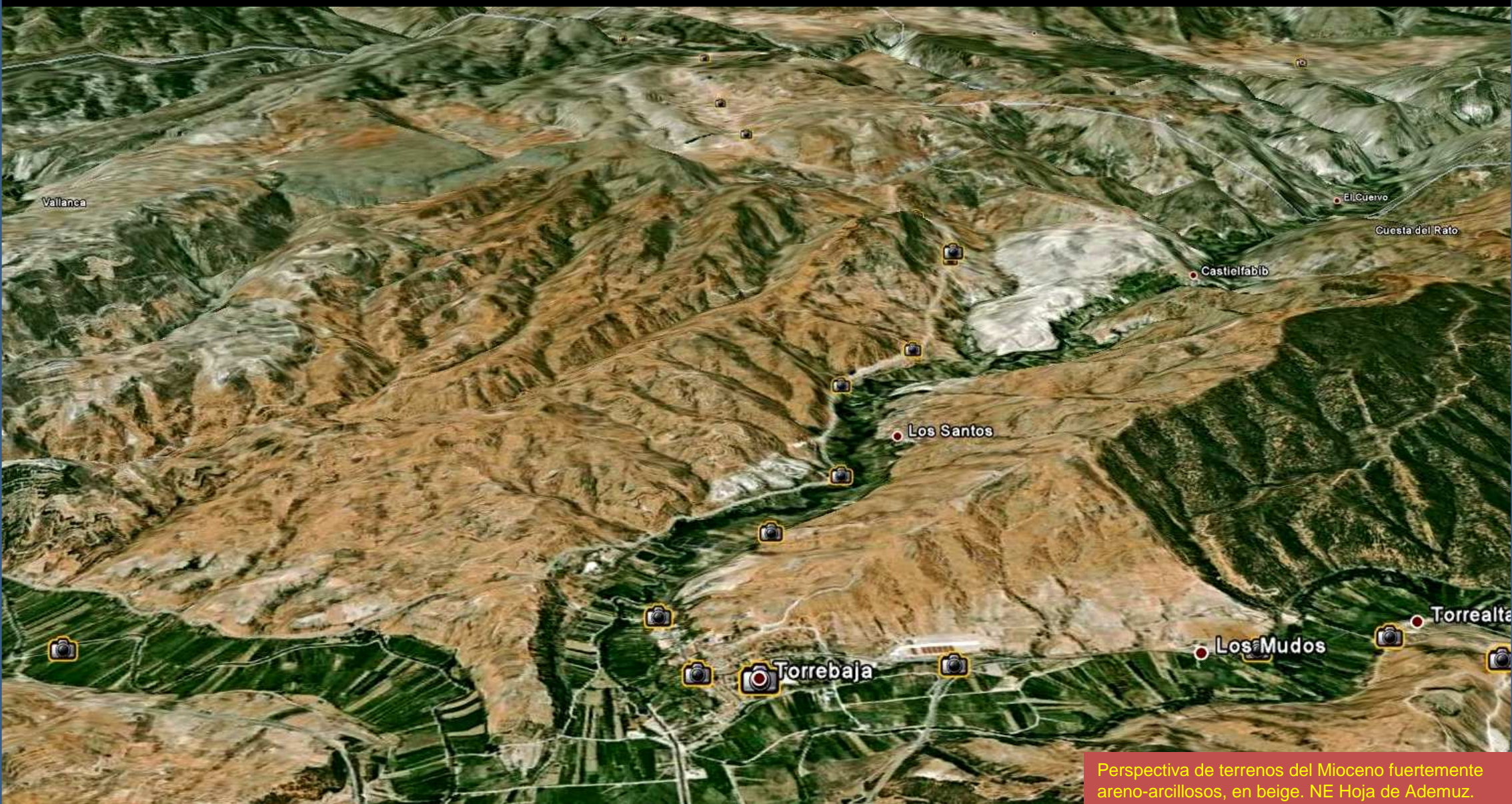
Fosa del Río Ebrón al SE de Castelfabib. Relieves casi todos- del Mioceno Terciario. NE Hoja de Ademuz.



Relieves y depósitos fallados del Mioceno, Terciario. E de Los Santos. E Hoja de Ademuz.



Taludes metaestables de areniscas, argilitas y arcillas del Mioceno, Terciario. E de Los Santos. E Hoja de Ademuz.



Vallanca

El Cuervo

Cuesta del Rato

Castielfabib

Los Santos

Torrealta

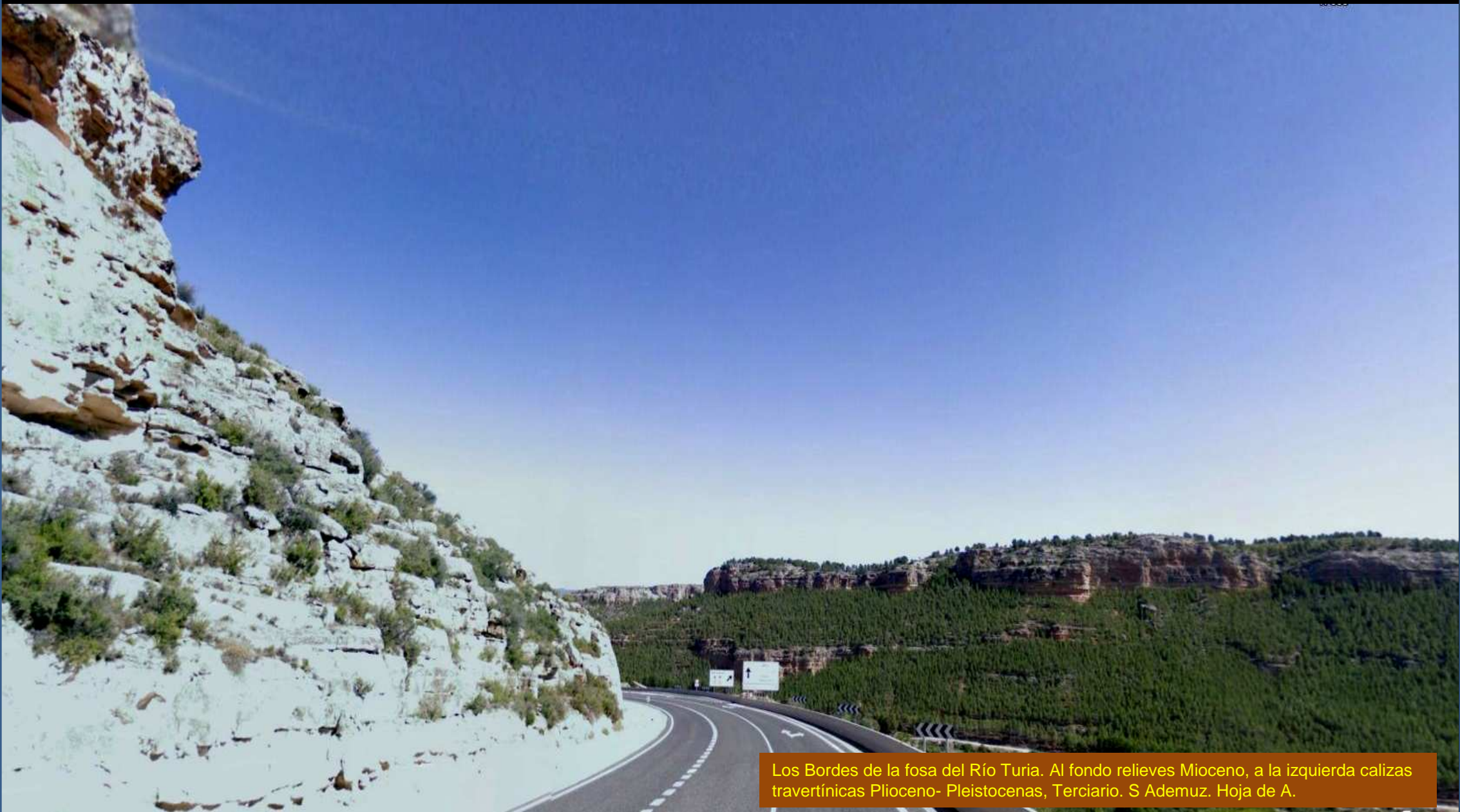
Los Mudos

Torrebaña

Perspectiva de terrenos del Mioceno fuertemente arenos-arcillosos, en beige. NE Hoja de Ademuz.



Conglomerados, areniscas, argilitas y arcillas. Mioceno, Terciario al E de Torre Alta. E Hoja de Ademuz.



Los Bordes de la fosa del Río Turia. Al fondo relieves Mioceno, a la izquierda calizas travertínicas Plioceno- Pleistocenas, Terciario. S Ademuz. Hoja de A.



Calizas travertínicas Plioceno- Pleistocenas, Terciario. S Ademuz. Hoja de A.



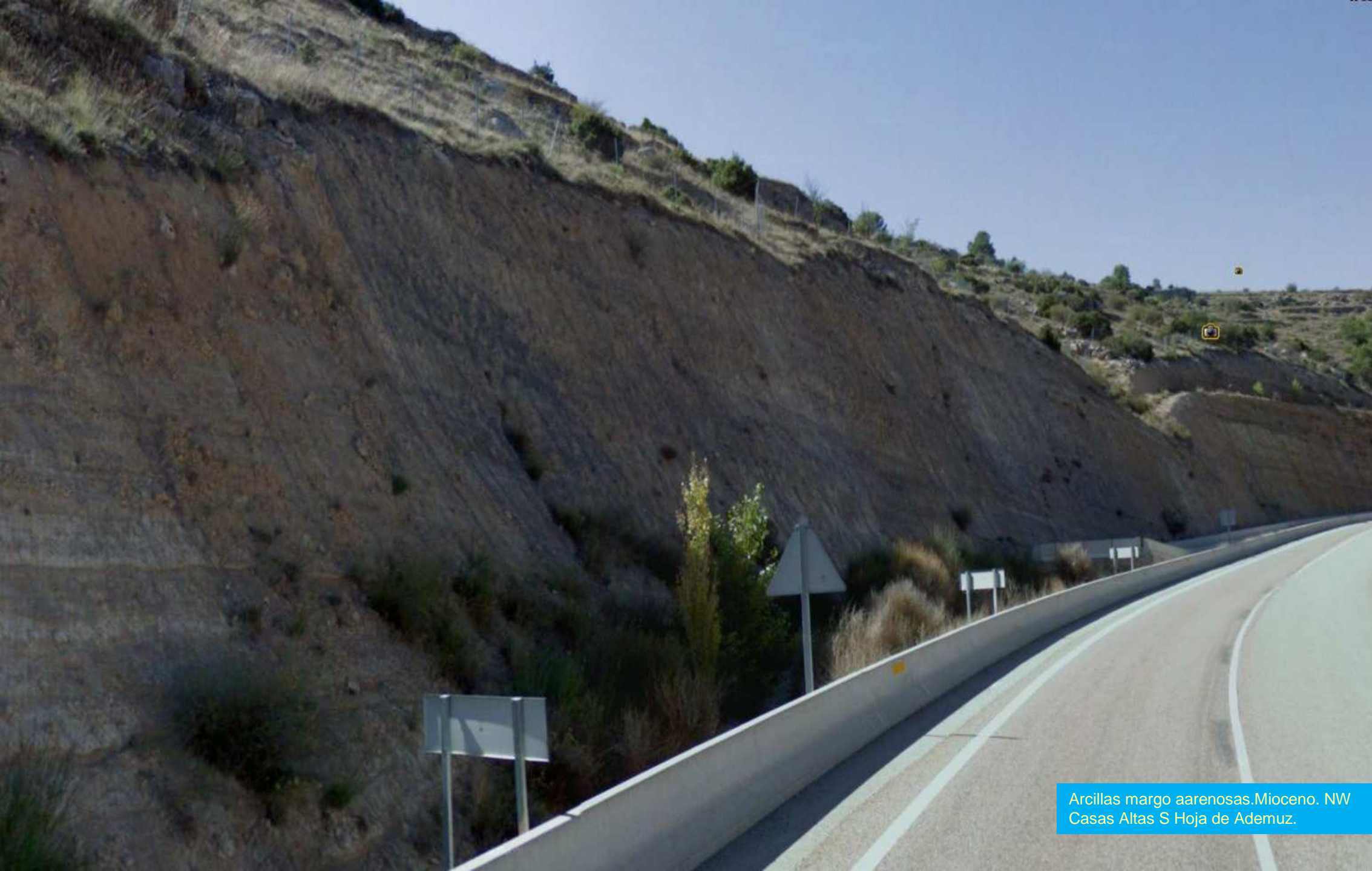
Tratamiento de talud en calizas travertínicas Plioceno-Pleistocenas, Terciario. S Ademuz. Hoja de A.



Talud natural en las anteriores – zona adjunta- calizas travertínicas Plioceno- Pleistocenas, Terciario. S Ademuz. Hoja de A.



Bordes de la fosa del Río Turia. Al fondo relieves Mioceno, a la izquierda calizas travertínicas Plioceno- Pleistocenas, Terciario. S Ademuz. Hoja de A.



Arcillas margo arenosas.Mioceno. NW
Casas Altas S Hoja de Ademuz.



Arcillas margo arenosas. Mioceno. NW Casas Altas S Hoja de Ademuz.



Talud con cambio lateral de facies. Sedimentos Mioceno. Terciario. W de Casas Altas. E Hoja de Ademuz.



Tramo superior a los materiales de la imagen anterior. Sedimentos Mioceno. Terciario. W de Casas Altas. E Hoja de Ademuz.



Por encima de los tramos anteriores. Sedimentos Mioceno. Terciario. W de Casas Altas. E Hoja de Ademuz.



Arenas caoliníferas con cantos. F. Utrillas. Cretácico Inf. NW de Puebla de San Miguel. SW Hoja de Camarena de la Sierra.



Arenas caoliníferas con cantos. F. Utrillas. Cretácico Inf. NW de Puebla de San Miguel. SW Hoja de Camarena de la Sierra.



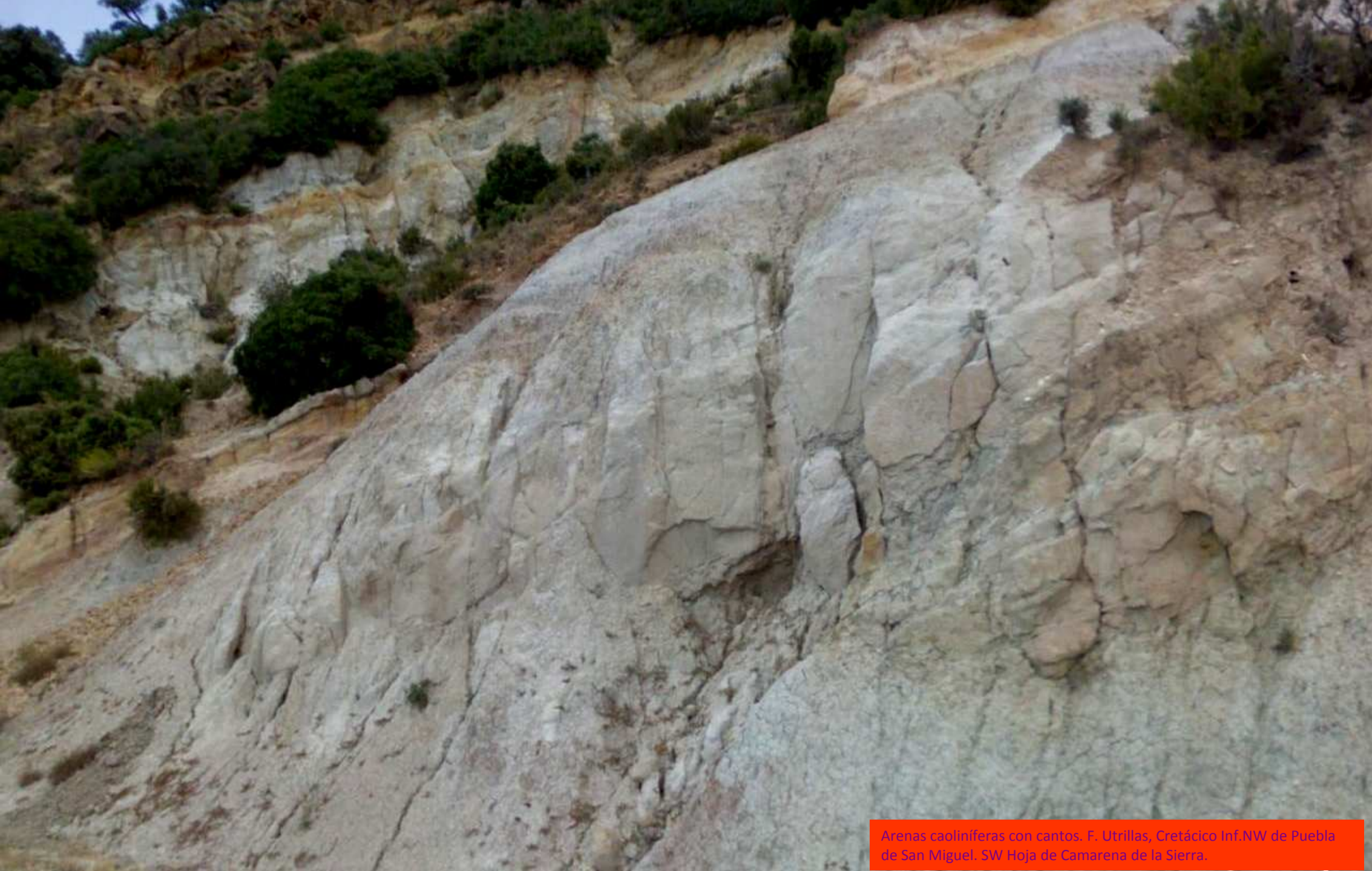
Arenas caoliníferas con cantos. F. Utrillas. Cretácico Inf. NW de Puebla de San Miguel. SW Hoja de Camarena de la Sierra.



Arenas caoliníferas con cantos y arcillas. F. Utrillas, Cretácico Inf. cubierta de derrubios de ladera. NW de Puebla de San Miguel. SW Hoja de Camarena de la Sierra.



Arenas caoliníferas con cantos. F. Utrillas, Cretácico Inf. Falladas. NW de Puebla de San Miguel. SW Hoja de Camarena de la Sierra.



Arenas caoliníferas con cantos. F. Utrillas, Cretácico Inf. NW de Puebla de San Miguel. SW Hoja de Camarena de la Sierra.



Arenas caoliníferas con cantos, areniscas, F. Utrillas, Cretácico Inf. NW de Puebla de San Miguel. SW Hoja de Camarena de la Sierra.



Arenas caoliníferas con cantos. F. Utrillas, Cretácico Inf. NW de Puebla de San Miguel. SW Hoja de Camarena de la Sierra.



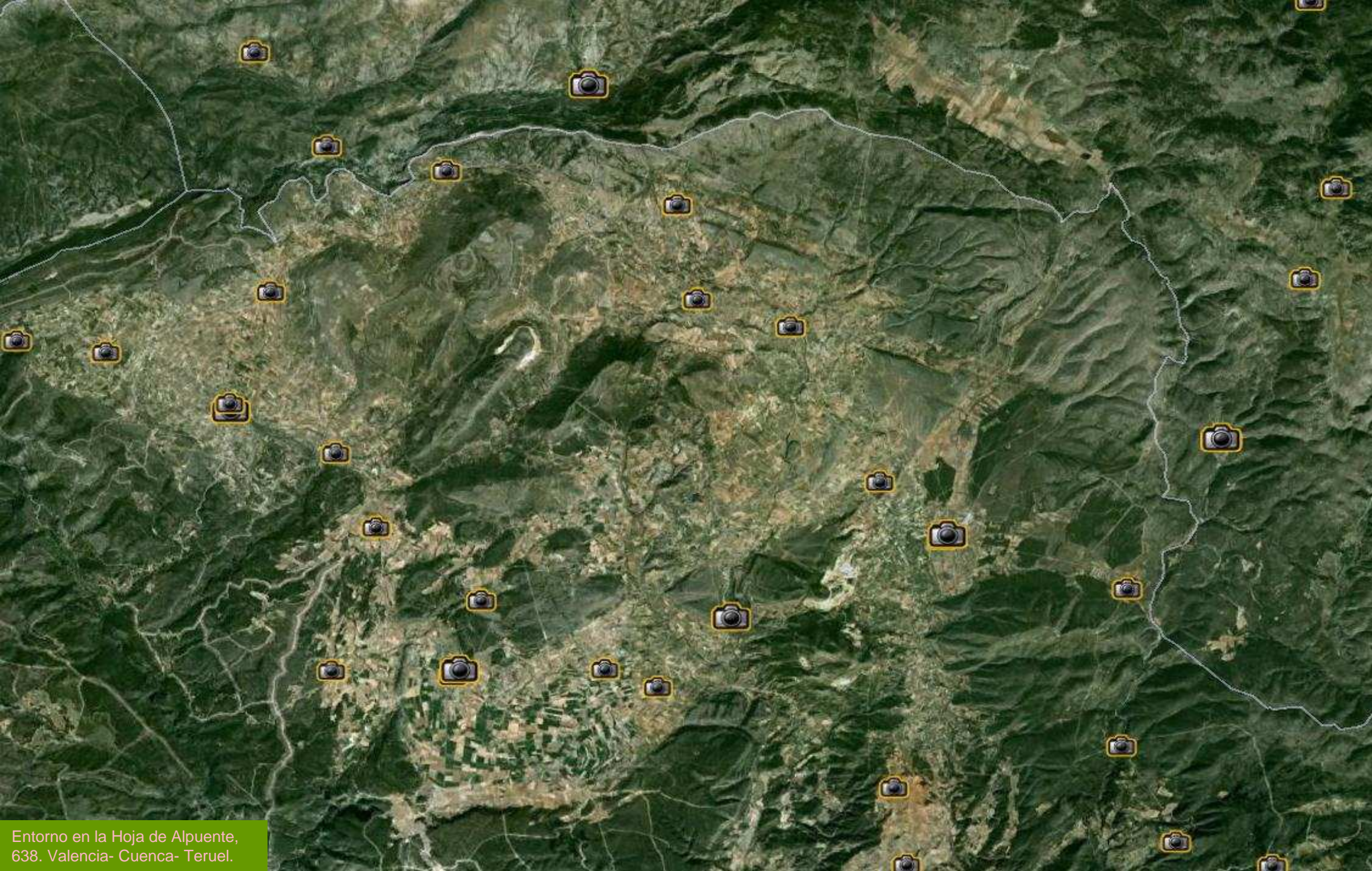
Calizas arenosas y margocalizas. Cretácico Sup. Al S de Mas de Olmo. W hoja de Camarena de la Sierra



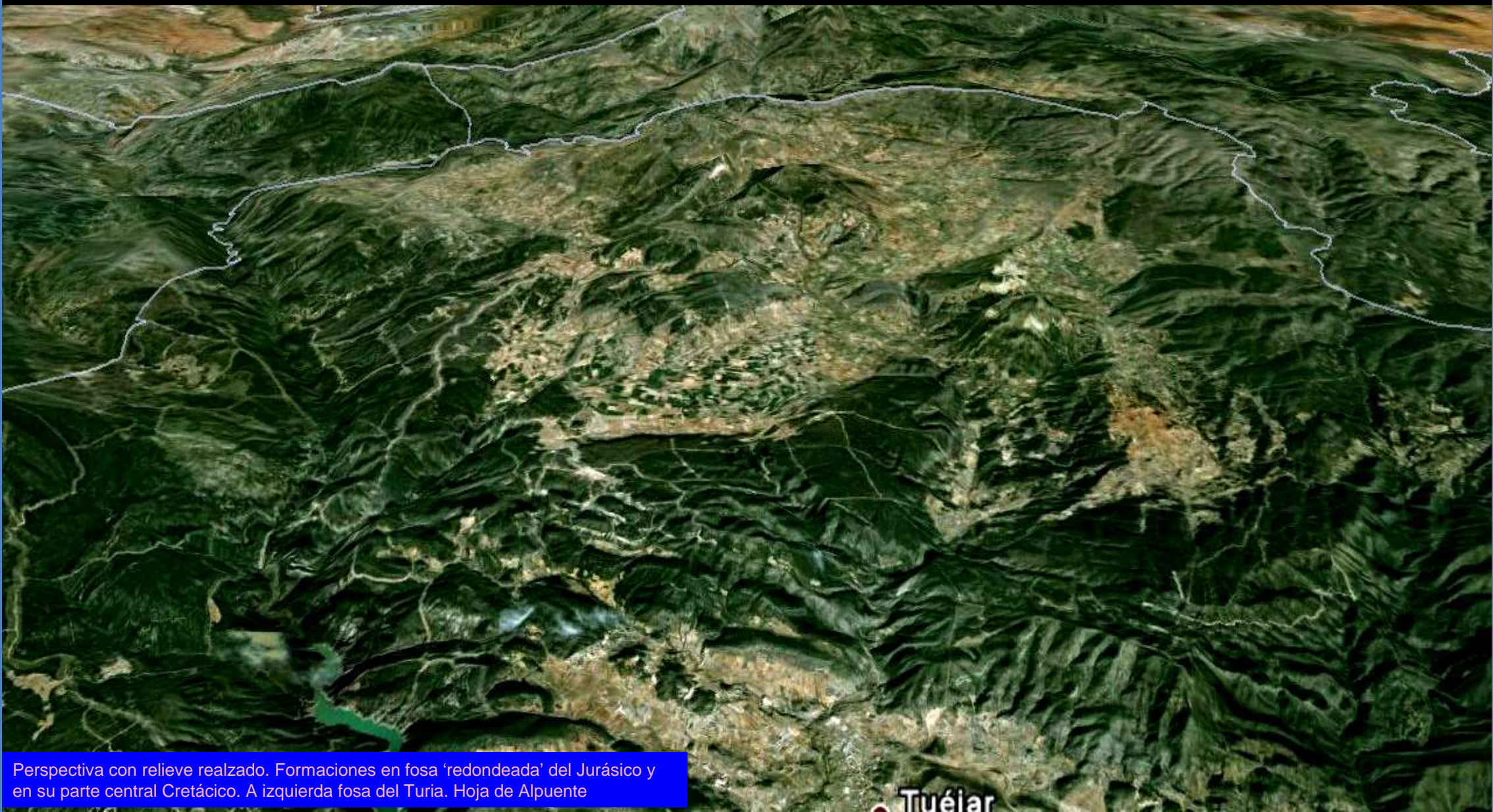
Calizas del Kimmeridgiense Sup. Jurásico. S de Puebla de San Miguel. SW Hoja de Camarena de la Sierra.



Calizas del Kimmeridgiense Sup. Jurásico. S de Puebla de San Miguel. SW Hoja de Camarena de la Sierra.

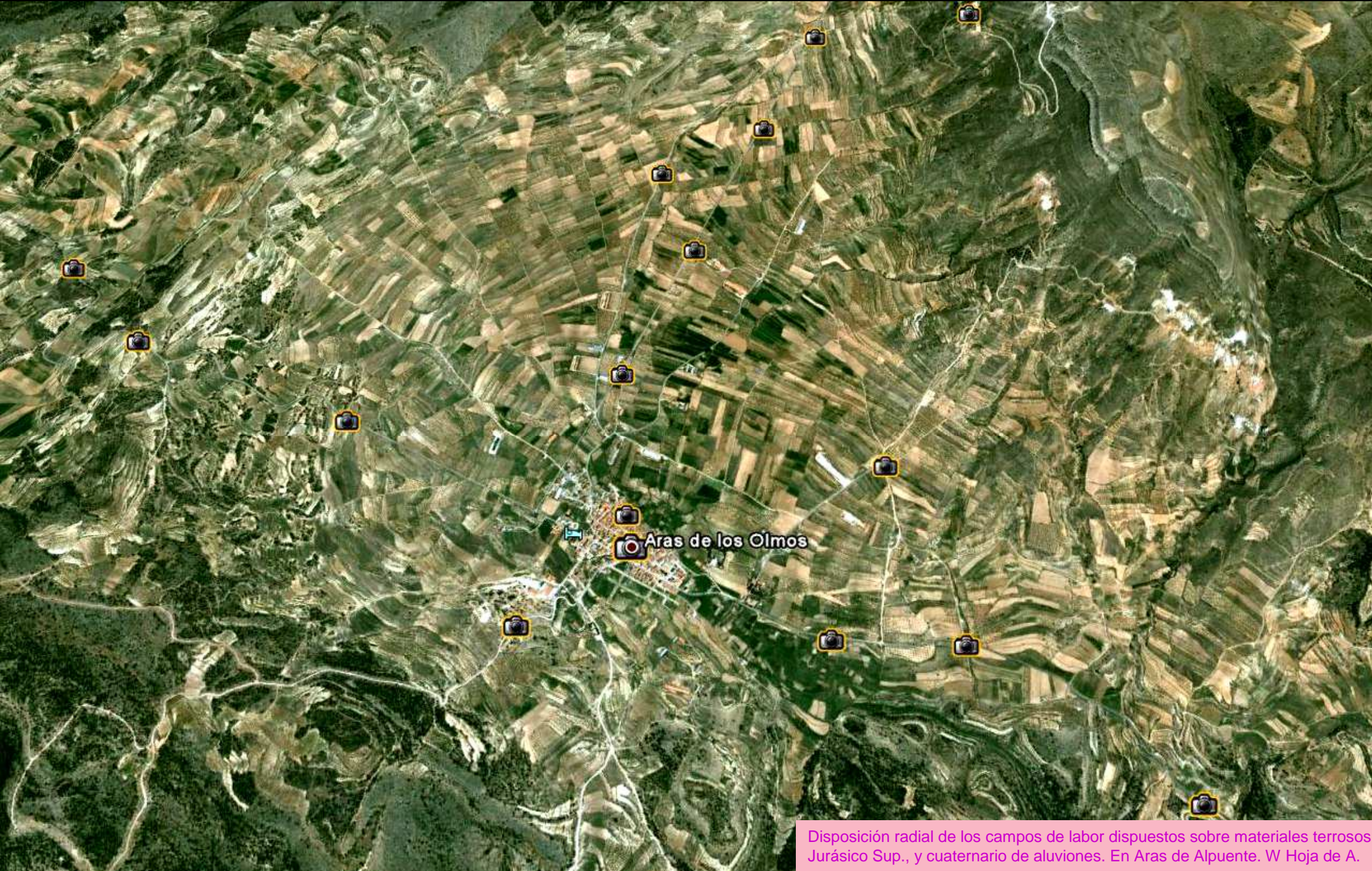


Entorno en la Hoja de Alpuente.
638. Valencia- Cuenca- Teruel.



Perspectiva con relieve realzado. Formaciones en fosa 'redondeada' del Jurásico y en su parte central Cretácico. A izquierda fosa del Turia. Hoja de Alpuente

Tuéjar



Aras de los Olmos

Disposición radial de los campos de labor dispuestos sobre materiales terrosos Jurásico Sup., y cuaternario de aluviones. En Aras de Alpuente. W Hoja de A.



Relieves cretácicos - 'La Muela'- de formaciones subhorizontales. Centro N Hoja de Alpuente



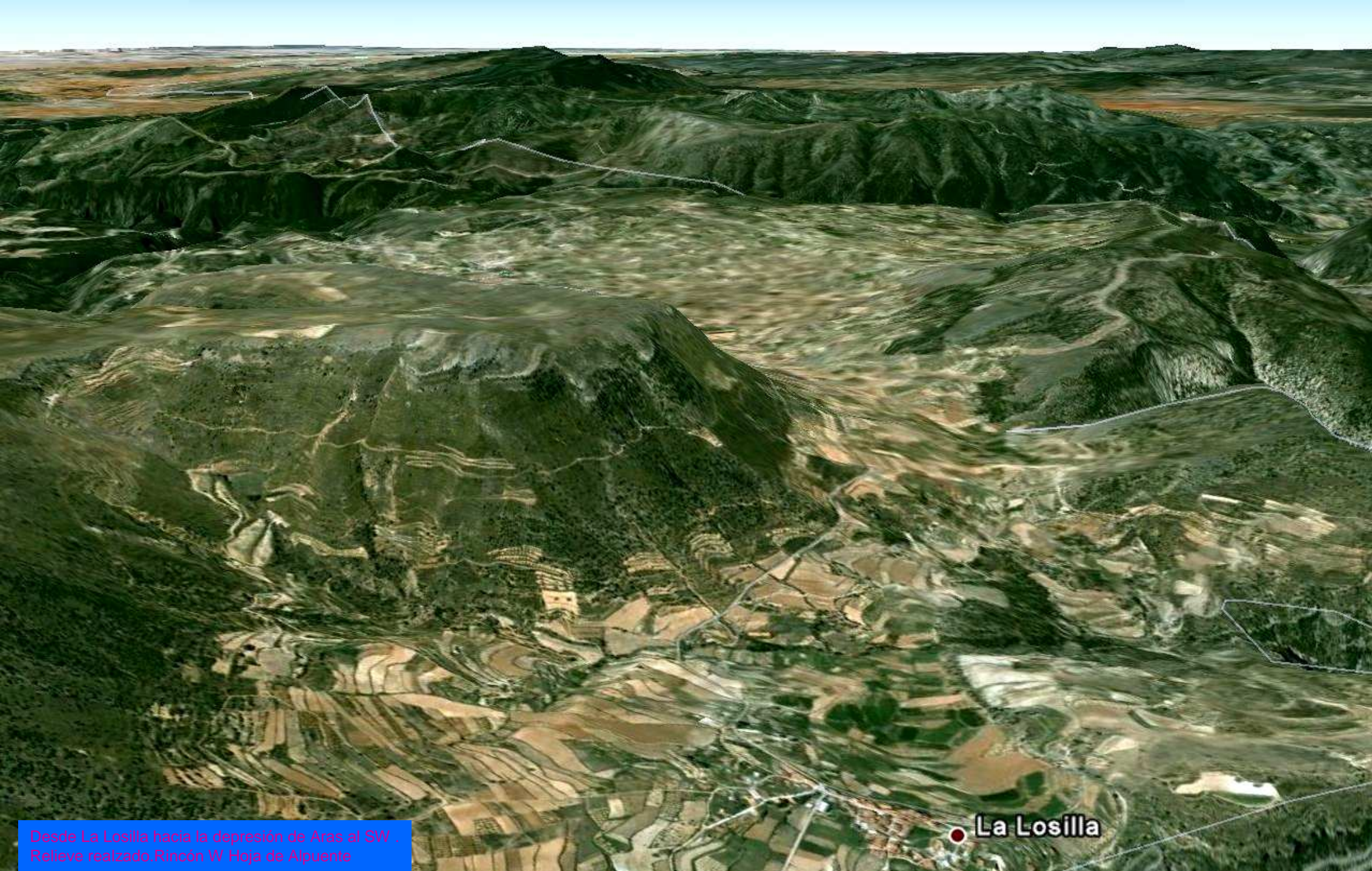
Relieves de materiales **Jurásicos** y **Cretácicos** junto a Losilla. N W Hoja de Alpuente.



Torcas y estrechos en Río Arcos. N de Losilla (por julper y collao2008)



Río Arcos. Torcas. (por pedroju)



Desde La Losilla hacia la depresión de Aras al SW.
Relieve realizado Rincón W Hoja de Alpuente

● La Losilla



El Jurásico al N de Losilla. (fuera de Valencia) Hoja de Alpuente.



Alternancia de calizas oolíticas pisolíticas. Portlandiense, Malm, Jurásico Sup. NE de Losilla. Centro N Hoja de Alpuente.



El Jurásico al NE de Losilla, entre Teruel y Valencia, desde el SW. En parte superior **Triásico**. Centro N Hoja de Alpuente.

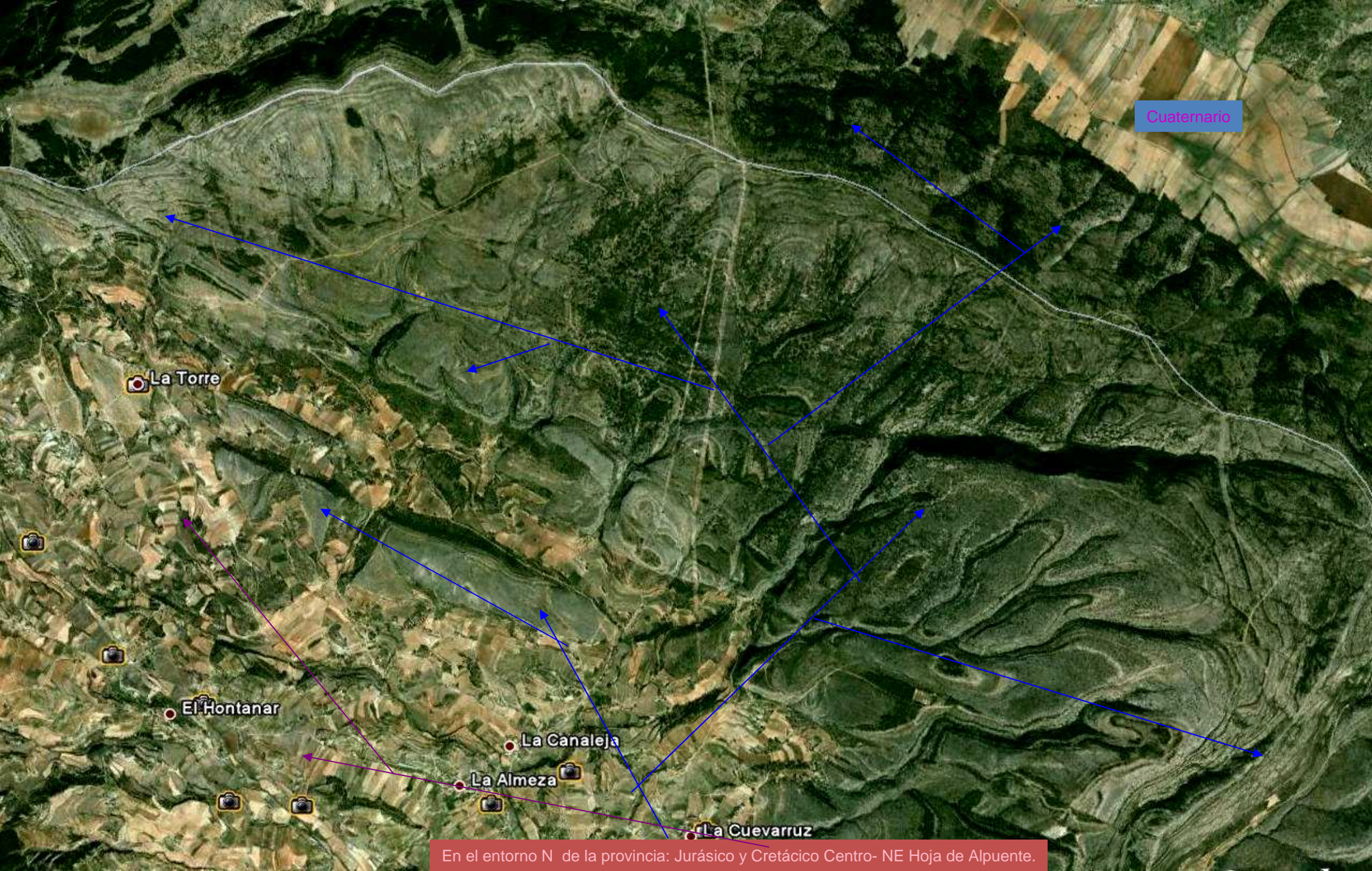


La zona N de La Muela – Cretácico completo- Al W de El Collado. Centro N Hoja de Alpuente.





Desde El Collado a La Torre entre terrenos del Cretácico en facies Wealdense. Al fondo relieves cretácicos- la Muela- NE Hoja de Alpuente



Cuaternario

La Torre

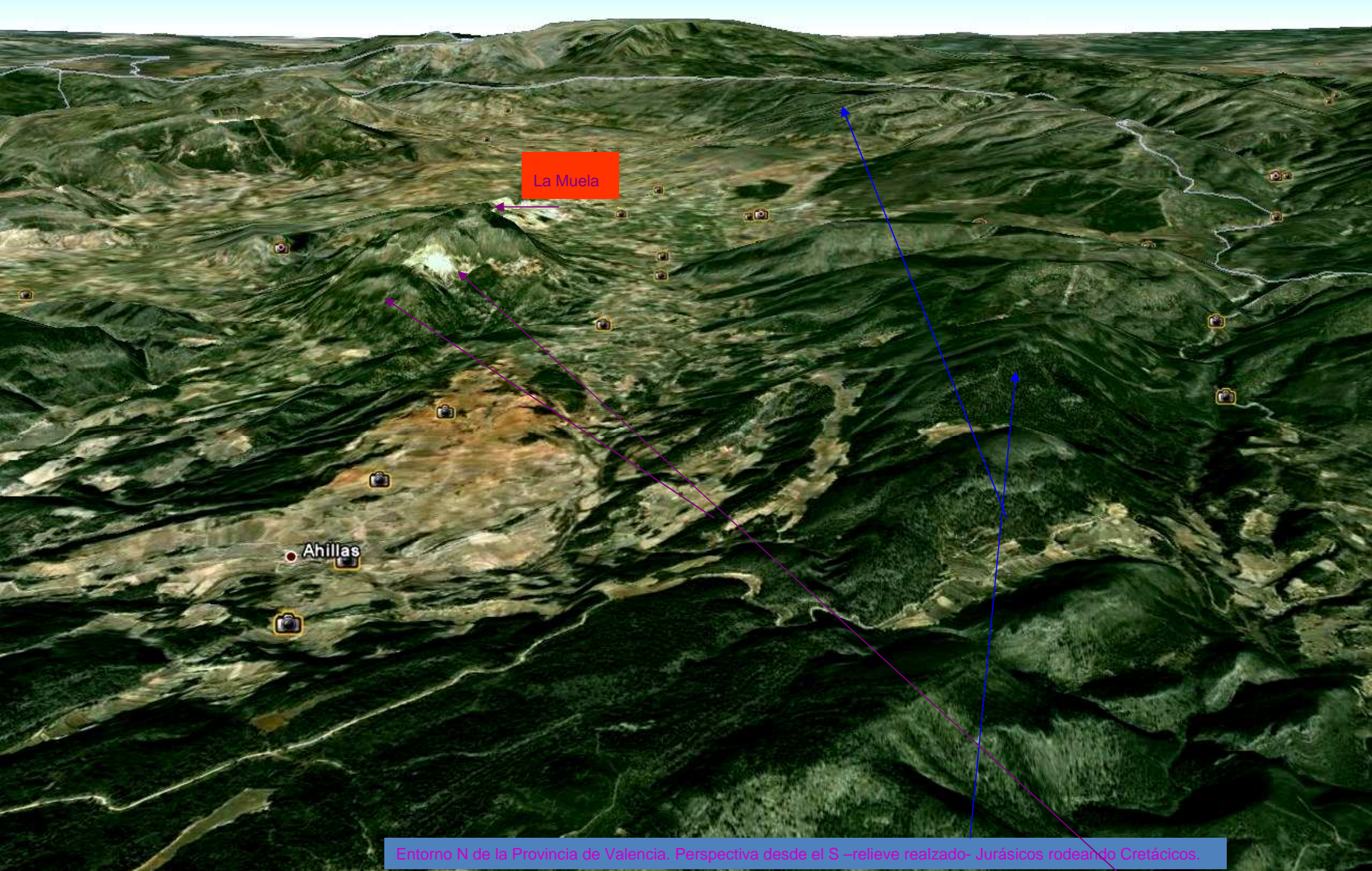
El Hontanar

La Canaleja

La Almeza

La Cuevarruz

En el entorno N de la provincia: Jurásico y Cretácico Centro- NE Hoja de Alpuente.



La Muela

Ahillas

Entorno N de la Provincia de Valencia. Perspectiva desde el S –relieve realzado- Jurásicos rodeando Cretácicos.



Plioceno, al E de la Yesa. E de Hoja de Alpuente



Areniscas, margas, arcillas, Portlandiense, Malm, Jurásico Sup. NW de El Collado. Centro N Hoja de Chelva.



El Cretácico: desde la Facies Weald- abajo- hasta el Cenomaniense- coronando el cerro situado al NW de El Hontanar. Centro N de Hoja de Alpuente



La Cuevarruz

Relievs con carbonatos del Jurásico Sup. En la fosa de La Cuevarruz Cretácico Inferior. NE Hoja de Alpuente



Calizas del Kimmeridgiens e Med. Jurásico Sup., al SE de La Yesa – límite provincial- E Hoja de Alpuente



Pliegues y fallas en las calizas del Malm, Jurásico Sup., al SE de La Yesa – límite provincial- E Hoja de Alpuente



Fallas en las calizas del Malm, Jurásico Sup., al SE de La Yesa – límite provincial- E Hoja de Alpuente



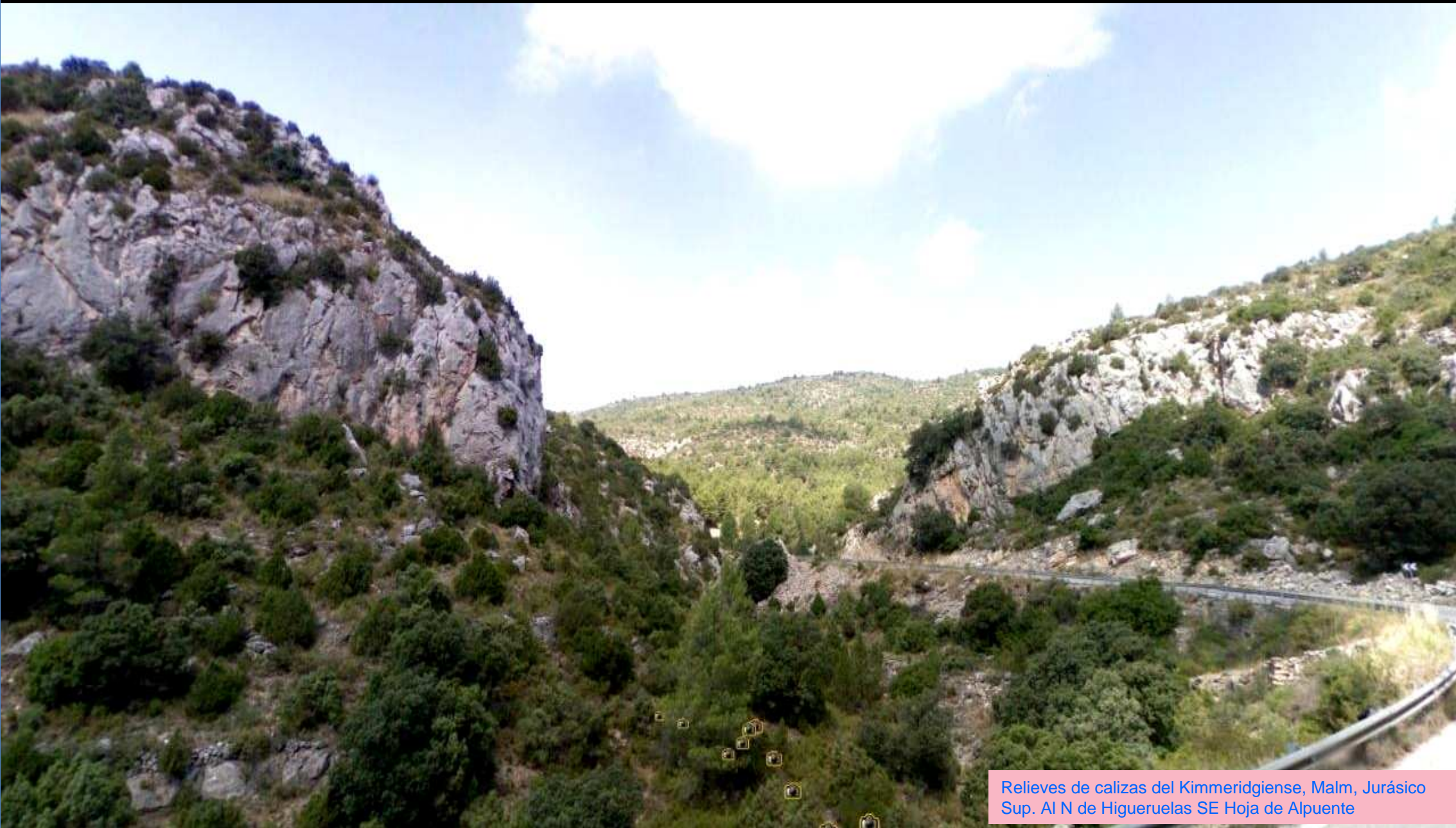
Fallas en las calizas del Malm, Jurásico Sup., al SE de La Yesa – límite provincial- E Hoja de Alpuente



Pliegues y fallas en las calizas del Malm, Jurásico Sup., al SE de La Yesa – límite provincial- E Hoja de Alpuente



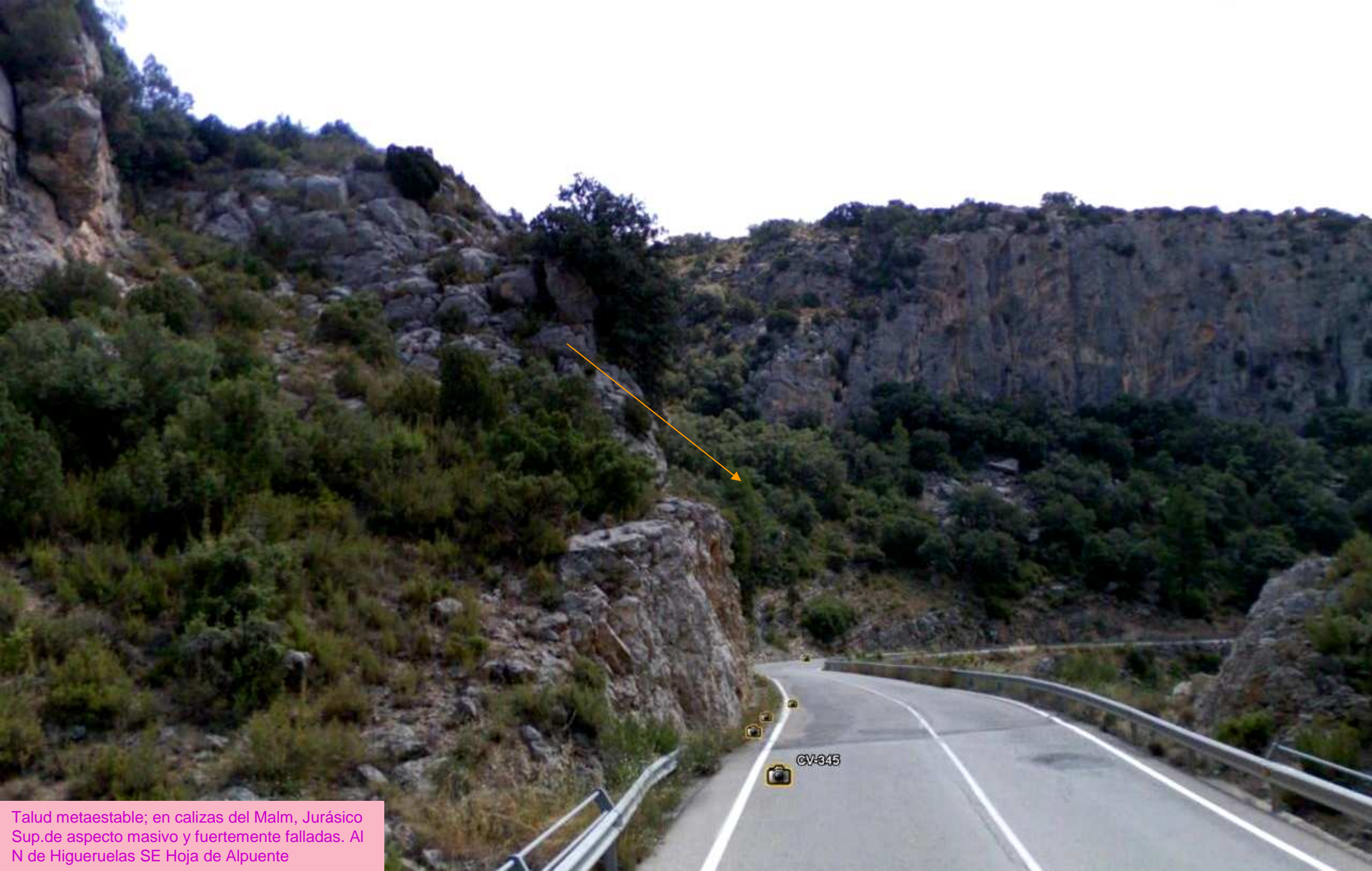
Calizas tableadas, con tectónica intensa, del Malm, Jurásico Sup., al SE de La Yesa – límite provincial- E Hoja de Alpuente



Relieves de calizas del Kimmeridgiense, Malm, Jurásico
Sup. Al N de Higuieruelas SE Hoja de Alpuente

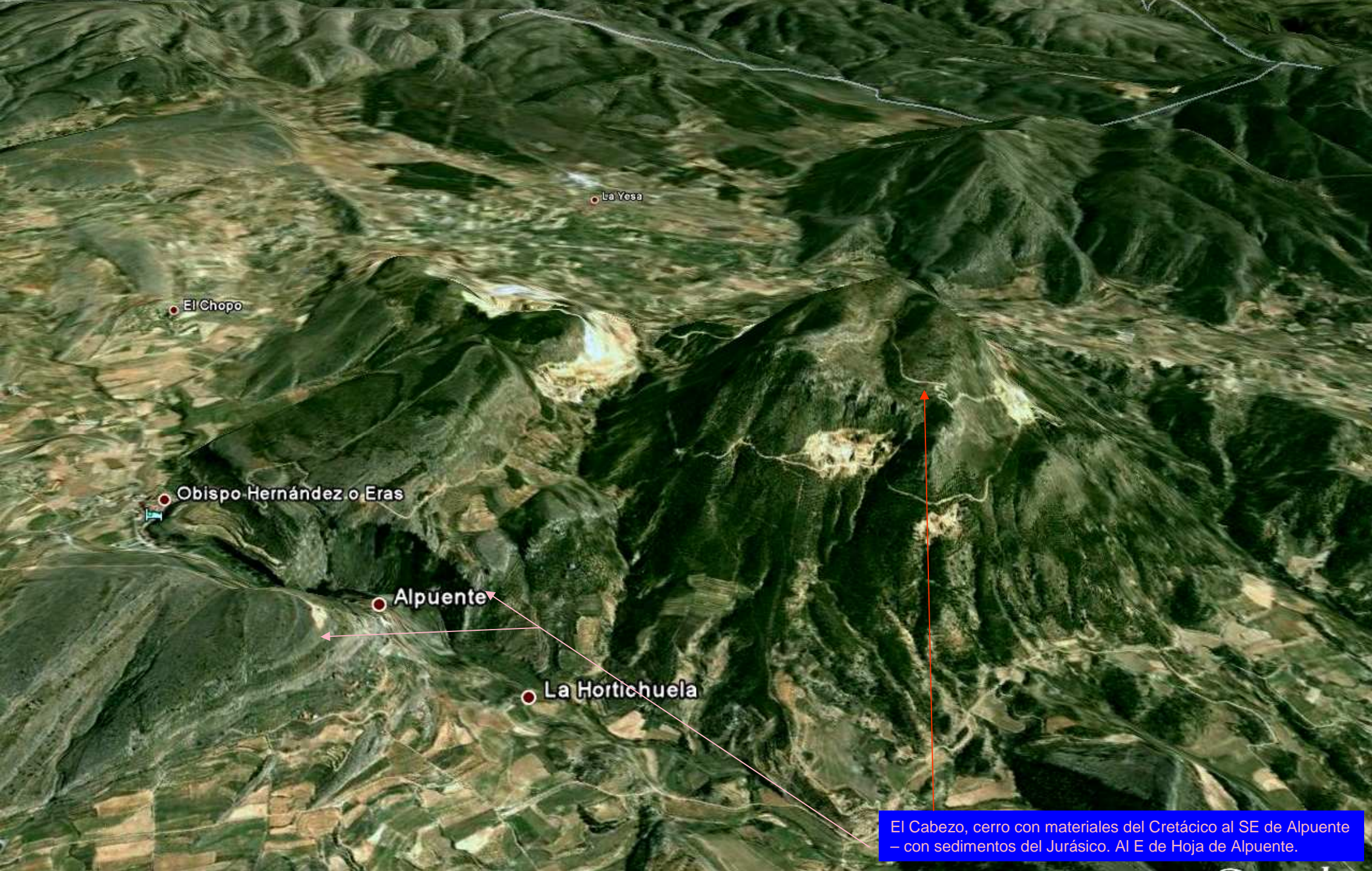


Calizas del Malm, Jurásico Sup.de aspecto masivo y fuertemente falladas. Al N de Higuieruelas SE Hoja de Alpuente



CV-345

Talud metaestable; en calizas del Malm, Jurásico Sup.de aspecto masivo y fuertemente falladas. Al N de Higuieruelas SE Hoja de Alpuente



El Chopo

La Yosa

Obispo Hernández o Eras

Alpuente

La Hortichuela

El Cabezo, cerro con materiales del Cretácico al SE de Alpuente – con sedimentos del Jurásico. Al E de Hoja de Alpuente.



Calizas del Kimmeridgiense, Malm, Jurásico Sup. Al W de Alpuente. Centro S Hoja de A.



Calizas del Kimmeridgiense, Malm, Jurásico
Sup. Al W de Alpuente. Centro S Hoja de A.



Calizas del Kimmeridgiense, Malm, Jurásico Sup.
A la entrada de Alpuente por el S. Hoja de A.



Calizas del Kimmeridgiense, Malm, Jurásico Sup.
A la entrada de Alpuente por el S. Hoja de A.



La Horichuela: S de Alpuente (petercero), Hoz de A. (By del barranc)



Las Calizas del Kimmeridgiense, Malm, Jurásico Sup. en Alpuente. Hoja de A.



Areniscas, arcillas arenosas, Cretácico Inf. F. Weald.
Al N de Titaguas. Centro W Hoja de Alpuente



Areniscas, arcillas arenosas, Cretácico Inf. F. Weald.
Al N de Titaguas. Centro W Hoja de Alpuente



Areniscas, arcillas arenosas, Cretácico Inf. F. Weald.
Al N de Titaguas. Centro W Hoja de Alpuente



Areniscas, arcillas arenosas, Cretácico Inf. F.
Weald. Al N de Titaguas. Centro W Hoja de Alpuente



Areniscas, arcillas arenosas, Cretácico Inf. F. Weald.
Al N de Titaguas. Centro W Hoja de Alpuente

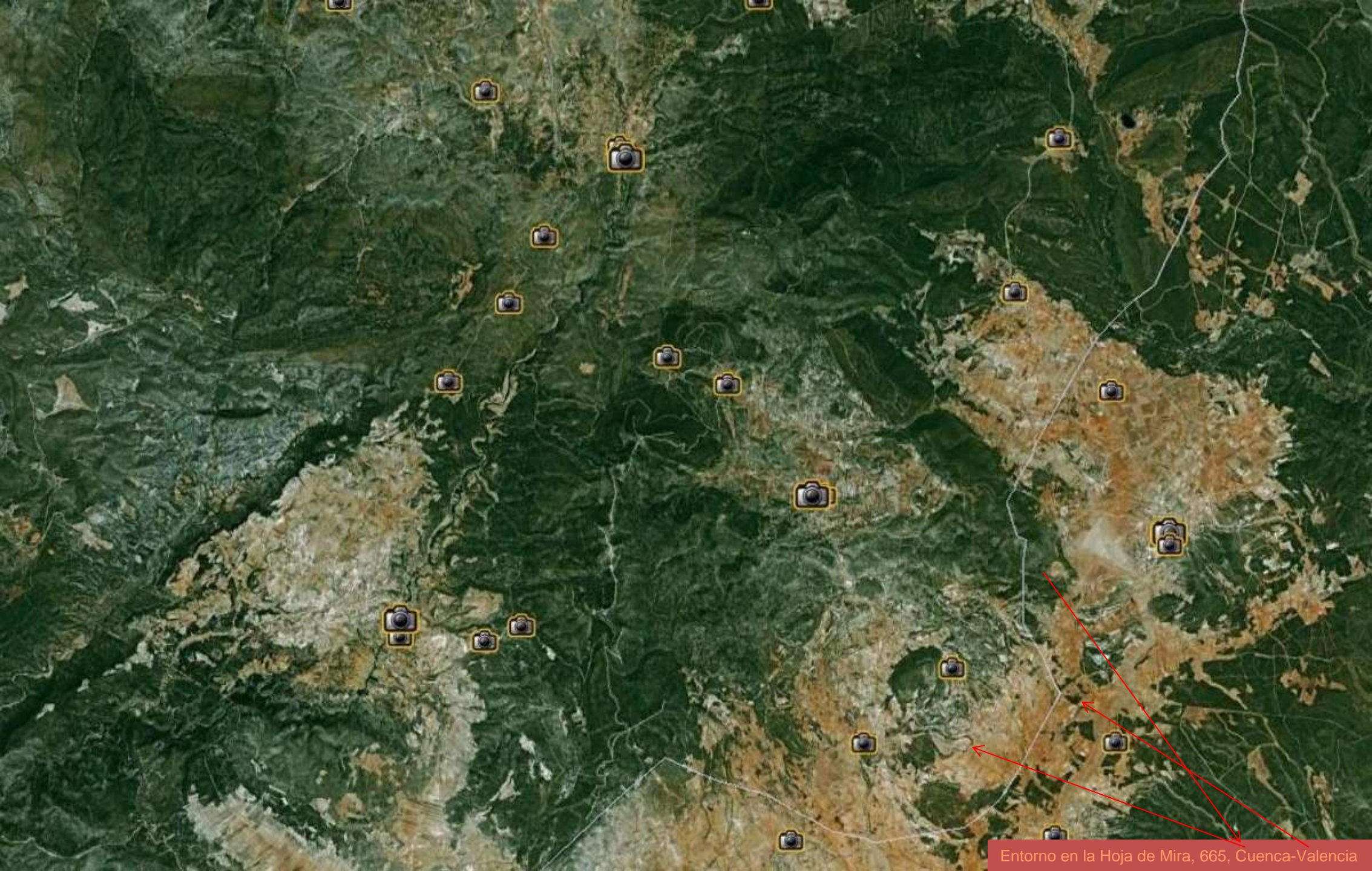


Titaguas

Campo de Arriba

Alpuente

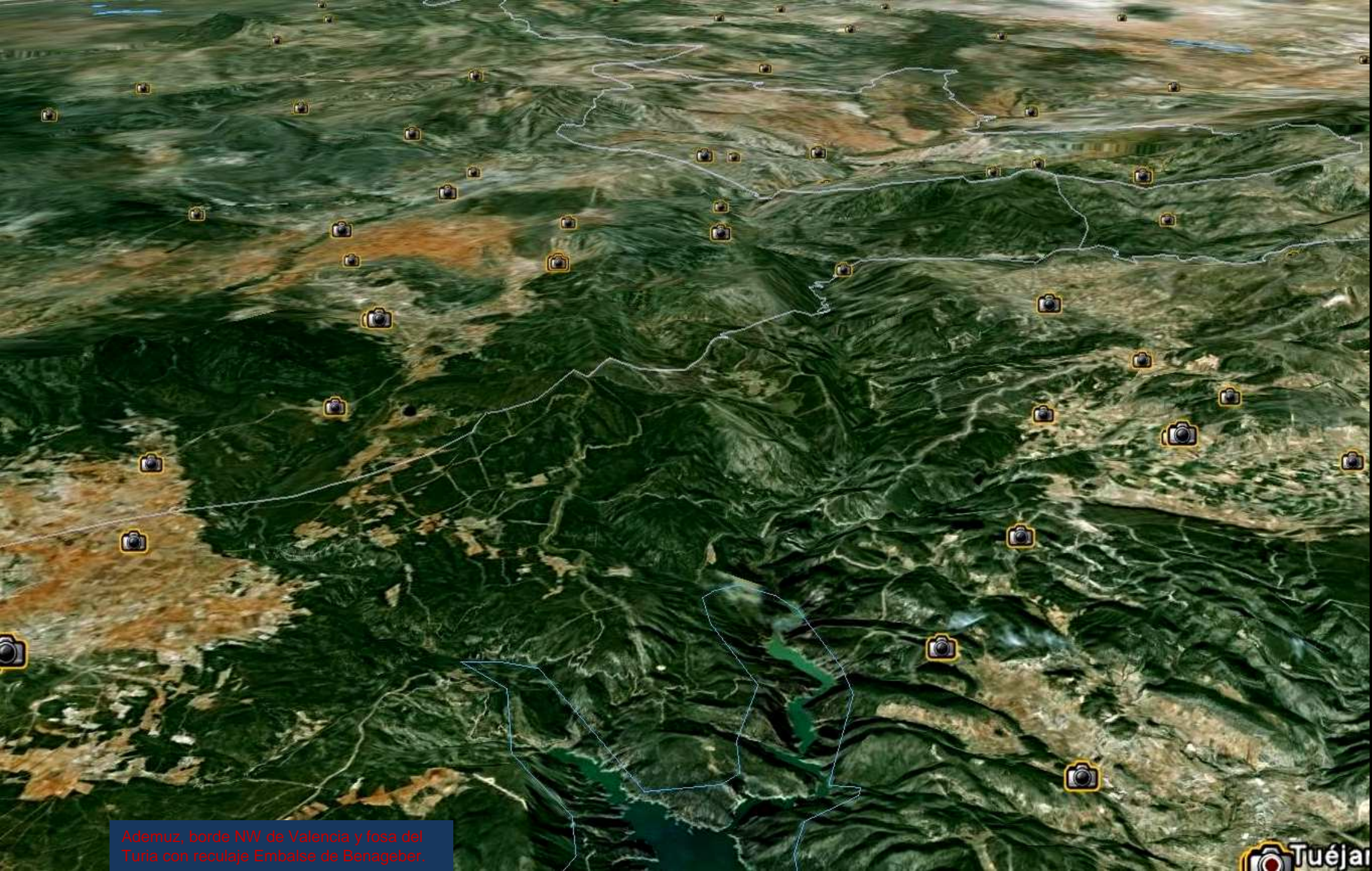
Desde casi el alto de La Montalbana- al S, ya en la Hoja de Chelva- hacia la depresión de Titaguas- Alpuente.



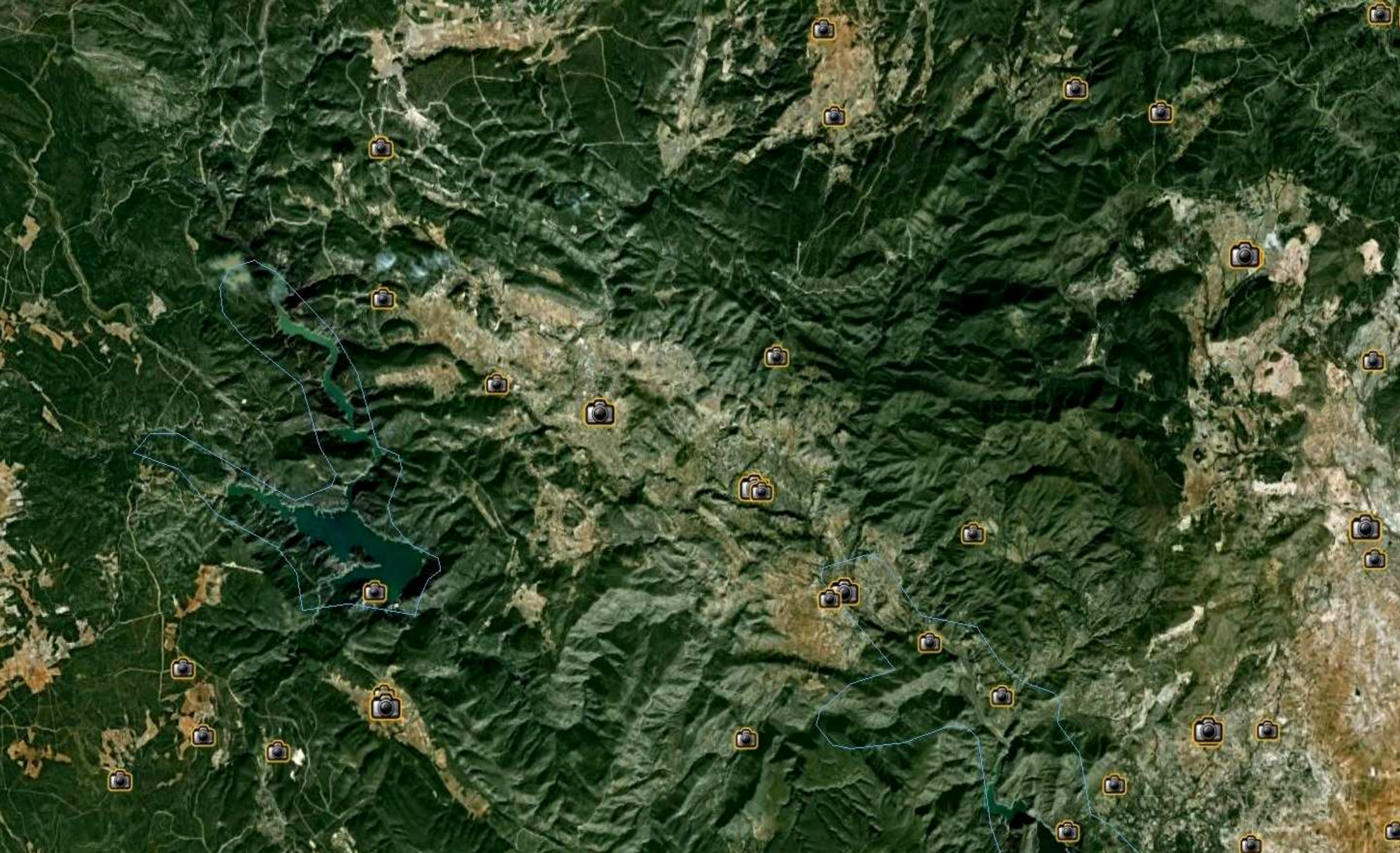
Entorno en la Hoja de Mira, 665, Cuenca-Valencia



Al fondo relieves cretácicos Albiense- Cenomanienses; en primer plano huertos en terrenos Pliocuaternarios. Al NE. de Camporrobles, NW de La Loberuela. Centro S Hoja de Mira



Ademuz, borde NW de Valencia y fosa del Turia con reculaje Embalse de Benageber.



Entorno en la Hoja de Chelva, 666. Valencia.



Pequeña falla en las calizas y calizas y margas del Kimmeridgiense, Jurásico Sup. Al S. del alto de La Montalbana, NW de Hoja de Chelva.



Desde los Jurásicos del Alto de La Montalbana hacia el S.- y Tuejar. NW Hoja de Chelva



Frente de calizas del Jurásico Sup., contra Cretácico facies Weald y una fuerte tectónica. (imagen seccionada). Al S del Alto de La Montalbana. NW Hoja de Chelva





En zona de intensa tectónica entre materiales de F. Weald y el Jura Sup. Al S del Alto de La Montalbana. NW Hoja de Chelva



Calizas Kimmeridgiense, Jurásico Sup. Con pequeñas fallas. Al S del Alto de La Montalbana. NW Hoja de Chelva



Frente de materiales del Jurásico Sup. Con fuerte tectonización (imagen partida). Al S del Alto de La Montalbana. NW Hoja de Chelva



Calizas del Kimmeridgiense Med. Y Sup., fuertemente tectonizadas. Al S del Alto de La Montalbana. NW Hoja de Chelva.



Calizas del Kimmeridgiense Med. Y Sup., fuertemente tectonizadas. Al S del Alto de La Montalbana. NW Hoja de Chelva.



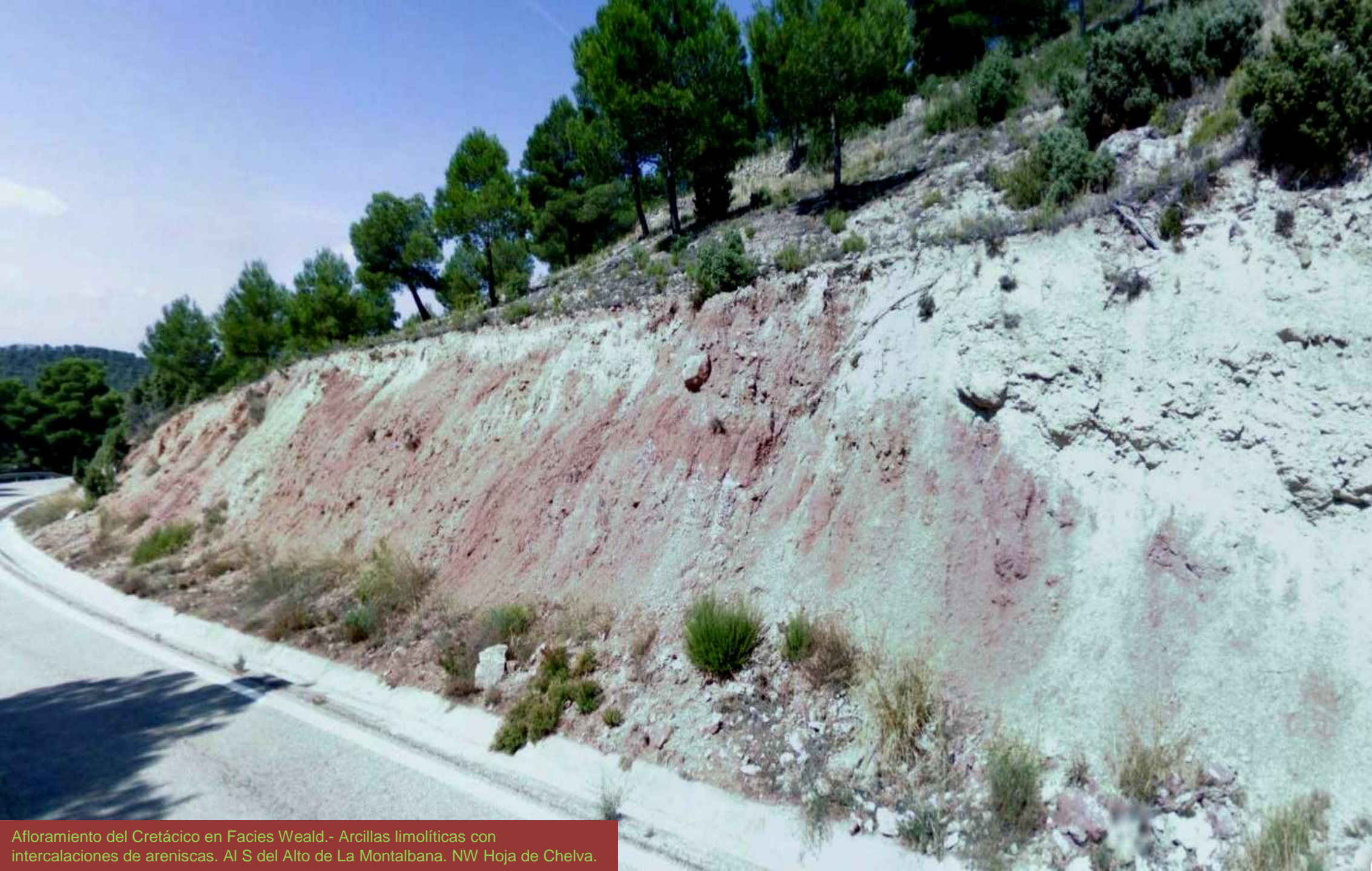
En las calizas del Kimmeridgiense, Jurásico. Al S del Alto de La Montalbana. NW Hoja de Chelva.



Pliegue en las calizas y calizas margosas del Jurásico Sup. Al S del Alto de La Montalbana. NW Hoja de Chelva.



Calizas y calizas y margosas del Kimmeridgiense fuertemente tectonizadas, (imagen partida). Al S del Alto de La Montalbana. NW Hoja de Chelva.



Afloramiento del Cretácico en Facies Weald.- Arcillas limolíticas con intercalaciones de areniscas. Al S del Alto de La Montalbana. NW Hoja de Chelva.



Quando lo veas, lo reconocerás. El resto solo es tiempo.



Arcillas o margas versicolores con yeso, Keuper, Triásico. Junto Rambla de las Roturas. NW de Tuejar. NW Hoja de Chelva



Arcillas o margas versicolores con yeso, Keuper, Triásico. Junto Rambla de las Roturas. NW de Tuejar. NW Hoja de Chelva



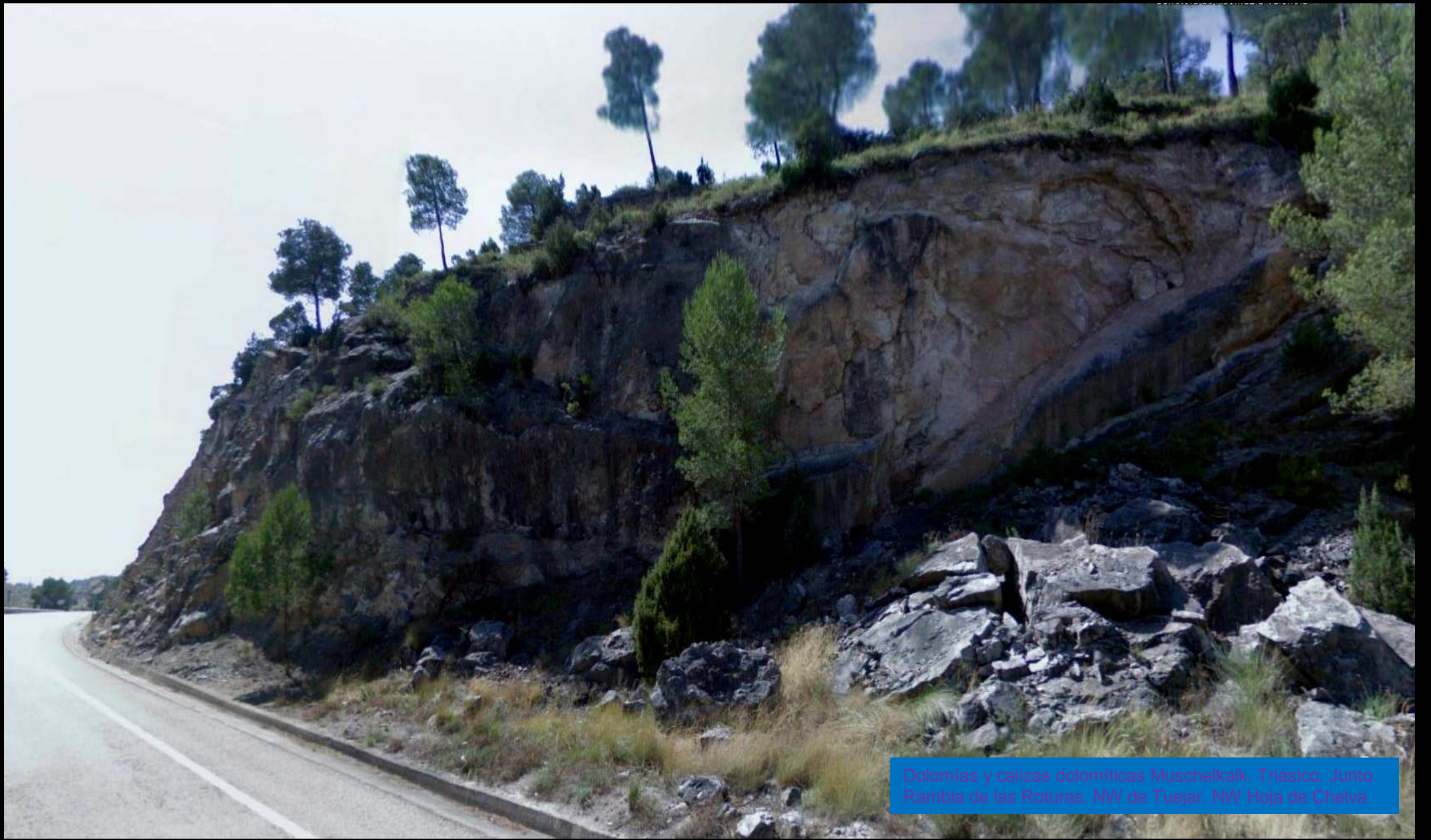
Arcillas con yeso, Keuper, Triásico. Junto Rambla de las Roturas. NW de Tuejar. NW Hoja de Chelva



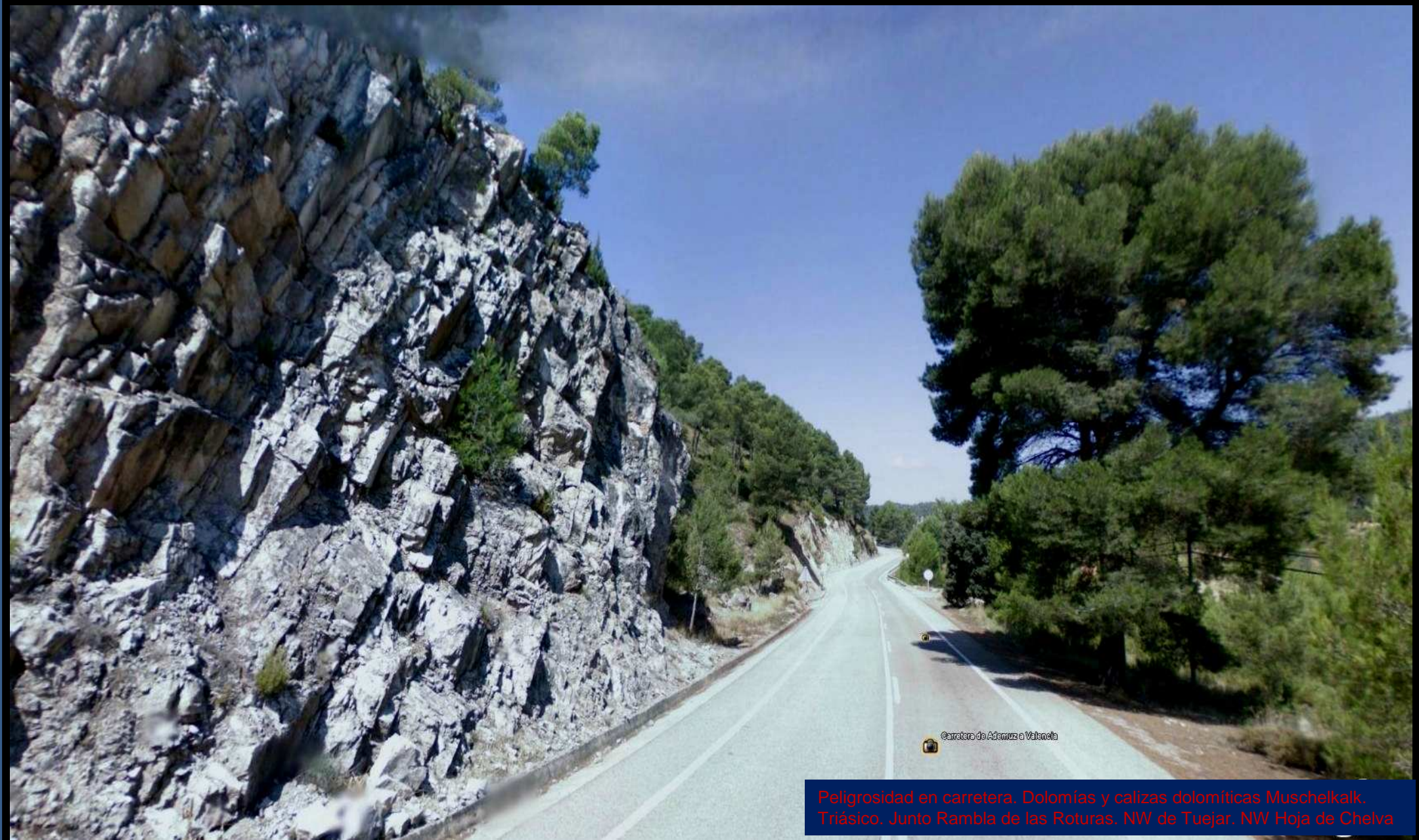
Calizas del Kimmeridgiense, Malm, Jurásico, bordeando el barranco por el NE. Rambla de las Roturas. NW de Tuejar. NW Hoja de Chelva



Arcillas con yeso, Keuper, Triásico. Junto Rambla de las Roturas. NW de Tuejar. NW Hoja de Chelva



Dolomías y calizas dolomíticas Muschelkalk, Triásico. Junto Ramba de las Roturas, NW de Tuejar, NW Hoja de Chelva



Peligrosidad en carretera. Dolomías y calizas dolomíticas Muschelkalk, Triásico. Junto Rambla de las Roturas. NW de Tuejar. NW Hoja de Chelva



Carretera de Ademuz a Valencia



Estabilización de arcillas con yeso, Keuper, Triásico. Junto Rambla de las Roturas. NW de Tuejar. NW Hoja de Chelva



Estabilización de arcillas con yeso, Keuper, Triásico. Junto Rambla de las Roturas. NW de Tuejar. NW Hoja de Chelva



Estabilización de arcillas y margas versicolores con yeso, Keuper, Triásico. Junto Rambla de las Roturas. NW de Tuejar. NW Hoja de Chelva



Pequeñas fallas en las arcillas y margas, Keuper, Triásico. Junto Rambla de las Roturas. NW de Tuejar. NW Hoja de Chelva



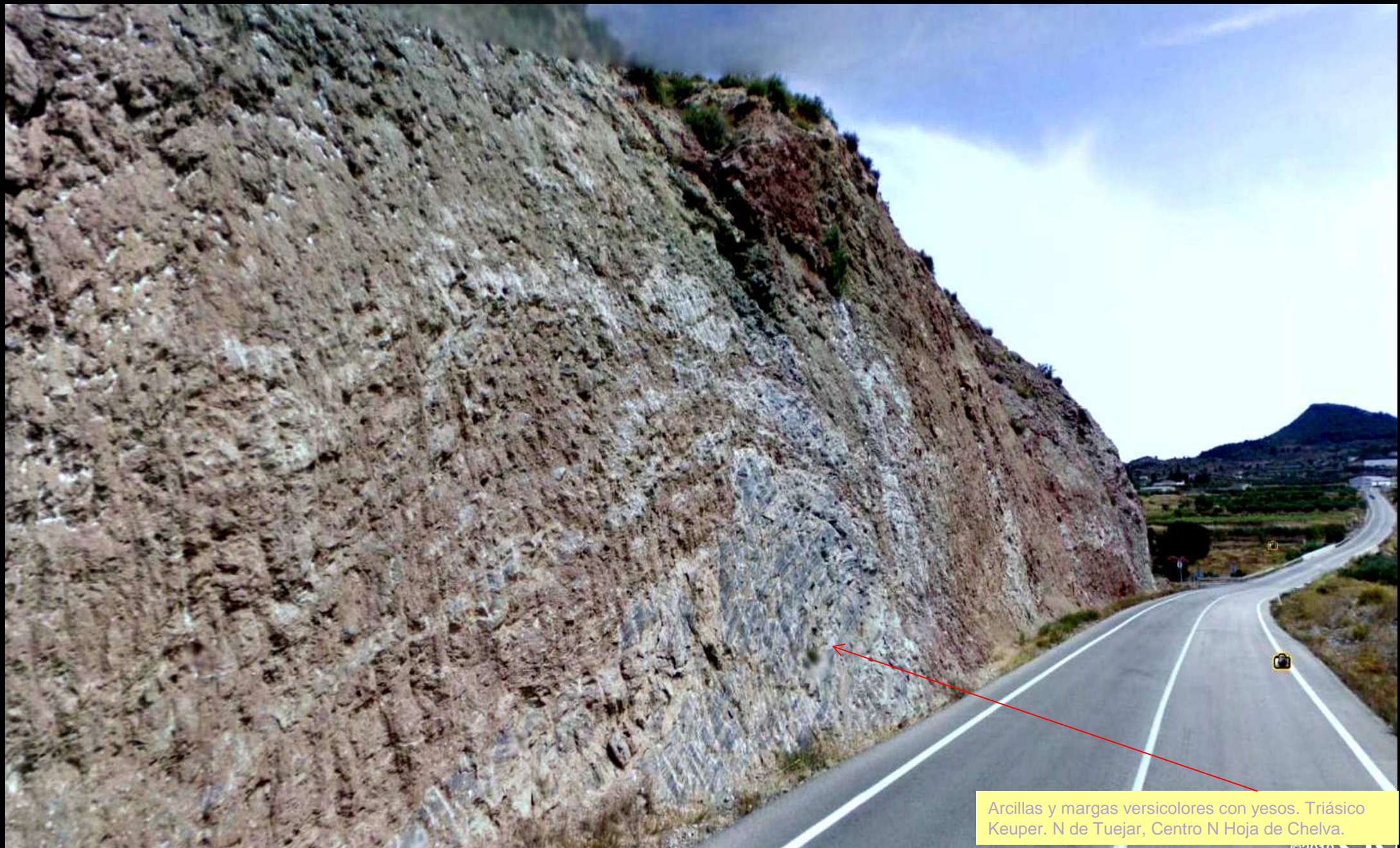
Sedimentos fluviales del antiguo Turia, hoy en la Rambla de Ahillas. Al N de Tuejar. Centro N. Hoja de Chelva.



Erosión diferencial entre los sedimentos fluviales del antiguo Turia, hoy en la Rambla de Ahillas, al N de Tuejar. Centro N. Hoja de Chelva.



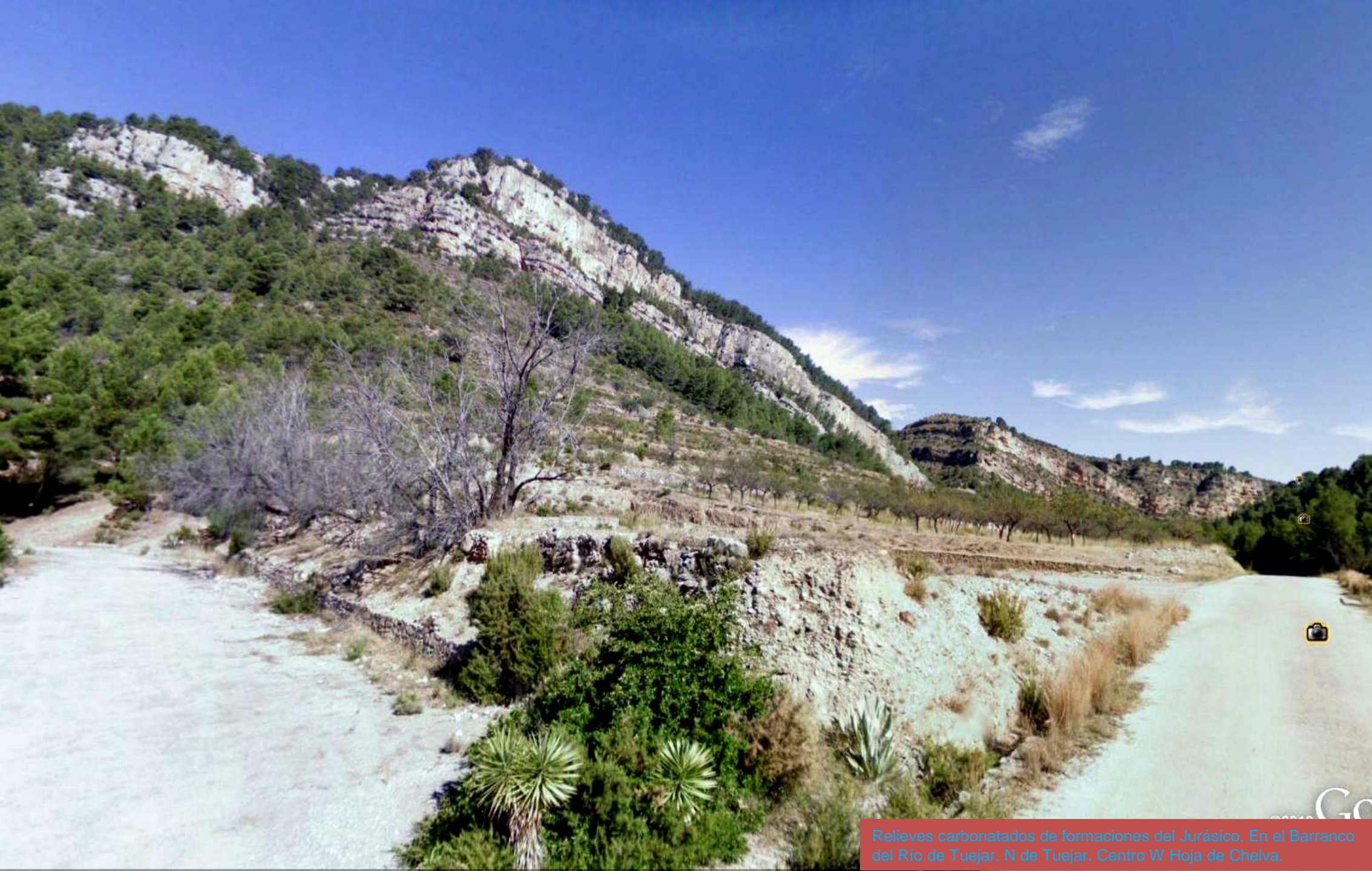
Jurásicos y abajo derecha algo de Triásico.
Al N de Tuejar. Centro N Hoja de Chelva.



Arcillas y margas versicolores con yesos. Triásico Keuper. N de Tuejar, Centro N Hoja de Chelva.



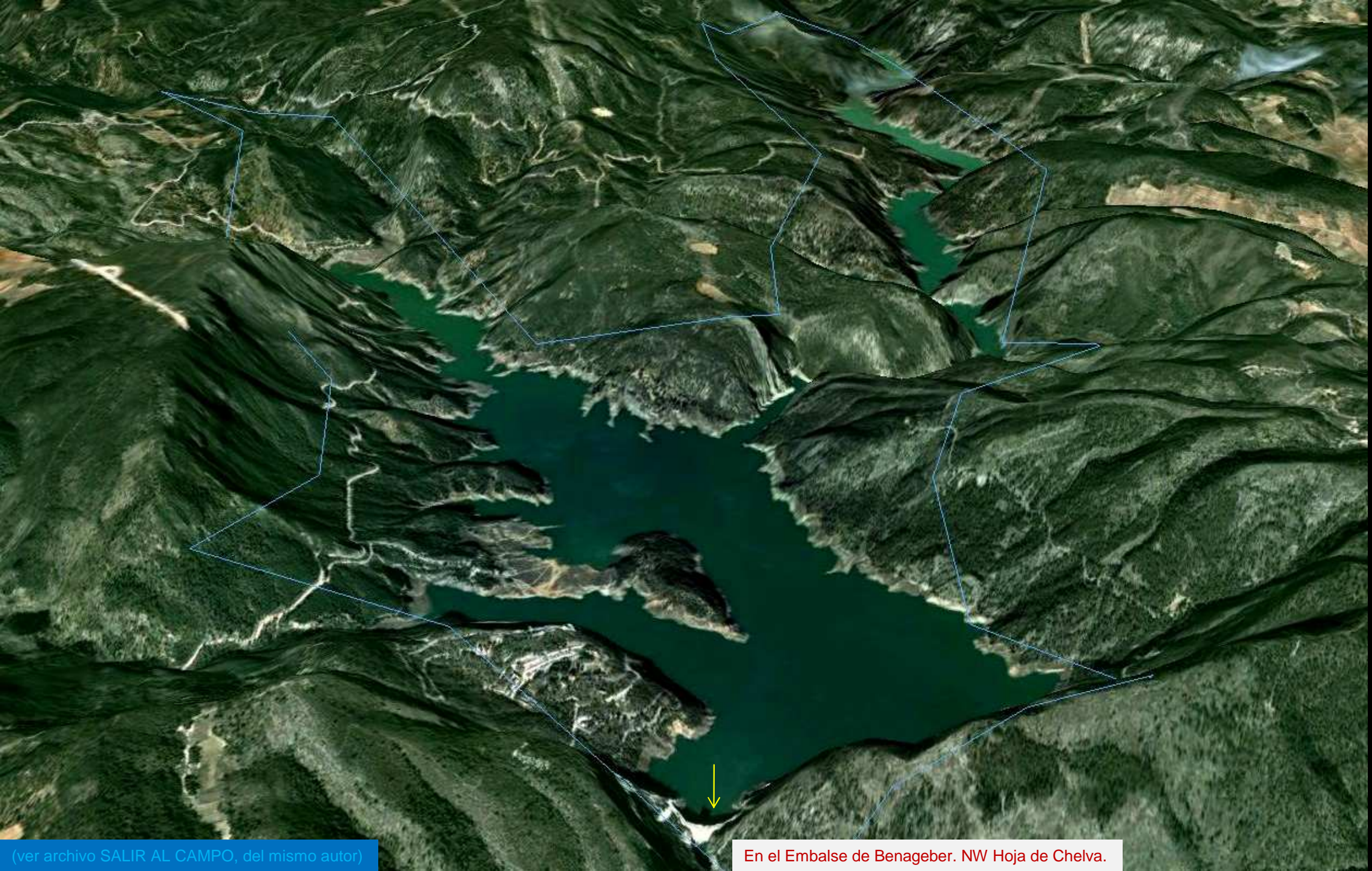
Detalle de los yesos de la imagen anterior: Arcillas y margas versicolores con yesos. Triásico Keuper. N de Tuejar, Centro N Hoja de Chelva.



Relieves carbonatados de formaciones del Jurásico. En el Barranco del Río de Tuejar. N de Tuejar. Centro W Hoja de Chelva.



Diaclasas en las dolomías del Muschelkalk. Triásico. Al S de Partida de Pasadera. NW Hoja de Chelva.

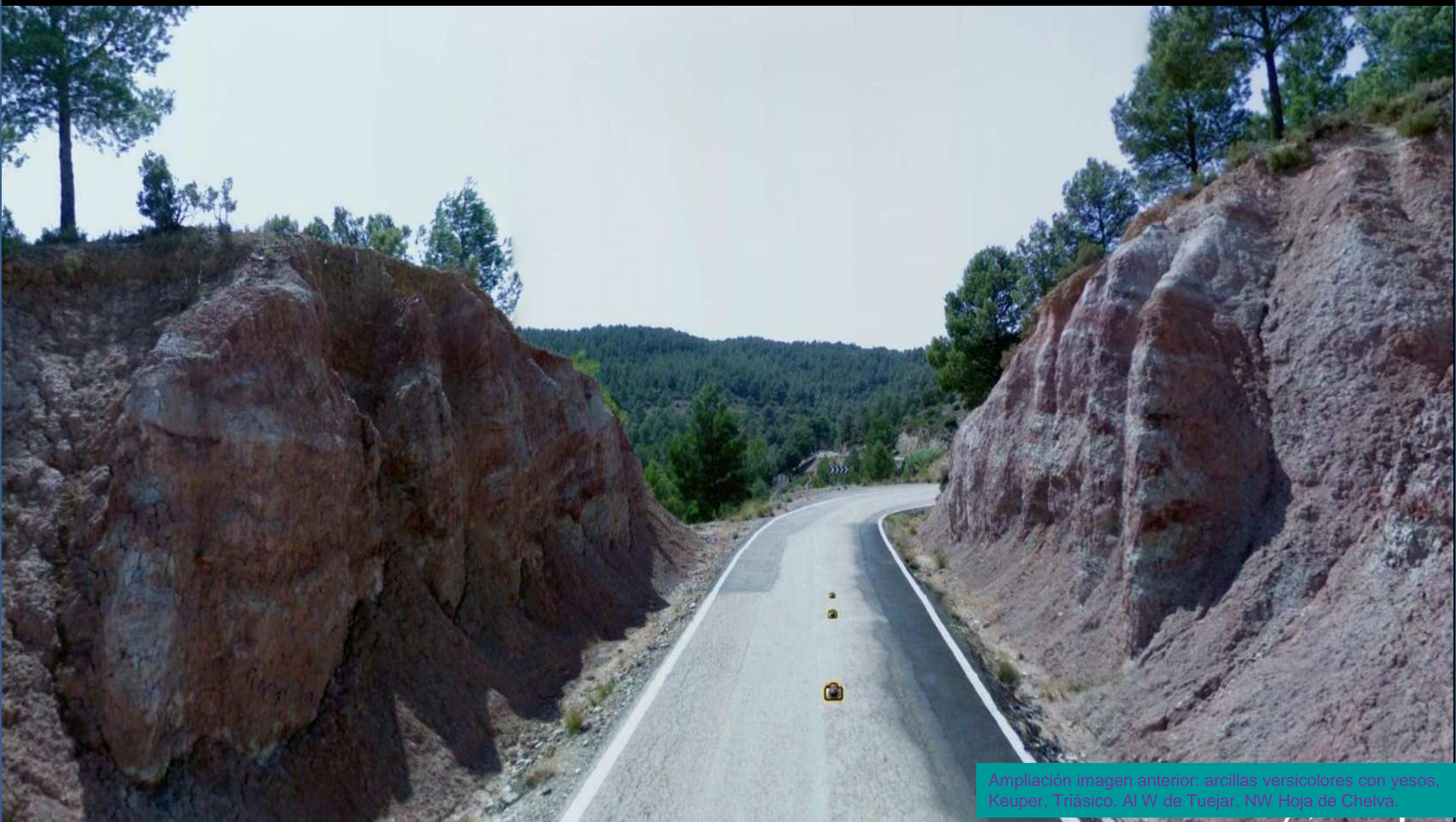


(ver archivo SALIR AL CAMPO, del mismo autor)

En el Embalse de Benageber. NW Hoja de Chelva.



Afloramiento de arcillas versicolores con yesos, Keuper, Triásico. Al W de Tuejar. NW Hoja de Chelva.



Ampliación imagen anterior: arcillas versicolores con yesos, Keuper, Triásico. Al W de Tuejar. NW Hoja de Chelva.



Calizas del Kimmeridgiense Med y Sup. N del Embalse de Benageber. Centro W Hoja de Chelva.



Calizas del Kimmeridgiense Med y Sup. N del Embalse de Benageber. Centro W Hoja de Chelva.



Jurásicos

Cretácico

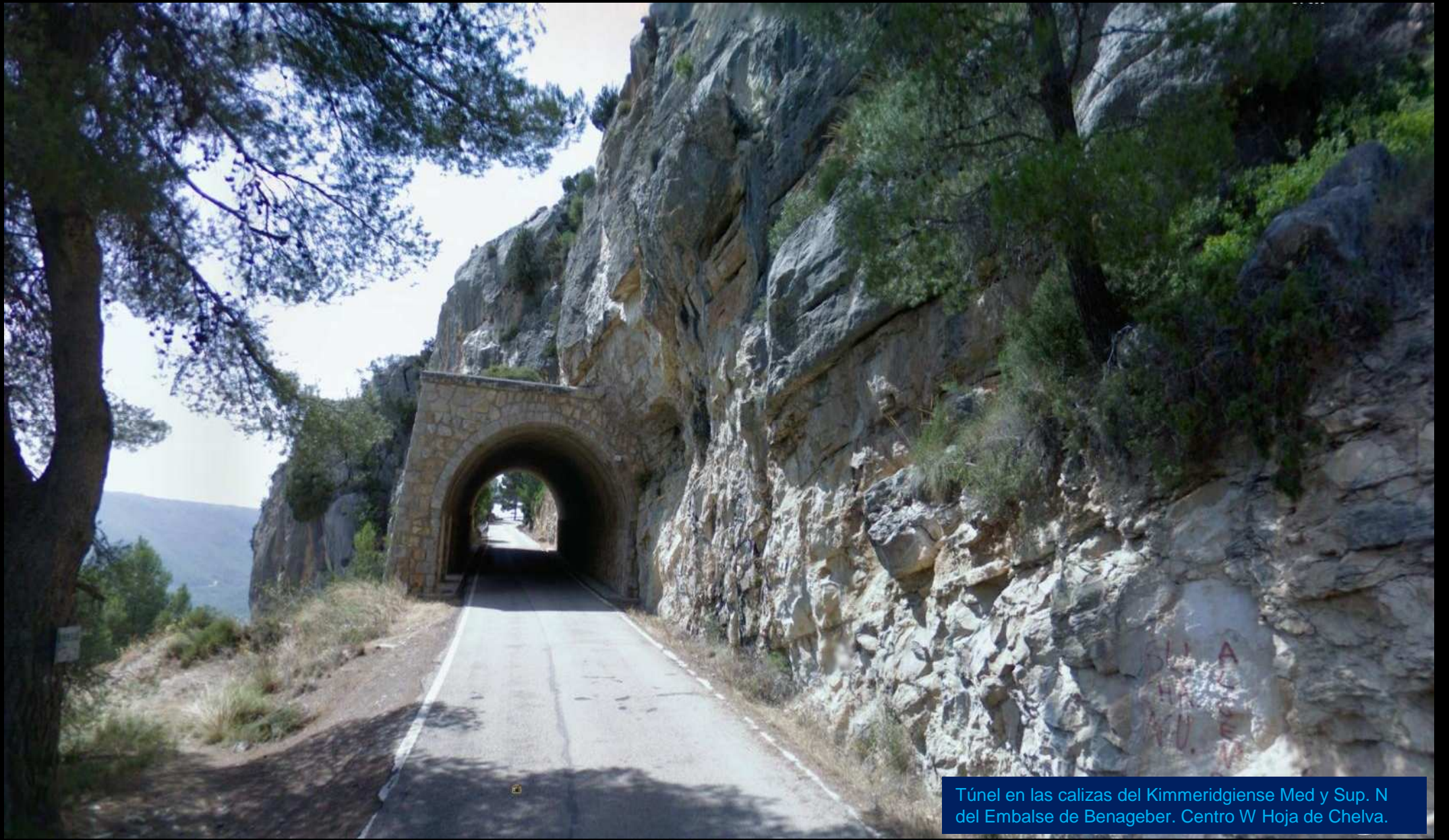
Hacia el Embalse de Benageber. Desde el N.
Hoja de Chelva. Jurásicos Cretácico



CV-390



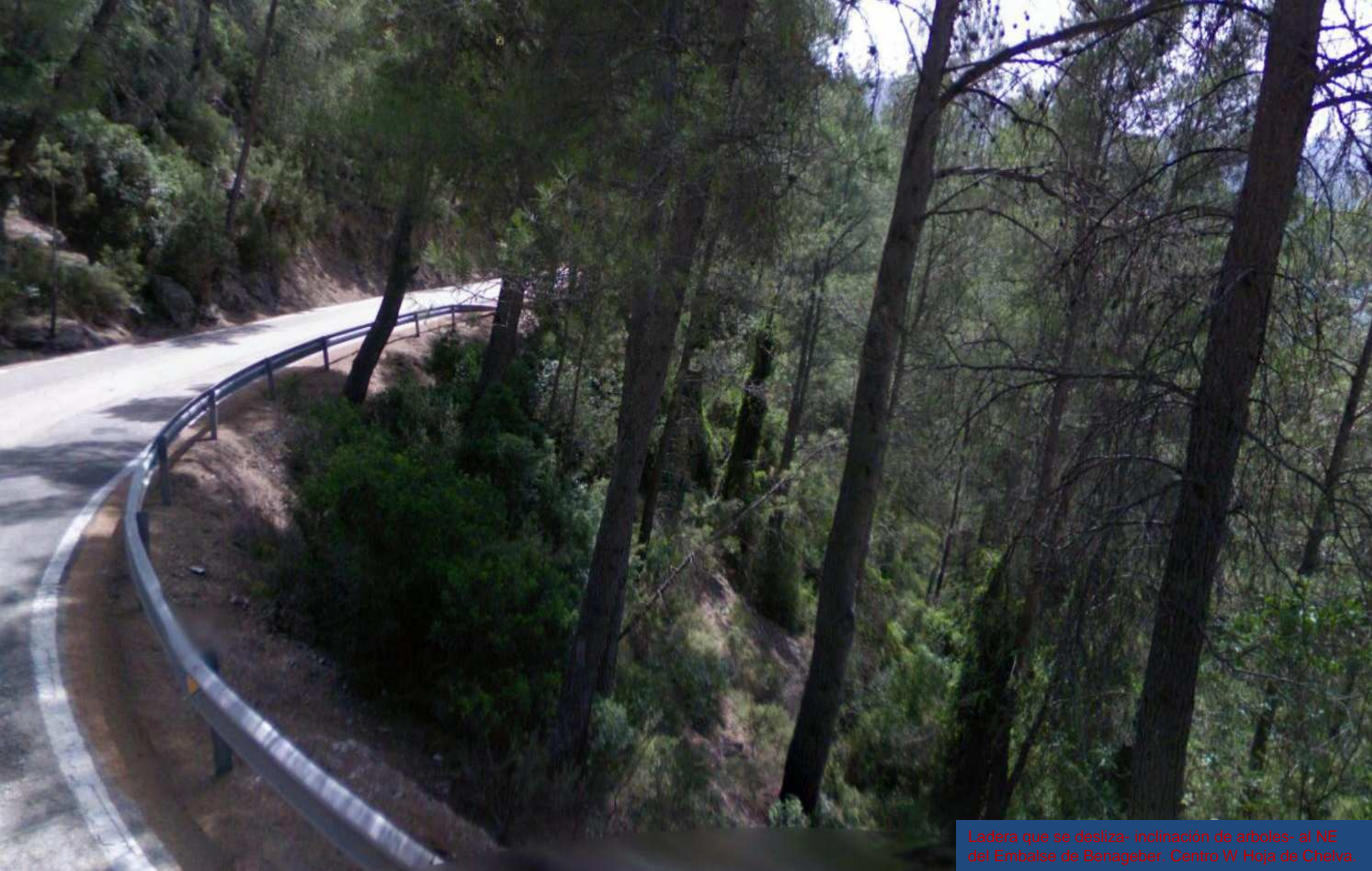
Calizas del Kimmeridgiense Med y Sup. N del Embalse de Benageber. Centro W Hoja de Chelva.



Túnel en las calizas del Kimmeridgiense Med y Sup. N del Embalse de Benageber. Centro W Hoja de Chelva.



Actuaciones frente a deslizamientos en las zonas del cabalgamiento entre materiales del Jurásico al NE del Embalse de Benageber. Centro W Hoja de Chelva.



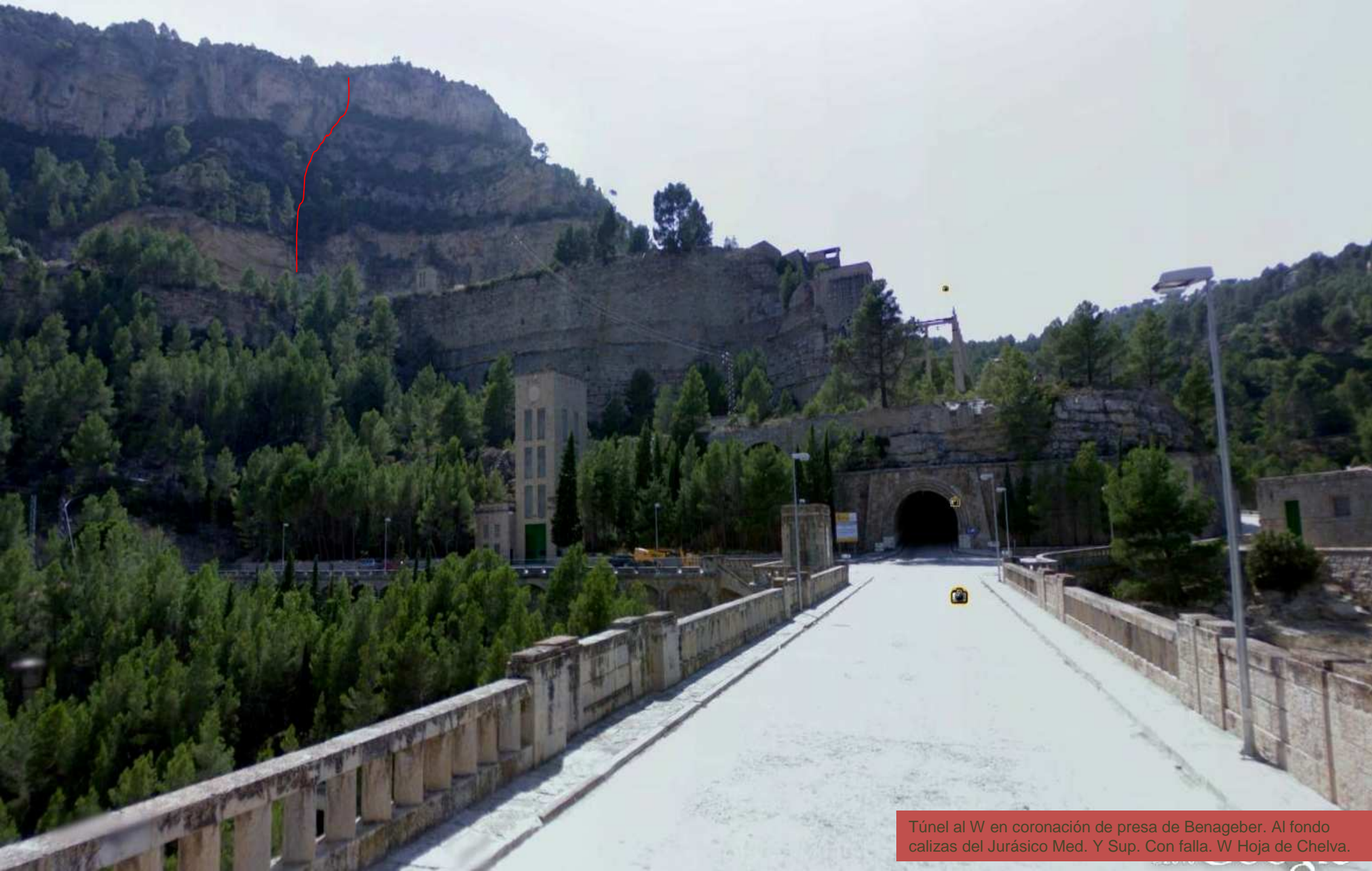
Ladera que se desliza- inclinación de arboles- al NE del Embalse de Benageber. Centro W Hoja de Chelva.



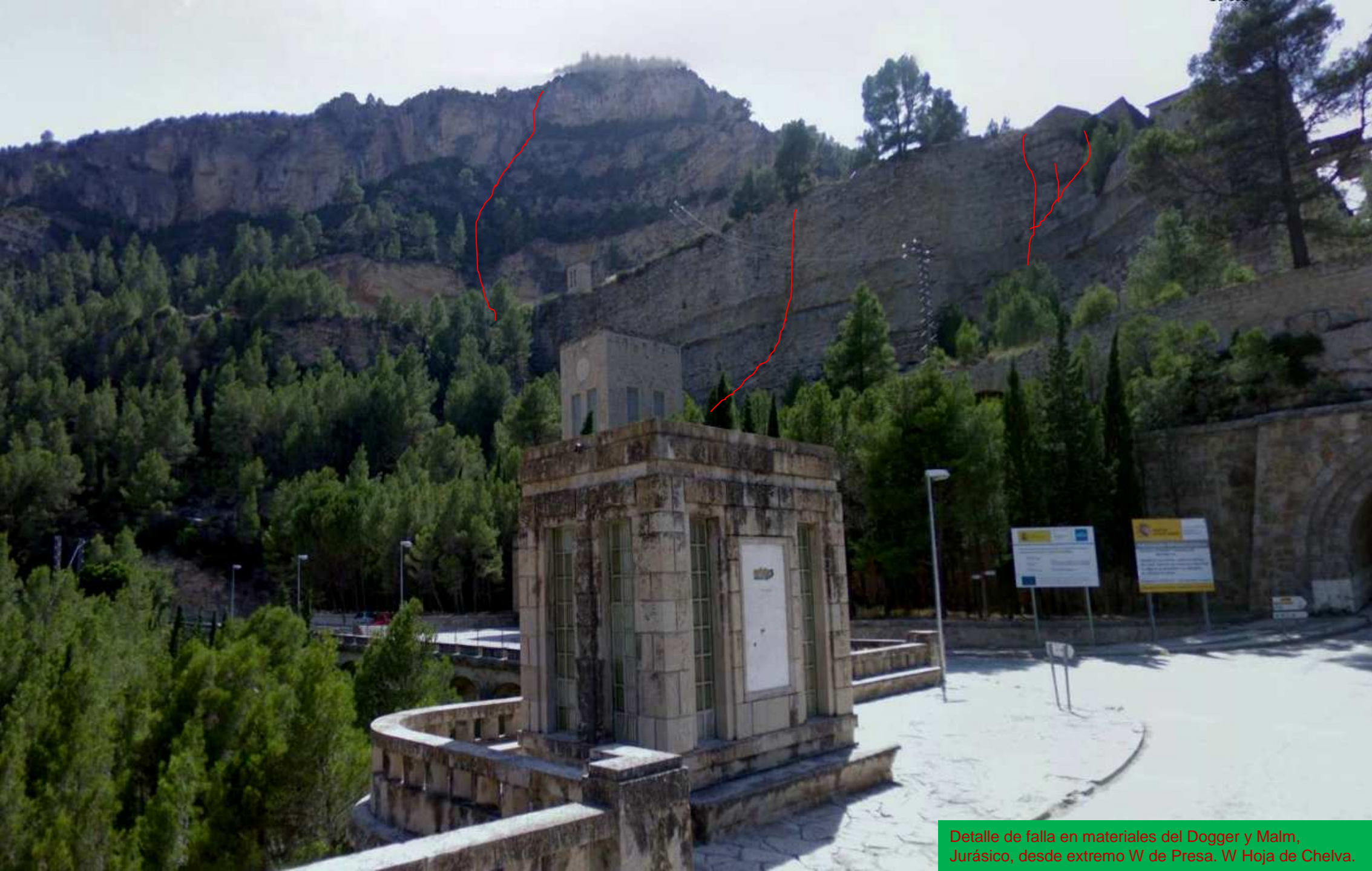
Falla y espejo entre calizas y material calizo-detritico del Jurásico. NE del Embalse de Benageber. Centro W Hoja de Chelva.



Túnel acceso Embalse de Benageber. (detalles de labra) Centro W Hoja de Chelva.



Túnel al W en coronación de presa de Benageber. Al fondo calizas del Jurásico Med. Y Sup. Con falla. W Hoja de Chelva.



Detalle de falla en materiales del Dogger y Malm, Jurásico, desde extremo W de Presa. W Hoja de Chelva.

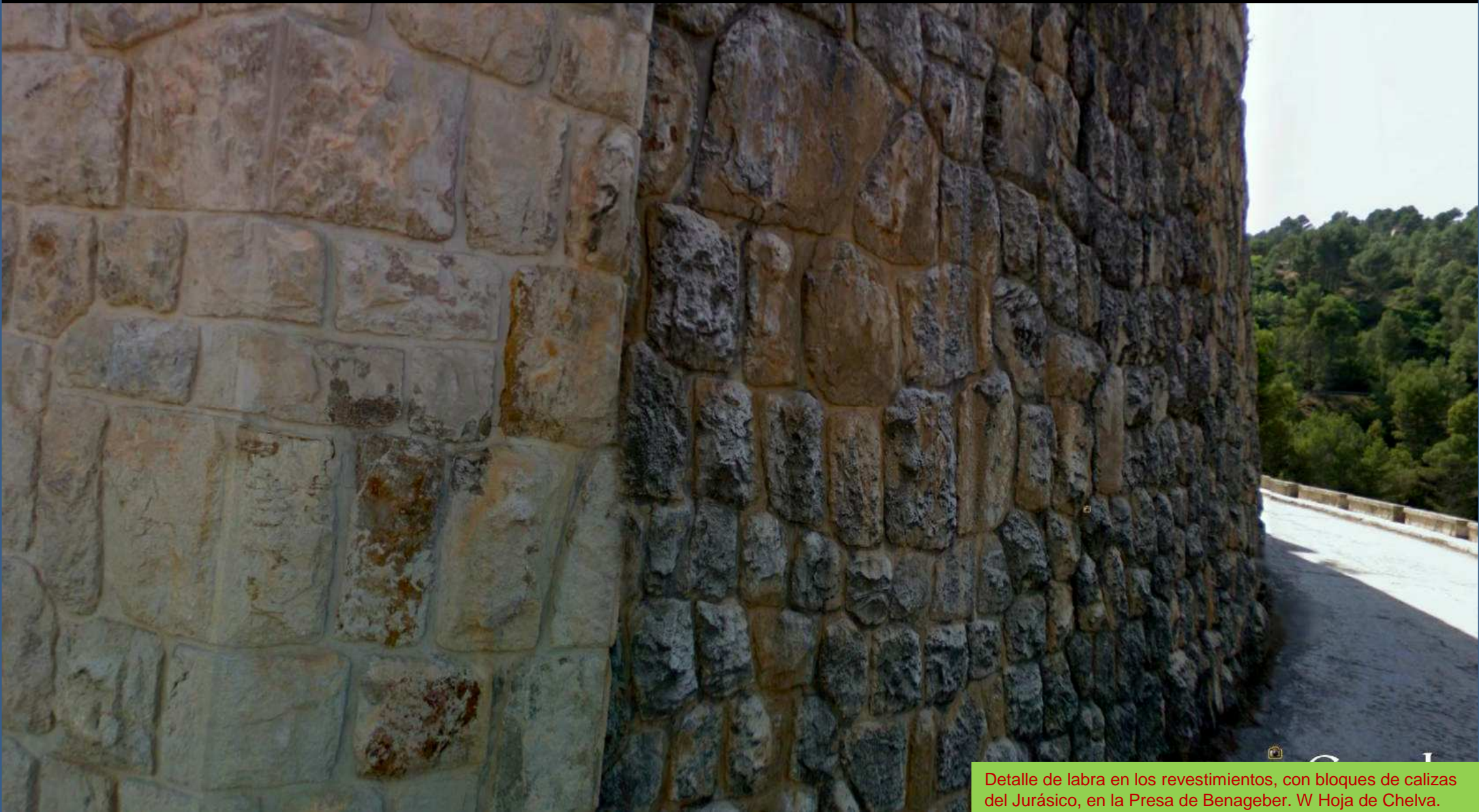


Desde coronación de presa de Benageber: arriba, Jurásico desde el tunel y el fondo; abajo, a izquierda, Cretácico. W Hoja de Chelva





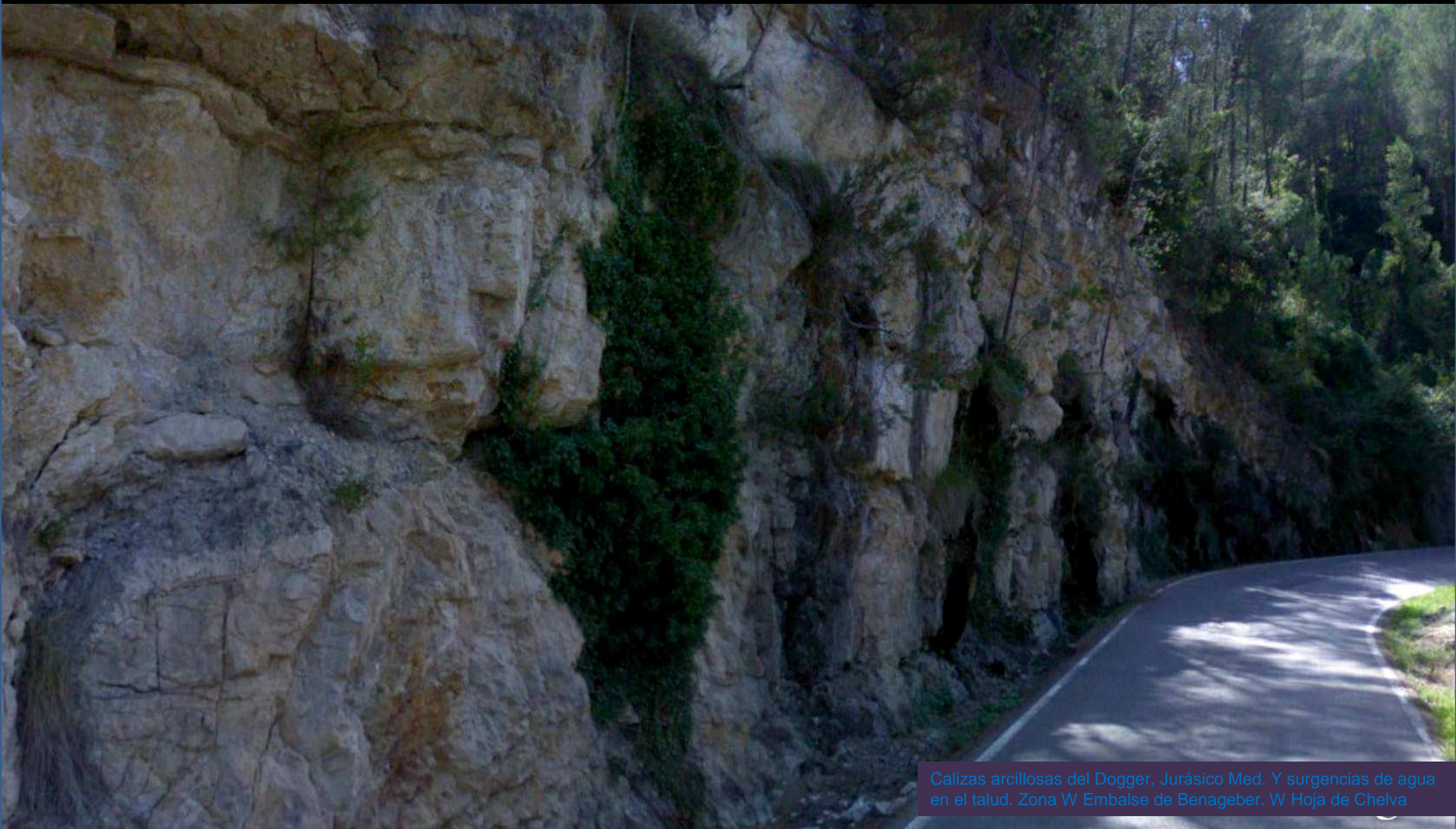
Detalle del Cretácico-inestable- desde coronación de presa de Benagaber. W. Hoja de Chelva.



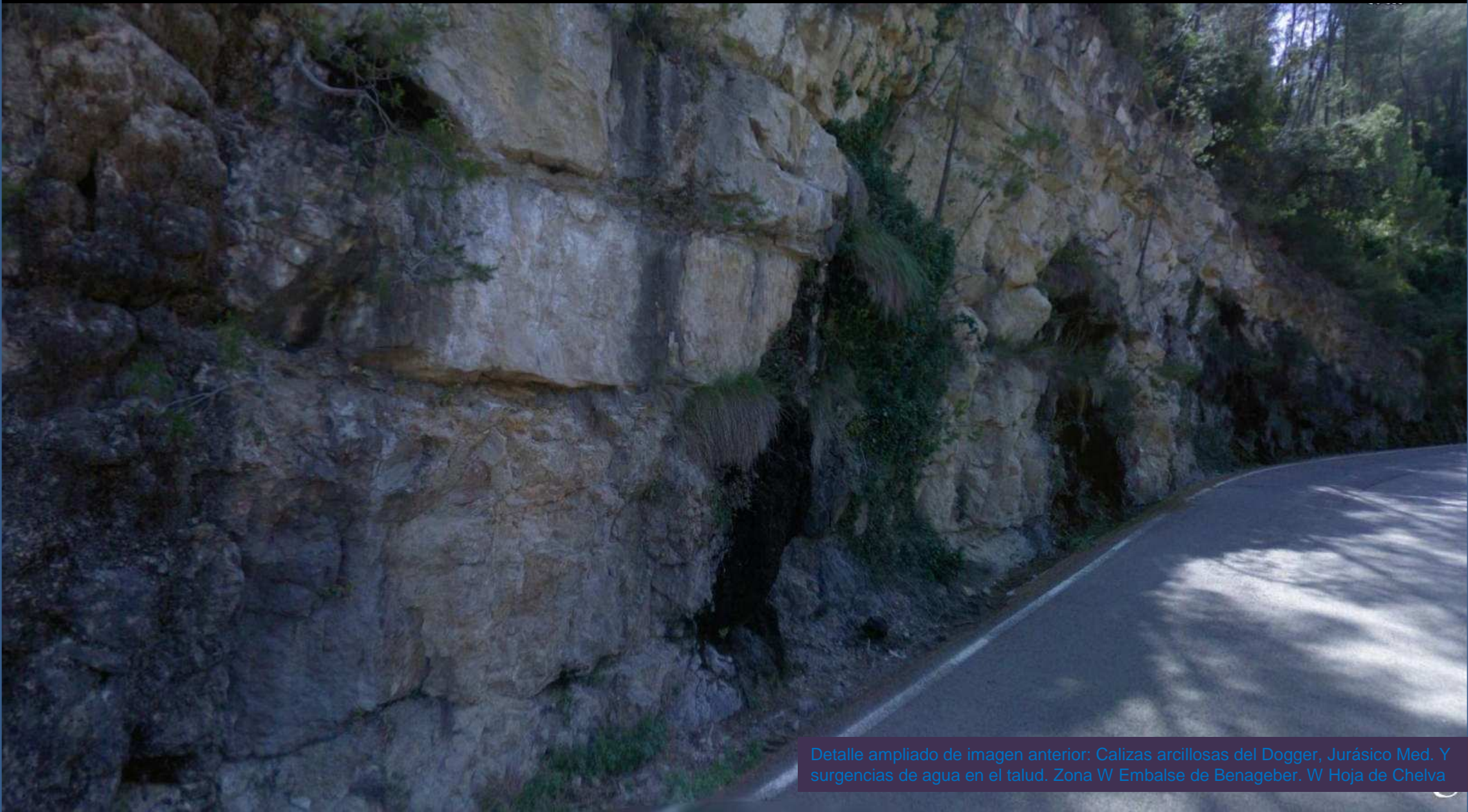
Detalle de labra en los revestimientos, con bloques de calizas del Jurásico, en la Presa de Benageber. W Hoja de Chelva.



Calizas del Dogger, Jurásico. Salida W del túnel del estribo derecho. Humedad en esquina, Embalse de Benageber. W Hoja de Chelva



Calizas arcillosas del Dogger, Jurásico Med. Y surgencias de agua en el talud. Zona W Embalse de Benageber. W Hoja de Chelva



Detalle ampliado de imagen anterior: Calizas arcillosas del Dogger, Jurásico Med. Y surgencias de agua en el talud. Zona W Embalse de Benageber. W Hoja de Chelva



Cretácico en Facies Weald. Afectado por fallas distensivas. W Embalse de Benageber. W Hoja de Chelva



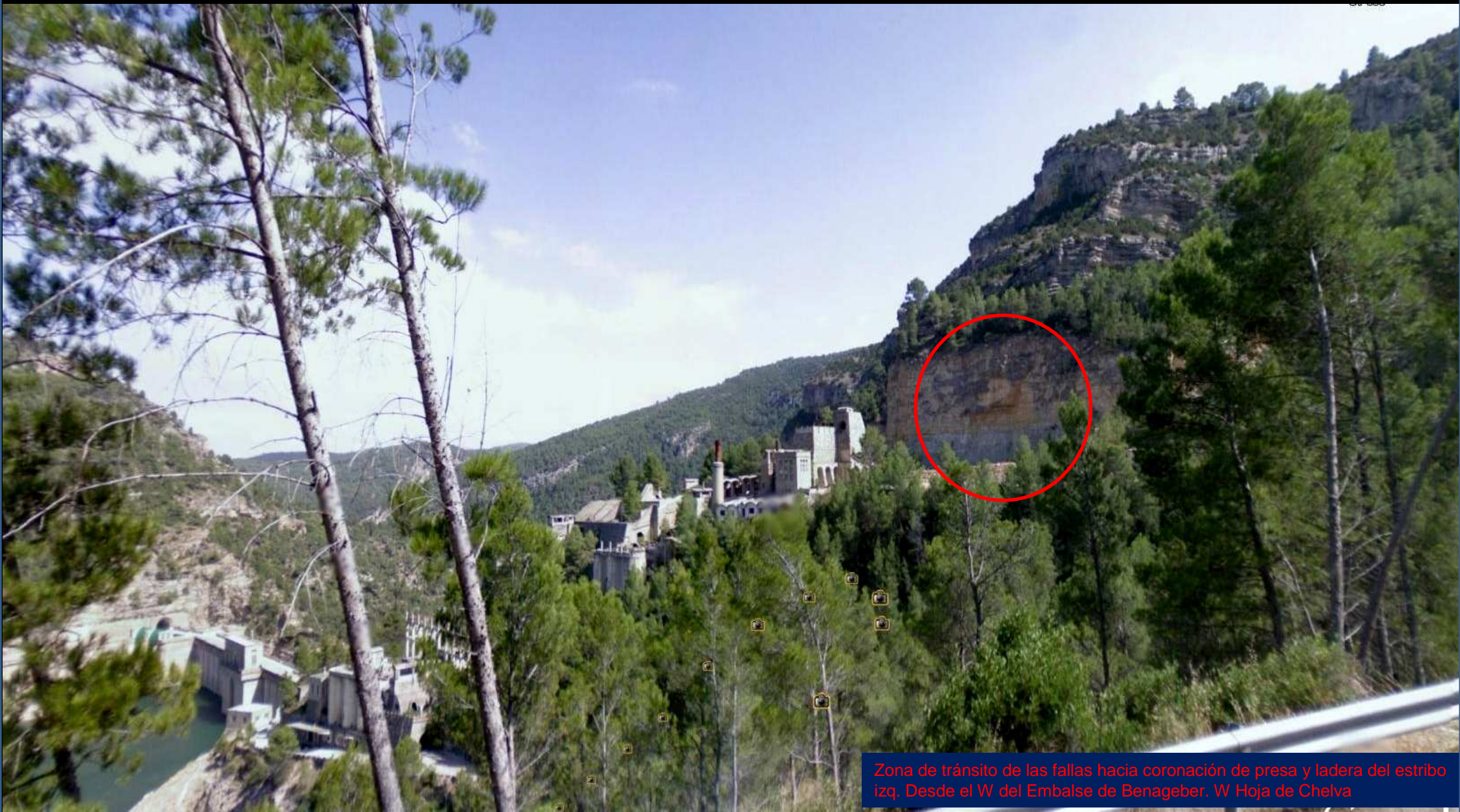
Embalse de Benageber. W Hoja de Chelva



En la zona de cabalgamiento en el Cretácico en Facies Weald.
W del Embalse de Benageber. W Hoja de Chelva



En la zona de cabalgamiento en el Cretácico en Facies Weald. Al fondo relieves del Jurásico Sup. W del Embalse de Benageber. W Hoja de Chelva



Zona de tránsito de las fallas hacia coronación de presa y ladera del estribo izq. Desde el W del Embalse de Benageber. W Hoja de Chelva



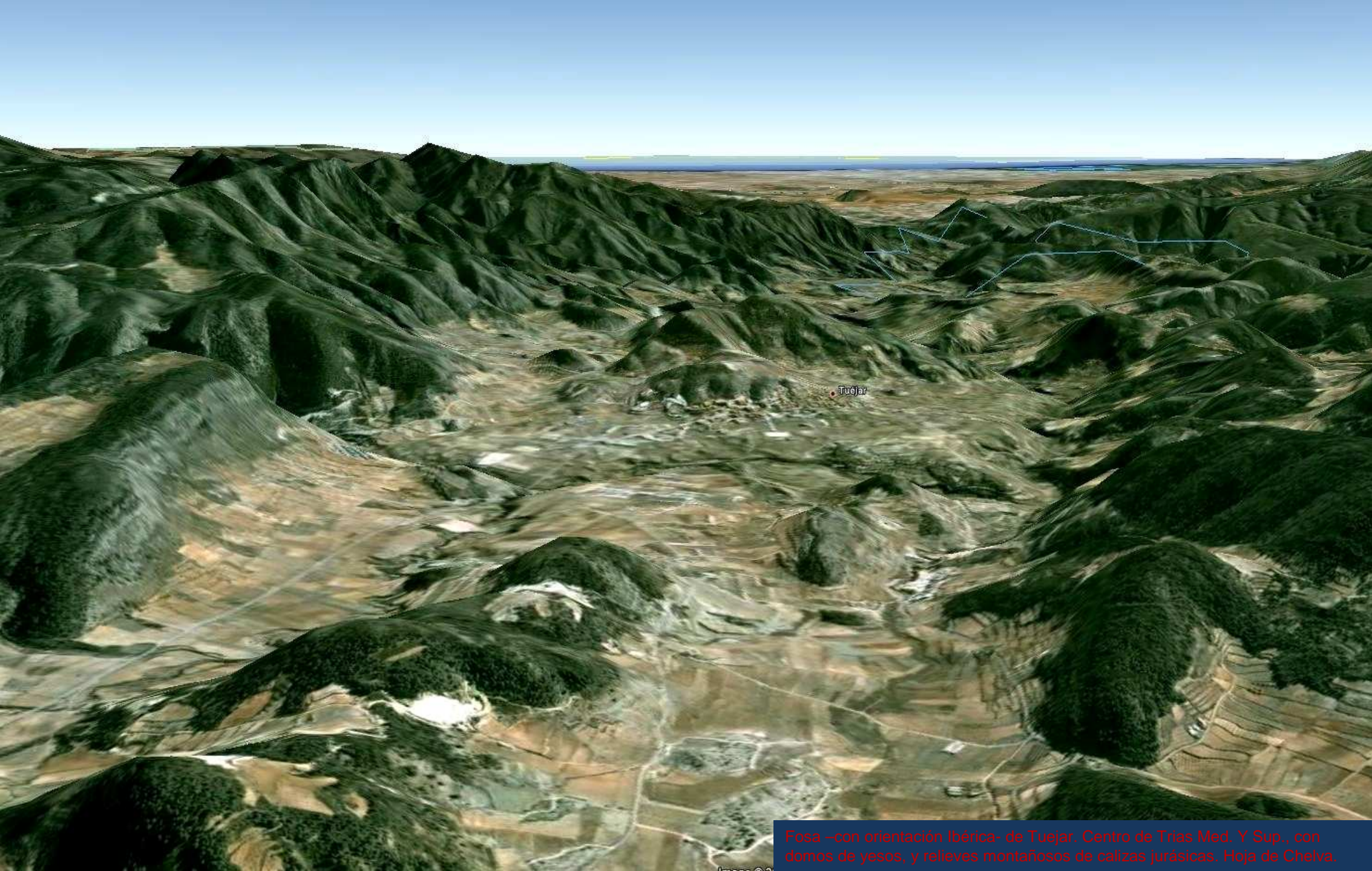
Ampliación en imagen anterior: Zona de tránsito de las fallas hacia coronación de presa y ladera del estribo izq. Desde el W del Embalse de Benageber. W Hoja de Chelva



Areniscas, arcillas y margas del Cretácico Inf. Facies Weald. W del Embalse de Benageber. W Hoja de Chelva



Explotación de los yesos del Keuper al W de Tuejar. W Hoja de Chelva.



Fosa –con orientación Ibérica- de Tuejar. Centro de Trias Med. Y Sup., con domos de yesos, y relieves montañosos de calizas jurásicas. Hoja de Chelva.



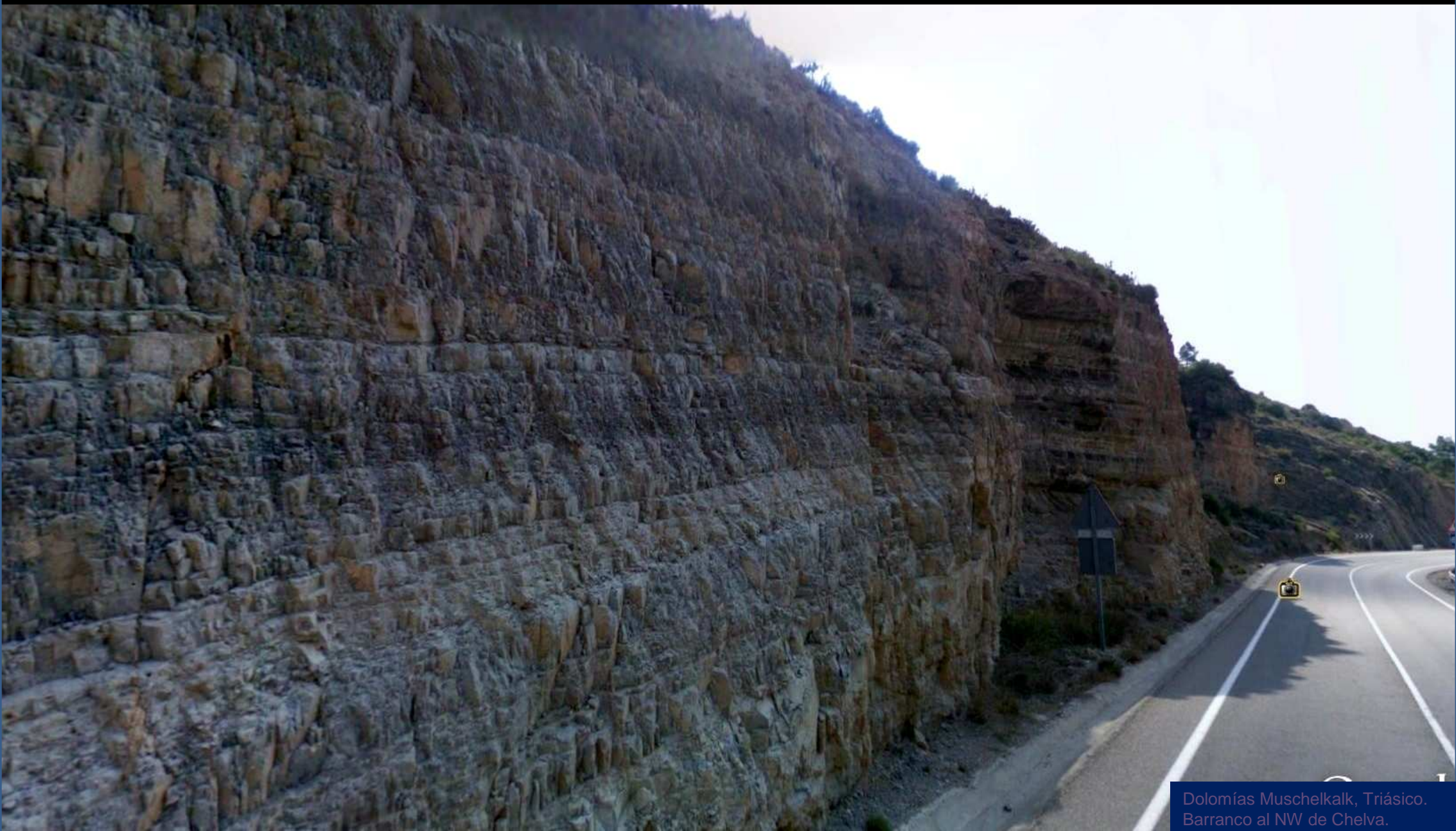
Dolomías Muschelkalk falladas. Monte Mozaira al W de Tuejar. Centro Hoja de Chelva.



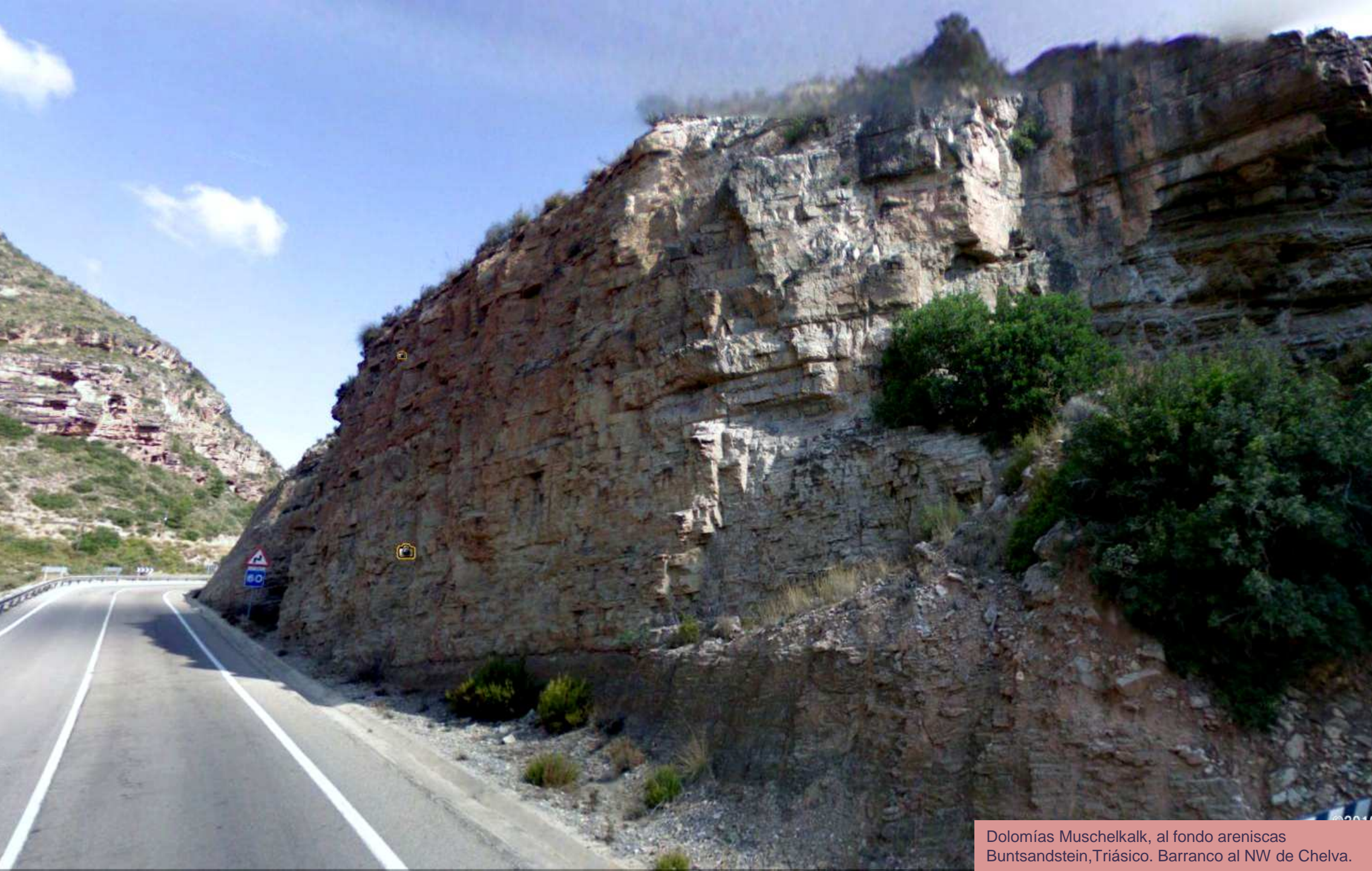
Dolomías con intercalación de arcillas con yesos.
Muschelkalk, Triásico. Barranco al NW de Chelva.



Detalle de falla en imagen anterior: Dolomías con intercalación de arcillas con yesos. Muschelkalk, Triásico. Barranco al NW de Chelva.



Dolomías Muschelkalk, Triásico.
Barranco al NW de Chelva.



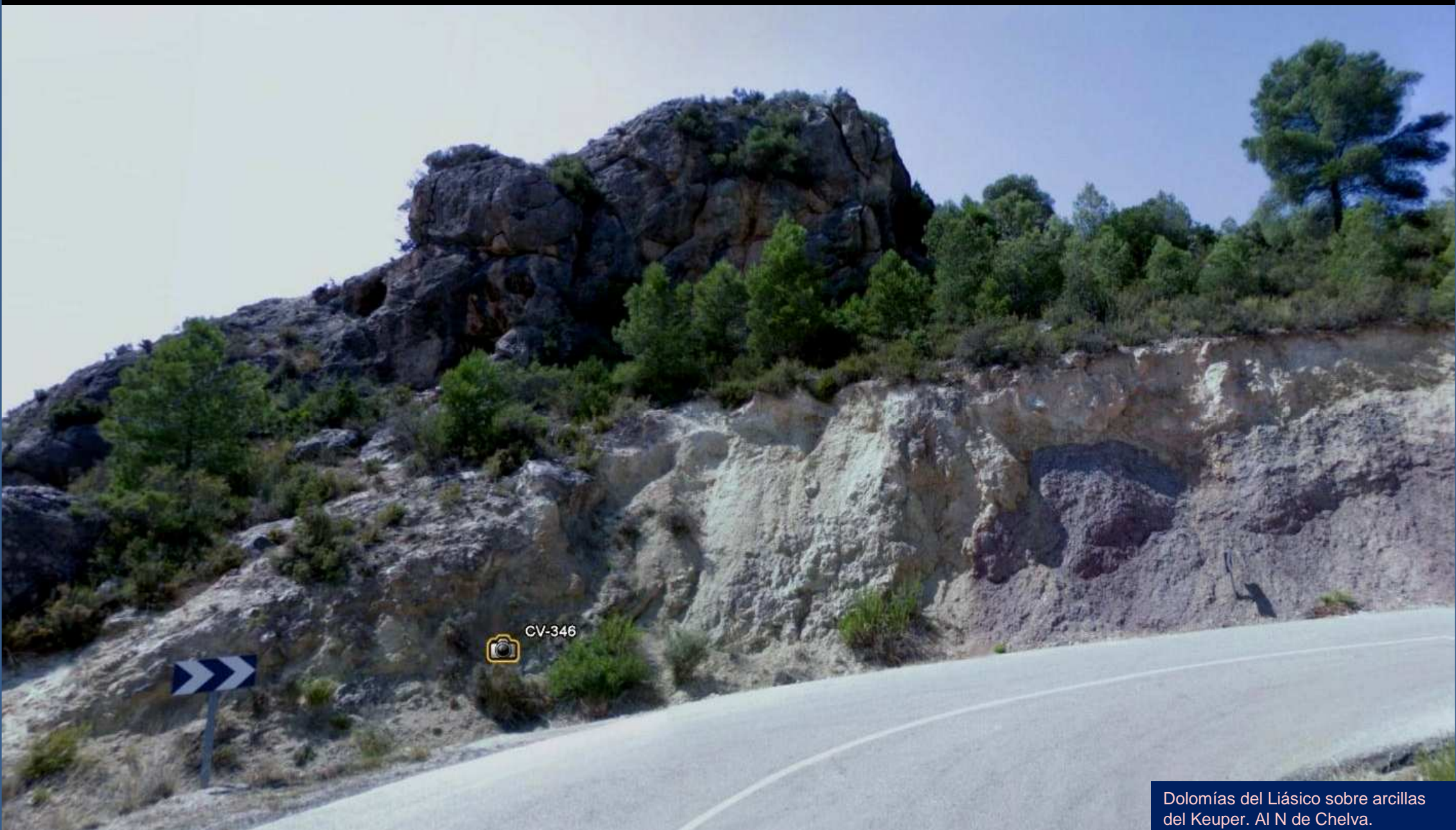
Dolomías Muschelkalk, al fondo areniscas Buntsandstein, Triásico. Barranco al NW de Chelva.



Pliegue en rodilla evolucionando a falla en dolomías tableadas Muschelkalk, Triásico. Barranco al NW de Chelva.



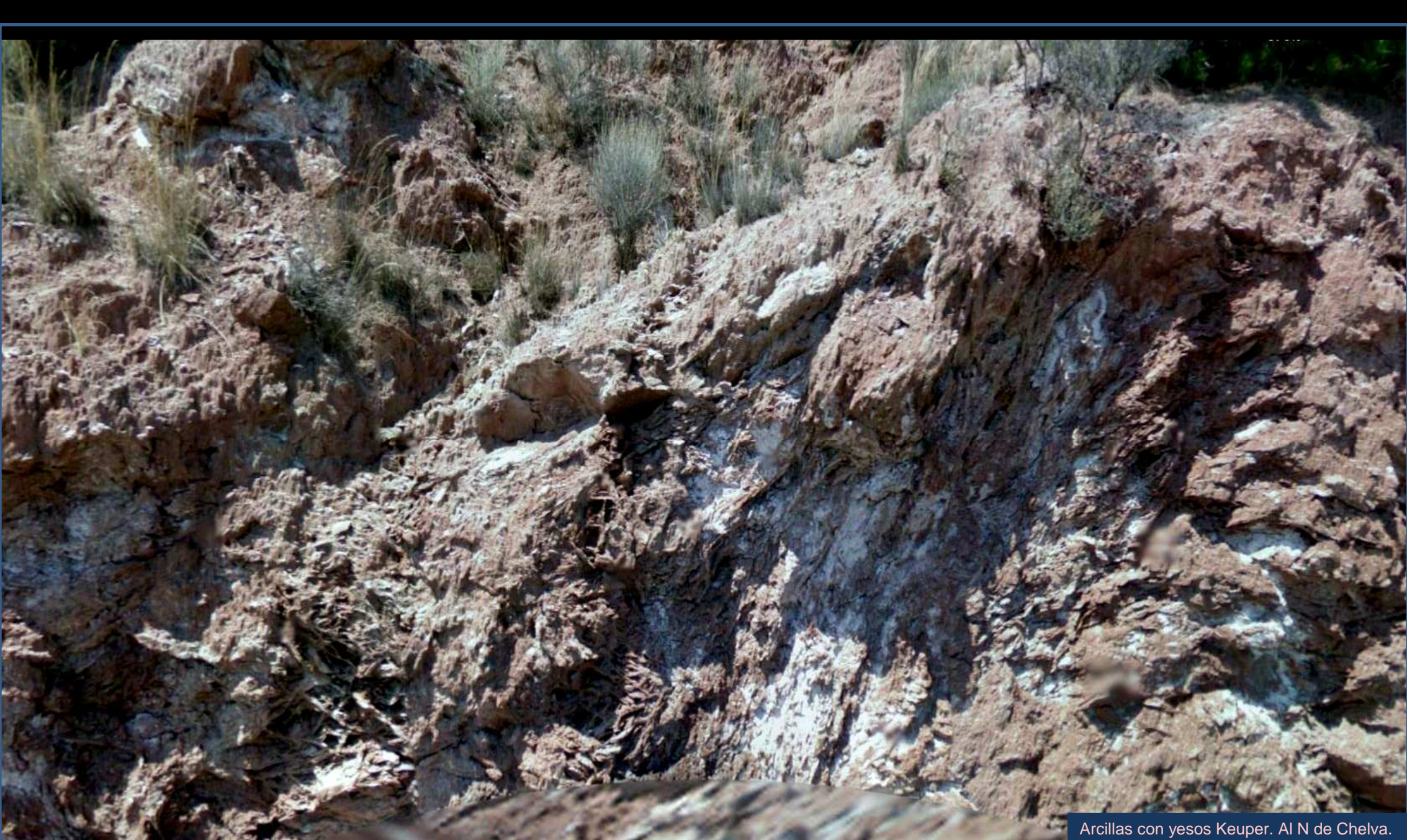
Siguiendo la fosa del Río Tuejar, rellena de Cuaternario y Triásico. Centro Hoja de Chelva.



CV-346



Dolomías del Liásico sobre arcillas del Keuper. Al N de Chelva.



Arcillas con yesos Keuper. Al N de Chelva.



Arcillas con yesos Keuper. Al N de Chelva.



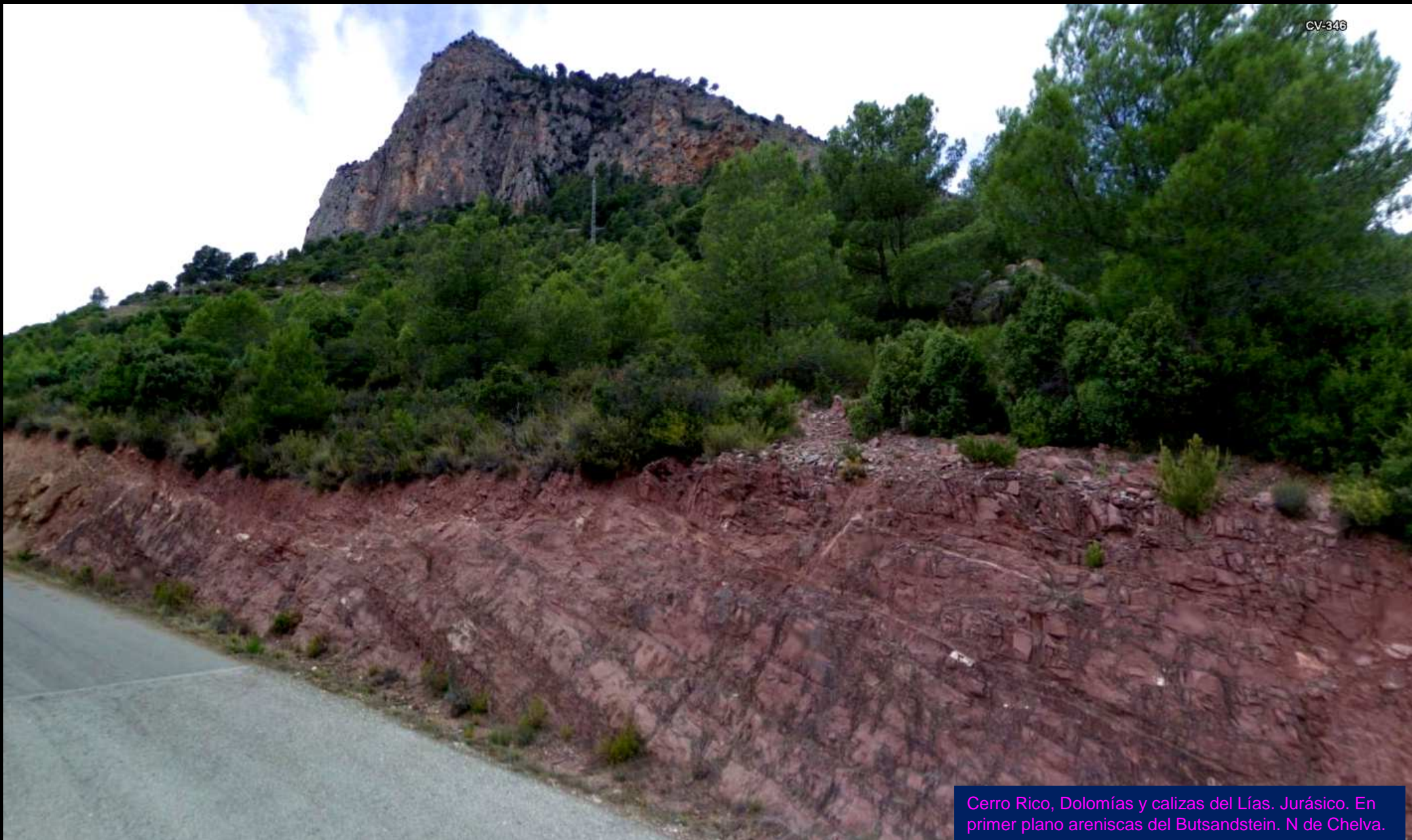
Arcillas con yesos Keuper. Al N de Chelva.



Cerro Rico, Dolomías y calizas del Lías. Jurásico. En primer plano, dolomías Muschelkalk. N de Chelva.



Cerro Rico, Dolomías y calizas del Lías. Jurásico. En primer plano areniscas del Buntsandstein. N de Chelva.



Cerro Rico, Dolomías y calizas del Lías. Jurásico. En primer plano areniscas del Butsandstein. N de Chelva.



Sedimentos fluviales Cuaternarios sobre arcillas versicolores del Keuper Triásico. Al NW de Calles. Centro Hoja de Chelva.



Actuaciones en talud de sedimentos fluviales Cuaternarios sobre arcillas versicolores del Keuper Triásico. Al NW de Calles. Centro Hoja de Chelva.



Actuaciones en talud de sedimentos fluviales Cuaternarios sobre arcillas versicolores del Keuper Triásico. Al NW de Calles. Centro Hoja de Chelva.



Actuaciones en talud de arcillas versicolores del Keuper Triásico. Al SE de Calles. Centro Hoja de Chelva.



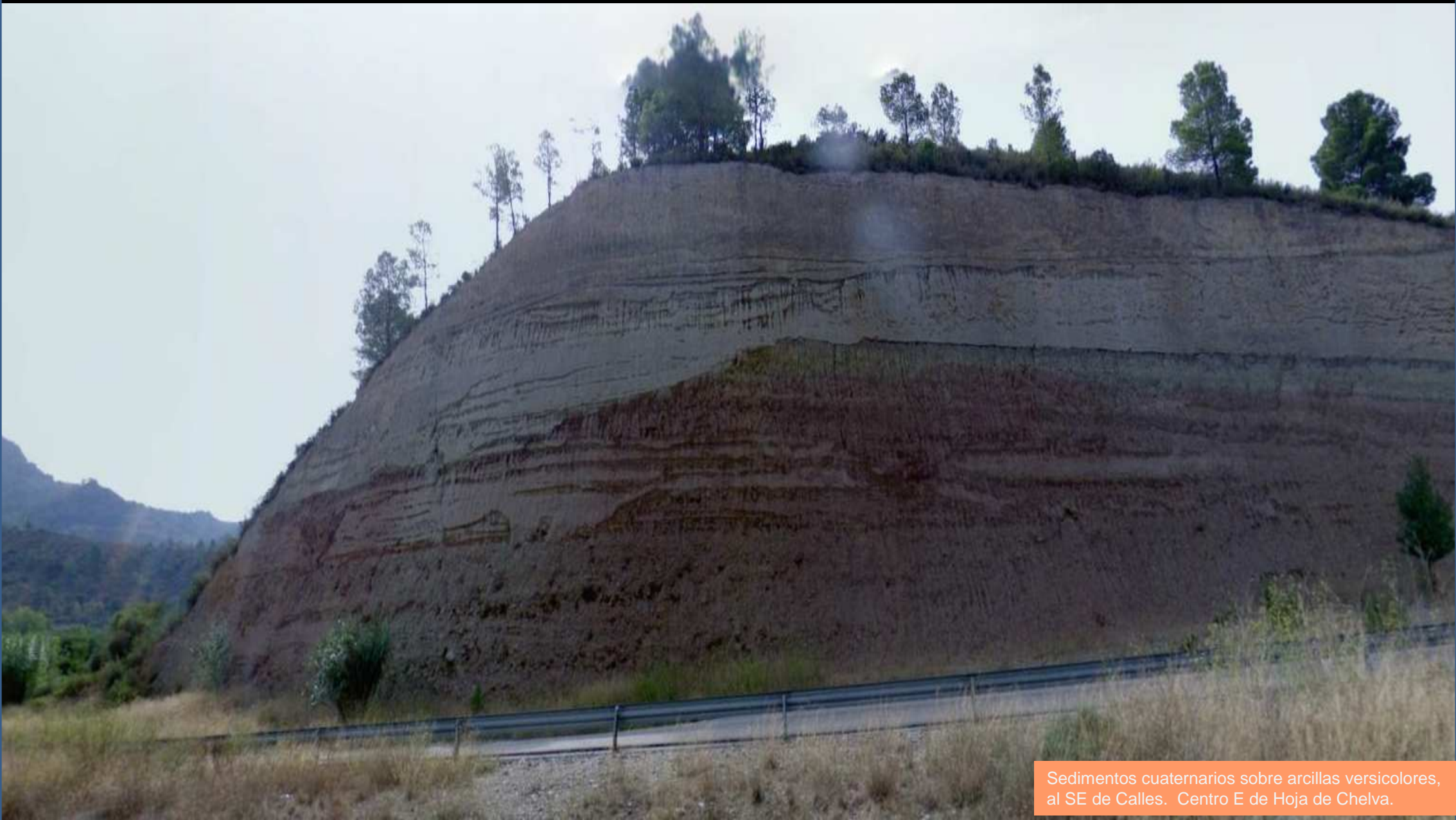
Talud de arcillas versicolores del Keuper Triásico.
Al SE de Calles. Centro Hoja de Chelva.



Sedimentos fluviales Cuaternarios sobre arcillas versicolores del Keuper Triásico. Al NW de Calles. Centro Hoja de Chelva.



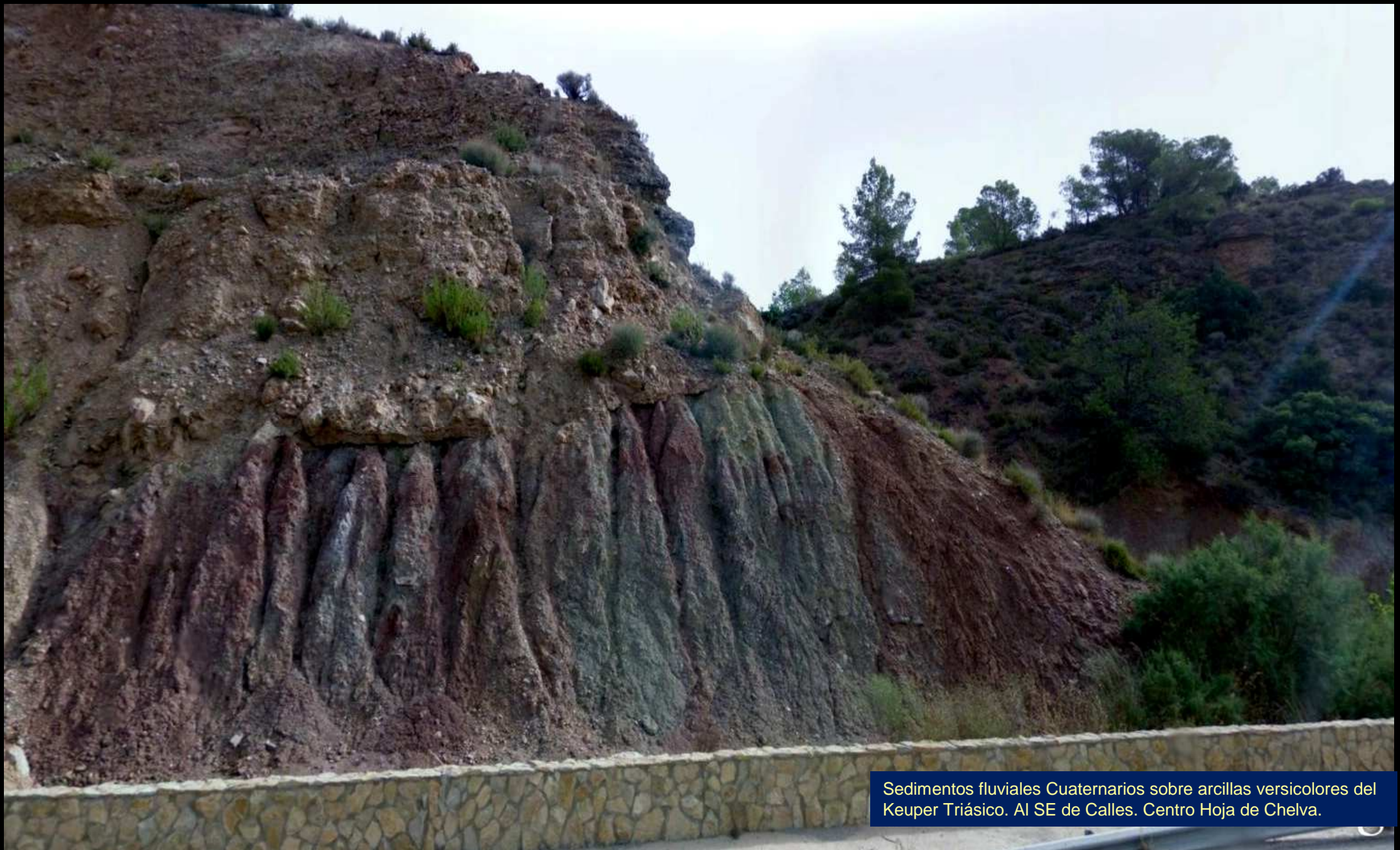
Sedimentos fluviales del Río Tuejar al SE de Calles. Centro E de Hoja de Chelva.



Sedimentos cuaternarios sobre arcillas versicolores, al SE de Calles. Centro E de Hoja de Chelva.



Sedimentos fluviales Cuaternarios sobre arcillas versicolores del Keuper Triásico. Al SE de Calles. Centro Hoja de Chelva.



Sedimentos fluviales Cuaternarios sobre arcillas versicolores del Keuper Triásico. Al SE de Calles. Centro Hoja de Chelva.



Sedimentos fluviales Cuaternarios sobre arcillas versicolores del Keuper Triásico. Al SE de Calles. Centro Hoja de Chelva.



Detalle de imagen anterior: Sedimentos fluviales Cuaternarios sobre arcillas versicolores del Keuper Triásico. Al SE de Calles. Centro Hoja de Chelva.



A izquierda Cuaternario fluvial; en medio, arcillas versicolores Keuper; en cima, dolomías del Muschelkalk. Al SE de Calles. Centro Hoja de Chelva.



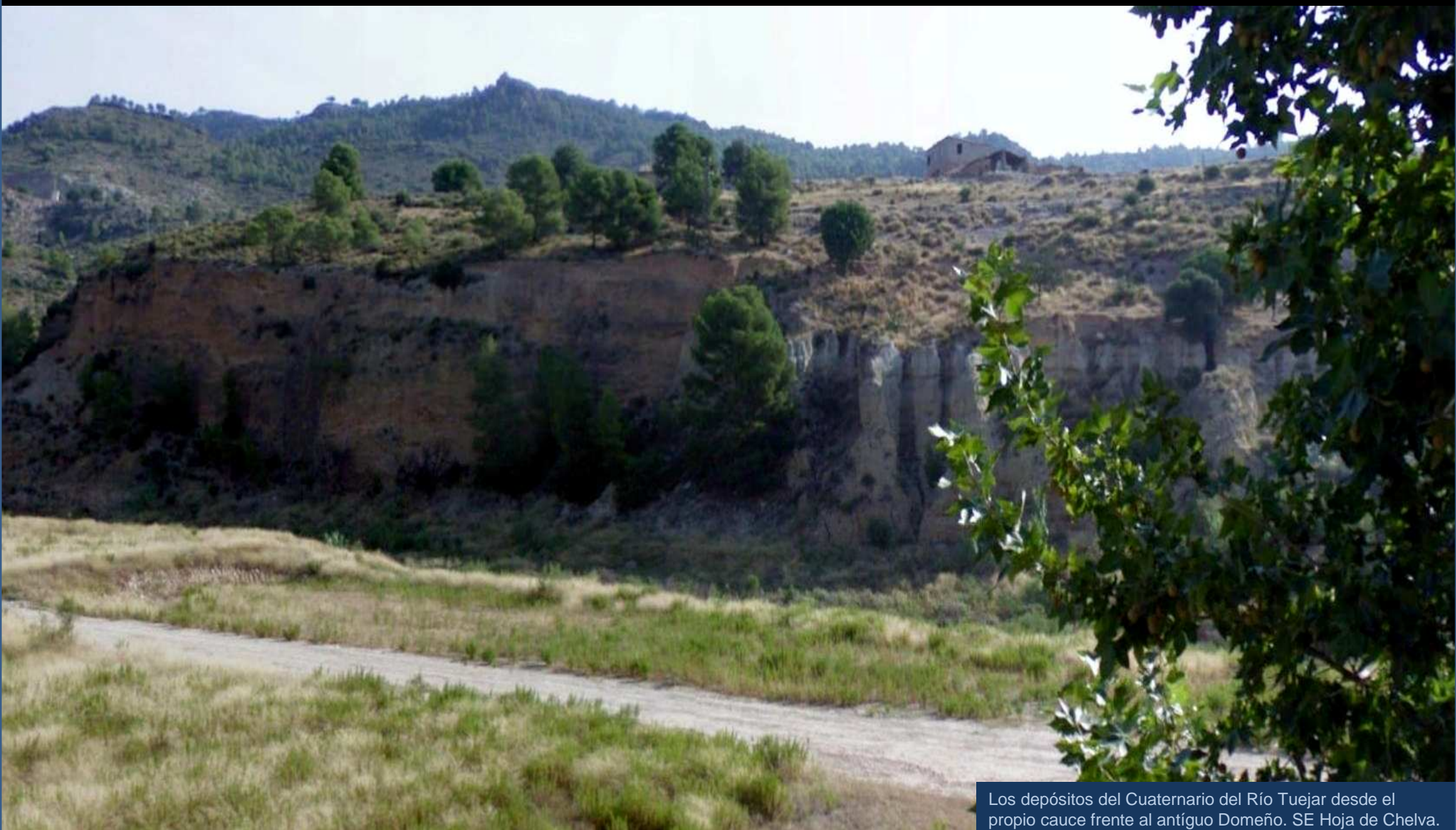
Taludes de materiales yesíferos y detrítico. Izquierda y centro Keuper; el talud de la derecha con Cuaternario. Al SE de Calles. Centro Hoja de Chelva.



Detalle de imagen anterior, obsérvese el mallazo de protección. Talud de material arcilloso con yesos Keuper. Al SE de Calles. Centro Hoja de Chelva.



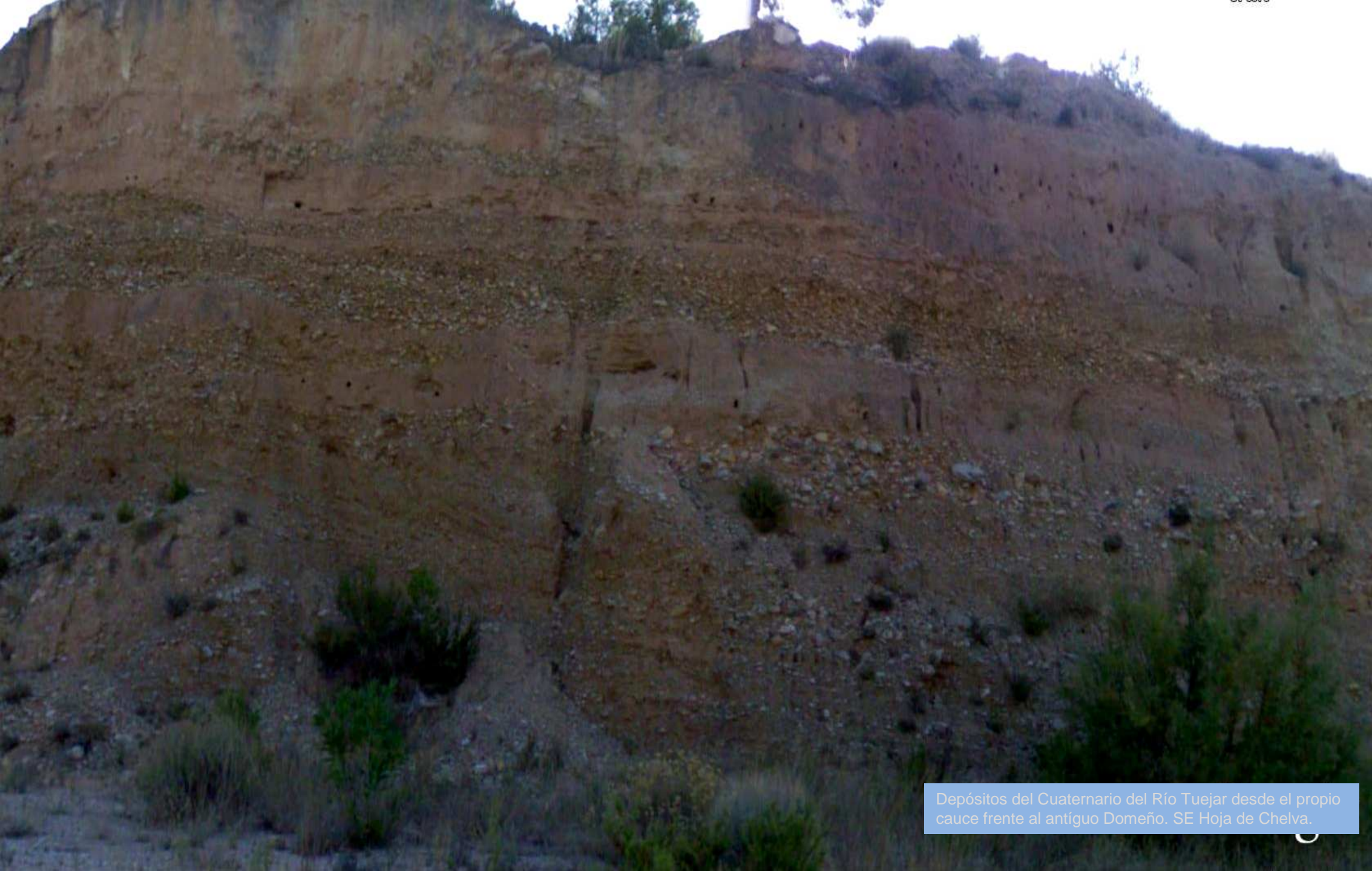
Detalle de una imagen anterior, Talud de sedimentos fluviales del Cuaternario sobre arcillas versicolores del Keuper. Al SE de Calles. Centro Hoja de Chelva.



Los depósitos del Cuaternario del Río Tuejar desde el propio cauce frente al antiguo Domeño. SE Hoja de Chelva.



Obras en los depósitos del Cuaternario fluvial del Río Tuejar desde el propio cauce frente al antiguo Domeño. SE Hoja de Chelva.



Depósitos del Cuaternario del Río Tuejar desde el propio cauce frente al antiguo Domeño. SE Hoja de Chelva.



(Ver el archivo SALIR AL CAMPO del mismo autor)

Salto de agua artificial entre calizas del Jurásico.
Junto al antiguo Domeño. SE Hoja de Chelva.



Amplio afloramiento de arcillas versicolores con yeso del Keuper. Coronadas por carniolas SupraKeuper en **sinclinal**. S antiguo Domeño. SE Hoja de Chelva.



Detalle de imagen anterior: Afloramiento de arcillas versicolores con yeso del Keuper. Coronadas por carniolas SupraKeuper en sinclinal. S antiguo Domeño. SE Hoja de Chelva.



Detalle de imagen anterior: Afloramiento de arcillas versicolores con yeso del Keuper. Coronadas por carníolas SupraKeuper en sinclinal. S antiguo Domeño. SE Hoja de Chelva.



Detalle del sinclinal de la imagen anterior: Afloramiento de arcillas versicolores con yeso del Keuper. Coronadas por conchíferas SupraKeuper. S antiguo Domeño. SE Hoja de Chelva.



Arcillas con yesos del Keuper y dolomías Suprakeuper, Antigua carretera al S de Cerro Garrama, N Embalse de Loriguilla, SE Hoja de Chelva.



Arcillas con yesos del Keuper y dolomías Suprakeuper. Antigua carretera al S de Cerro Garrama. N Embalse de Longuilla. SE Hoja de Chelva.



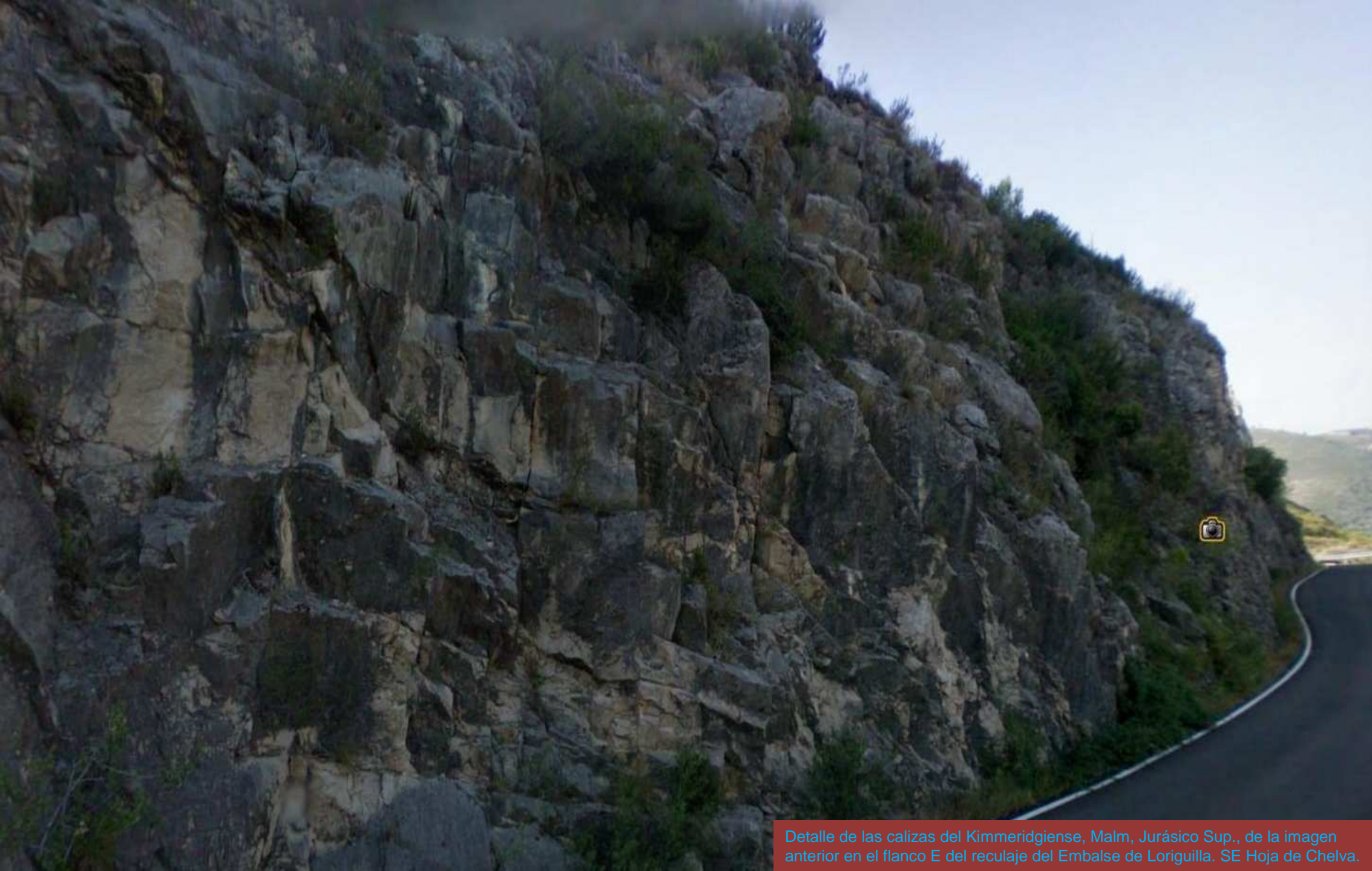
Zona de reculaje del embalse de Loriguilla, en carretera vieja. Al fondo relieves calizos del Jurásico descendidos en graderío formado el borde de fosa. Centro y primer plano, Keuper.



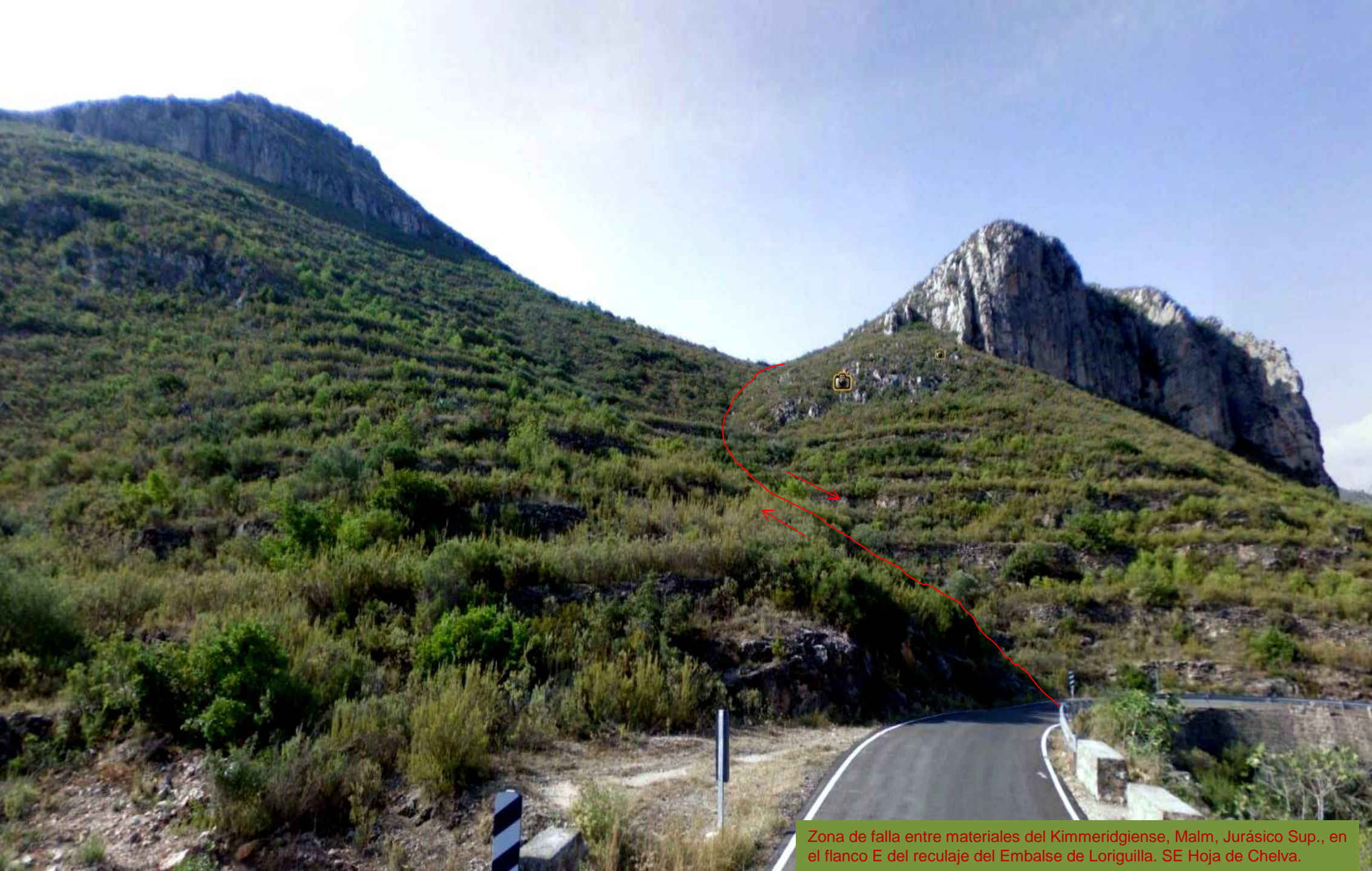
Relieves carbonatados del Jurásico- en su mayoría- en el flanco E del reculaje del Embalse de Loriguilla. SE Hoja de Chelva.



Relieves carbonatados del Jurásico- en su mayoría- en el flanco E del reculaje del Embalse de Loriguilla. SE Hoja de Chelva.



Detalle de las calizas del Kimmeridgiense, Malm, Jurásico Sup., de la imagen anterior en el flanco E del reculaje del Embalse de Loriguilla. SE Hoja de Chelva.



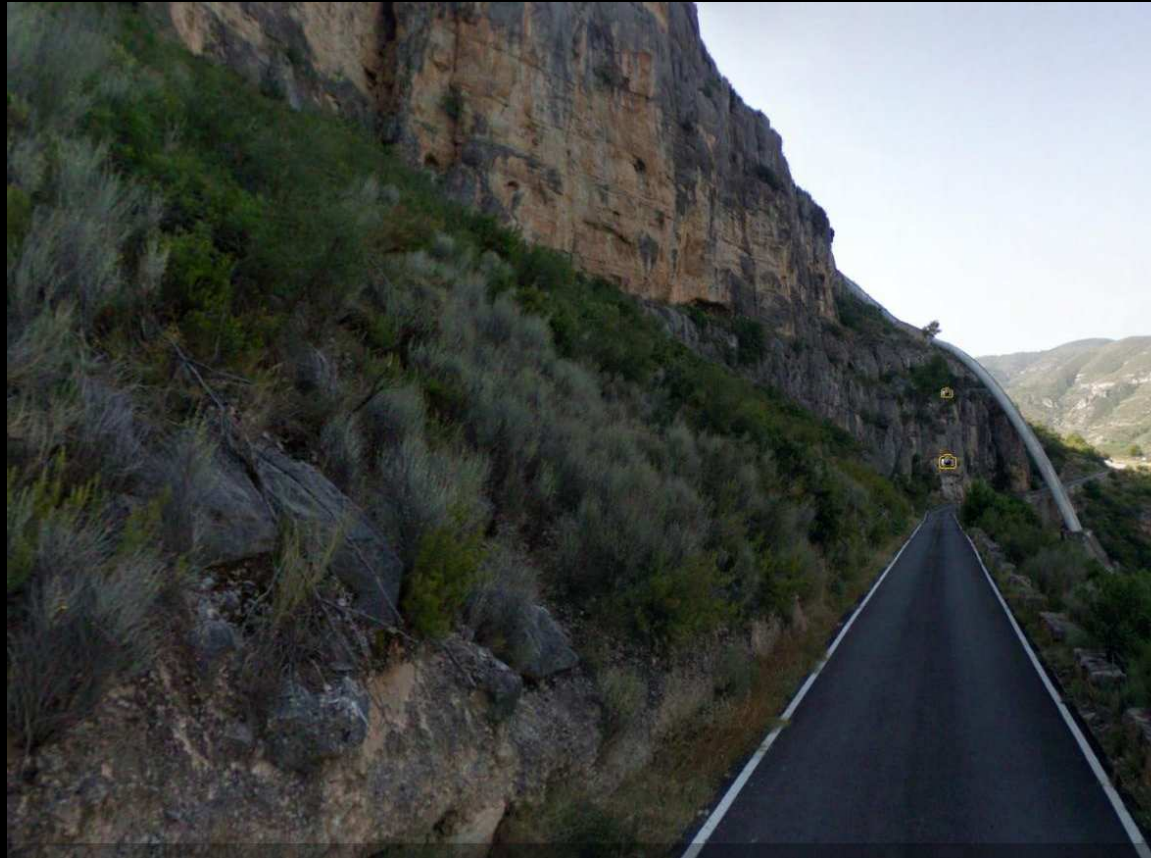
Zona de falla entre materiales del Kimmeridgiense, Malm, Jurásico Sup., en el flanco E del reculaje del Embalse de Loriguilla. SE Hoja de Chelva.



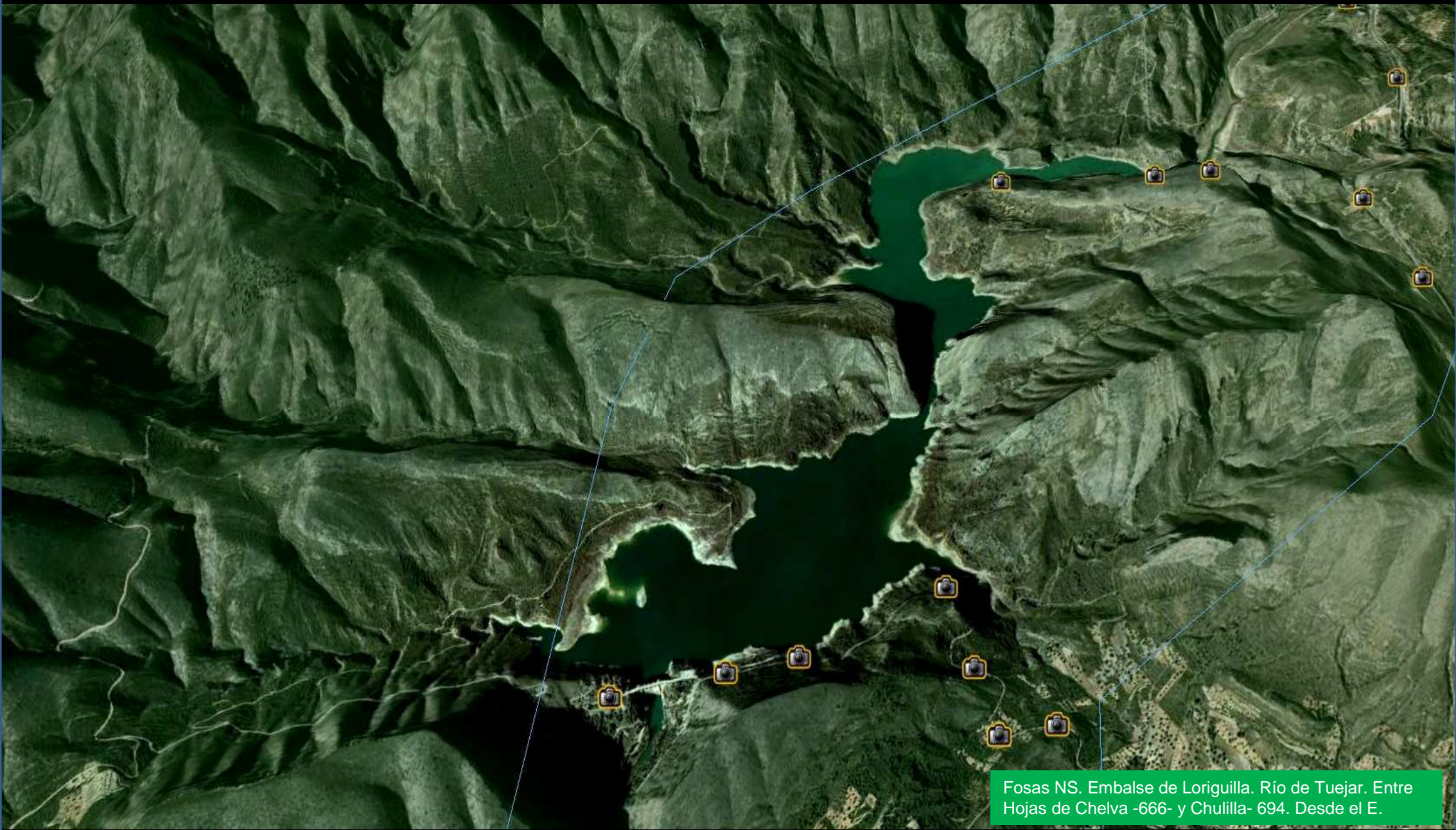
Reculaje del Embalse de Loriguilla. Relieves Jurásicos y Cretácico Inf., Wealdenses. SE Hoja de Chelva.



Detalle de imagen anterior de relieves Kimmeridgiense, Malm, Jurásico Sup. Reculaje del Embalse de Loriguilla. SE Hoja de Chelva.



Obras hidráulicas en el reculaje del Embalse de Loriguilla. (imagen combinada). SE Hoja de Chelva.



Fosas NS. Embalse de Loriguilla. Río de Tago. Entre Hojas de Chelva -666- y Chulilla- 694. Desde el E.



Lomas de materiales calizos Jurásicos entre sinclinal, fallas y fosa a la derecha – con sedimentos del Cretácico Weald. N Embalse de Loriguilla. SE Hoja de Chelva.



Relieves Jurásicos NS desde el Cretácico- Wealdense- Flanco E del Embalse de Loriguilla. SE Hoja de Chelva.



Falla en las areniscas, arcillas y margas del Cretácico Inf. F. Wealdense. Al W de Losa del Obispo. SE Hoja de Chelva.



Salida de falla en materiales del Cretácico F. Wealdense.
Ak W de Losa del Obispo. SE Hoja de Chelva.



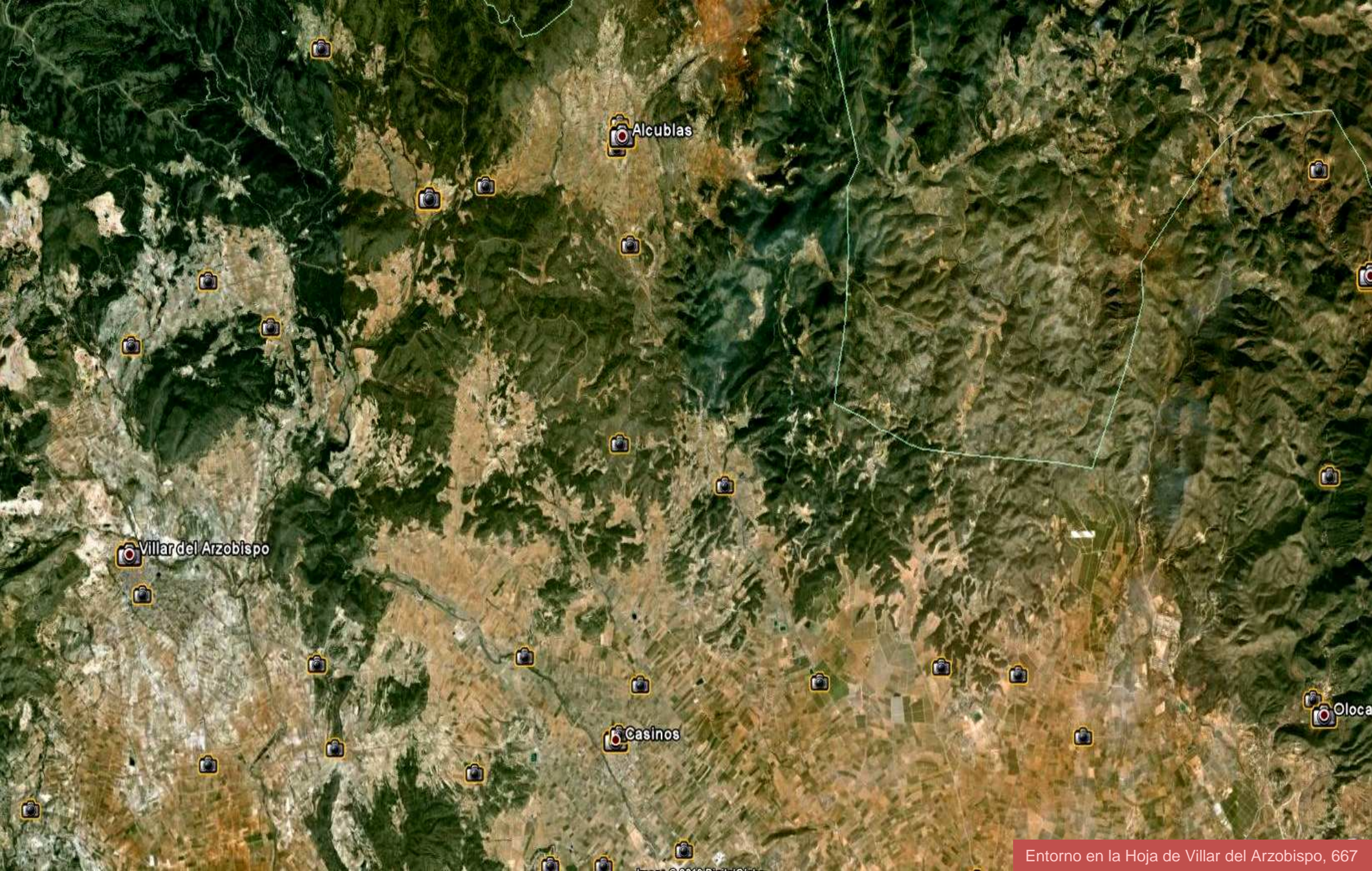
(Ver el archivo SALIR AL CAMPO del mismo autor)

Cretácicos fallados al NW de Losa del Obispo. Abajo Albiense y en F. Wealdense; En la cima y fallado Cenomaniense; a izquierda y en escarpe Aptiense. SE Hoja de Chelva.



Ver archivo 'SALIR AL CAMPO'

Aptiense-arenas claras-, Albiense- calizas-, Cretácico Inf.
Barranco al W de NW de Losa del Obispo. SE Hoja de Chelva.

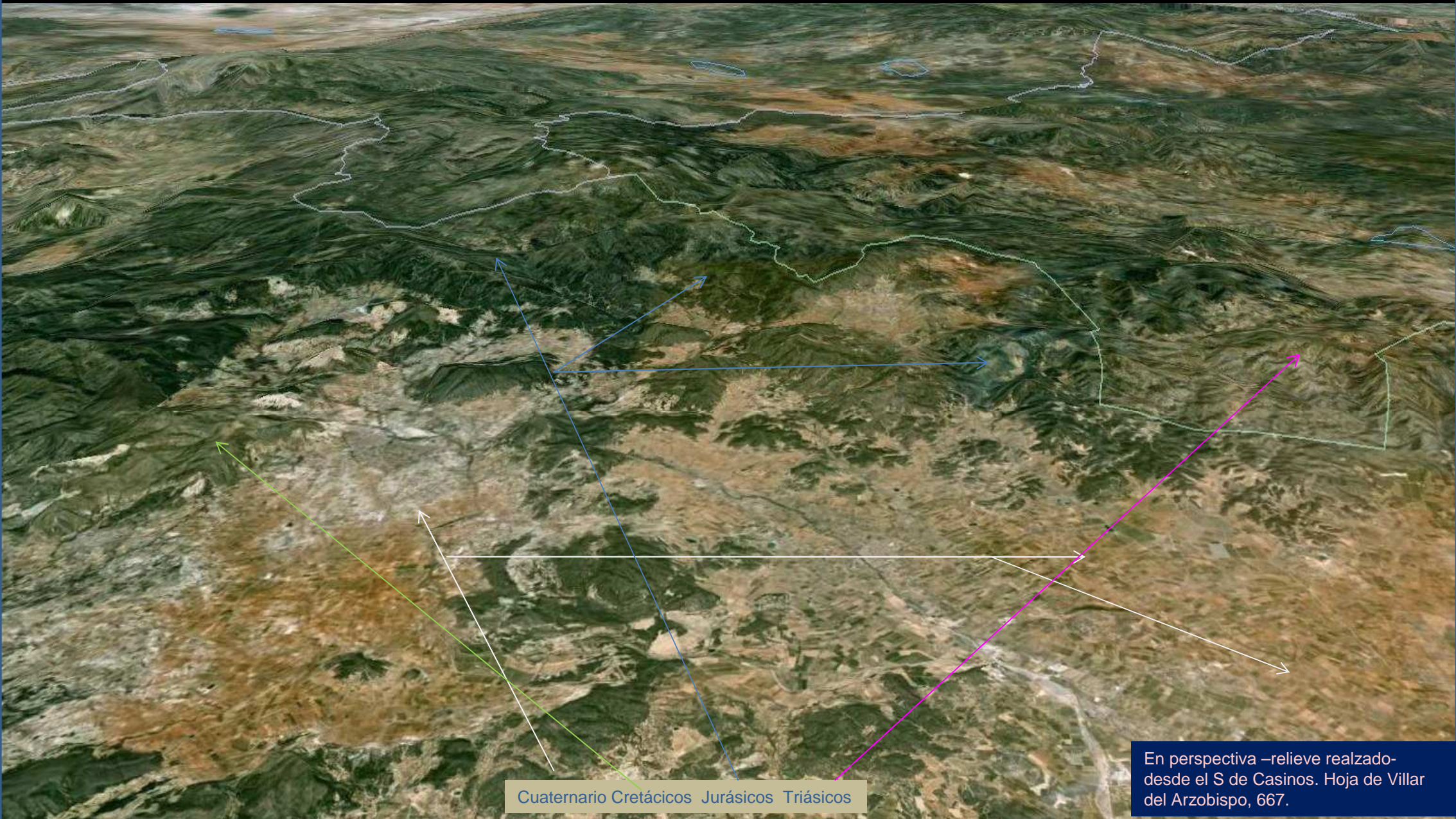


Alcublas

Villar del Arzobispo

Casinos

Oloca



Cuaternario Cretácicos Jurásicos Triásicos

En perspectiva –relieve realzado– desde el S de Casinos. Hoja de Villar del Arzobispo, 667.



Dolomías carniolares y brechoides Triásico- Jurásicas, en zona de cabalgamiento. W de Cerro Mojón Blanco; SE Artaj. NW Hoja de Villar del Arzobispo.



Falla entre las calizas y margocalizas Liásicas y las dolomías carniolesares y brechoides Triásico- Jurásicas, en zona de cabalgamiento. W de Cerro Mojón Blanco; SE Artaj. NW Hoja de Villar del Arzobispo.



Dolomías carniolares y brechoides Triásico- Jurásicas, en zona de cabalgamiento. W de Cerro Mojón Blanco; SE Artaj. NW Hoja de Villar del Arzobispo.



Calizas del Jurásico fuertemente tectonizadas. W de Cerro Mojón Blanco; SE Artaj. NW Hoja de Villar del Arzobispo.



Calizas del Jurásico fuertemente tectonizadas. W de Cerro Mojón Blanco; SE Artaj. NW Hoja de Villar del Arzobispo.



Alternancia de calizas margo arenosas y margas del Kimmeridgiense, Malm, Jurásico Sup. E de Artaj. NW Hoja de Villar del Arzobispo



Alternancia de calizas margoarenosas y margas del Kimmeridgiense, Malm, Jurásico Sup. E de Artaj. NW Hoja de Villar del Arzobispo



Espejo de falla en las calizas y margas del Kimmeridgiense, Malm, Jurásico Sup. E de Artaj. NW Hoja de Villar del Arzobispo



Alternancia de calizas margoarenosas y margas del Kimmeridgiense, Malm, Jurásico Sup. E de Artaj. NW Hoja de Villar del Arzobispo



Alternancia de calizas margoarenosas y margas del Kimmeridgiense, Malm, Jurásico Sup. E de Artaj. NW Hoja de Villar del Arzobispo



Superficie de estratificación con ripples. Margas del Kimmeridgiense, Malm, Jurásico Sup. E de Artaj. NW Hoja de Villar del Arzobispo



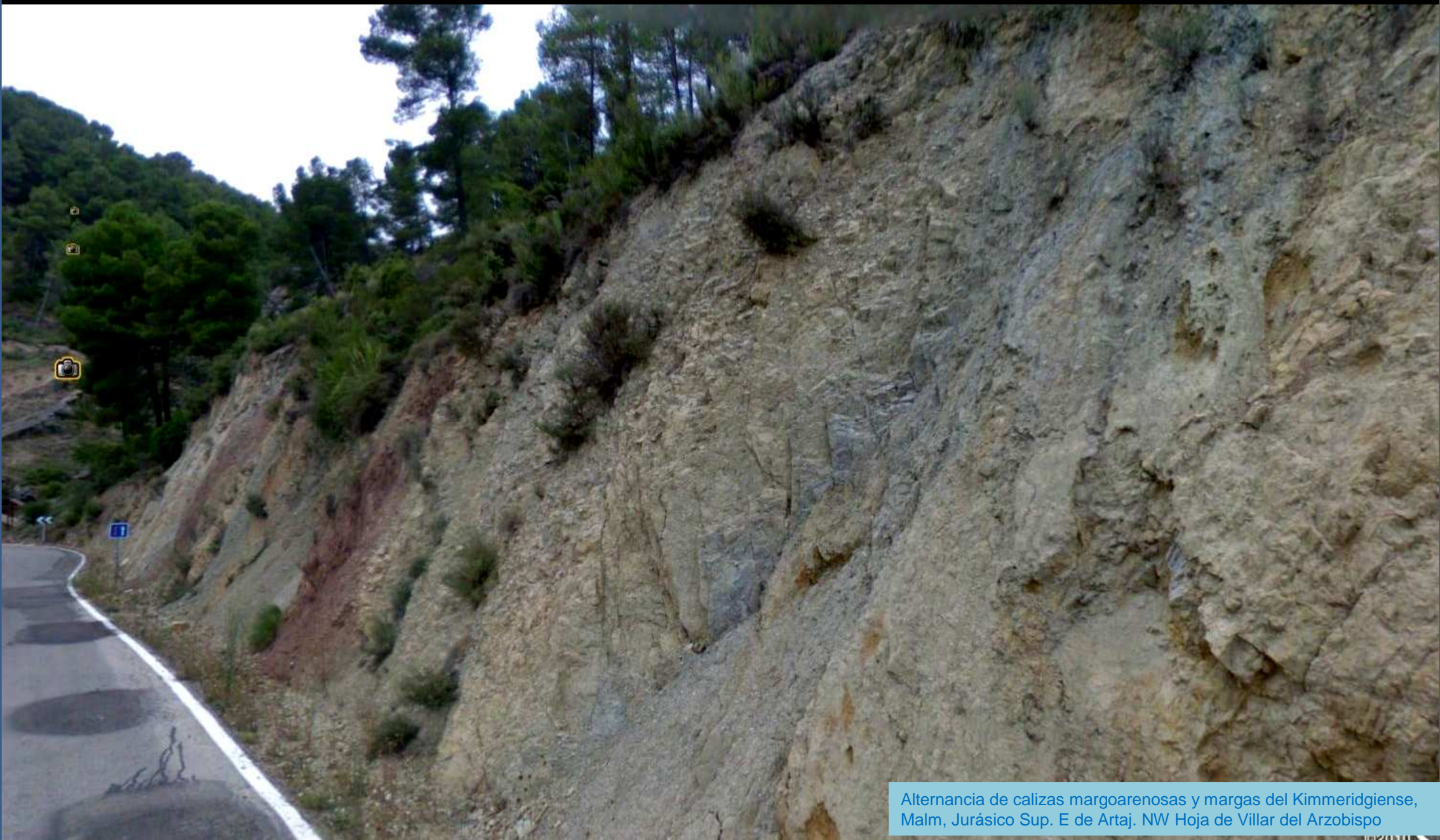
Charnela de pliegue y falla en margas del Kimmeridgiense, Malm, Jurásico Sup. E de Artaj. NW Hoja de Villar del Arzobispo



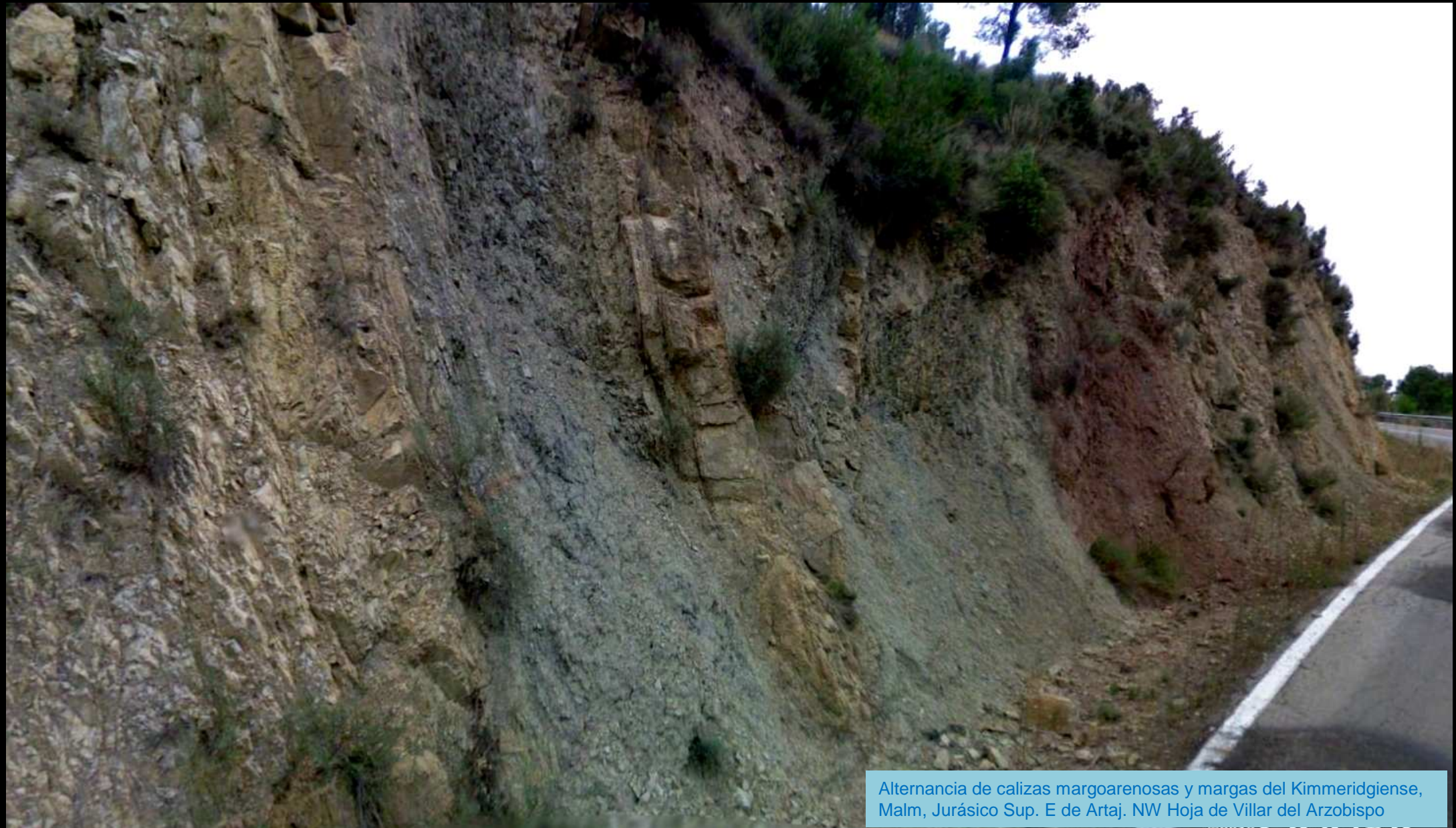
Alternancia de calizas margoarenosas y margas del Kimmeridgiense, Malm, Jurásico Sup. E de Artaj. NW Hoja de Villar del Arzobispo



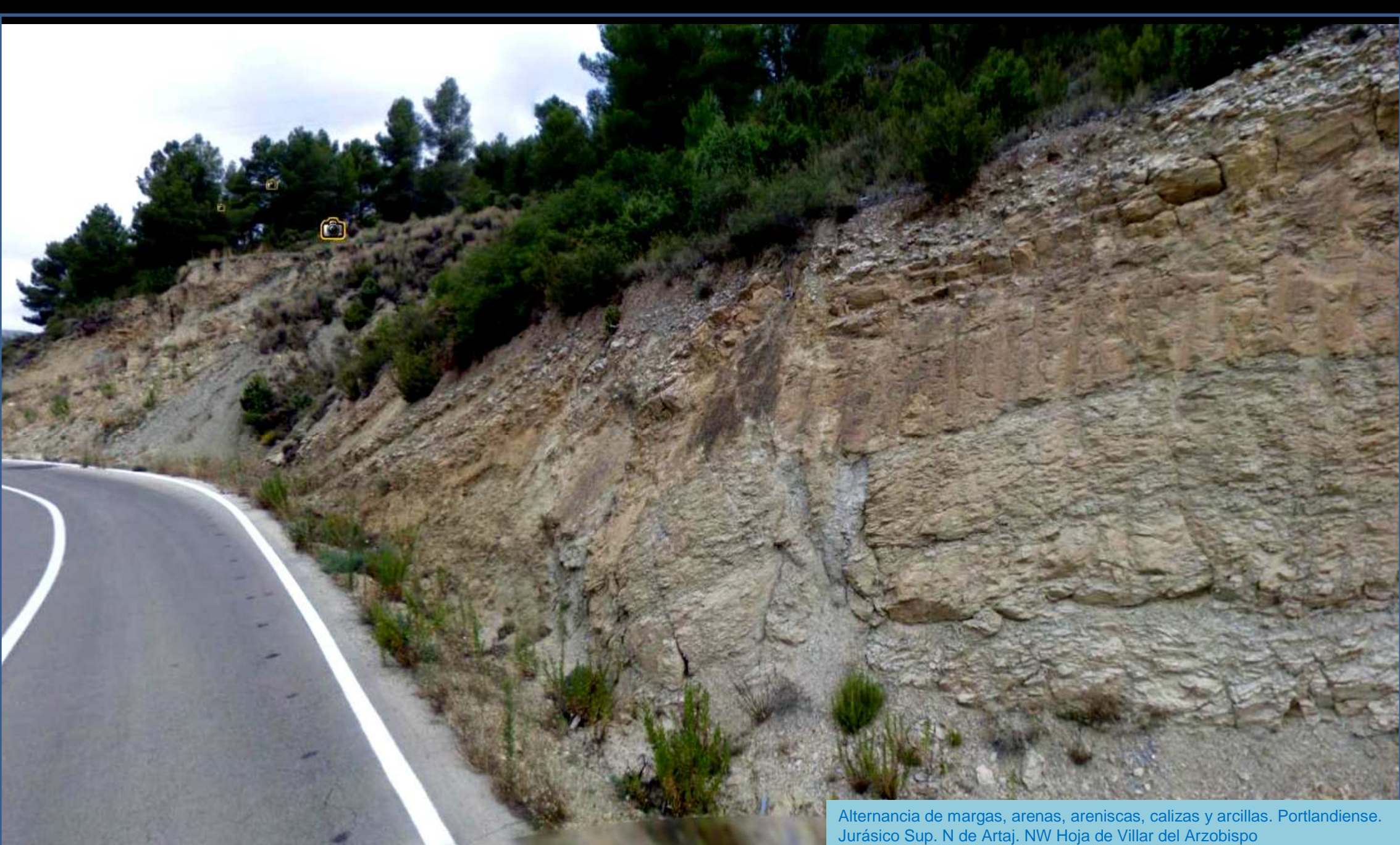
Alternancia de calizas margoarenosas y margas del Kimmeridgiense, Malm, Jurásico Sup. E de Artaj. NW Hoja de Villar del Arzobispo



Alternancia de calizas margoarenosas y margas del Kimmeridgiense, Malm, Jurásico Sup. E de Artaj. NW Hoja de Villar del Arzobispo



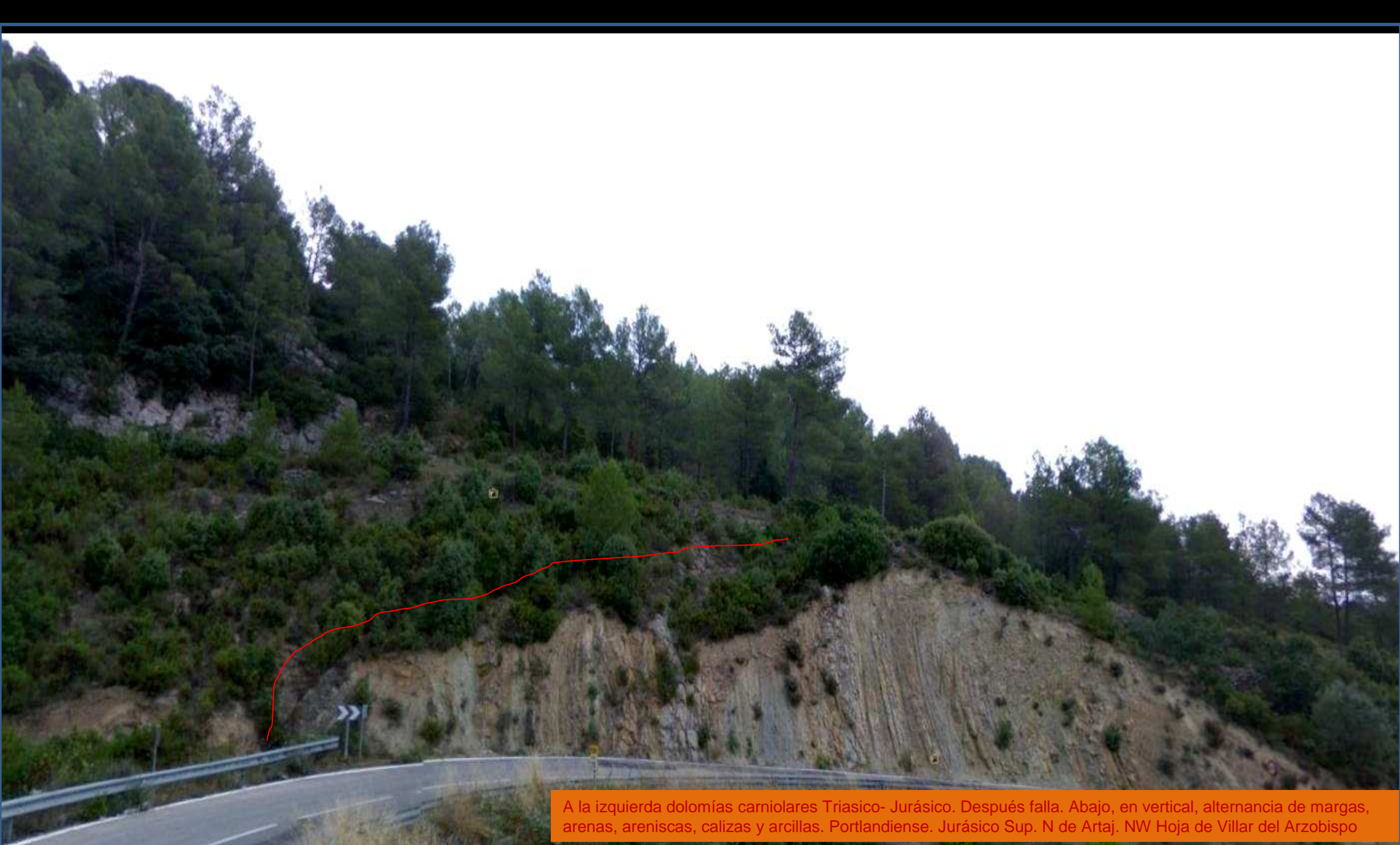
Alternancia de calizas margoarenosas y margas del Kimmeridgiense, Malm, Jurásico Sup. E de Artaj. NW Hoja de Villar del Arzobispo



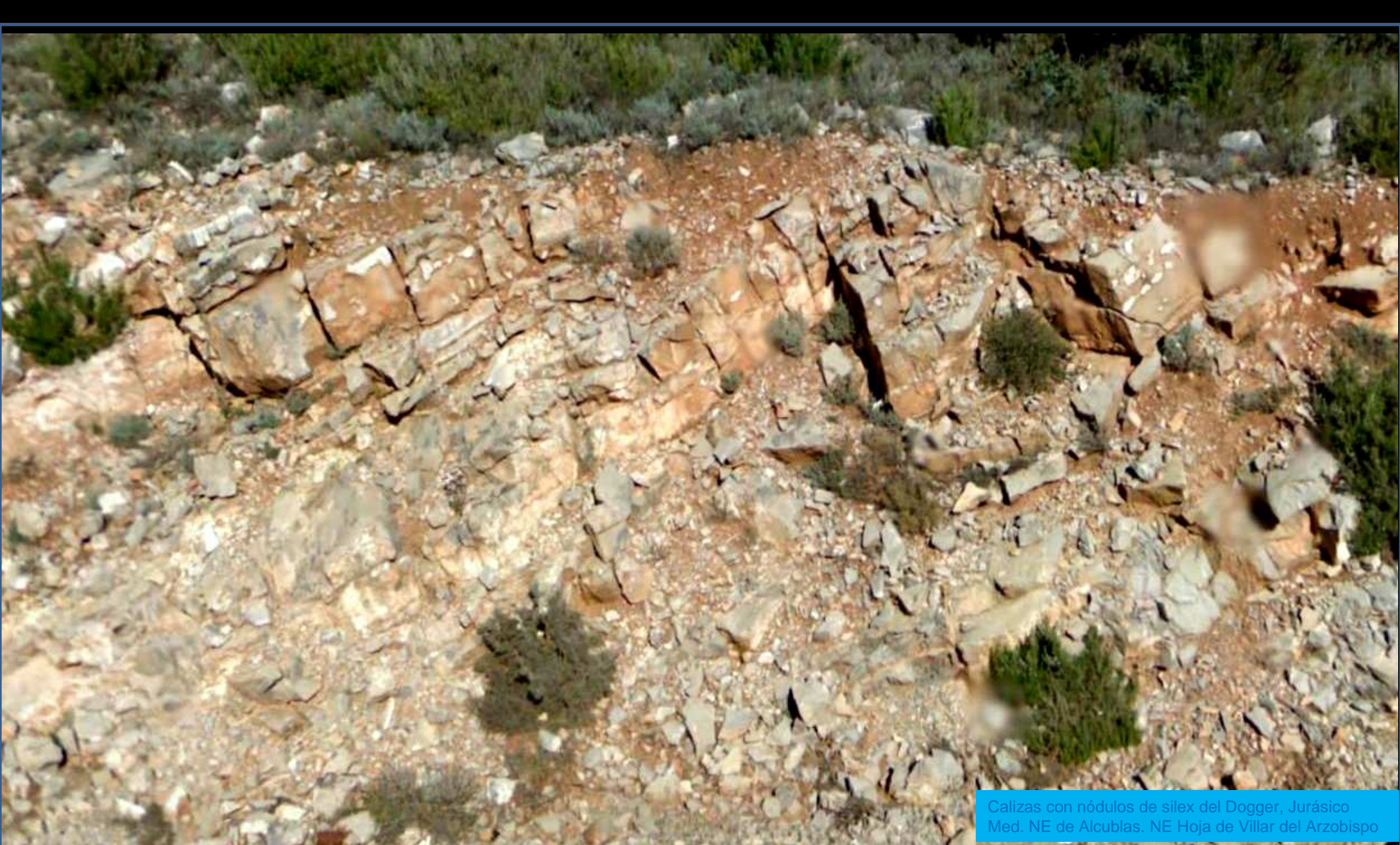
Alternancia de margas, arenas, areniscas, calizas y arcillas. Portlandiense. Jurásico Sup. N de Artaj. NW Hoja de Villar del Arzobispo



En zona de falla en las margas, arenas, areniscas, calizas y arcillas.
Portlandiense. Jurásico Sup. N de Artaj. NW Hoja de Villar del Arzobispo



A la izquierda dolomías carniolares Triasico- Jurásico. Después falla. Abajo, en vertical, alternancia de margas, arenas, areniscas, calizas y arcillas. Portlandiense. Jurásico Sup. N de Artaj. NW Hoja de Villar del Arzobispo



Calizas con nódulos de sílex del Dogger, Jurásico Med. NE de Alcublas. NE Hoja de Villar del Arzobispo



Areniscas del Buntsandstein. Al N de Olocau. E Hoja de Villar del Arzobispo.



La Facies Röt. Argilitas con yesos y areniscas del Buntsandstein, Triásico. NW de Olocau. E Hoja de Villar del Arzobispo.



La Facies Röt. Argilitas y areniscas del Buntsandstein, Triásico. NW de Olocau. E Hoja de Villar del Arzobispo.

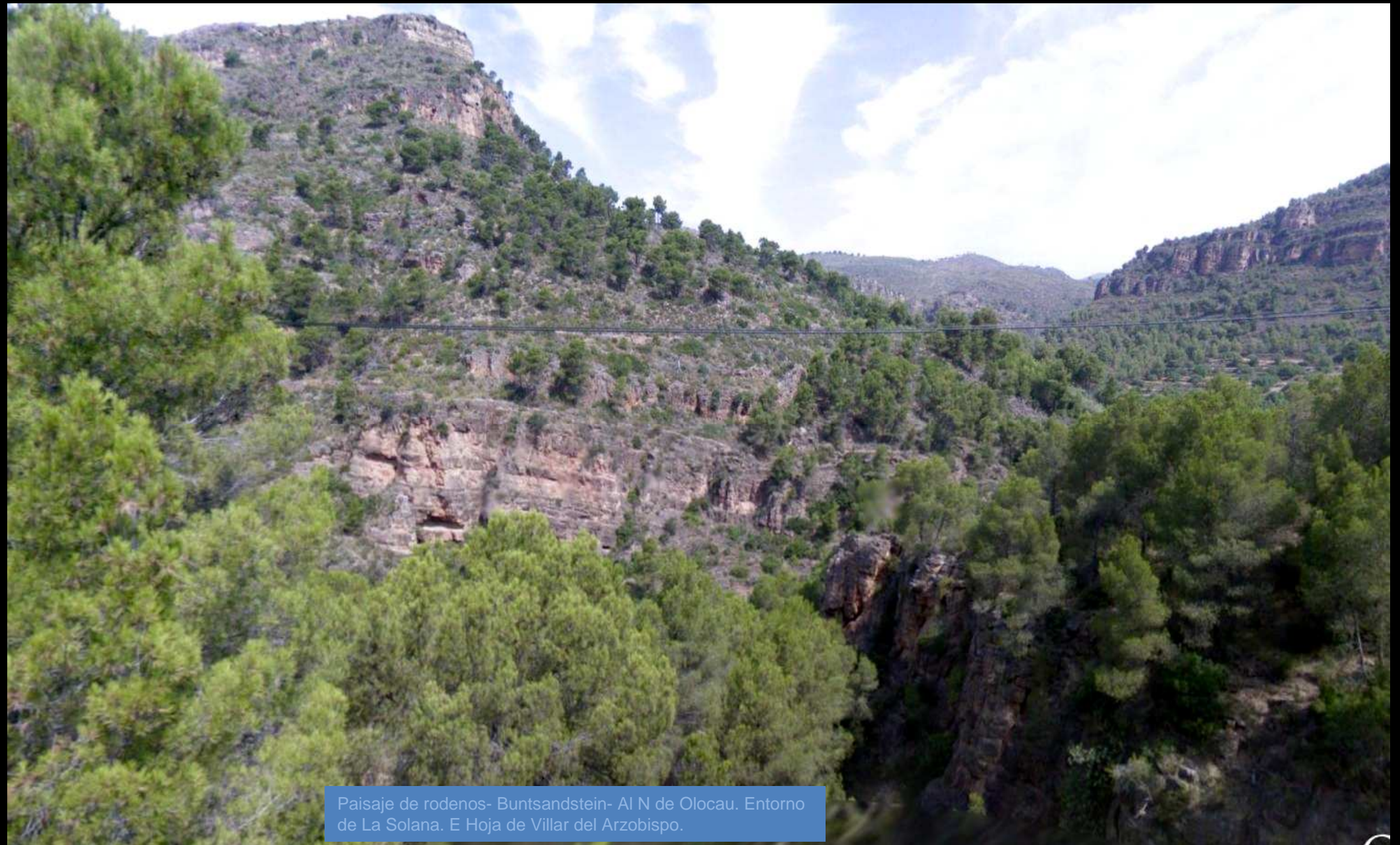


Fallas en las areniscas del Buntsandstein. Triásico. NW de Olocau. E Hoja de Villar del Arzobispo.

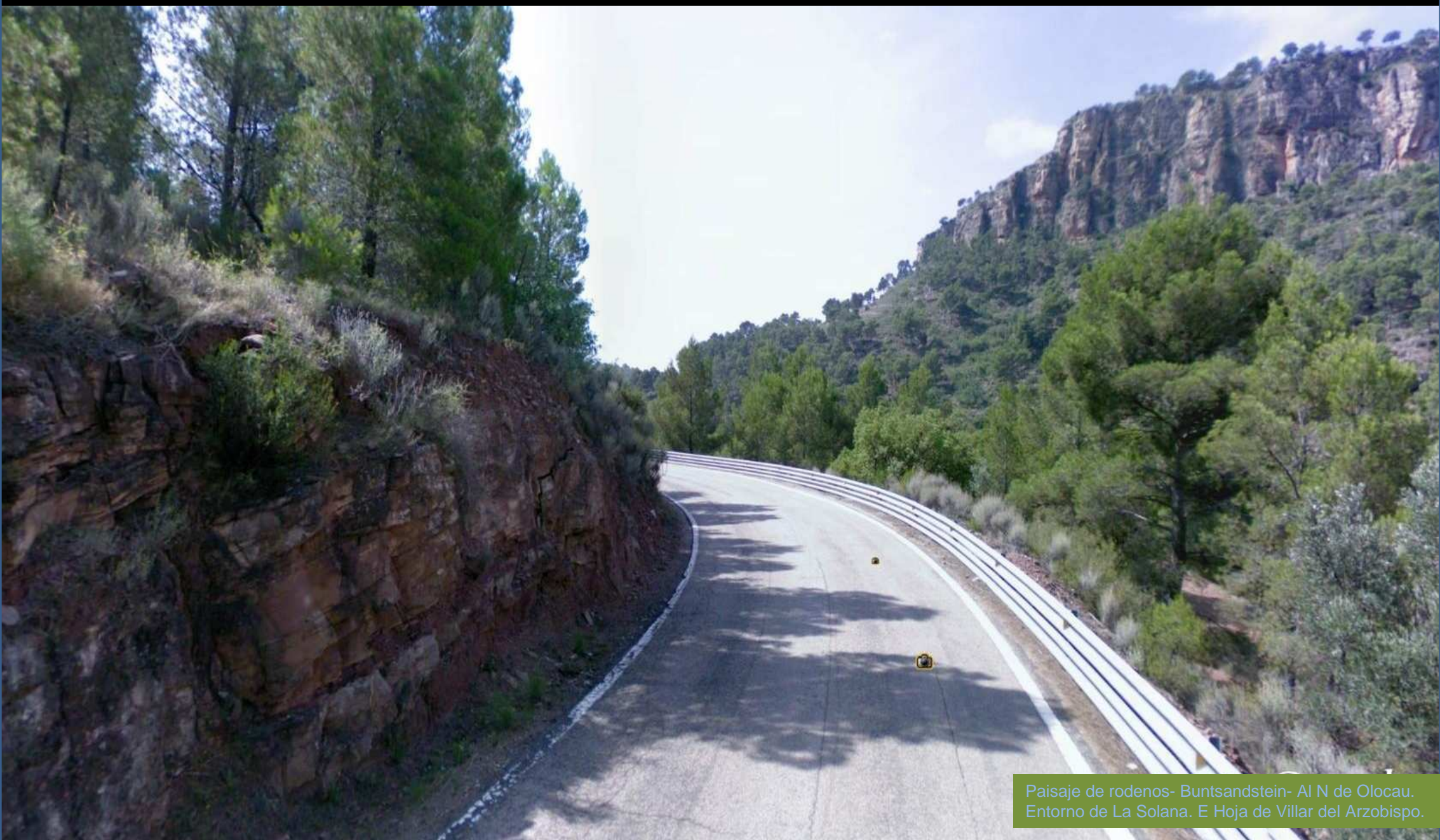


4,20 m

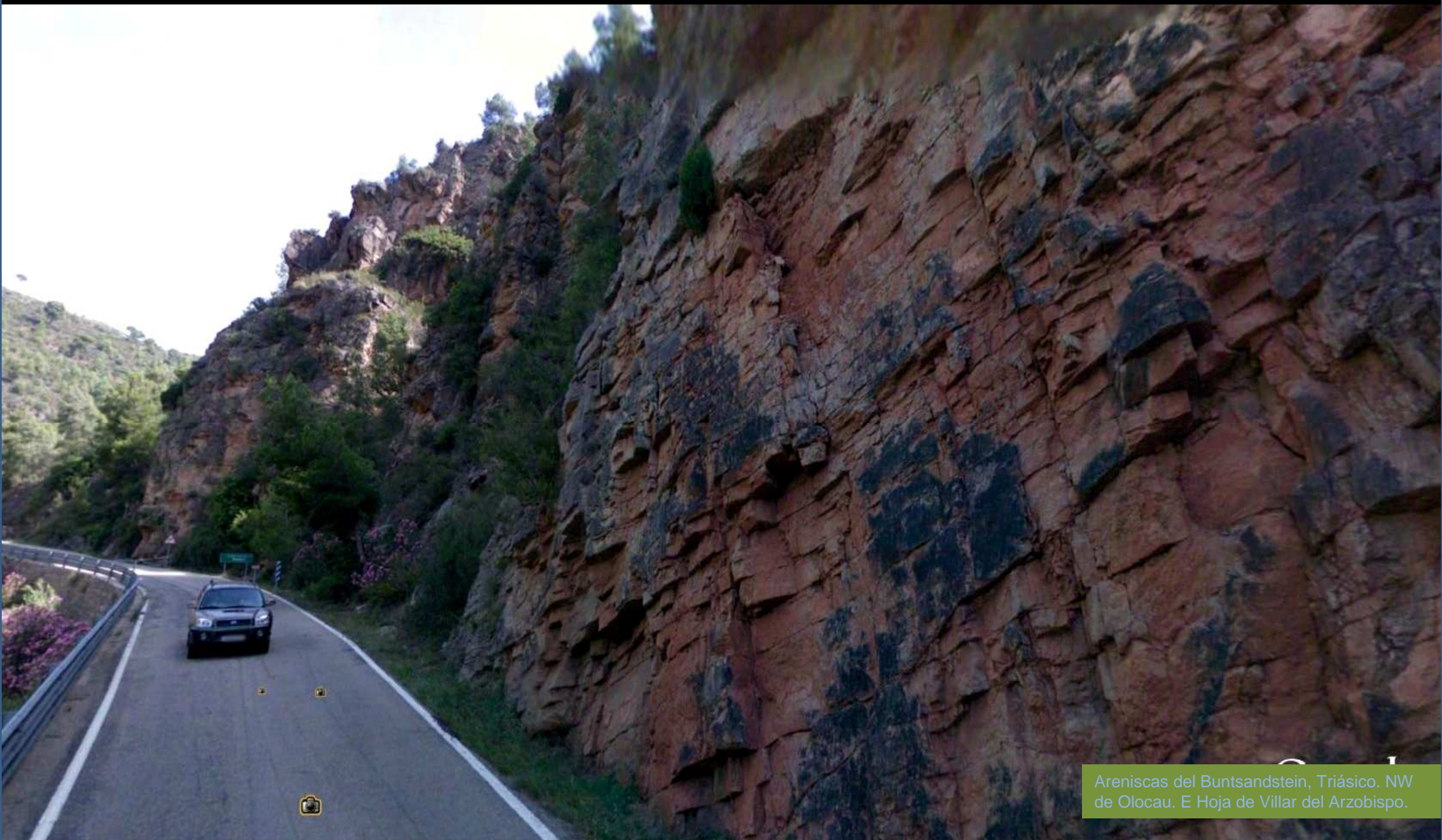
Fallas en las areniscas del Buntsandstein, Triásico. NW de Olocau. E Hoja de Villar del Arzobispo.



Paisaje de rodenos- Buntsandstein- Al N de Olocau. Entorno de La Solana. E Hoja de Villar del Arzobispo.



Paisaje de rodenos- Buntsandstein- Al N de Olocau.
Entorno de La Solana. E Hoja de Villar del Arzobispo.



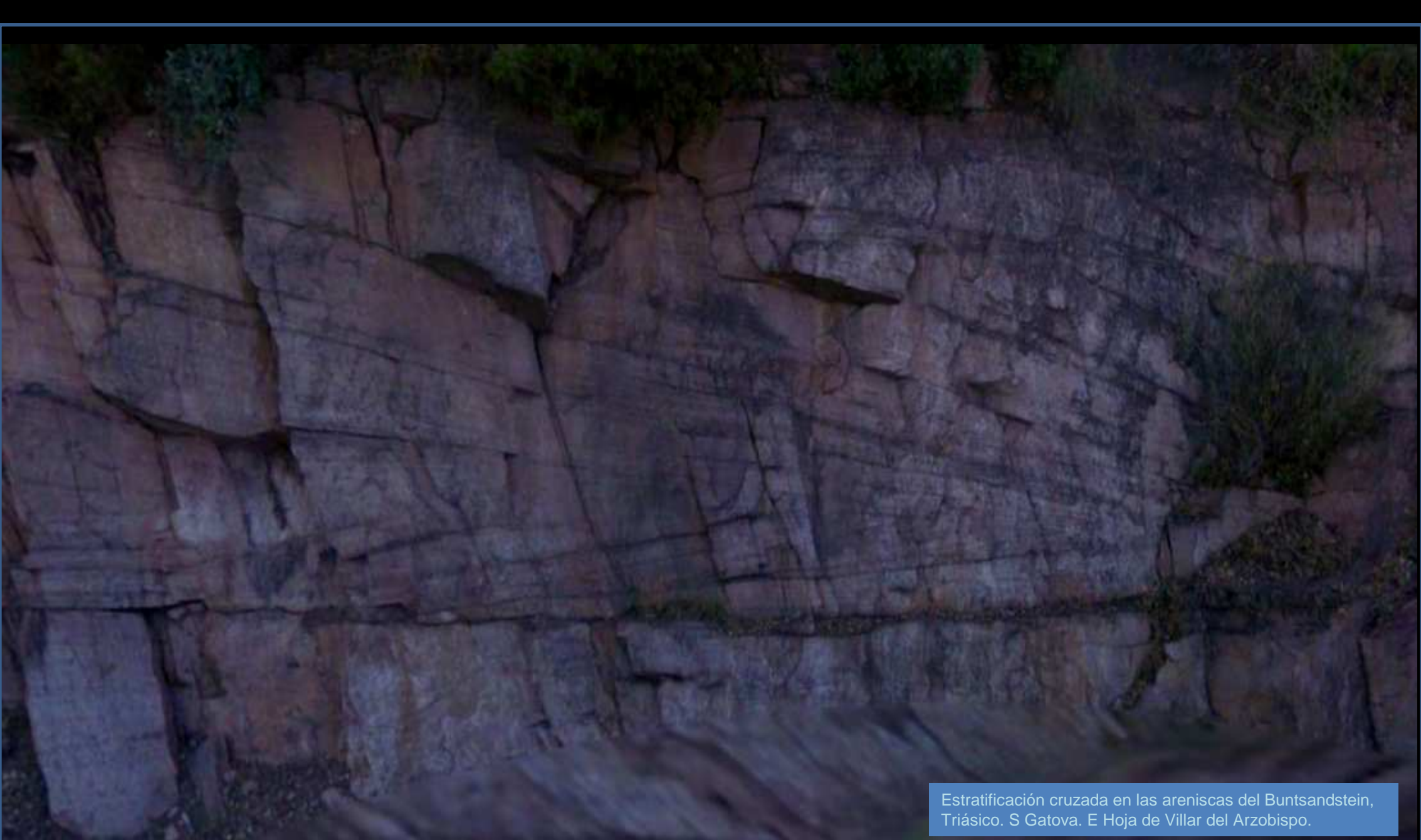
Areniscas del Buntsandstein, Triásico. NW de Olocau. E Hoja de Villar del Arzobispo.



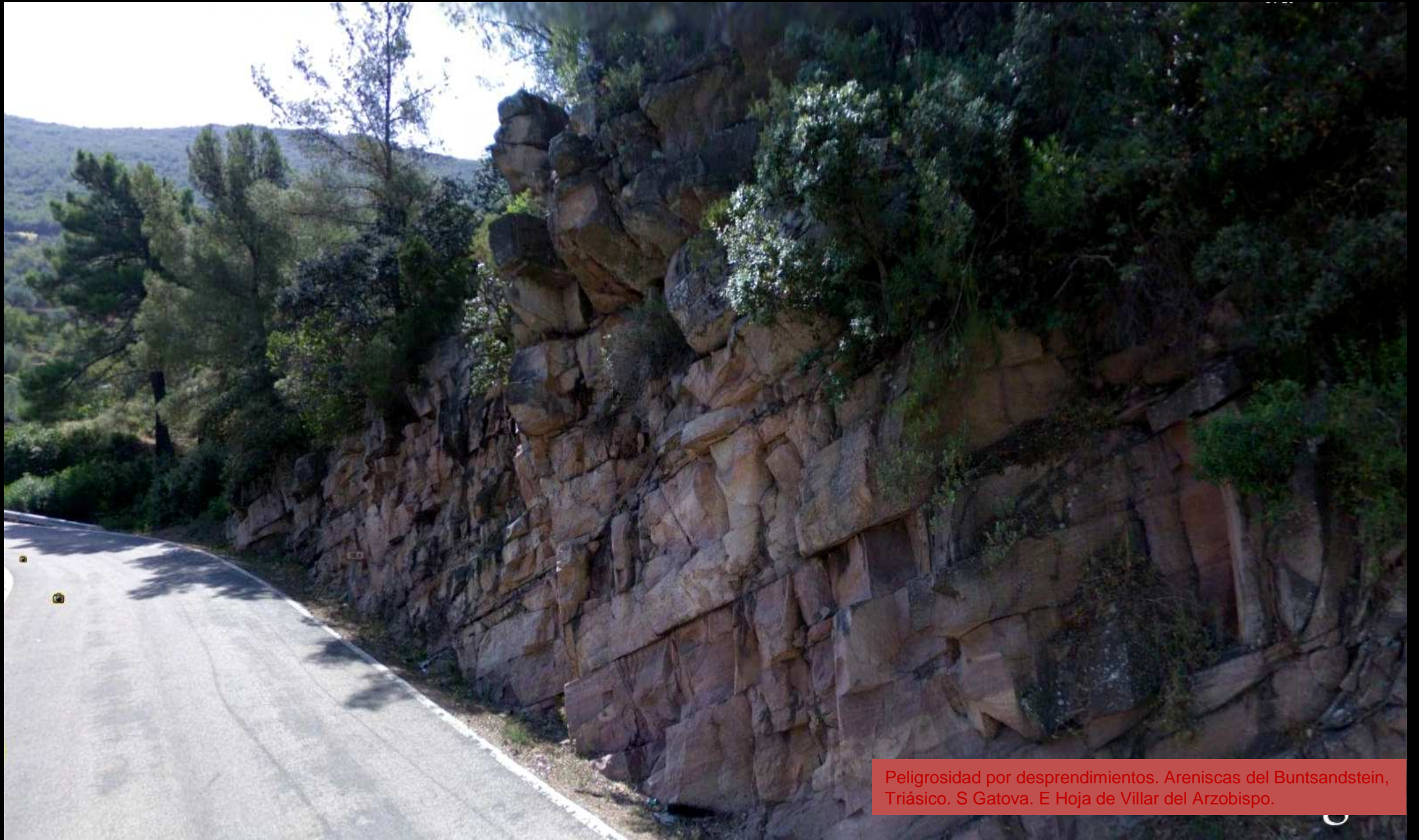
Areniscas del Buntsandstein, Triásico. S
Gatova. E Hoja de Villar del Arzobispo.



Zona de fallas en las distintas areniscas del Buntsandstein, Triásico. S Gatova. E Hoja de Villar del Arzobispo.



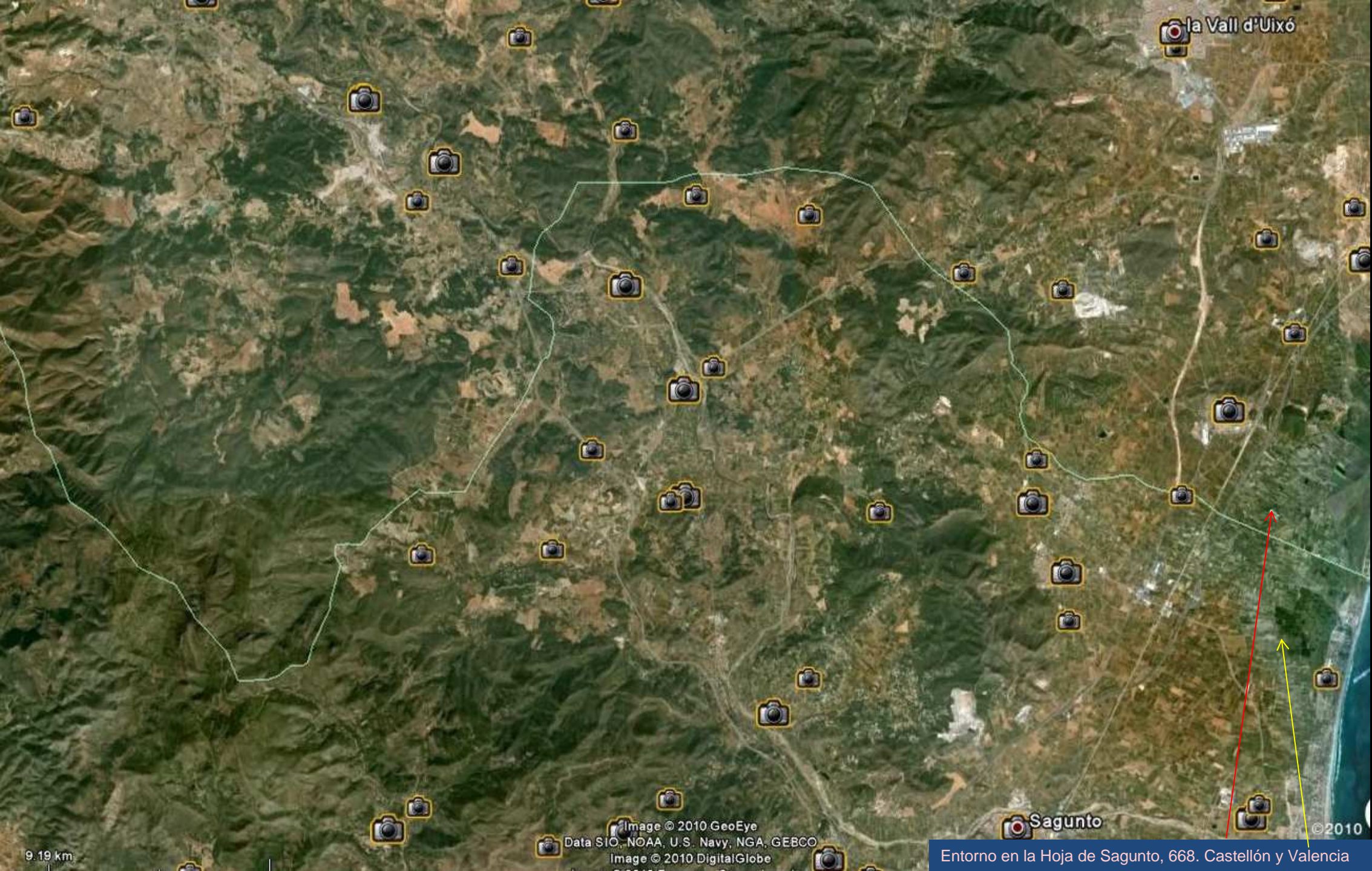
Estratificación cruzada en las areniscas del Buntsandstein, Triásico. S Gatova. E Hoja de Villar del Arzobispo.



Peligrosidad por desprendimientos. Areniscas del Buntsandstein, Triásico. S Gatova. E Hoja de Villar del Arzobispo.



Estratificación. Areniscas del Buntsandstein, Triásico. S Gatova. E Hoja de Villar del Arzobispo.



la Vall d'Uixó

Sagunto

9.19 km

Image © 2010 GeoEye
Data SIO, NOAA, U.S. Navy, NGA, GEBCO
Image © 2010 DigitalGlobe

Entorno en la Hoja de Sagunto, 668. Castellón y Valencia

© 2010



Dolomías del Muschelkalk, Triásico y algunas fallas. Autovía Mudéjar. W de Algar del Palancia. NW Hoja de Sagunto



Argilitas y areniscas, F Röt, con yesos-Triásico. Al W de Algimia de Alfara. Centro N Hoja de Sagunto



Argilitas y areniscas, F Röt, con yesos-Triásico. Al W de Algimia de Alfara. Centro N Hoja de Sagunto



Argillitas y areniscas, F Röt, Triásico. Al W de Algimia de Alfara. Centro N Hoja de Sagunto



Argilitas y areniscas, F Röt, Triásico. Autovía Mudejar.
Al SW de Algimia de Alfara. Centro N Hoja de Sagunto



Argilitas y areniscas, F Röt, Triásico. Zona de Autovía Mudejar. Al SW de Algimia de Alfara. Centro N Hoja de Sagunto



Detalle de anterior: Argilitas y areniscas, F Röt, Triásico. Zona de Autovía Mudejar. Al SW de Algimia de Alfara. Centro N Hoja de Sagunto



Argilitas y areniscas del Buntsandstein, Triásico. S del centro de Torres Torres. Centro Hoja de Sagunto.



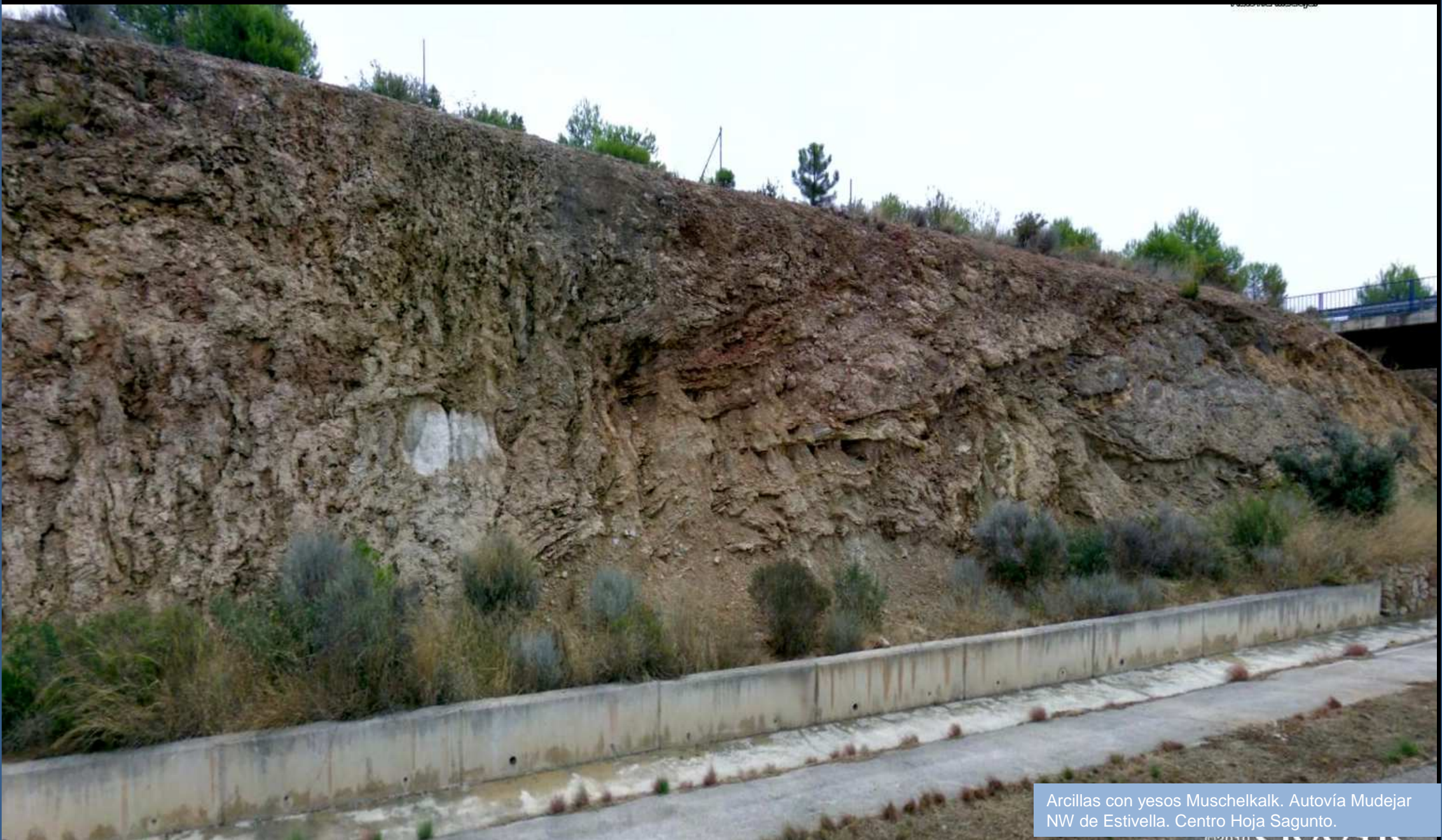
Muschelkalk: Dolomías, margas, arcillas con yesos y calizas dolomíticas... y fallas. Autovía Mudejar NW de Estivella. Centro Hoja Sagunto.



Dolomías, margas, arcillas con yesos y calizas dolomíticas... y falla. Autovía Mudejar NW de Estivella. Centro Hoja Sagunto.



Arcillas con yesos Muschelkalk. Autovía Mudejar NW de Estivella. Centro Hoja Sagunto.



Arcillas con yesos Muschelkalk. Autovía Mudejar NW de Estivella. Centro Hoja Sagunto.



Erosión diferencial en materiales Pliocuaternarios- Autovía Mudéjar NW de Estivella . Centro Hoja Sagunto.

506
→

Autovía Mudéjar





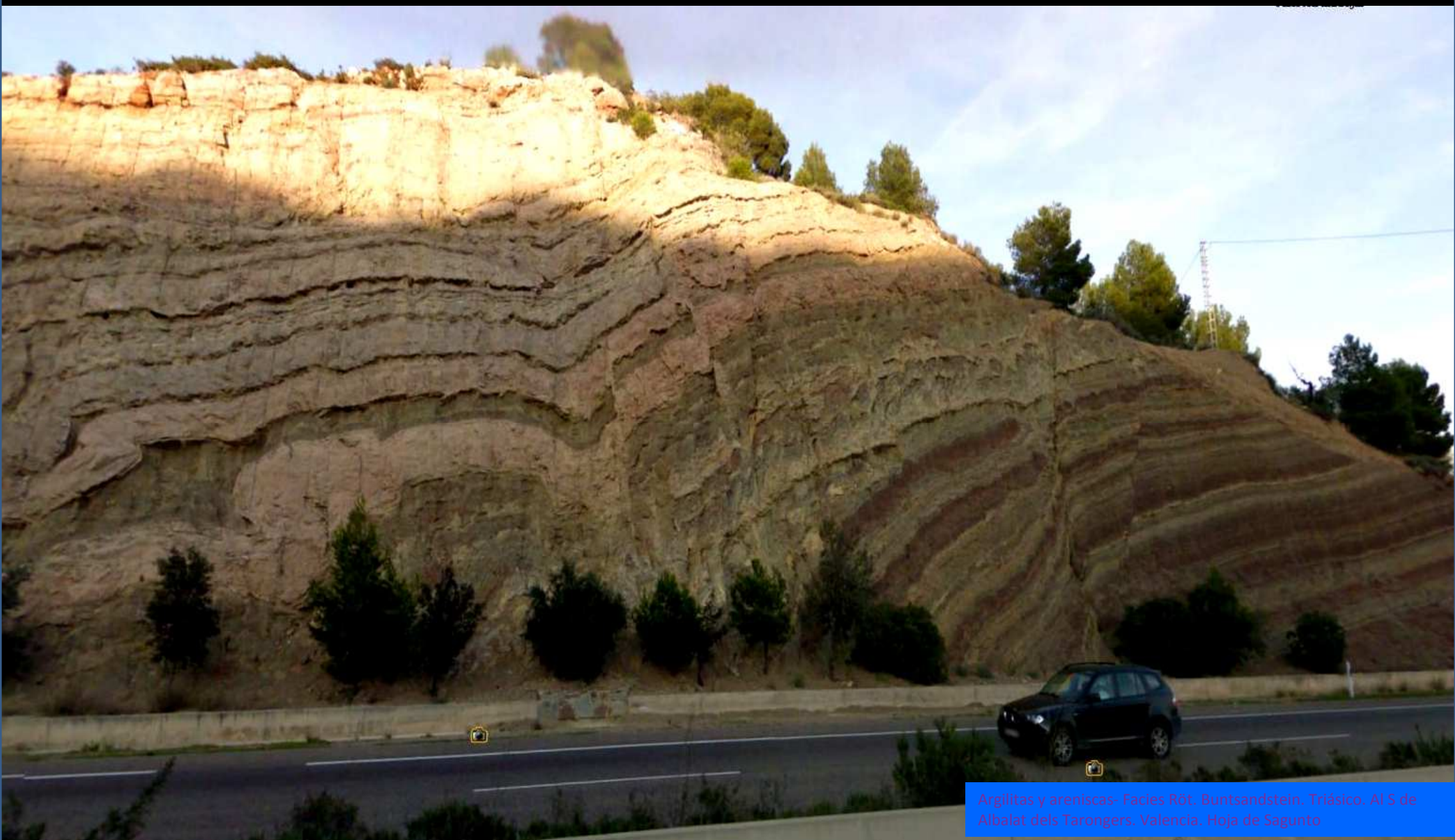
Arcillas con yesos Muschelkalk. Autovía Mudejar
NW de Estivella. Centro Hoja Sagunto.



Dolomías, margas, y calizas dolomíticas. Autovía Mudejar NW de Albalat dels Taronchers. Centro S Hoja Sagunto



Complejidad tectónica en las dolomías, margas, y calizas dolomíticas.
Autovía Mudejar NW de Albalat dels Taronchers. Centro S Hoja Sagunto.



Argilitas y areniscas- facies Röt. Buntsandstein. Triásico. Al S de Albalat dels Tarongers. Valencia. Hoja de Sagunto



Detalle en una anterior: Argilitas y areniscas- Facies Röt. Buntsandstein, Triásico. Al S de Albalat dels Tarongers, Valencia. Hoja de Sagunto



Detalle de anterior: Argilitas y areniscas- Facies Röt. Buntsandstein. Triásico. Al S de Albalat dels Tarongers. Valencia. Hoja de Sagunto



Areniscas del Buntsandstein, Triásico.
NW de Gilet. Centro S Hoja de Sagunto.



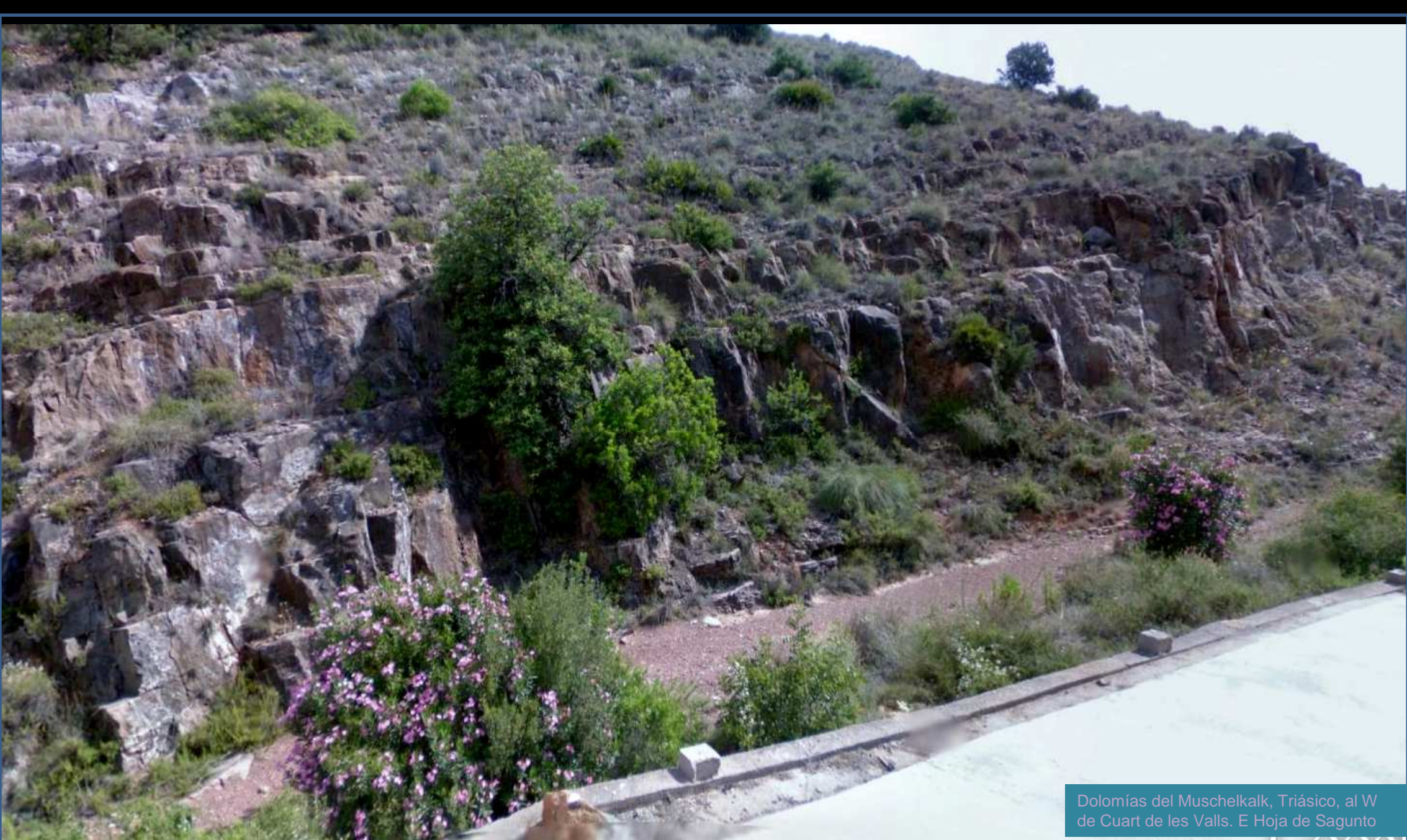
Areniscas del Buntsandstein, Triásico. NW de Gilet. Centro S Hoja de Sagunto.



Areniscas del Buntsandstein, Triásico. NW de Petrés. Centro S Hoja de Sagunto.



Areniscas del Buntsandstein, Triásico.
NW de Petrés. Centro S Hoja de Sagunto.



Dolomías del Muschelkalk, Triásico, al W de Cuart de les Valls. E Hoja de Sagunto



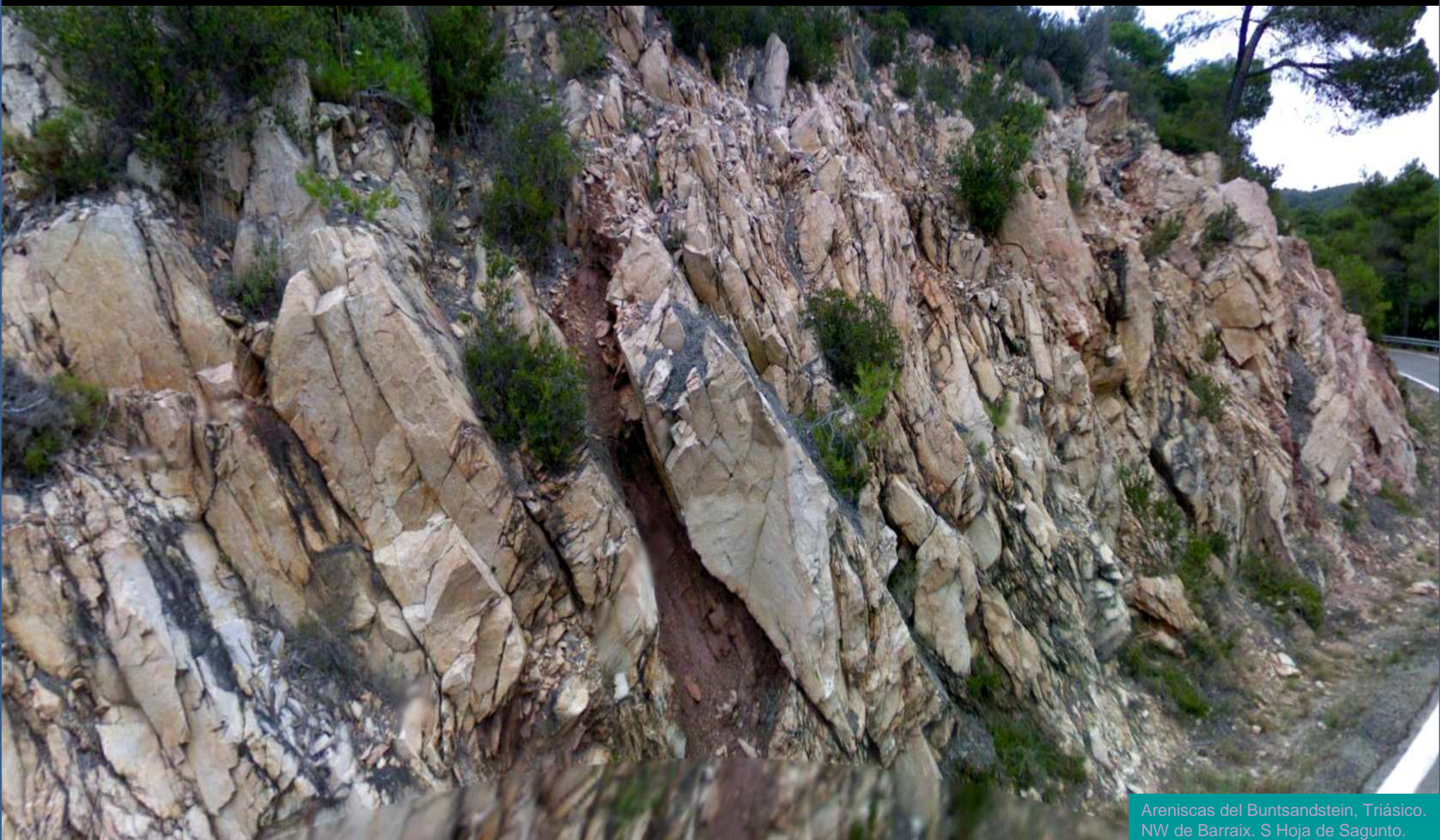
Areniscas del Buntsandstein, Triásico. NE
Montañas de Porta Coeli. SW Hoja de Sagunto.



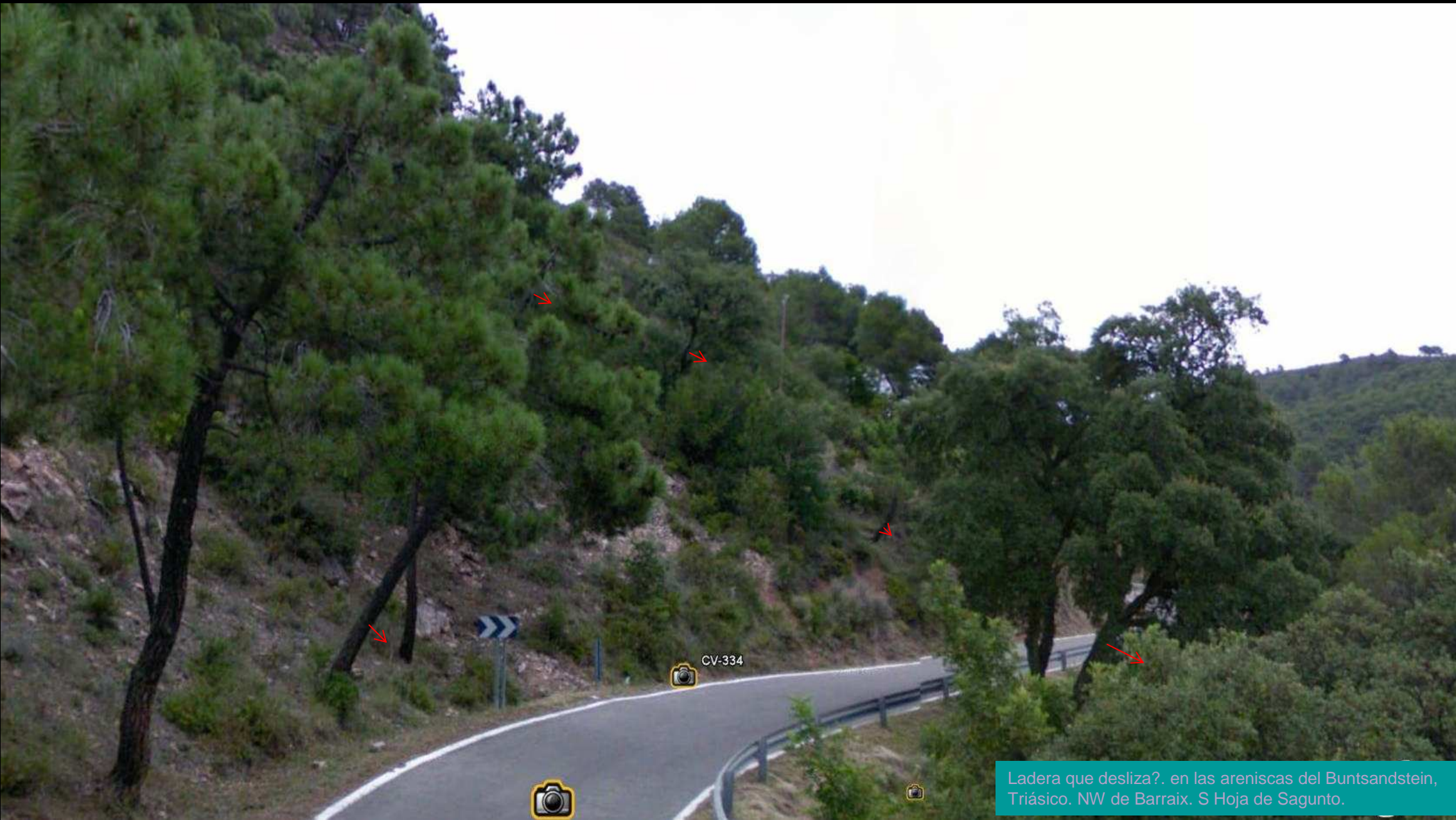
Areniscas del Buntsandstein, Triásico. NE
Montañas de Porta Coeli. SW Hoja de Sagunto.



Probable Facies Röt. Buntsandstein, de argilitas y areniscas, muy tectonizada. NE Montañas de Porta Coeli. SW Hoja de Sagunto.



Areniscas del Buntsandstein, Triásico.
NW de Barraix. S Hoja de Sagunto.



CV-334

Ladera que desliza?. en las areniscas del Buntsandstein, Triásico. NW de Barraix. S Hoja de Sagunto.



CV-310



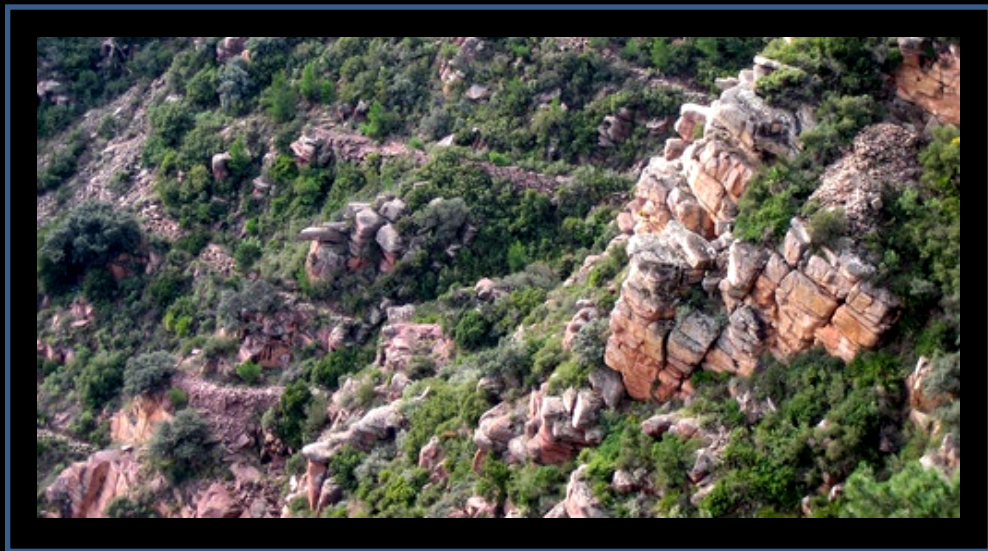
Argilitas y areniscas F. Röt. Buntsandstein, Triásico. Al NE de Serra. SW Hoja de Sagunto.

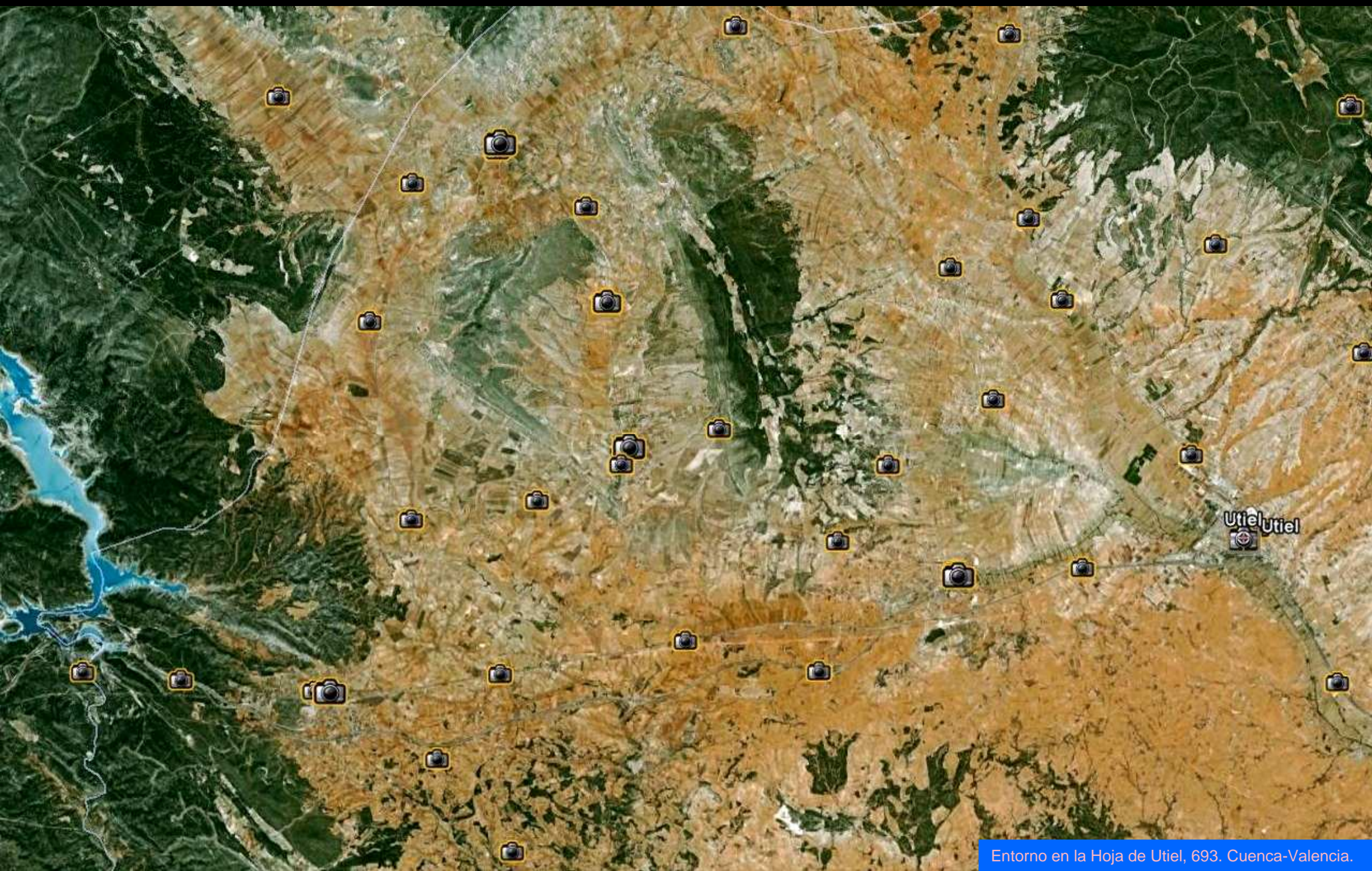


Argilitas y areniscas F. Röt. Buntsandstein,
Triásico. Al NE de Serra. SW Hoja de Sagunto.



El Oronet desde la subida al Rebalsadors (Rafael Jiménez.) / Terrenos del Garbí (tatasil) / Rodenos de La Canal del Garbí (petercero) NE de Serra







Desde el SW de Camporrobles hacia el S. Cuatemario. Al fondo Neógeno y Triásico, Keuper. Centro NW Hoja de Utiel.



Calizas y calcarenitas del Dogger, Jurásico Med., muy falladas. Al W de Villagordo del Cabriel. SW Hoja de Utiel



Dolomías y calizas microcristalinas del Liásico, Jurásico Inf. Al W de Villagordo del Cabriel. SW Hoja de Utiel



Dolomías y calizas microcristalinas del Liásico, Jurásico Inf., falladas. Al W de Villagordo del Cabriel. SW Hoja de Utiel



Dolomías y calizas microcristalinas del Liásico, Jurásico Inf. Fuertemente tectonizadas. Al W de Villagordo del Cabriel. SW Hoja de Utieliff



Margas arcillosas, y areniscas del Mioceno, Neógeno, Terciario y suave sinclinal. W de Villagordo del Cabriel. SW Hoja de Utiel



Margas arcillosas rojas, conglomerados y areniscas del Mioceno, Terciario. W de Villagordo del Cabriel. SW Hoja de Utiel



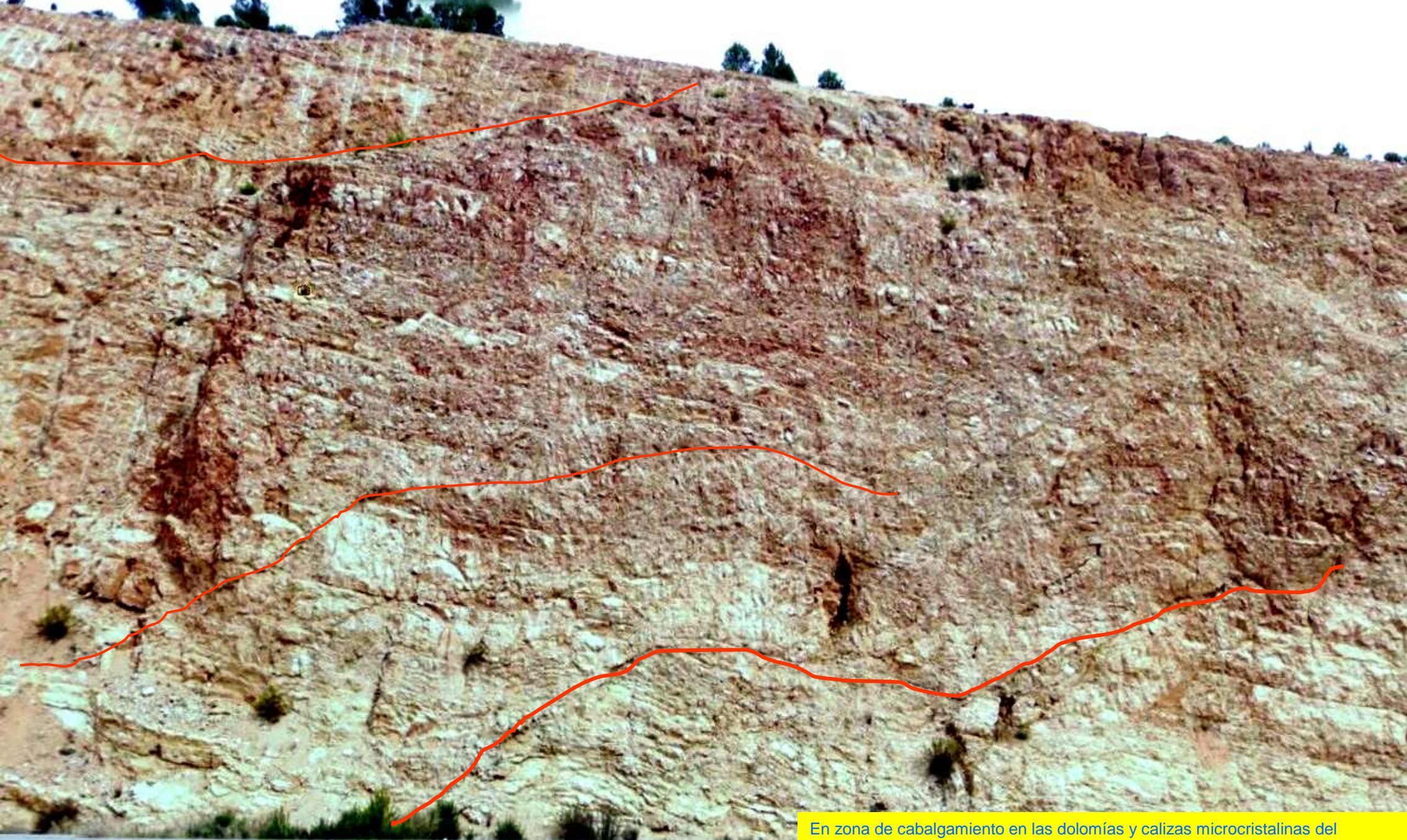
Talud de autopista con pliegues abiertos y fallas en dolomías y calizas del Liásico, Jurásico Inf. W de Villagordo del Cabriel. SW Hoja de Utiel. (imagen seccionada)





Detalle de anterior de dolomías y calizas microcristalinas del Liásico, Jurásico Inf., W de Villagordo del Cabriel. SW Hoja de Utiel





En zona de cabalgamiento en las dolomías y calizas microcristalinas del Liásico, Jurásico Inf., Autopista. W de Villagordo del Cabriel. SW Hoja de Utiel



En zona de cabalgamiento en las dolomías y calizas microcristalinas del Liásico, Jurásico Inf., Autopista. W de Villagordo del Cabriel. SW Hoja de Utiel



Inestabilidad en talud en dolomías y calizas microcristalinas del Liásico, Jurásico Inf., y en zona de cabalgamiento. Autopista. W de Villagordo del Cabriel. SW Hoja de Utiel



Capas de dolomías y calizas microcristalinas del Liásico, Jurásico Inf., en zona de cabalgamiento. Pliegue y fallas. Autopista. W de Villagordo del Cabriel. SW Hoja de Utiel



Inestabilidad en talud en dolomías y calizas microcristalinas del Liásico, Jurásico Inf., y en zona de cabalgamiento. Autopista W de Villagordo del Cabriel, SW Hoja de Utiel



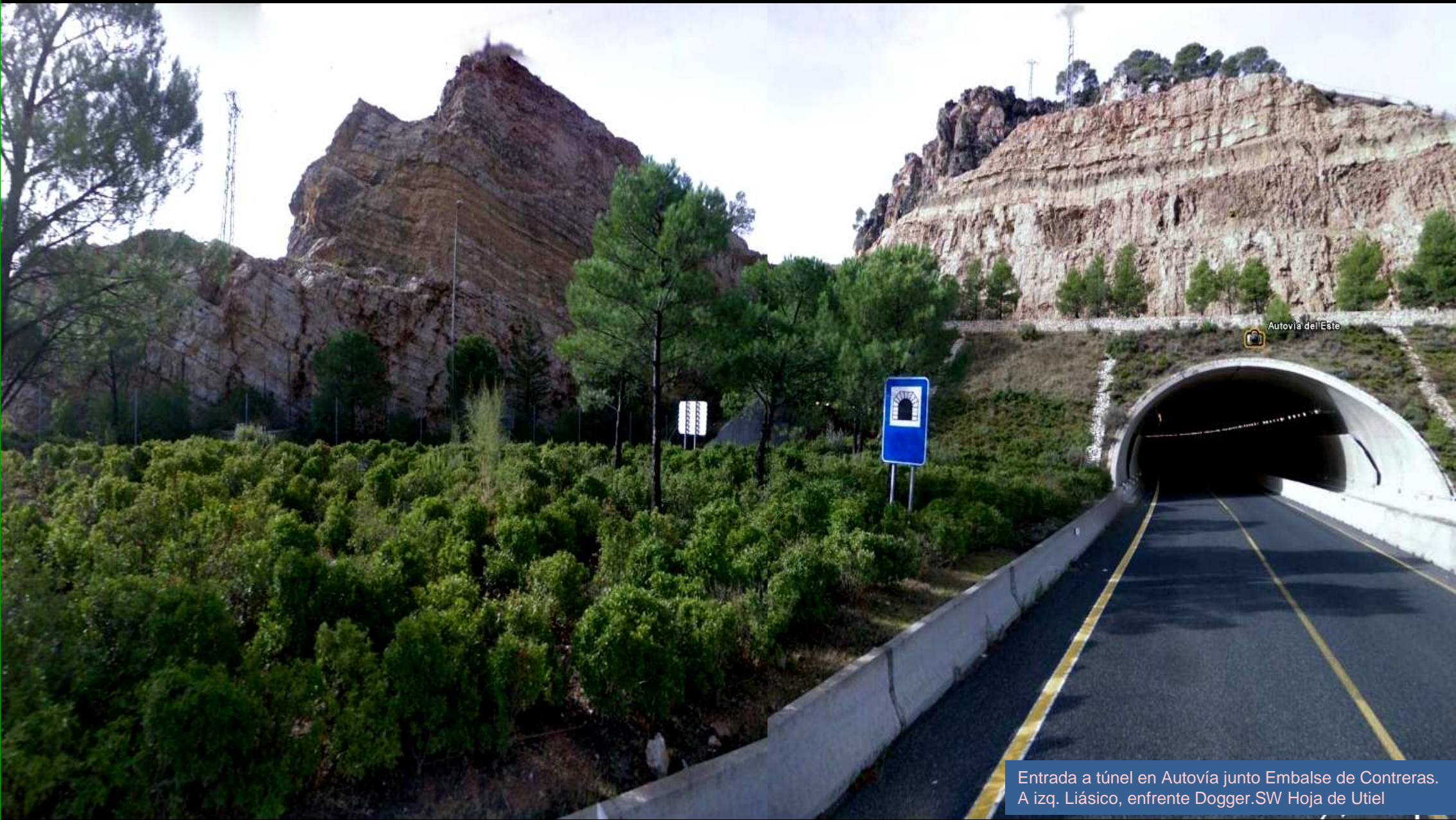
Actuación en talud frente a la inestabilidad. Dolomías y calizas microcristalinas del Liásico, Jurásico Inf., y en zona de cabalgamiento. Autopista. W de Villagordo del Cabriel. SW Hoja de Utiel



Embalse de Contreras desde Autopista. SW Hoja de Utiel.

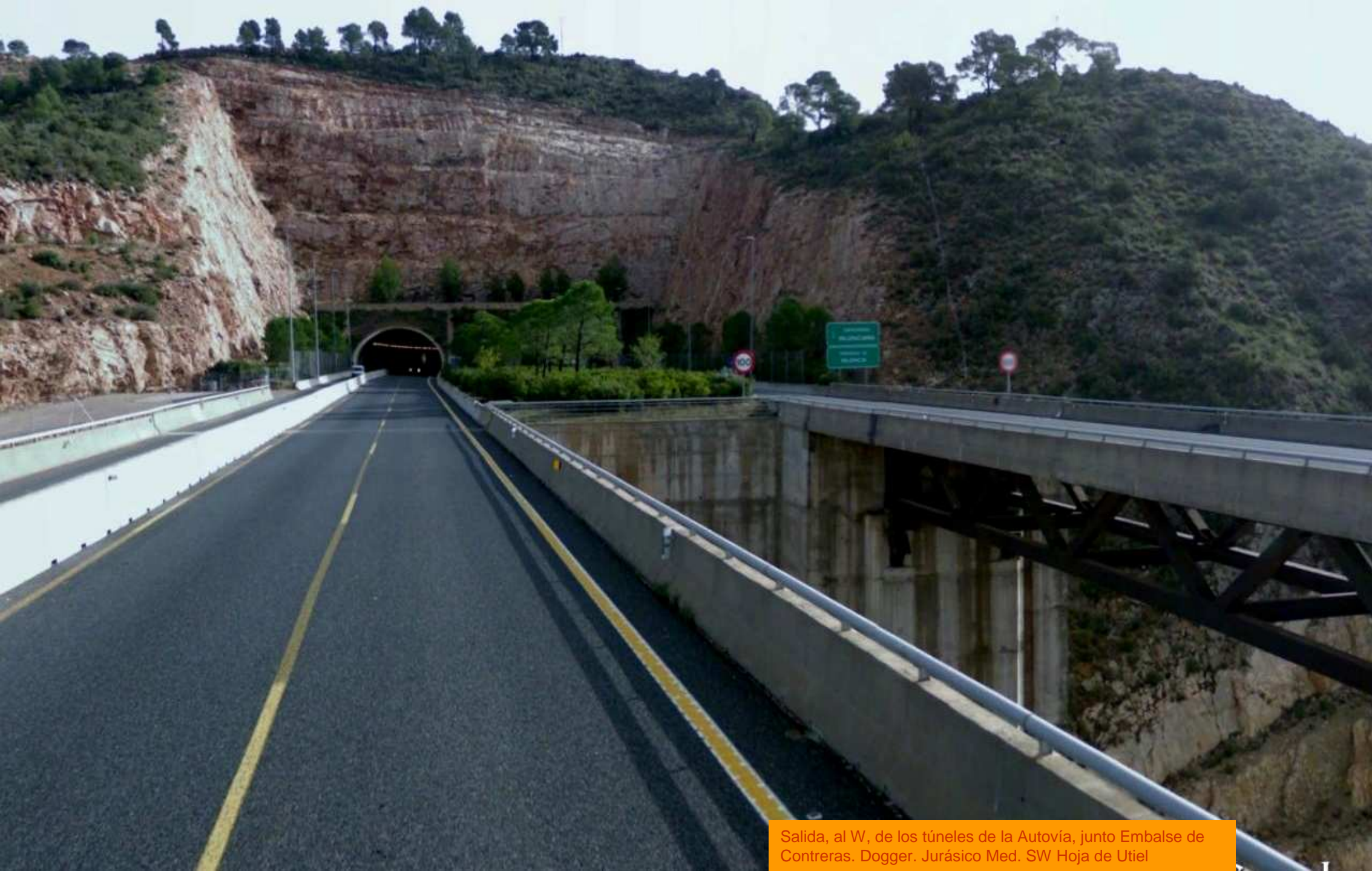


En el Embalse de Contreras. Valencia – Cuenca. Desde Autovía. Hoja de Utiel.

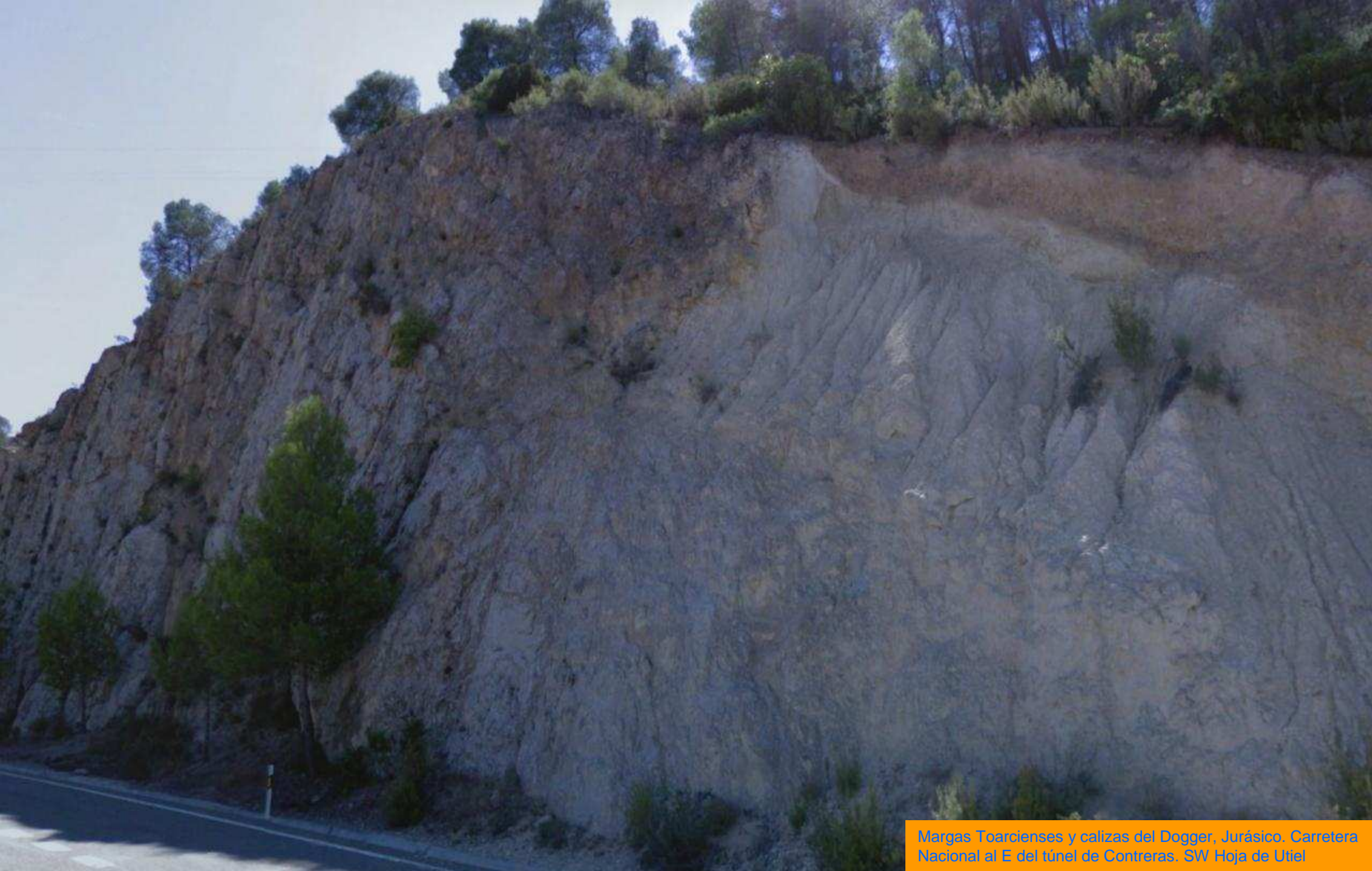


Autovía del Este

Entrada a túnel en Autovía junto Embalse de Contreras. A izq. Liásico, enfrente Dogger.SW Hoja de Utiel



Salida, al W, de los túneles de la Autovía, junto Embalse de Contreras. Dogger. Jurásico Med. SW Hoja de Utiel



Margas Toarcienses y calizas del Dogger, Jurásico. Carretera Nacional al E del túnel de Contreras. SW Hoja de Utiel



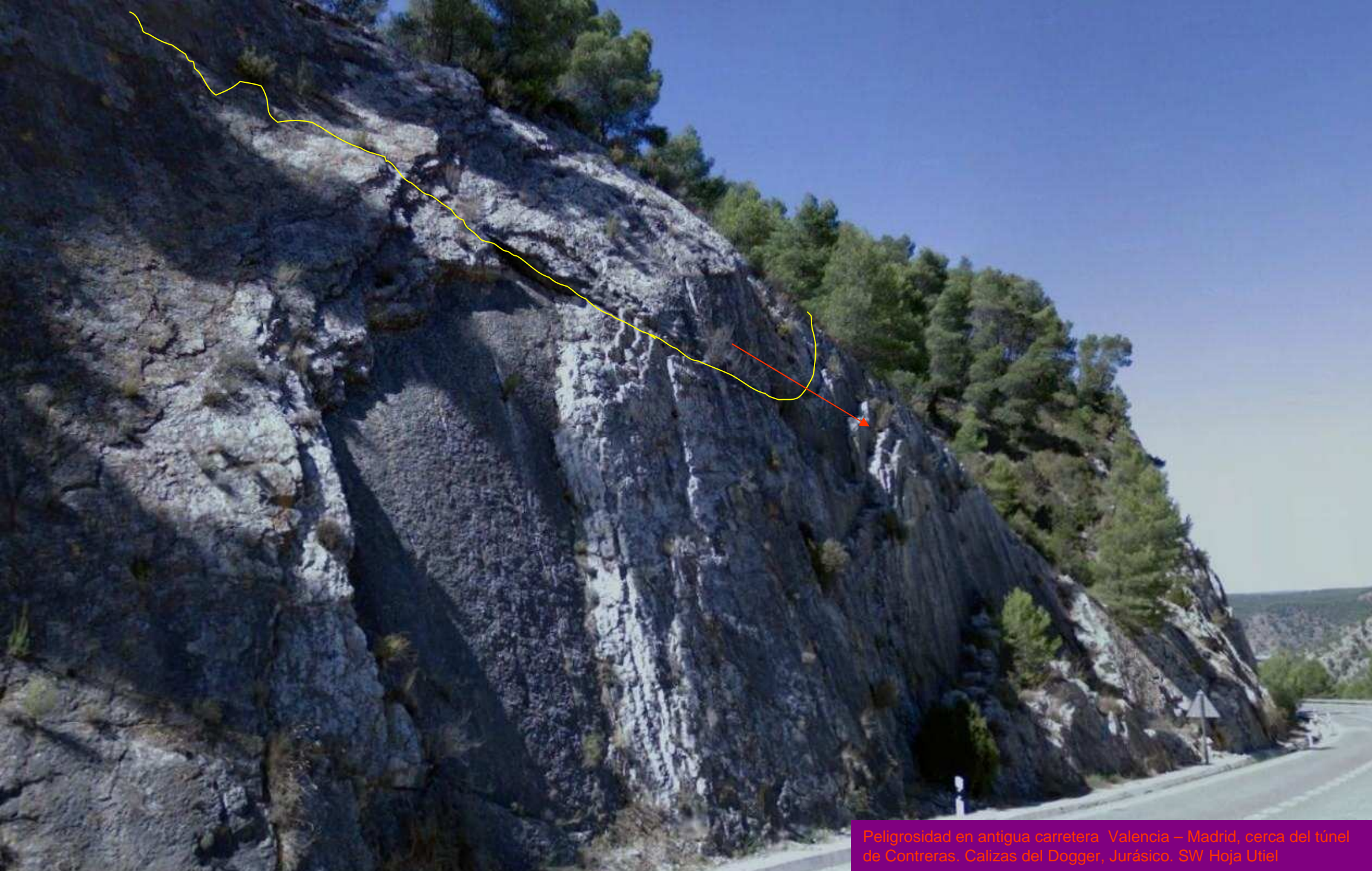
Falla en las calizas tableadas, subverticales, del Dogger. (sentidos ortogonales del buzamiento de capas). Carretera Nacional al E del túnel de Contreras. SW Hoja de Utiel



Peligrosidad en antigua carretera Valencia – Madrid, cerca del túnel de Contreras. Calizas del Dogger, Jurásico. SW Hoja Utiel



Peligrosidad en antigua carretera Valencia – Madrid, cerca del túnel de Contreras. Calizas del Dogger, Jurásico. SW Hoja Utiel



Peligrosidad en antigua carretera Valencia – Madrid, cerca del túnel de Contreras. Calizas del Dogger, Jurásico. SW Hoja Utiel



Peligrosidad en antigua carretera Valencia – Madrid, cerca del túnel de Contreras. Calizas del Dogger, Jurásico. SW Hoja Utiel



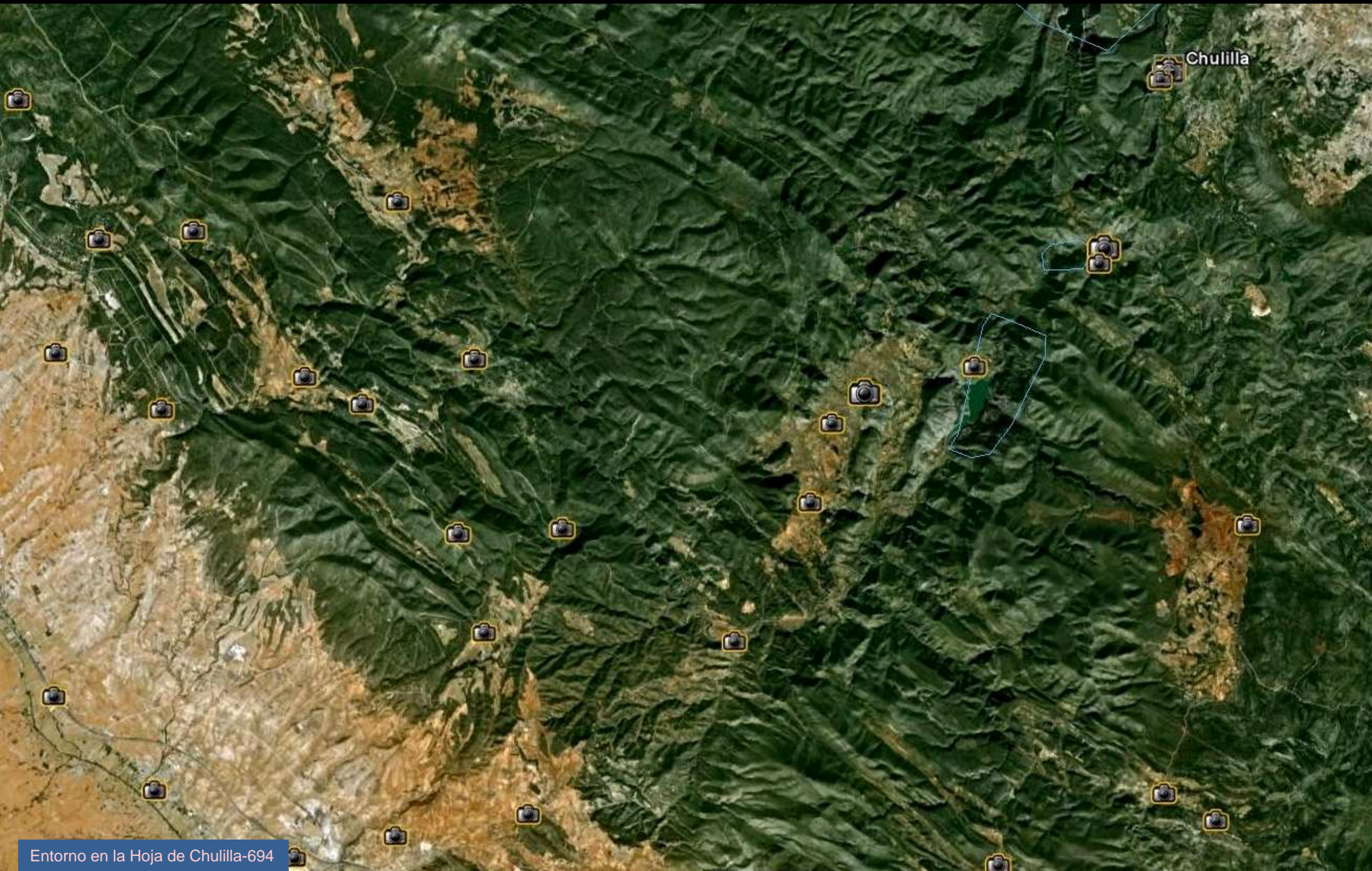
Túnel de Contreras en las Calzas, subverticales, del Dogger, Jurásico. SW Hoja Utiel



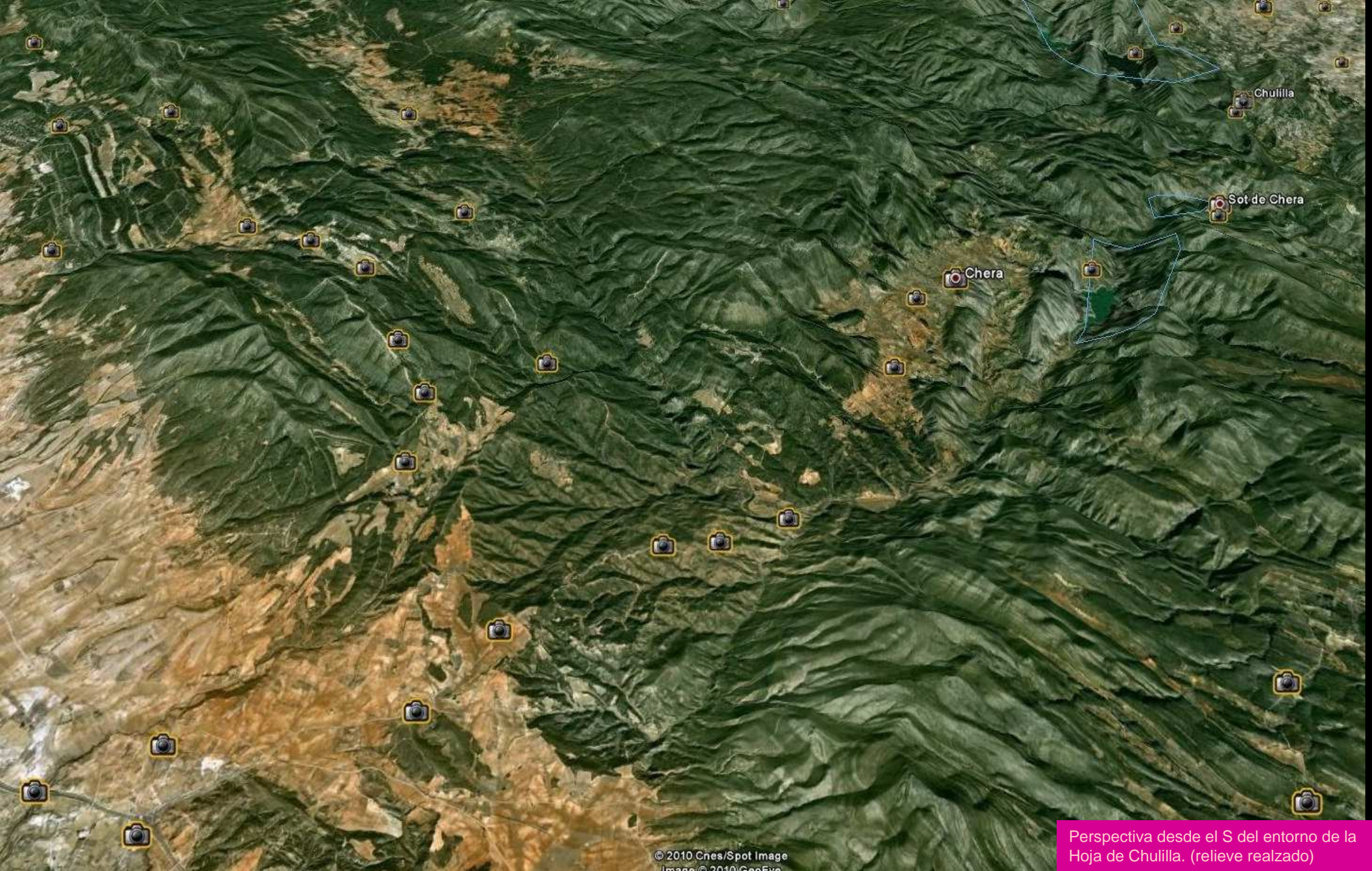
Embalse de Contreras (foto de José Luis Fernandez Montoro-Google)

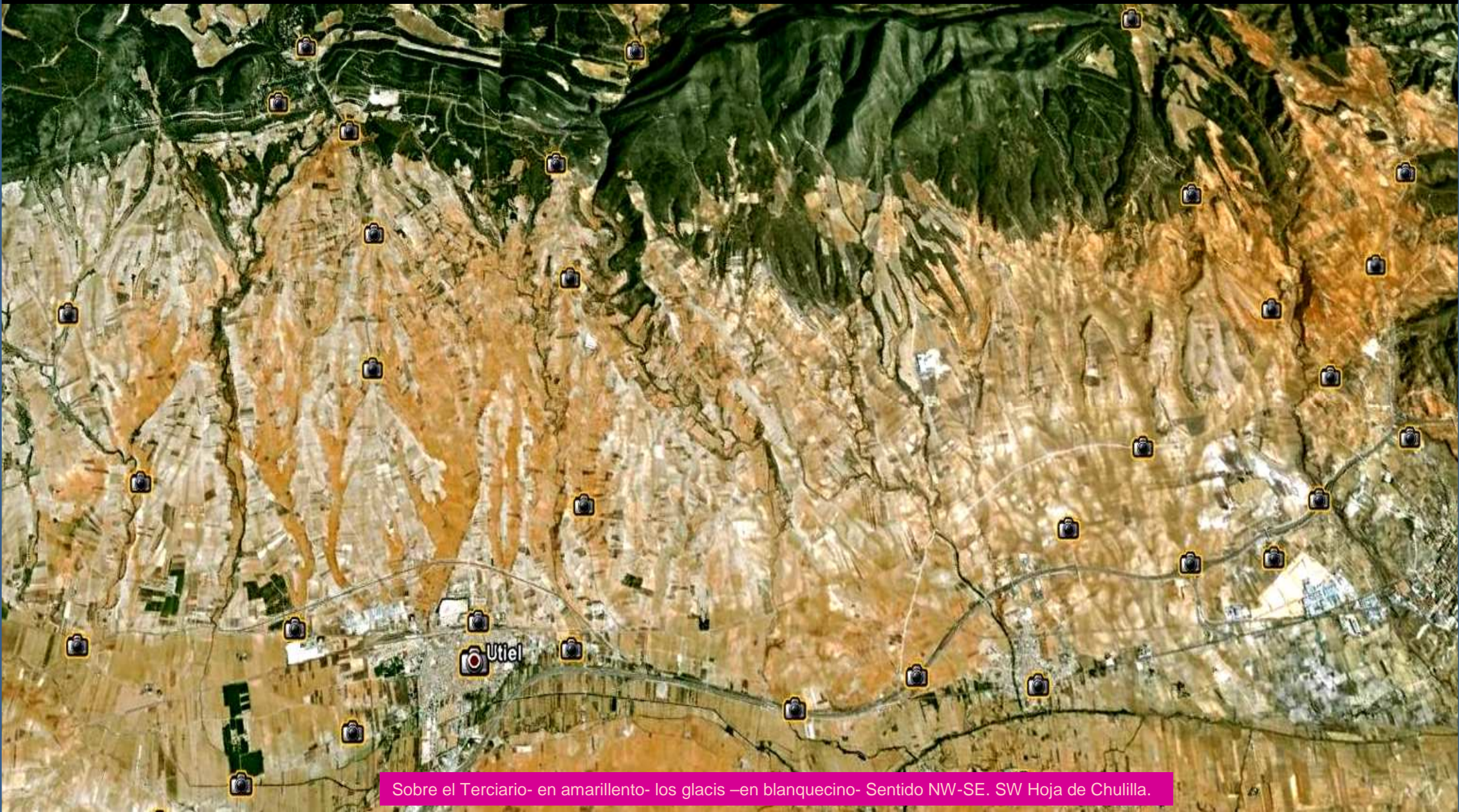


Embalse de Contreras. (foto de El Castor-Google) / desde el Viaducto del Istmo A-3 (El Castor)/ Viaductos AVE y Autovía Madrid- Valencia (SDMV)



Chulilla





Sobre el Terciario- en amarillento- los glacis –en blanquecino- Sentido NW-SE. SW Hoja de Chulilla.



Conglomerados del Mioceno, Terciario.
Al N de Requena. SW Hoja de Chulilla



Conglomerados del Mioceno, Terciario. Al N de Requena. SW Hoja de Chulilla



Conglomerados, areniscas, margas arcillosas, del Mioceno, Terciario. Al N de Requena- SW de Chera. SW Hoja de Chulilla



Arcillas rojas del Mioceno- de descalcificación de relieves Mesozoicos próximos- . Al N de Requena- SW de Chera. SW Hoja de Chulilla



Inestabilidad de talud en las arcillas rojas del Mioceno- de descalcificación de relieves Mesozoicos próximos- . Al N de Requena- SW de Chera. SW Hoja de Chulilla



Los relieves de las formaciones Jurásicas y Terciarias desde el W; abajo el Terciario, Mioceno, al S de Chera. Centro S Hoja Chulilla.



Taludes de arcillas rojas del Mioceno- de descalcificación de relieves Mesozoicos próximos- . Al SW de Chera. SW Hoja de Chulilla



Miocenos, Terciario. Al Fondo Jurásicos y Cretácicos .
Rambla de los Tocares. Al SW de Chera. SW Hoja de
Chulilla



Margas arcillosas Vindoboniense, Mioceno, Terciario. SW de Chera. Centro S Hoja de Chulilla.



Hacia la fosa de Chera desde el S. Arriba relieves Mesozoicos, abajo, en rojizo, el Terciario y Río Reatillo. Centro E Hoja de Chulilla.



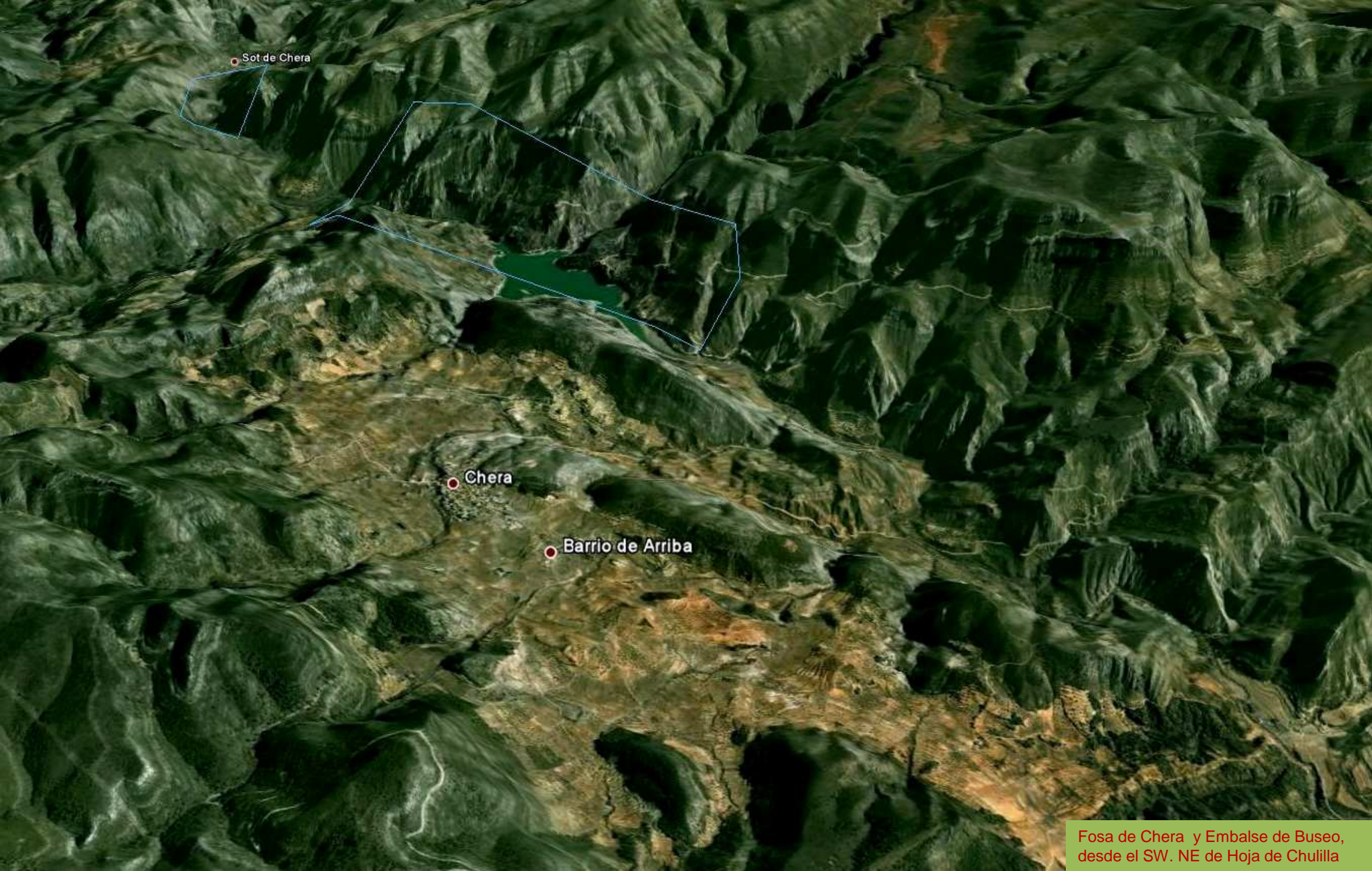
Obras de adecuación del talud de margas arcillosas del Mioceno, Terciario. SW de Chera. Centro S Hoja de Chulilla.



Relieves Calizos del Cretácico. Al S de Barrio de Arriba y de Chera. Hacia el Centro-E de la Hoja de Chulilla



Obras de adecuación del talud de margas arcillosas areniscas y conglomerados del Mioceno, Terciario. W –entrada S- de Barrio de Arriba. Centro S Hoja de Chulilla.



Sot de Chera

Chera

Barrio de Arriba

Fosa de Chera y Embalse de Buseo,
desde el SW. NE de Hoja de Chulilla



Pico Tío Gaspar y el Cinglo Ancho / Piquillo de Las Nives y Cinglo Ancho / Charco de Las Lumbres, E de Chera

Rafa Payá ©



Rafa Payá ©

C. Gisbert (c)



Peña Roya y Hocino del Tío Pepe. S de Embalse de Buseo. E Hoja de Chulilla.

C. Gisbert (c)



C. Gisbert (c)



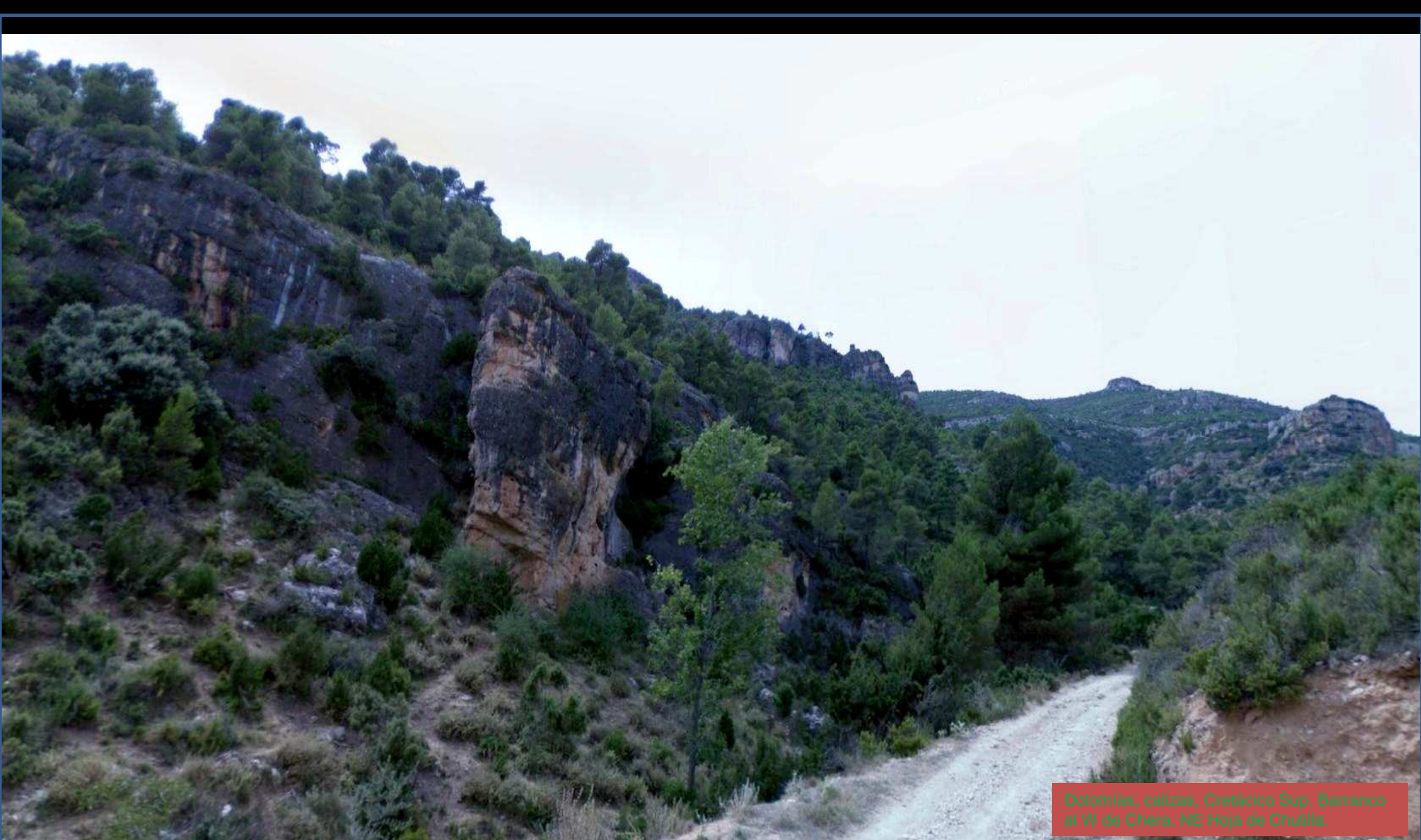
C. Gisbert (c)



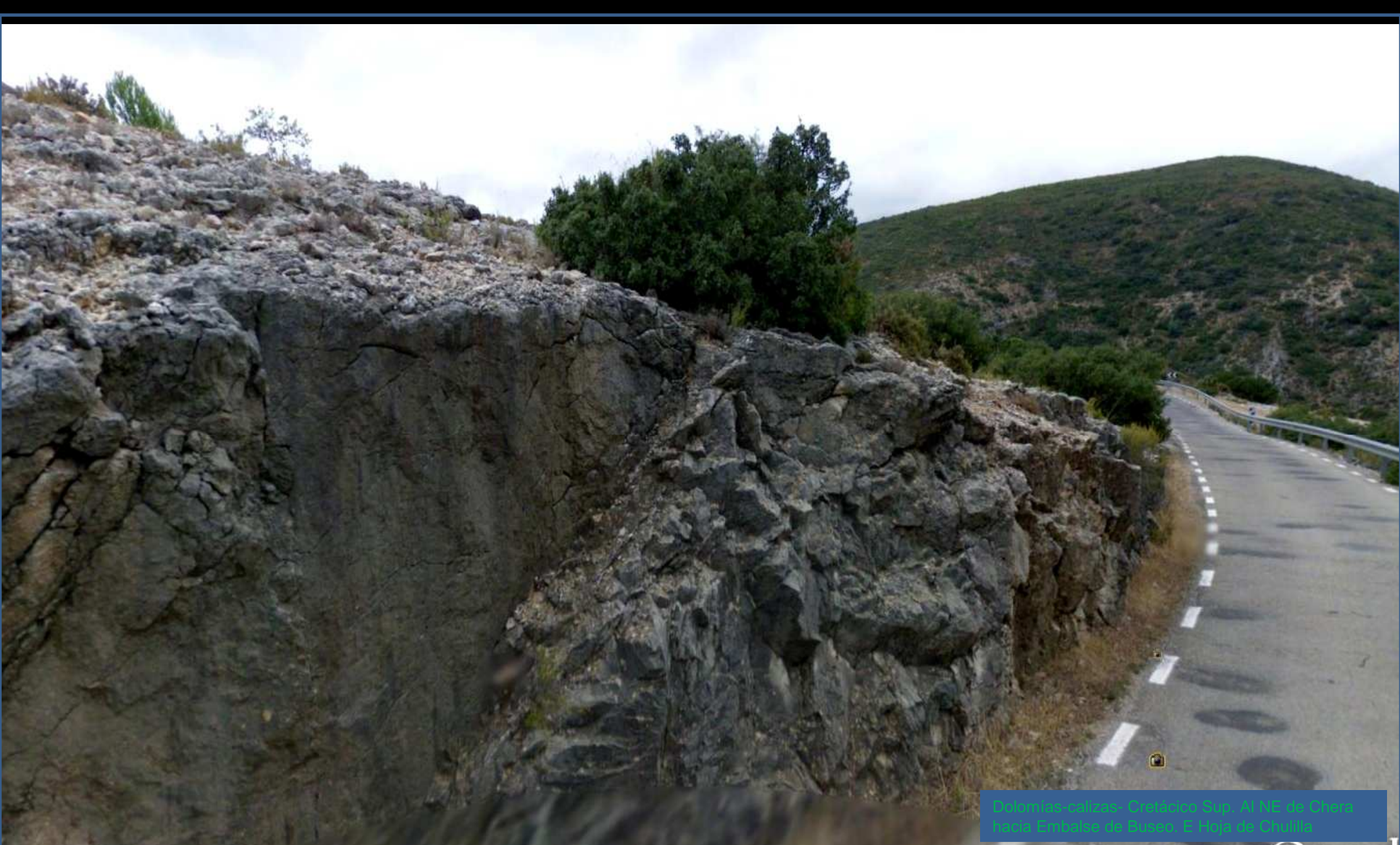
Riscas de La Hoya del Sapo (che!vic) / Los Agujerillos / Barranco de La Hoz (Voro Castellote) /El Burgal y Sierra de Santa María W de Embalse de Buseo.



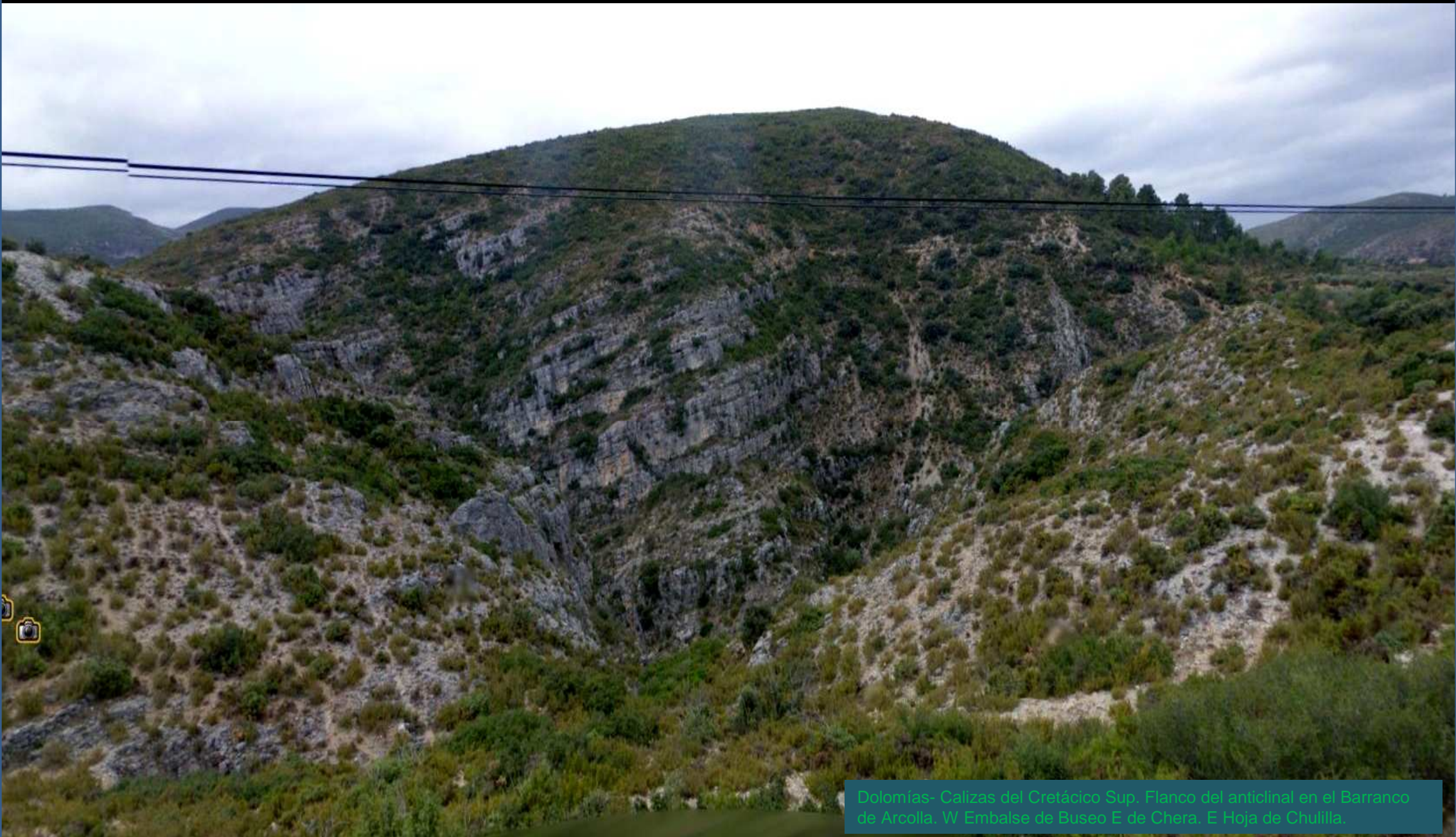
Che!Vic ©



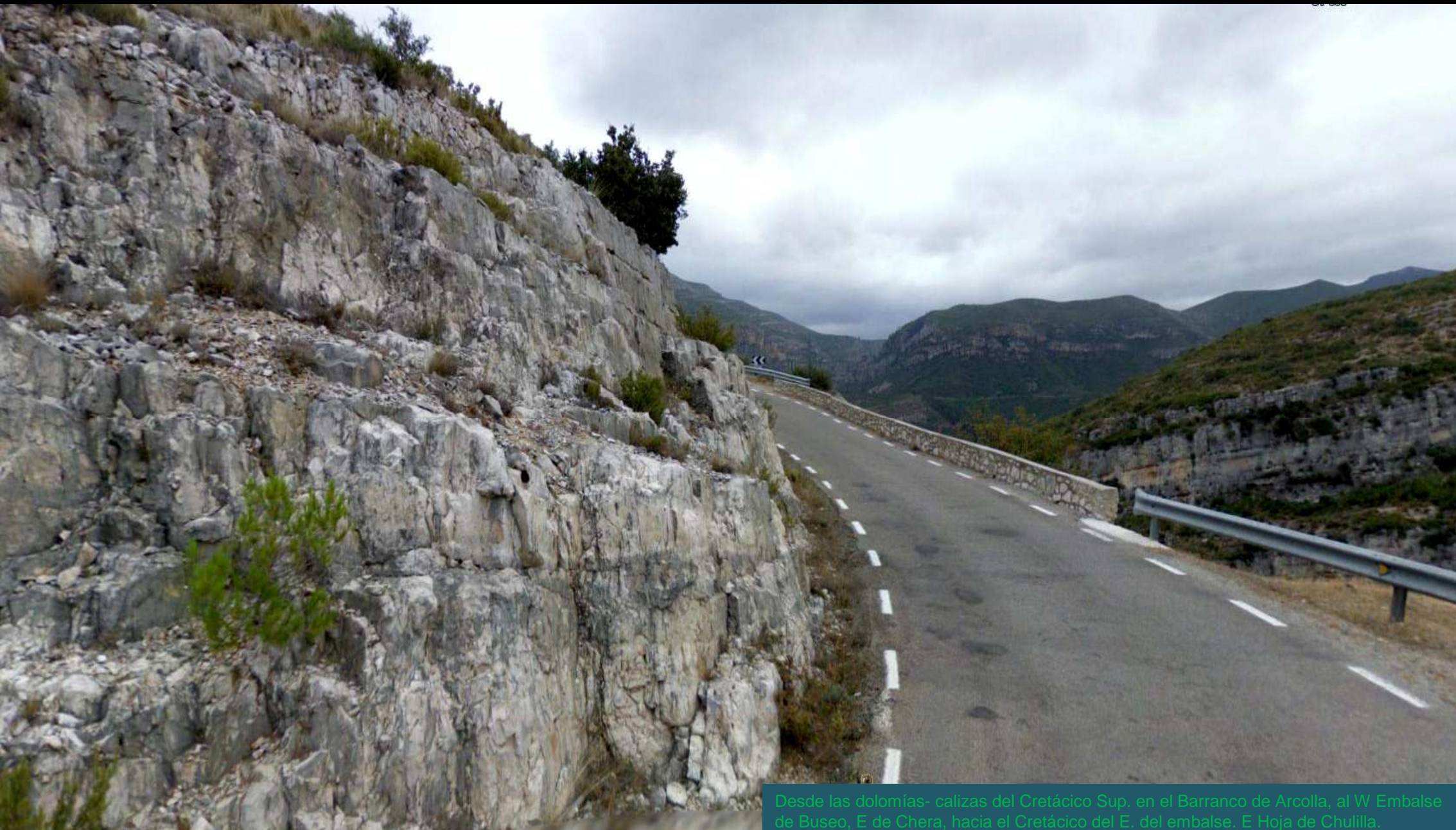
Dolomías, calizas, Cretácico Sup. Barranco al W de Chera. NE Hoja de Chulilla.



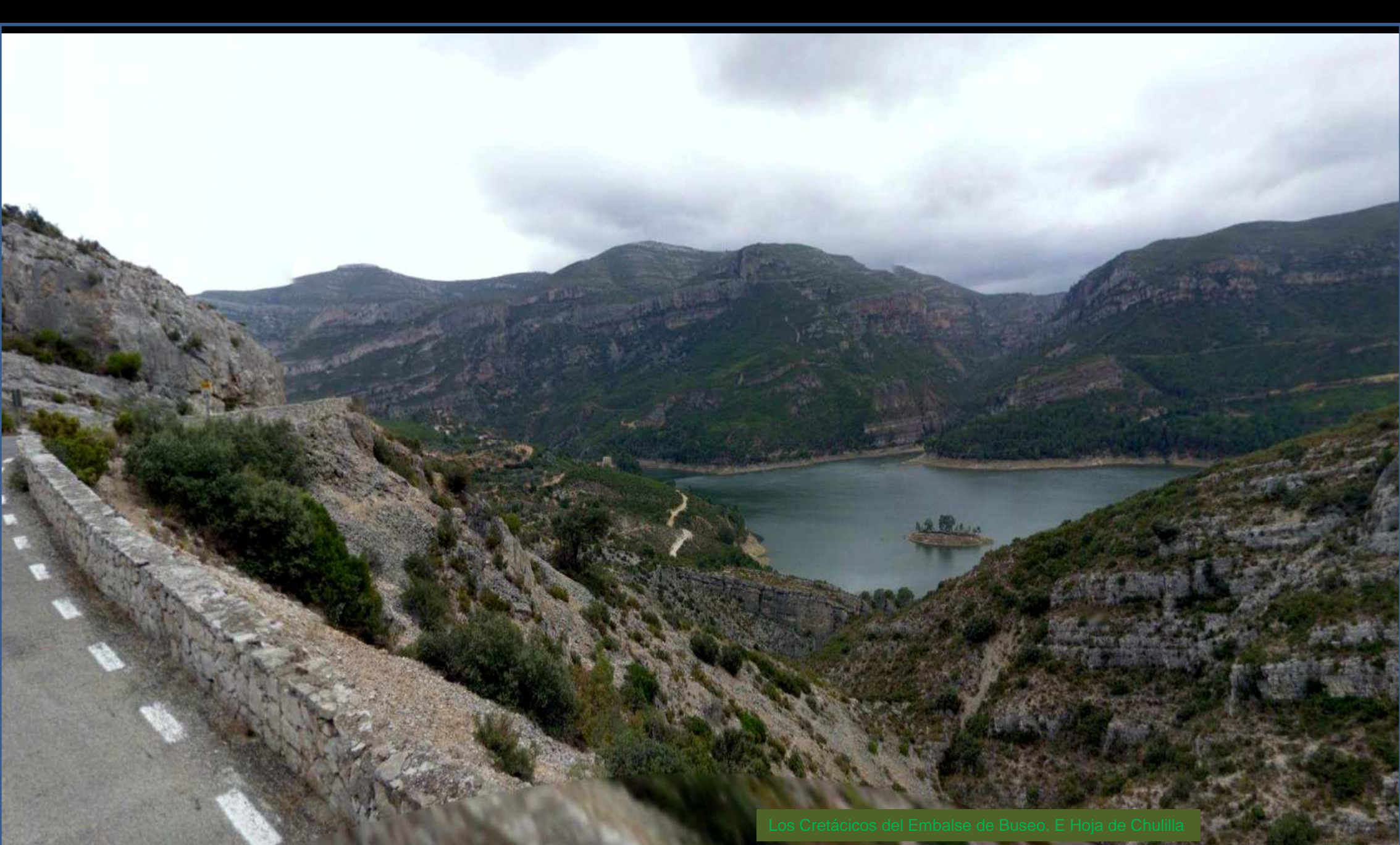
Dolomías-calizas- Cretácico Sup. Al NE de Chera hacia Embalse de Buzo. E Hoja de Chulla



Dolomías- Calizas del Cretácico Sup. Flanco del anticlinal en el Barranco de Arcolla. W Embalse de Buseo E de Chera. E Hoja de Chulilla.



Desde las dolomías- calizas del Cretácico Sup. en el Barranco de Arcolla, al W Embalse de Buseo, E de Chera, hacia el Cretácico del E. del embalse. E Hoja de Chulilla.



Los Cretácicos del Embalse de Buseo. E Hoja de Chulilla



Vaso del Embalse de Buseo, de W a E, entre relieves principalmente carbonatados Cretácicos. E Hoja de Chulilla



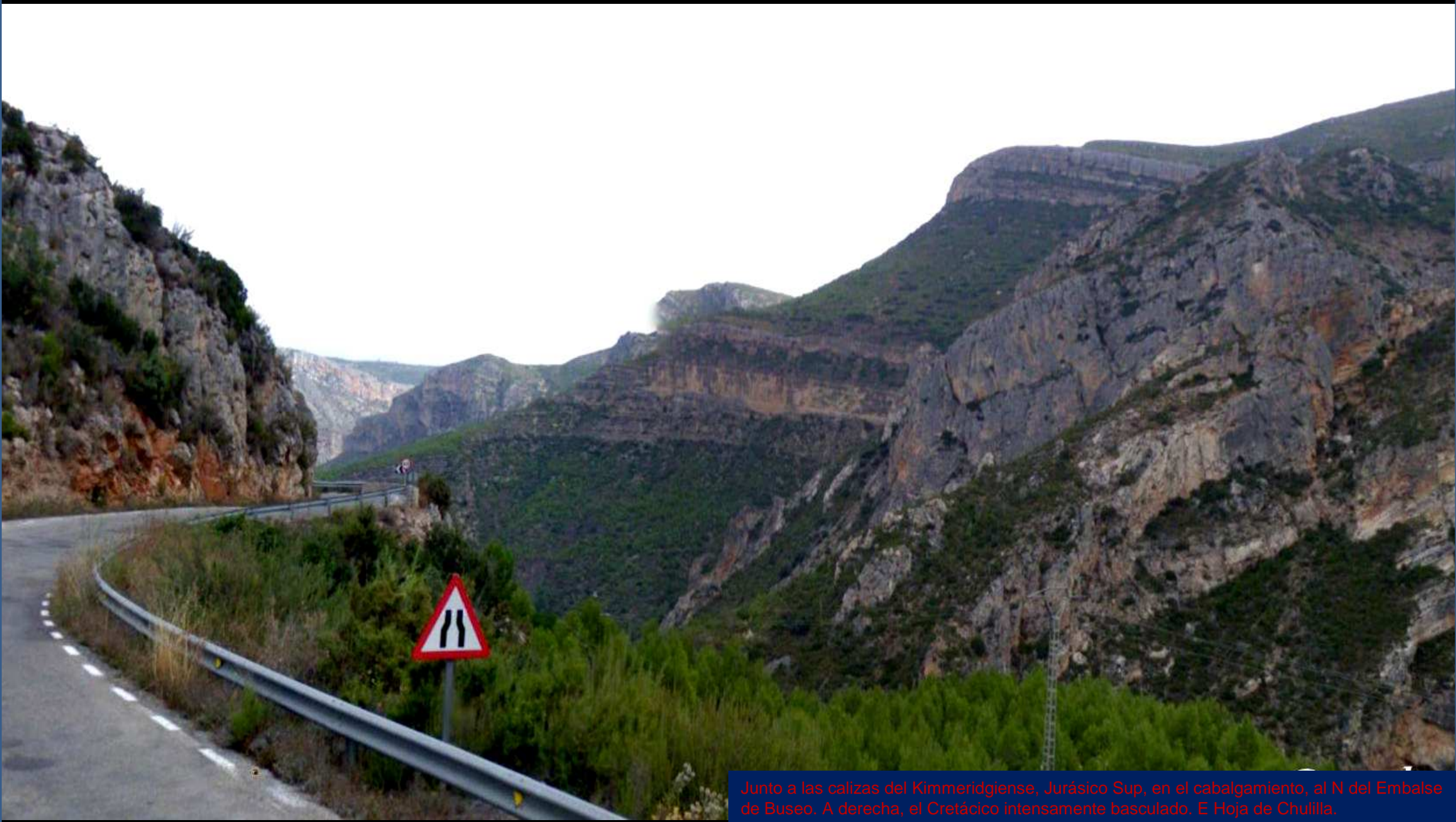
Dolomías- Calizas del Cretácico Sup. al W Embalse de Buseo, E Hoja de Chulilla.



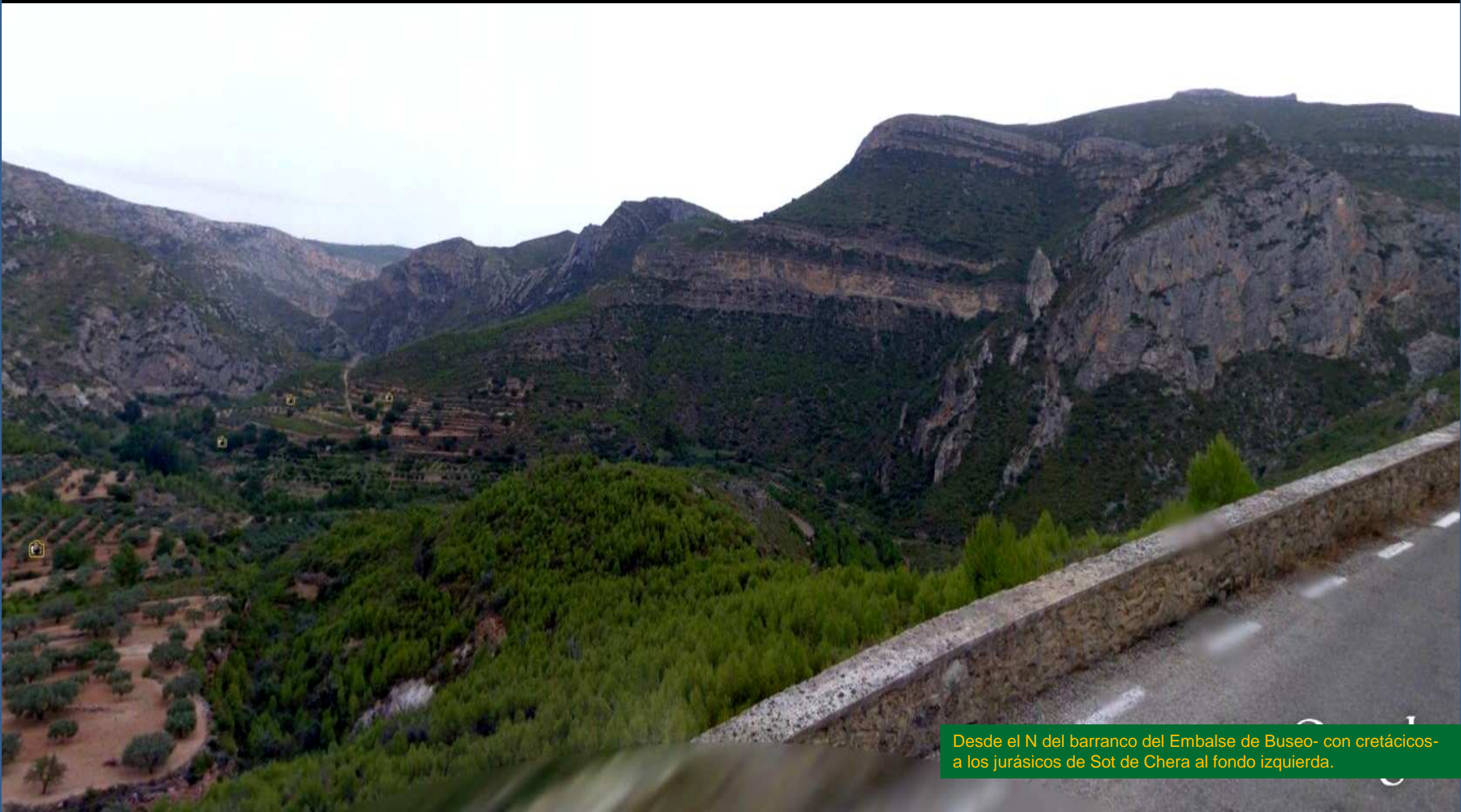
Tectónica intensa en los relieves Cretácicos al NE del Embalse de Buseo. E Hoja de Chuliña



Detalle de anterior: Tectónica intensa en los relieves Mesozoicos al NE del Embalse de Buseo. E Hoja de Chullilla



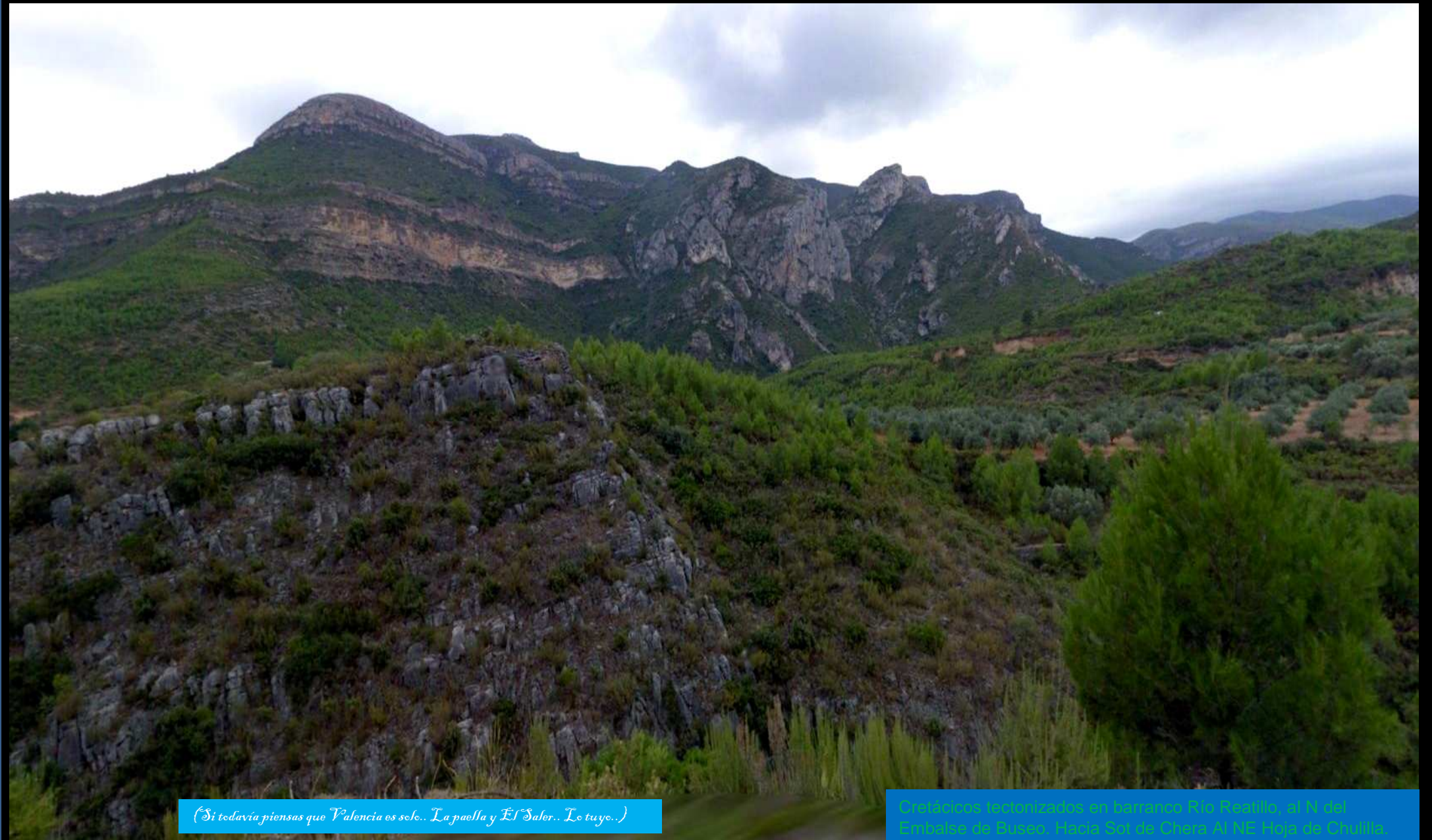
Junto a las calizas del Kimmeridgiense, Jurásico Sup, en el cabalgamiento, al N del Embalse de Buseo. A derecha, el Cretácico intensamente basculado. E Hoja de Chulilla.



Desde el N del barranco del Embalse de Buseo- con cretácicos- a los jurásicos de Sot de Chera al fondo izquierda.

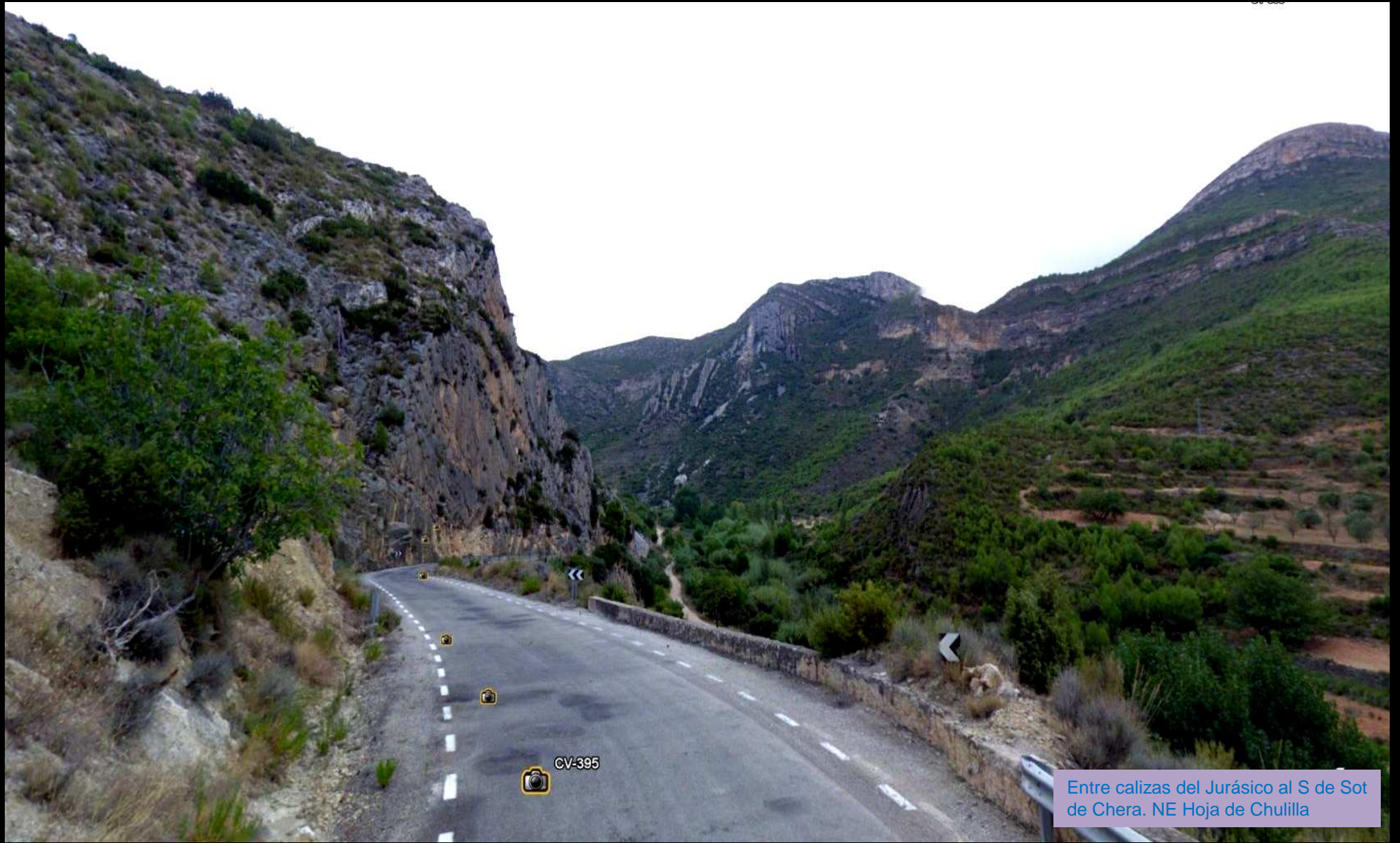


Calizas del Aptiense, Cretácico Inf. con líquenes y sin ellos. Al N del Embalse de Buseo. NE Hoja de Chullilla



(Si todavía piensas que Valencia es solo.. La paella y El Saler.. Lo tuyo..)

Cretácicos tectonizados en barranco Rio Realillo, al N del Embalse de Buseo. Hacia Sol de Chera Al NE Hoja de Chullia.

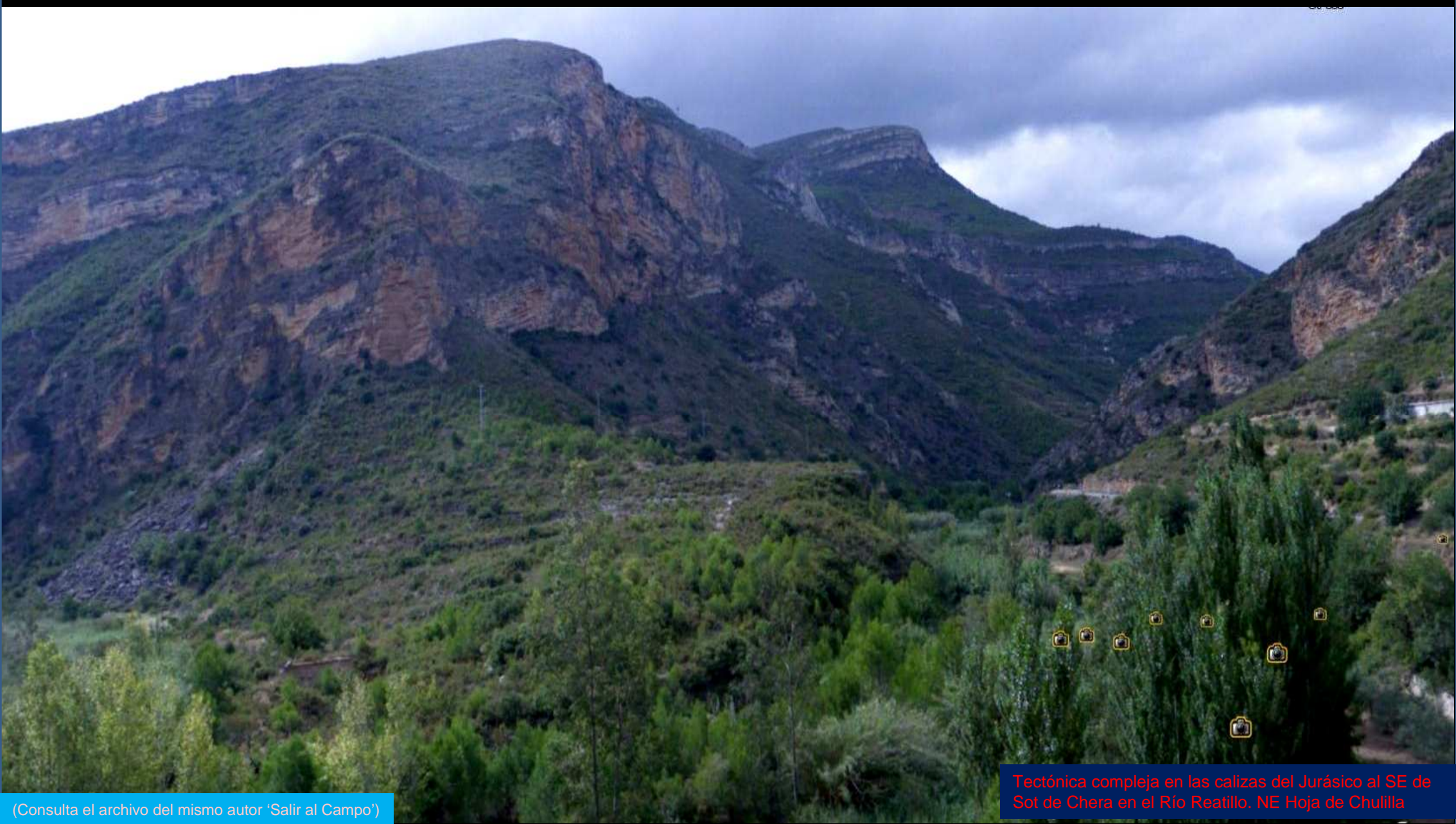


CV-395

Entre calizas del Jurásico al S de Sot
de Chera. NE Hoja de Chulilla

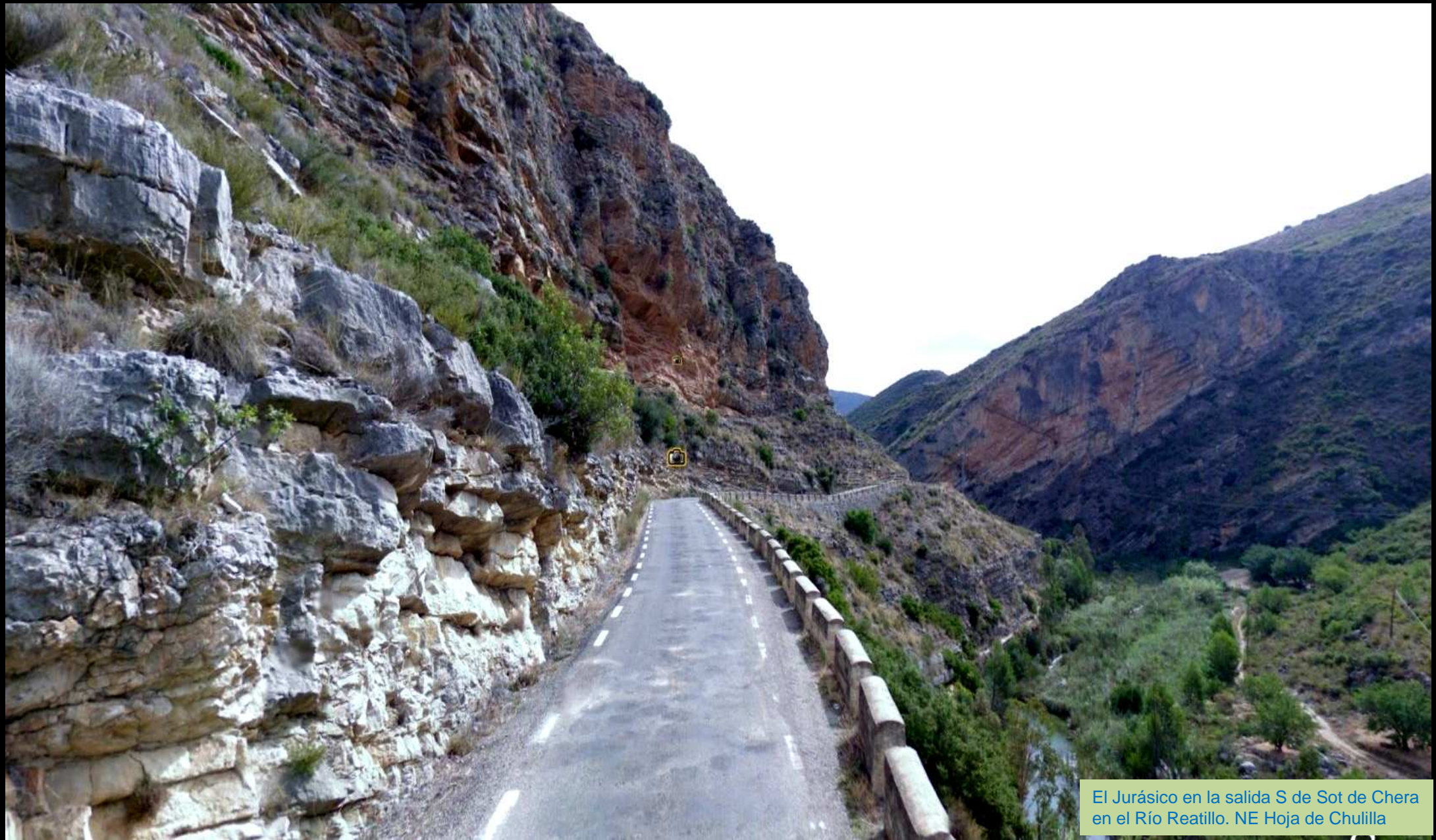


Entre calizas del Dogger y del Oxfordiense, Jurásico. Al S de Sot de Chera. NE Hoja de Chulilla



(Consulta el archivo del mismo autor 'Salir al Campo')

Tectónica compleja en las calizas del Jurásico al SE de Sot de Chera en el Río Reatillo. NE Hoja de Chulilla



El Jurásico en la salida S de Sot de Chera en el Río Reatillo. NE Hoja de Chulilla



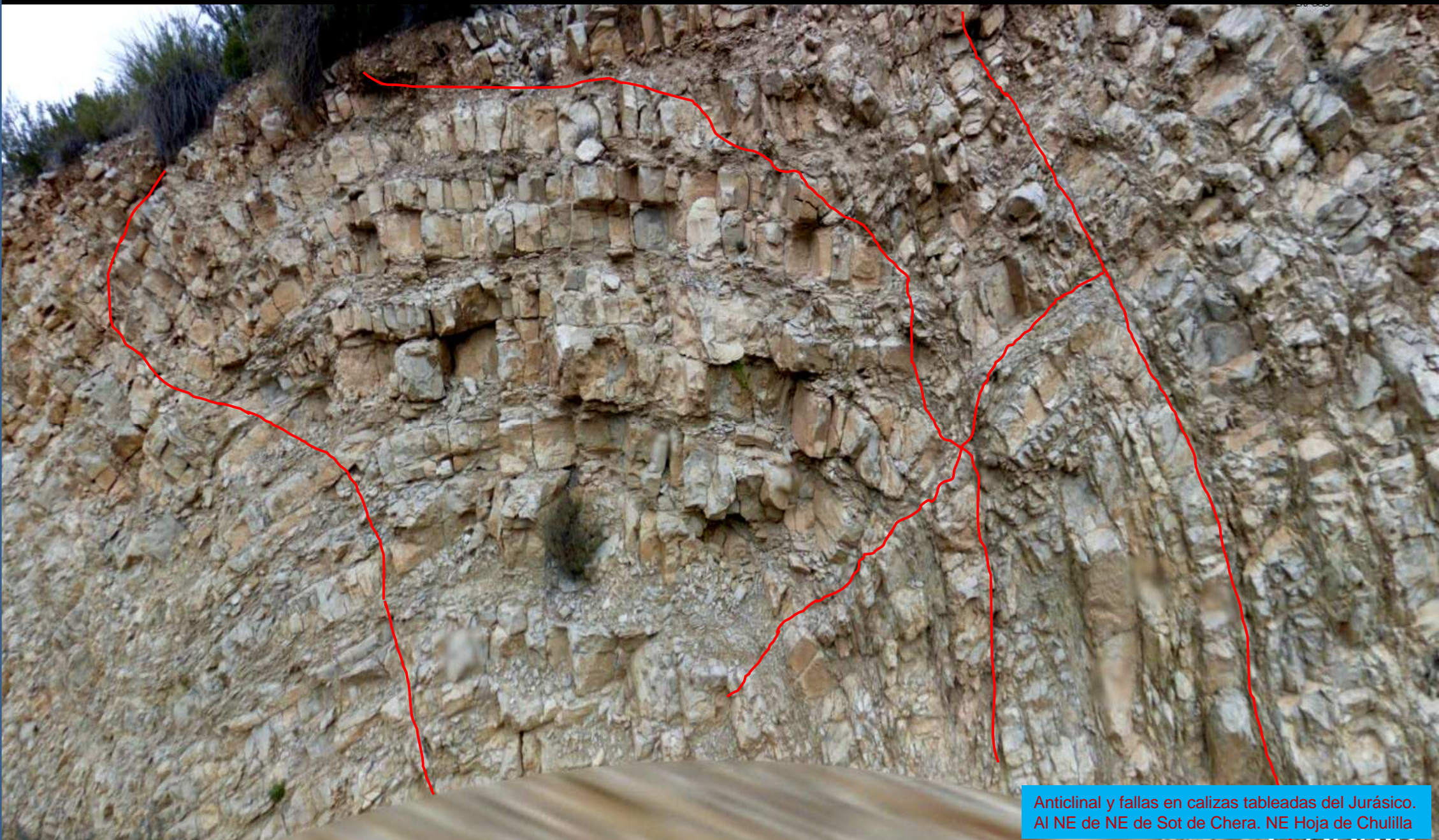
Jurásicos en Sot de Chera.
NE Hoja de Chulilla.



Peligrosidad en carretera. SE de Sot de Chera, en el Río Reatillo. NE Hoja de Chulilla



Plegamientos ortogonales en las calizas del Jurásico al NE de NE de Sot de Chera. NE Hoja de Chulilla



Anticlinal y fallas en calizas tableadas del Jurásico. Al NE de NE de Sot de Chera. NE Hoja de Chulilla



Fallas y pliegues de arrastre. Al NE de NE de Sot de Chera. NE Hoja de Chullilla



Alto de La Bandera, Jurásico en la cima. Valle del Río de Chera. Al fondo, Chulilla y Cretácico. NE Hoja de Chulilla



Familias de discontinuidades- por fallas, estratificación, diaclasado..- en las calizas pisolíticas del Kimmeridgiense, Malm, Jurásico. Al SW del Alto de La Bandera. NE Hoja de Chulilla



Calizas pisolíticas del Kimmeridgiense, Malm, Jurásico. Buena zona para prácticas de medidas de discontinuidades. Al SW del Alto de La Bandera. NE Hoja de Chulilla



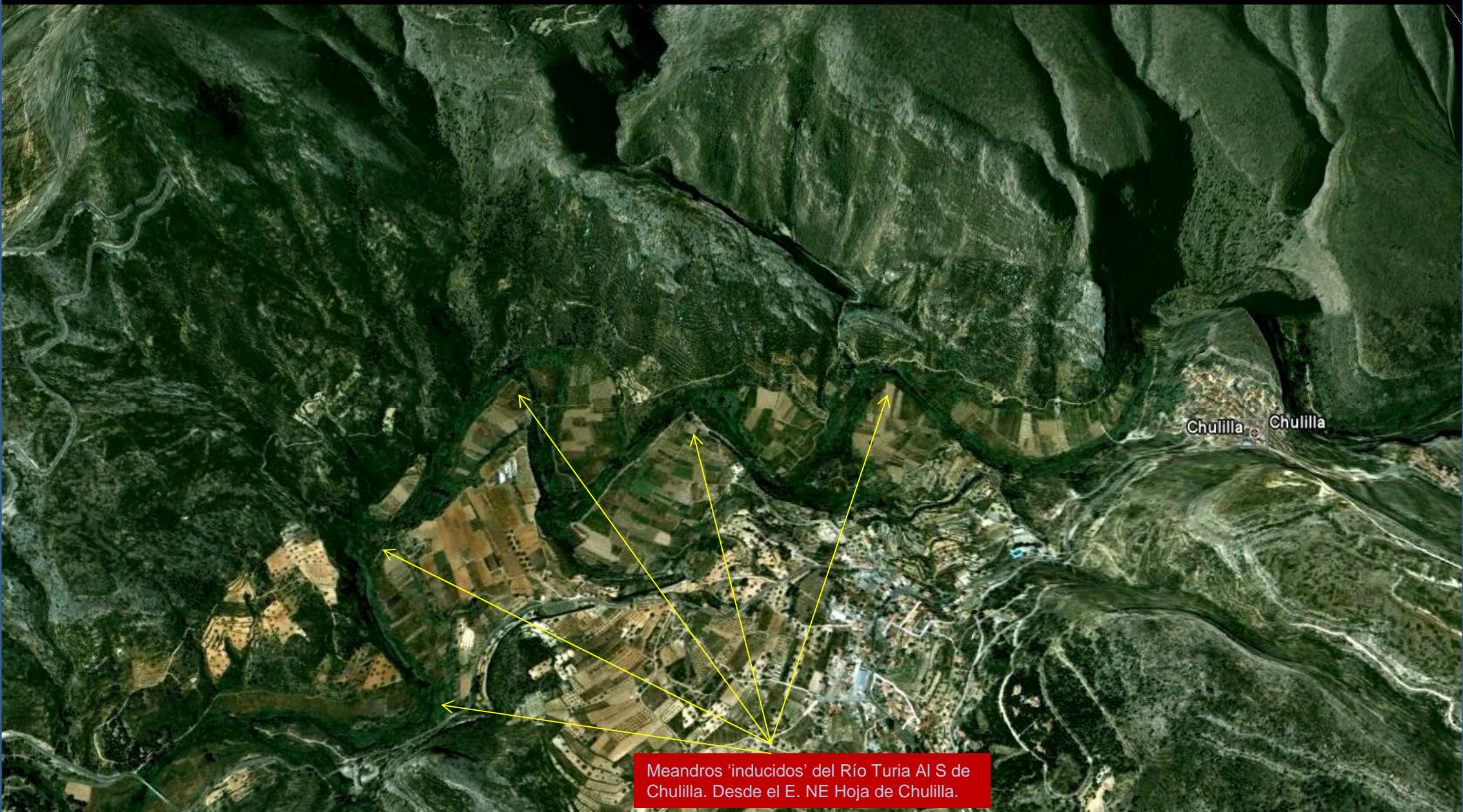
Calizas- y margas- del Jurásico Sup. En zona de fallas.
Al SW del Alto de La Bandera. NE Hoja de Chulilla



Discordancias: Jurásico cabalgante sobre Cretácico Wealdense. Y, a la izquierda, Cuaternario. Al SW del Alto de La Bandera. NE Hoja de Chulilla

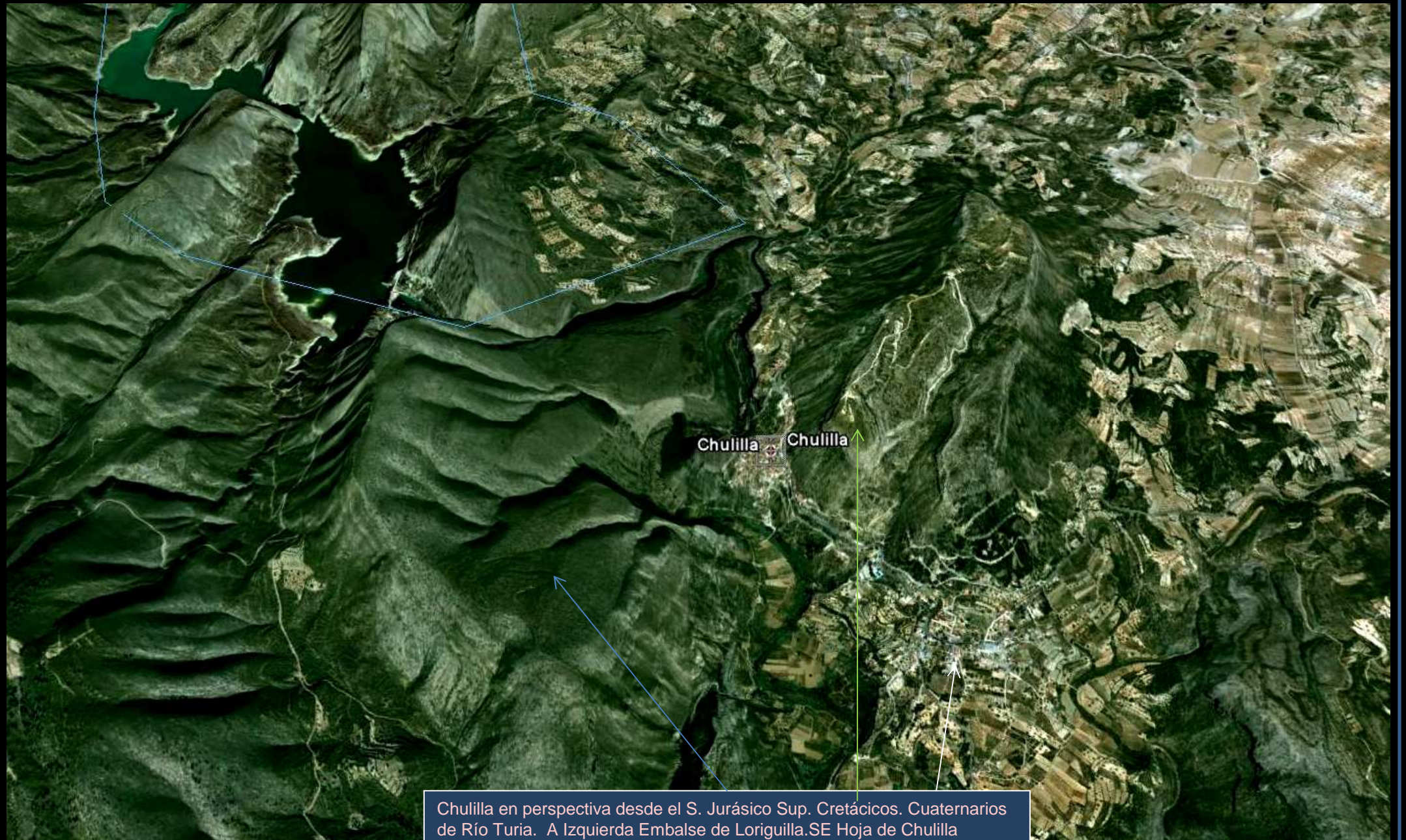


Relieves del Jurásico Sup. Talud de sedimentos fluviales, Central Eléctrica. S de Chulilla. NE Hoja de Chulilla

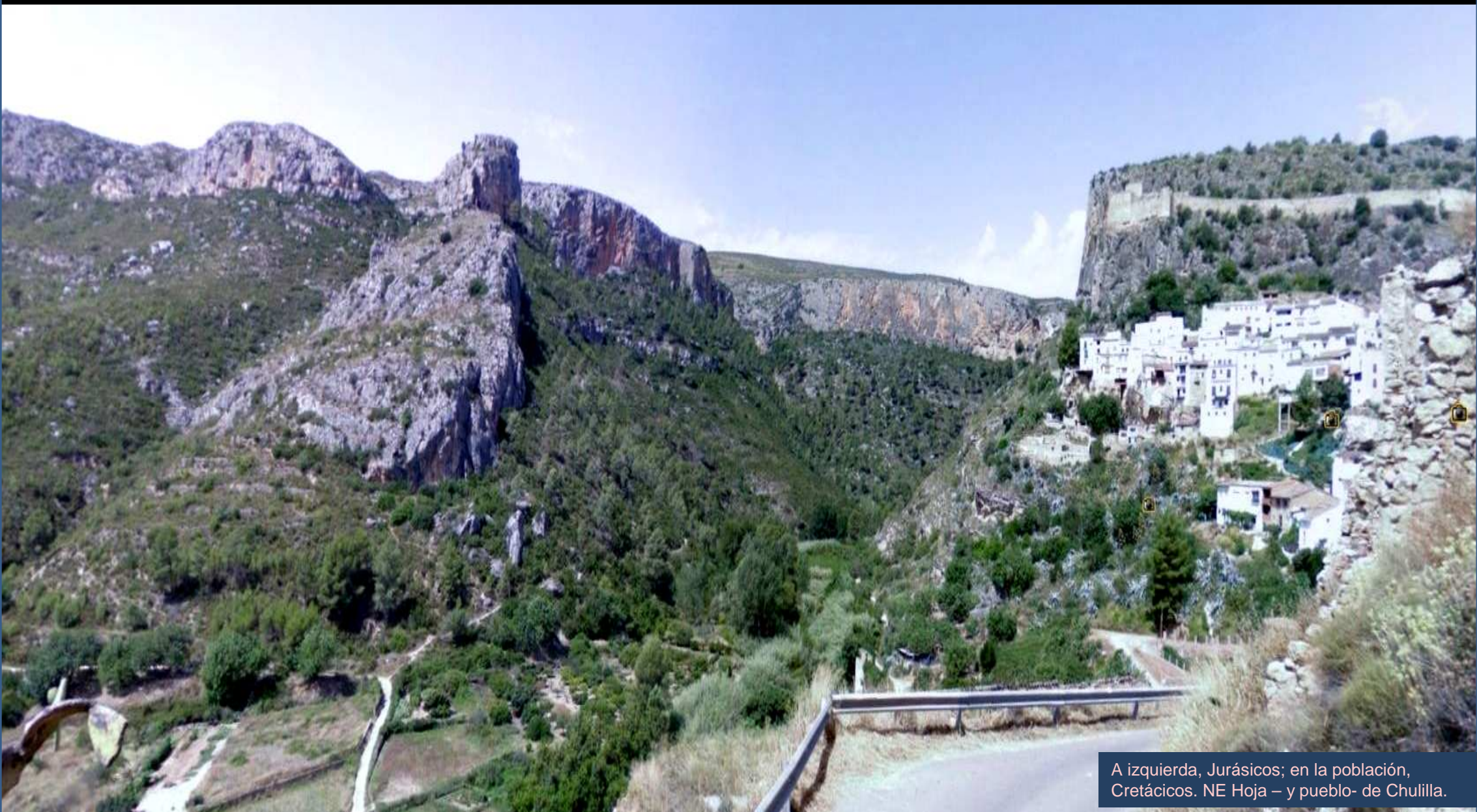


Chulilla Chulilla

Meandros 'inducidos' del Río Turia Al S de Chulilla. Desde el E. NE Hoja de Chulilla.



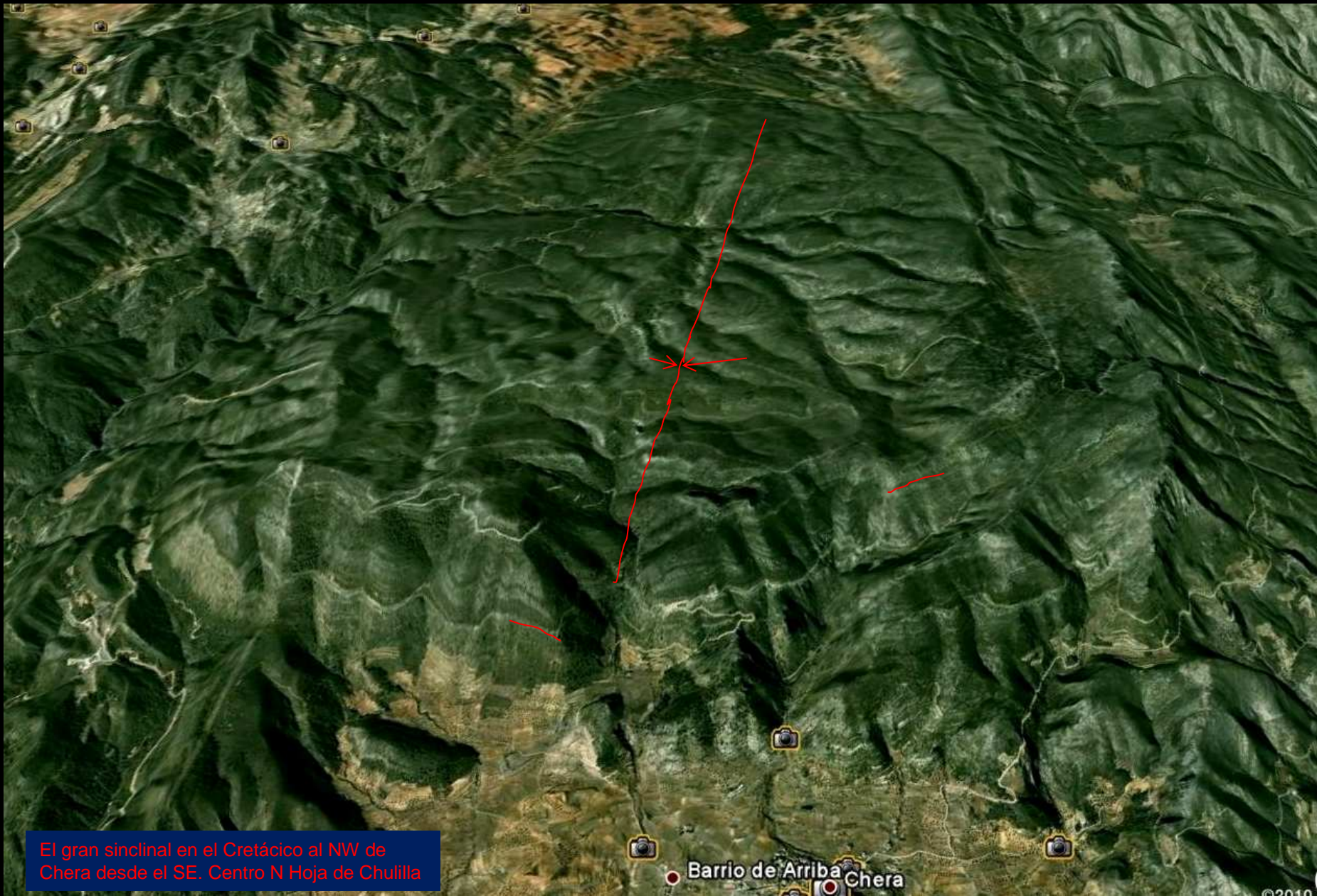
Chulilla en perspectiva desde el S. Jurásico Sup. Cretácicos. Cuaternarios de Río Turia. A Izquierda Embalse de Loriguilla. SE Hoja de Chulilla



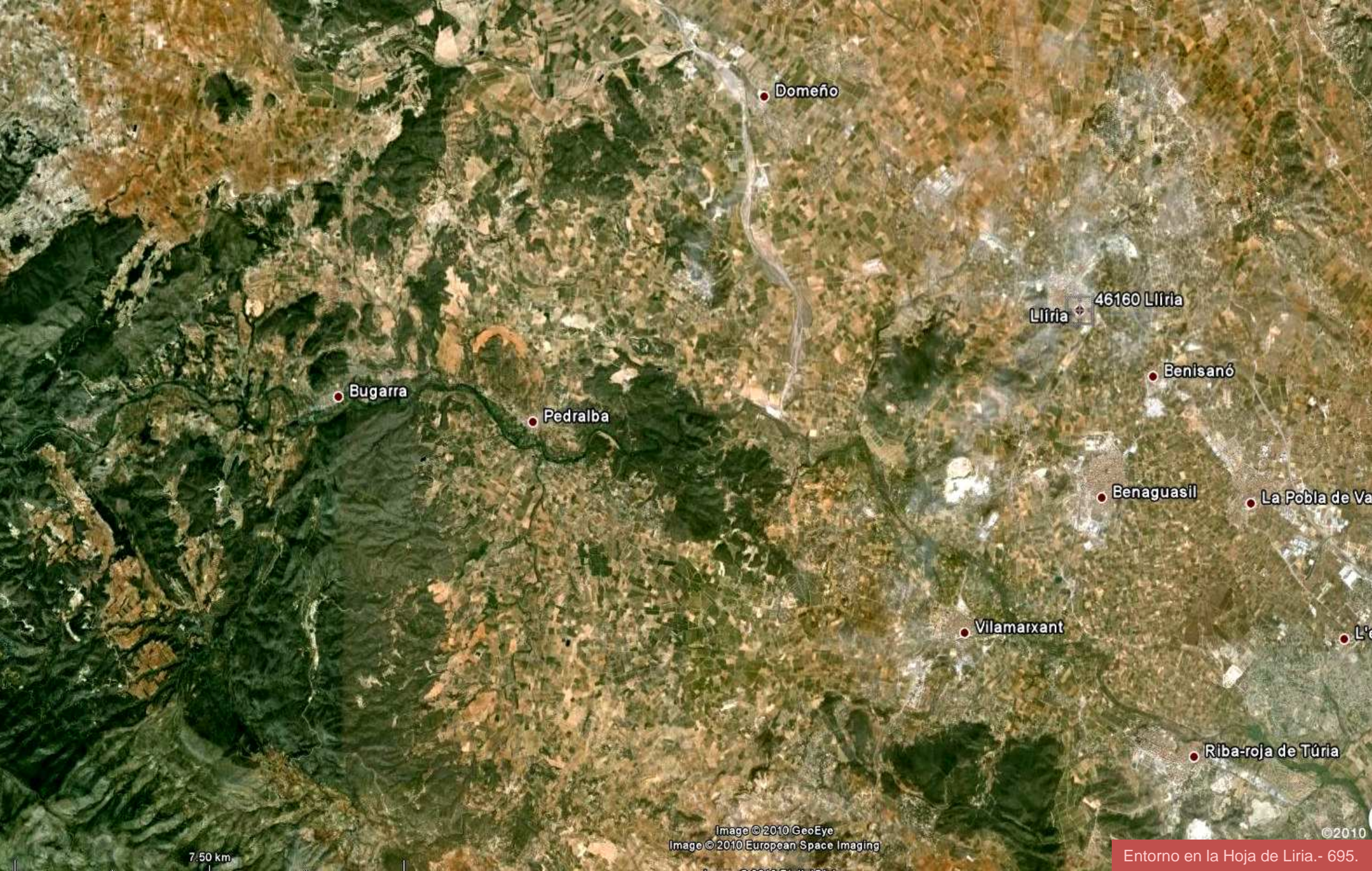
A izquierda, Jurásicos; en la población, Cretácicos. NE Hoja – y pueblo- de Chulilla.



Hacia el Jurásico de Chulilla.
NE Hoja de Chulilla



El gran sinclinal en el Cretácico al NW de Chera desde el SE. Centro N Hoja de Chulilla



Domeño

Liria 46160 Liria

Benisanó

Bugarra

Pedralba

Benaguasil

La Pobla de Va

Vilamarxant

L'

Riba-roja de Túria

7.50 km

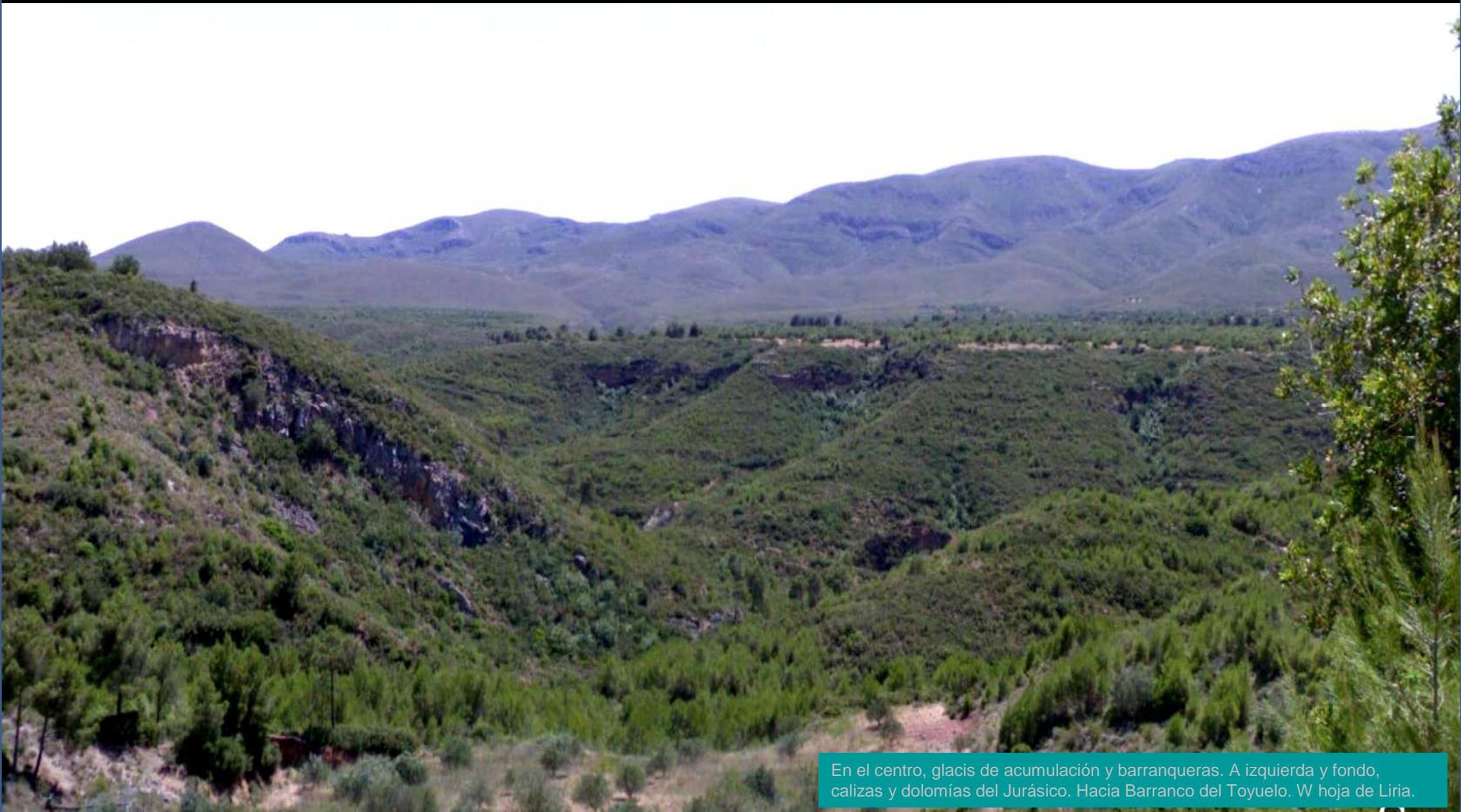
Image © 2010 GeoEye
Image © 2010 European Space Imaging

© 2010

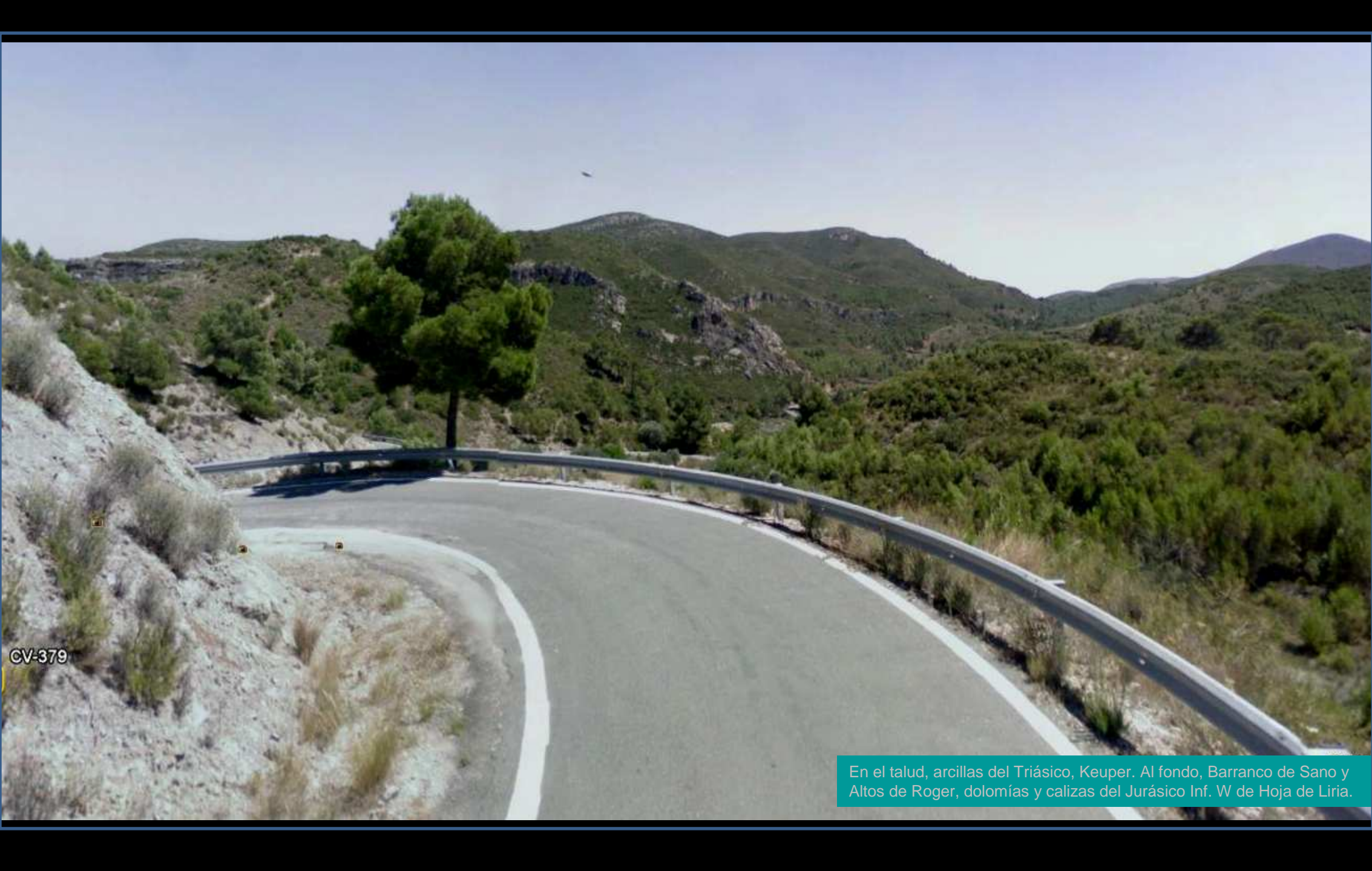
Entorno en la Hoja de Liria.- 695.



Arcillas con yesos del Keuper, Triásico. Protección insuficiente. SE de Gestalgar. W Hoja de Liria.



En el centro, glacis de acumulación y barranqueras. A izquierda y fondo, calizas y dolomías del Jurásico. Hacia Barranco del Toyuelo. W hoja de Liria.

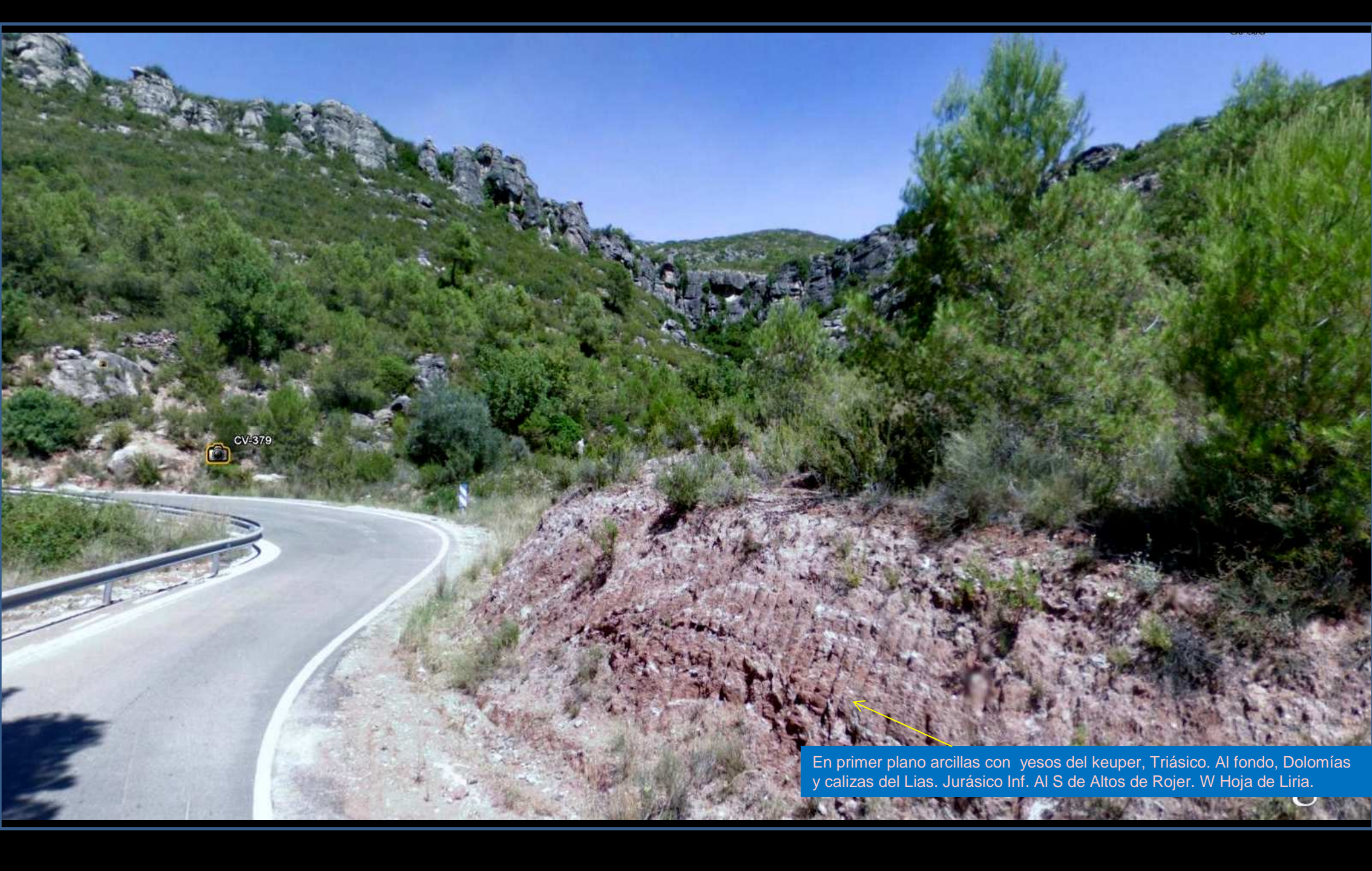


CV-379

En el talud, arcillas del Triásico, Keuper. Al fondo, Barranco de Sano y Altos de Roger, dolomías y calizas del Jurásico Inf. W de Hoja de Liria.

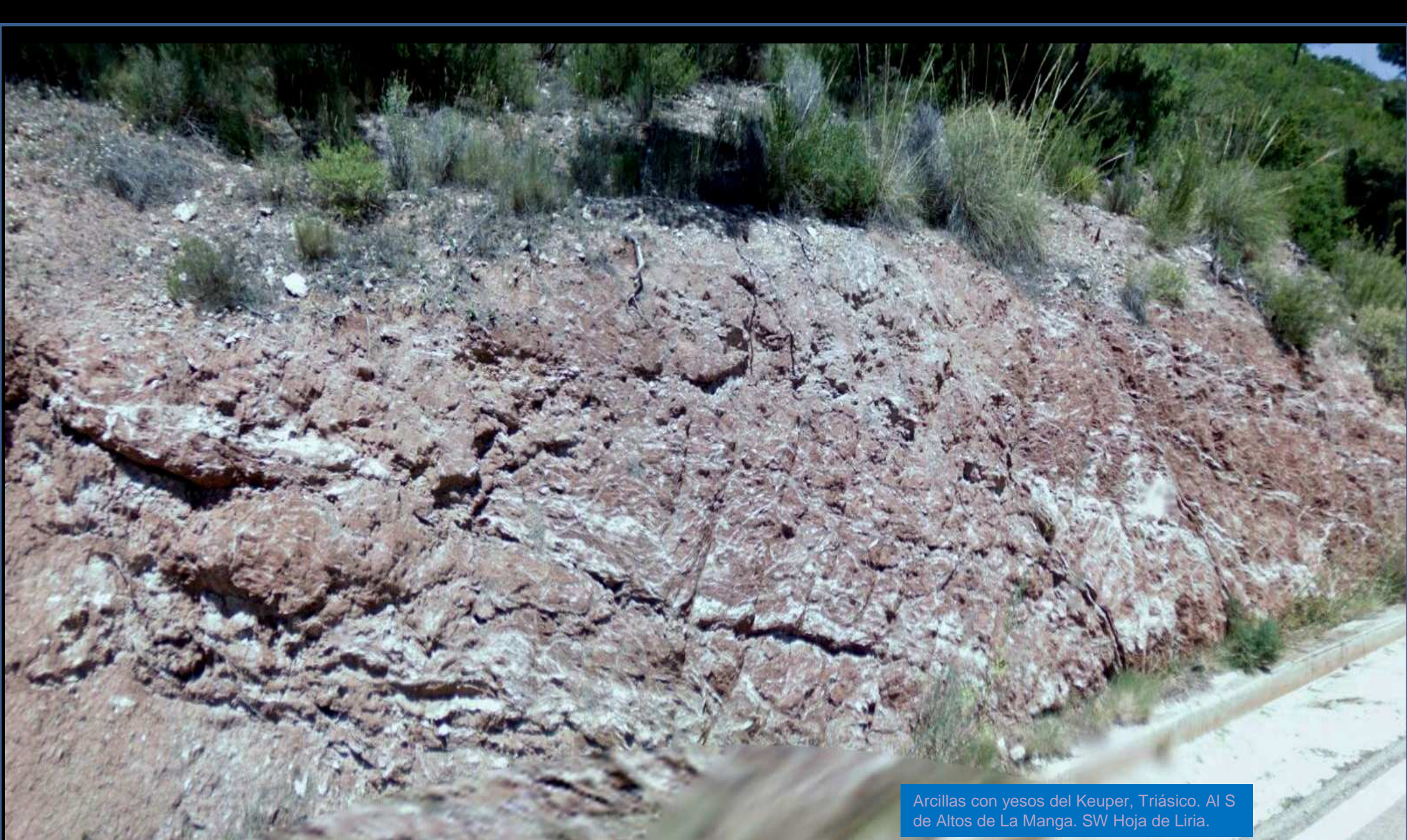


Bloques caídos desde los relieves calizo- dolomíticos del Jurásico Inf. S Altos de Rojer. W Hoja de Liria.



CV-379

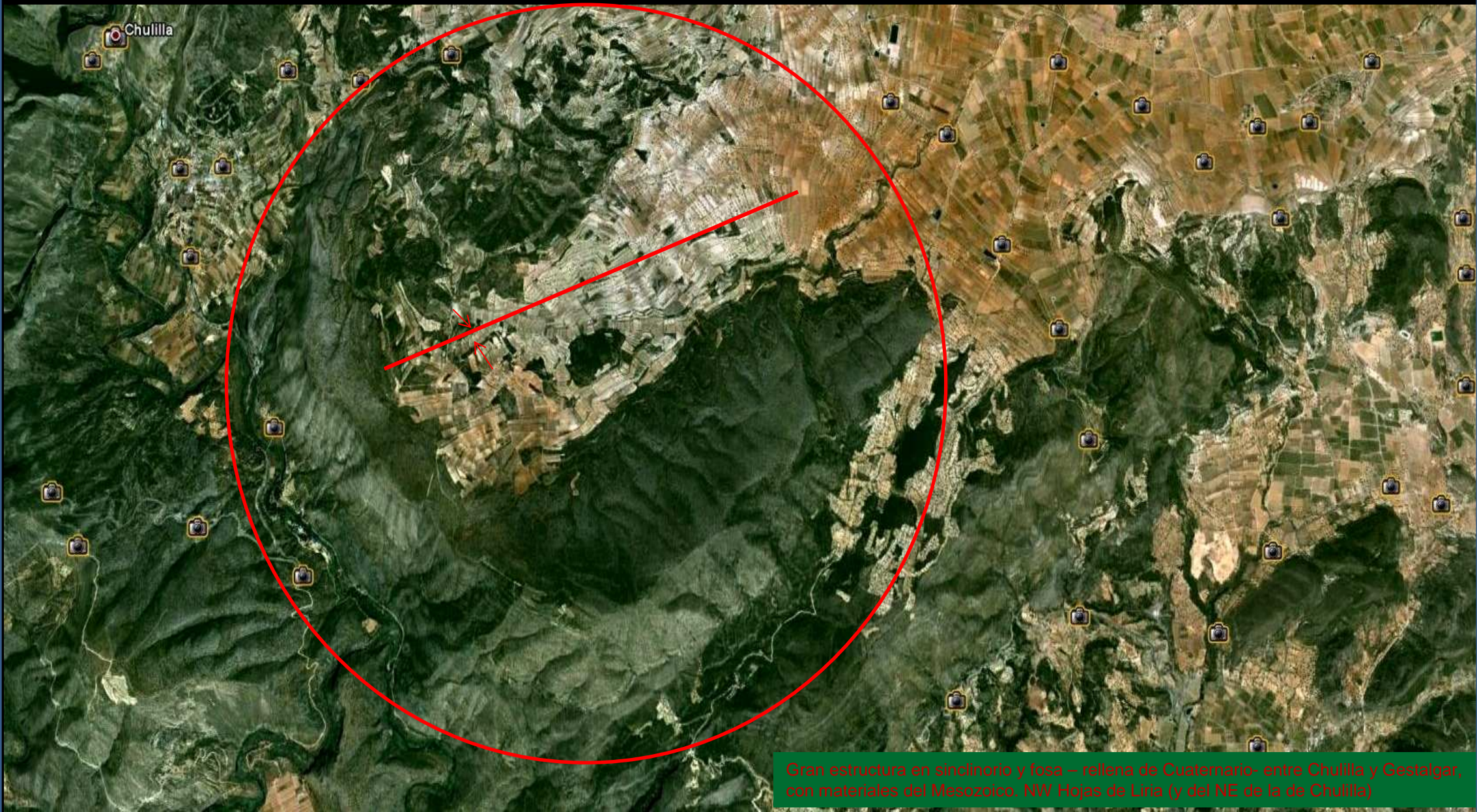
En primer plano arcillas con yesos del keuper, Triásico. Al fondo, Dolomías y calizas del Lias. Jurásico Inf. Al S de Altos de Rojer. W Hoja de Liria.



Arcillas con yesos del Keuper, Triásico. Al S de Altos de La Manga. SW Hoja de Liria.



Calizas del Jurásico Sup. Zona Barranco de La Higuera. W centro Hoja de Liria.



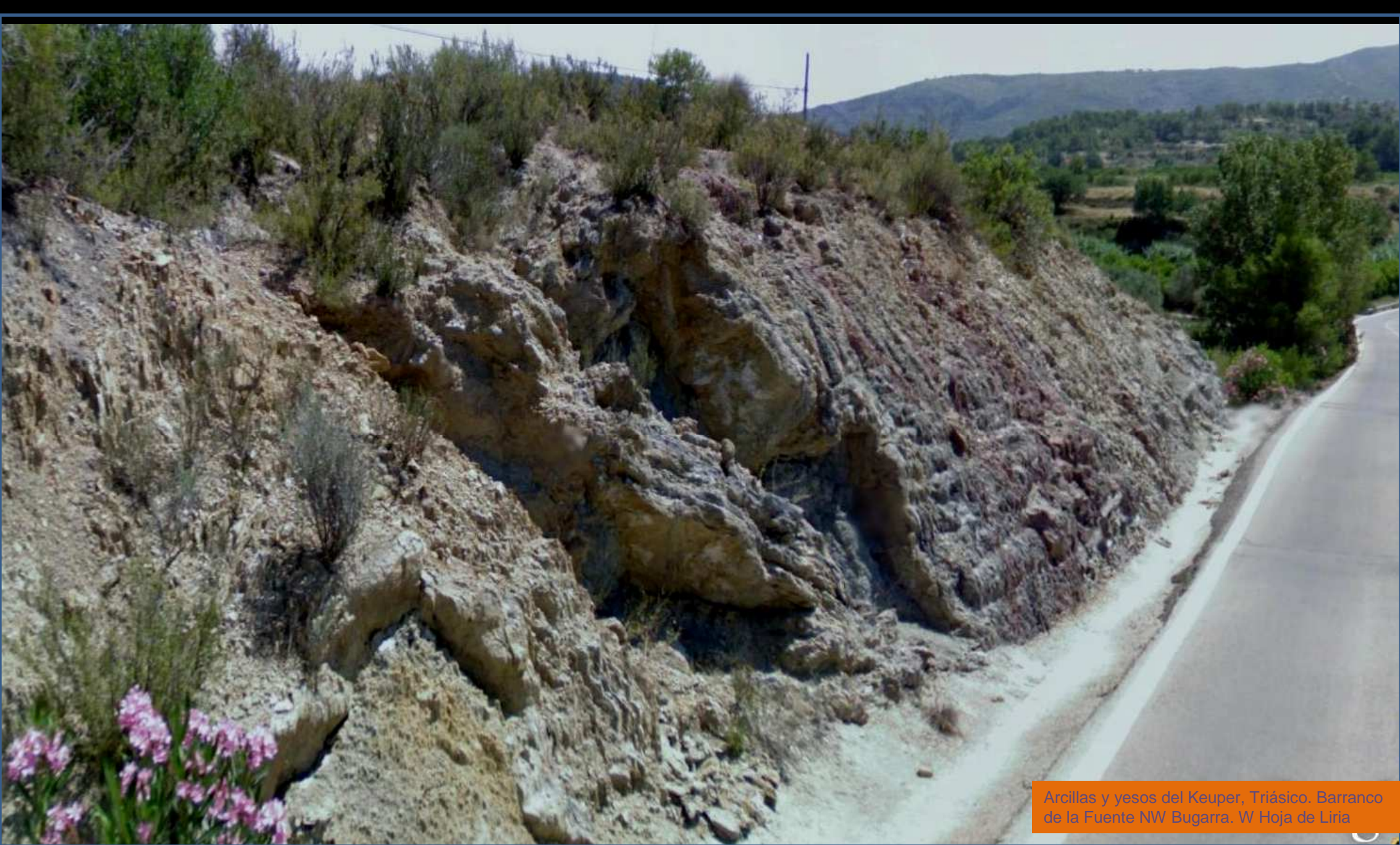
Gran estructura en sincinorio y fosa – rellena de Cuaternario- entre Chullilla y Gestalgar, con materiales del Mesozoico. NW Hojas de Liria (y del NE de la de Chullilla)



Arcillas areniscas y conglomerados Neógenos, Terciarios. Entre Bugarra y Gestalgar. W Hoja de Liria



Talud –imagen partida- de arcillas y yesos del Keuper, Triásico. Barranco de la Fuente NW Bugarra. W Hoja de Liria



Arcillas y yesos del Keuper, Triásico. Barranco de la Fuente NW Bugarra. W Hoja de Liria

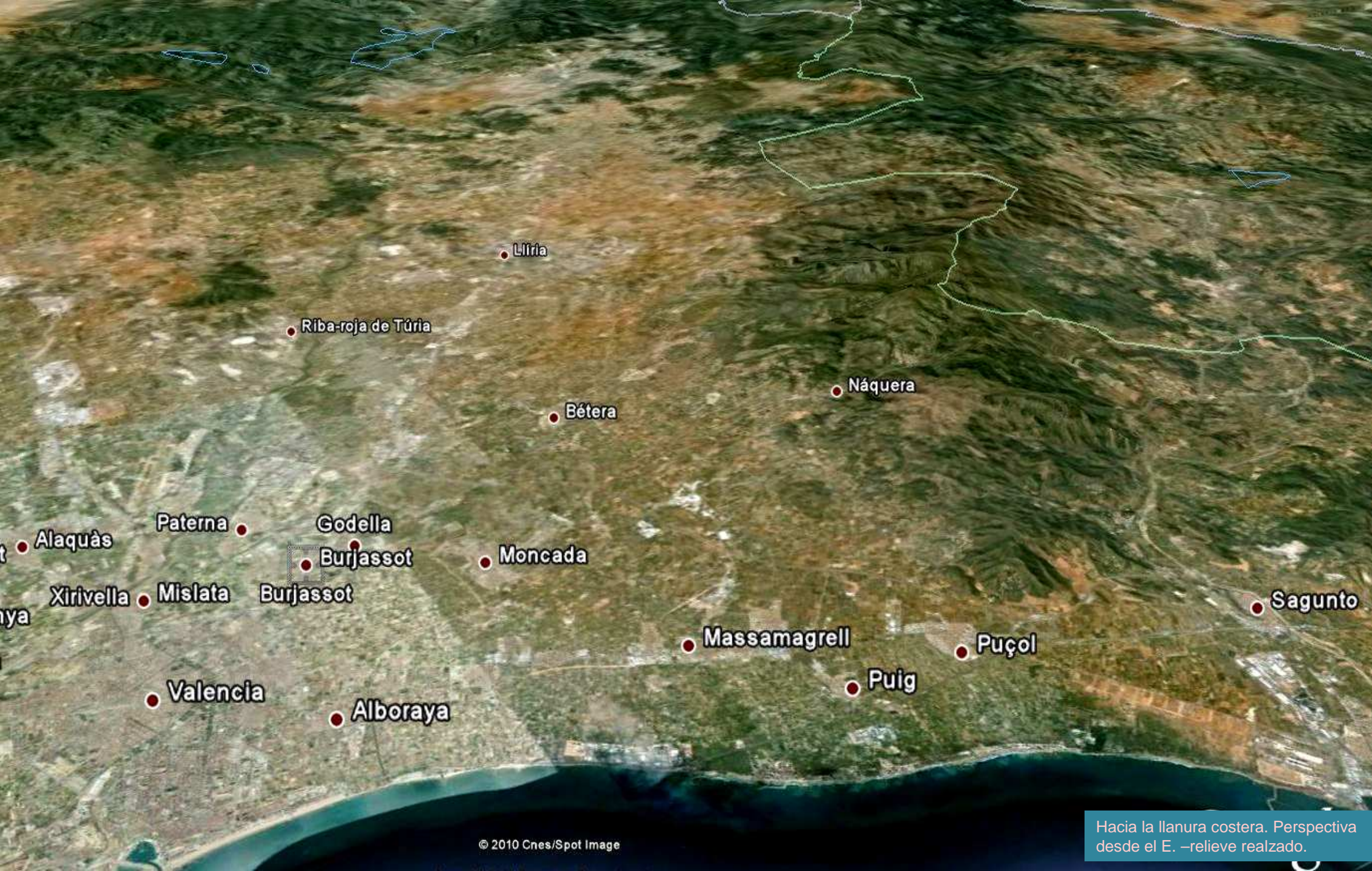


Sinforma y falla en las calizas del Albiense- Cenimaniense, Cretácico. S Cerro del Aguila. NW Hoja de Liria.



Terciario,
Mioceno, en talud
de Autovía
Ademuz. E de
Benisanó E Hoja
de Liria.







Relieves del Buntsandstein, pie de monte y glacis. al NW de Puzol. NE de Hoja de Burjasot.



Relieves Triásicos. NW de Puzol. Autovía del Mediterraneo. E Hoja de Burjasot.



Detalle de anterior. Talud W. Buntsandstein. Triásico. Areniscas y argilitas. Autopista Mediterraneo. Centro E Hoja de Burjasot.



Ampliación de la base de anterior. (Talud W, Buntsandstein, Triásico. Areniscas y argilitas. Autopista Mediterraneo. Centro E Hoja de Burjasot.)



Ampliación en la zona central del mismo talud. Triásico. Areniscas y argilitas. Autopista Mediterraneo. Centro E Hoja de Burjasot.



Detalle de una anterior. Talud E. Buntsandstein. Triásico. Areniscas y argilitas. Autopista Mediterraneo. Centro E Hoja de Burjasot.



Detalle en base de talud E. Buntsandstein. Triásico. Areniscas y argilitas. Autopista Mediterraneo. Centro E Hoja de Burjasot.



Ampliación en la zona central del mismo talud. Triásico. Areniscas y argilitas. Autopista Mediterraneo. Centro E Hoja de Burjasot.



En falla: talud W. Dolomías- calizas, muschelkalk. Autopista Mediterraneo. N Centro E. Hoja de Burjasot.



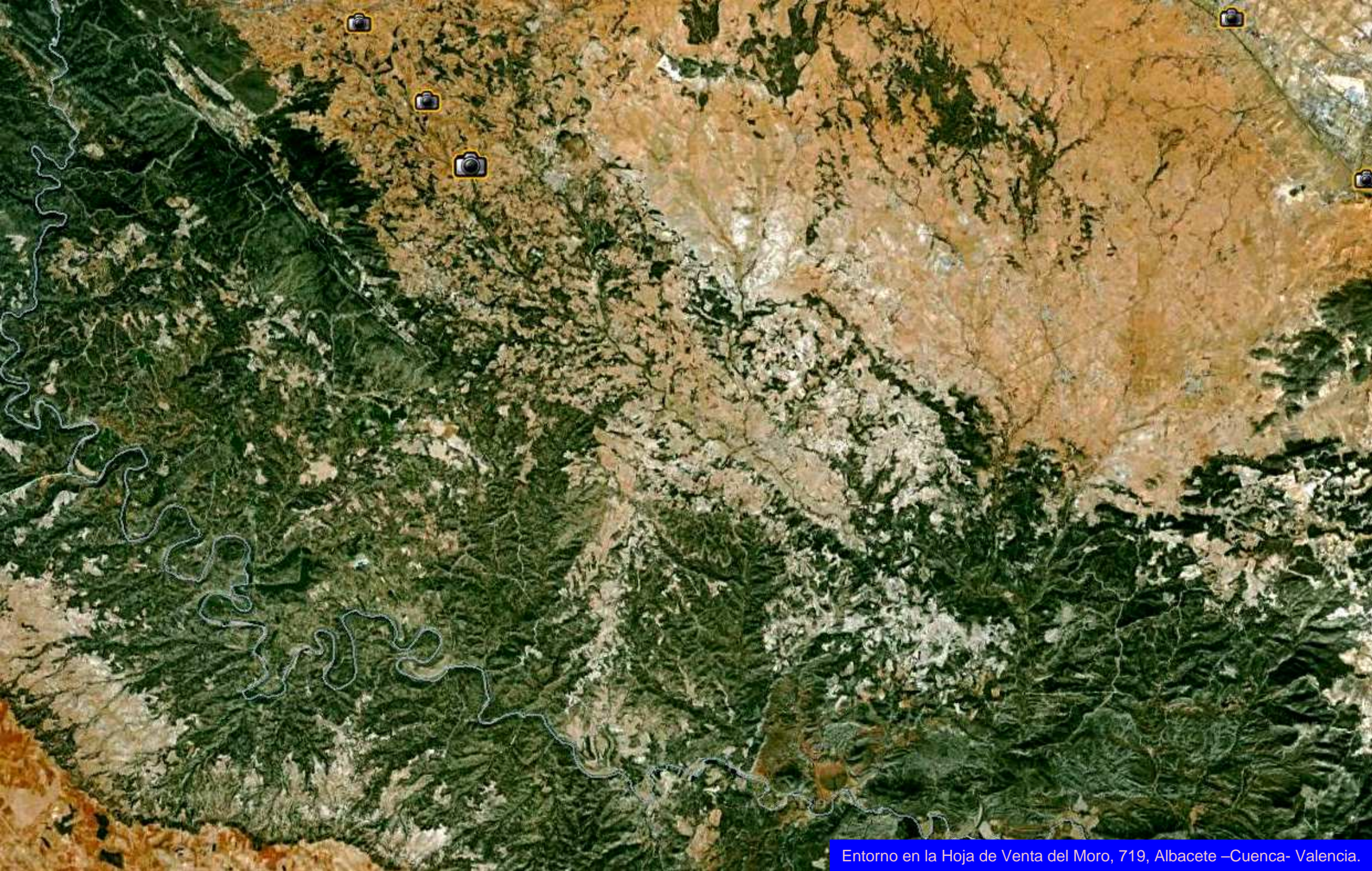
Talud Este. Fallas. Triásico. Dolomías-calizas, Muschelkalk.
Autopista Mediterraneo. Centro E Hoja de Burjaset.

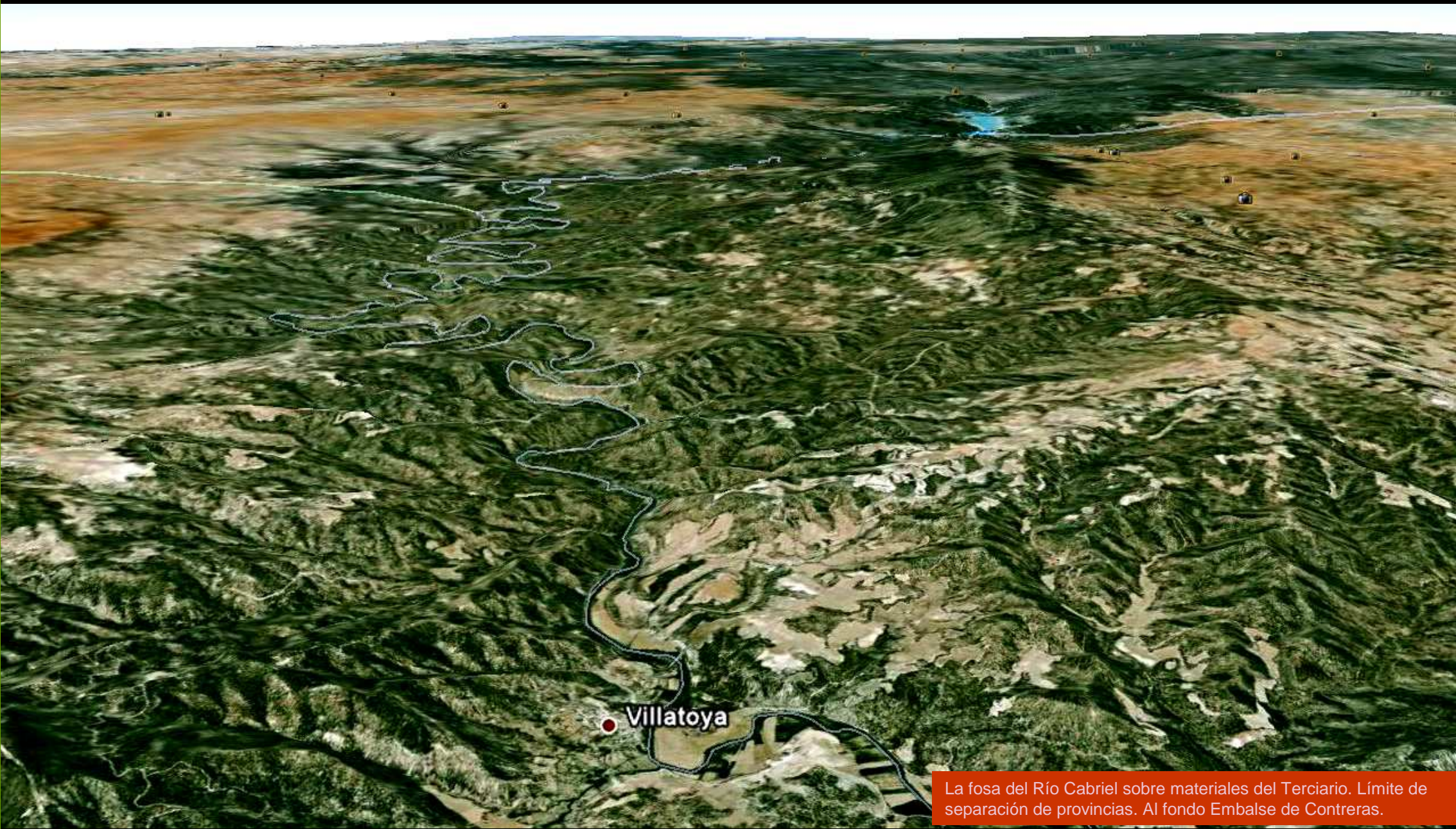


Areniscas y argilitas del Buntsandstein de El Puig. E Hoja de Burjasot.



Fallas en las areniscas del Buntsandstein de El Puig. E Hoja de Burjasot.





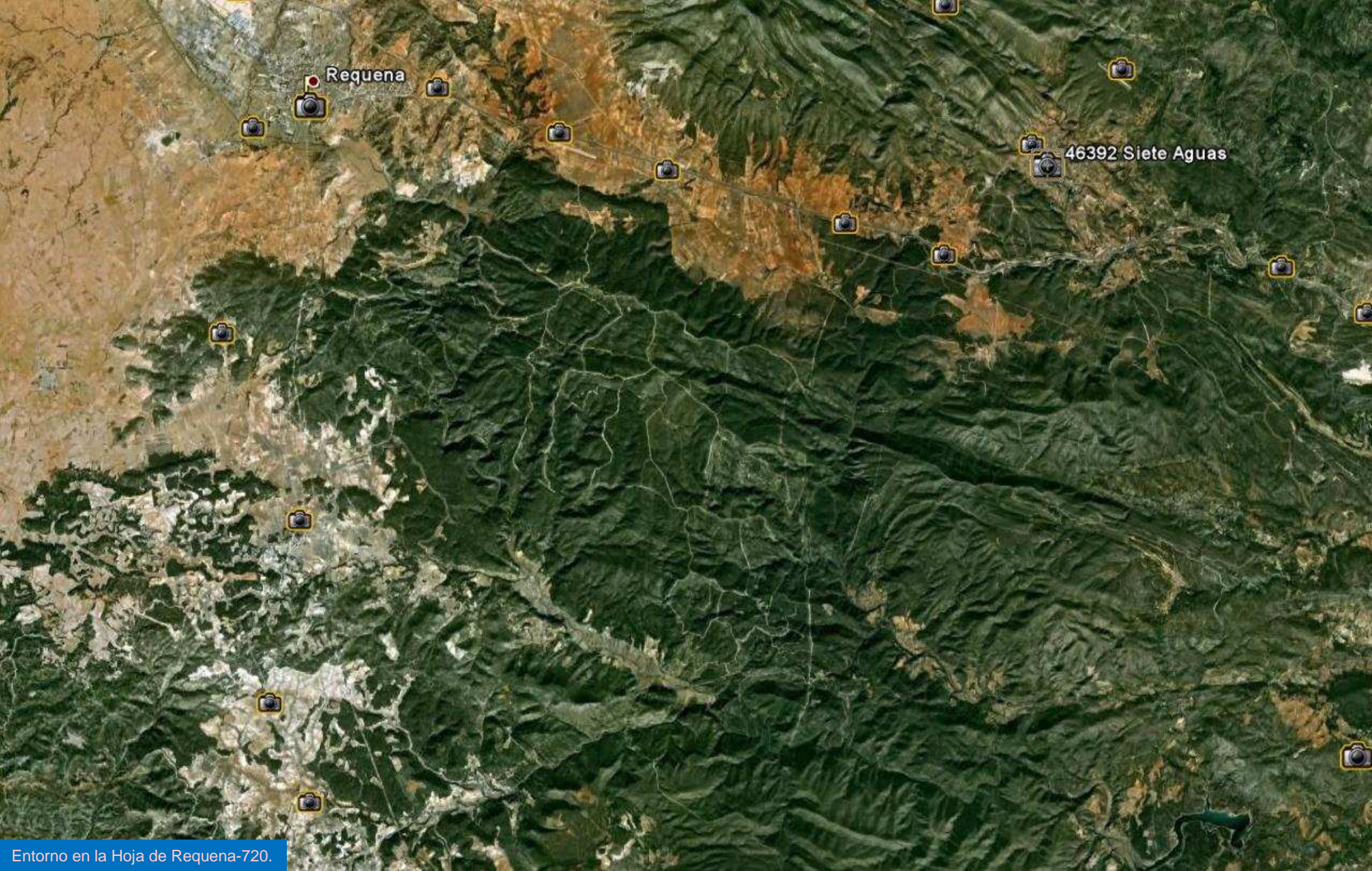
Villatoya

La fosa del Río Cabriel sobre materiales del Terciario. Límite de separación de provincias. Al fondo Embalse de Contreras.

Casas de Moya



Relieves de calizas verticales del Cretácico al W de Venta del Moro, vista desde el W. NW Hoja de Venta del Moro



Requena

46392 Siete Aguas



Margas arcillosas rojas, areniscas y conglomerados. Mioceno, Terciario. N Requena, Autovía E. NW Hoja de Requena



Procesos de erosión en las margas arcillosas rojas, areniscas y conglomerados. Mioceno, Terciario. N Requena, Autovía E. NW Hoja de Requena



Margas arcillosas rojas, areniscas y conglomerados. Mioceno, Terciario. N Requena, Autovía E. NW Hoja de Requena



El Rebollar

Relieves Mesozoicos y Terciarios del NE de la Hoja de Requena



El Rebollar

Red de humedad más superficial en los materiales del Cuaternario. NE Hoja de Requena.



Margas y arcillas rosadas y calizas conglomeráticas y brechoideas.
Cretácico- Terciario. Autovía SW de Siete Aguas. NE Hoja de Requena.



Calizas conglomeráticas y brechoides. Cretácico- Terciario.
Autovía SW de Siete Aguas. NE Hoja de Requena.



Pliegues, fallas, en dolomitas- calizas- Cretácicas y arcillas y margas Terciario. Autovía E. SW de Siete Aguas. NE Hoja de Requena.



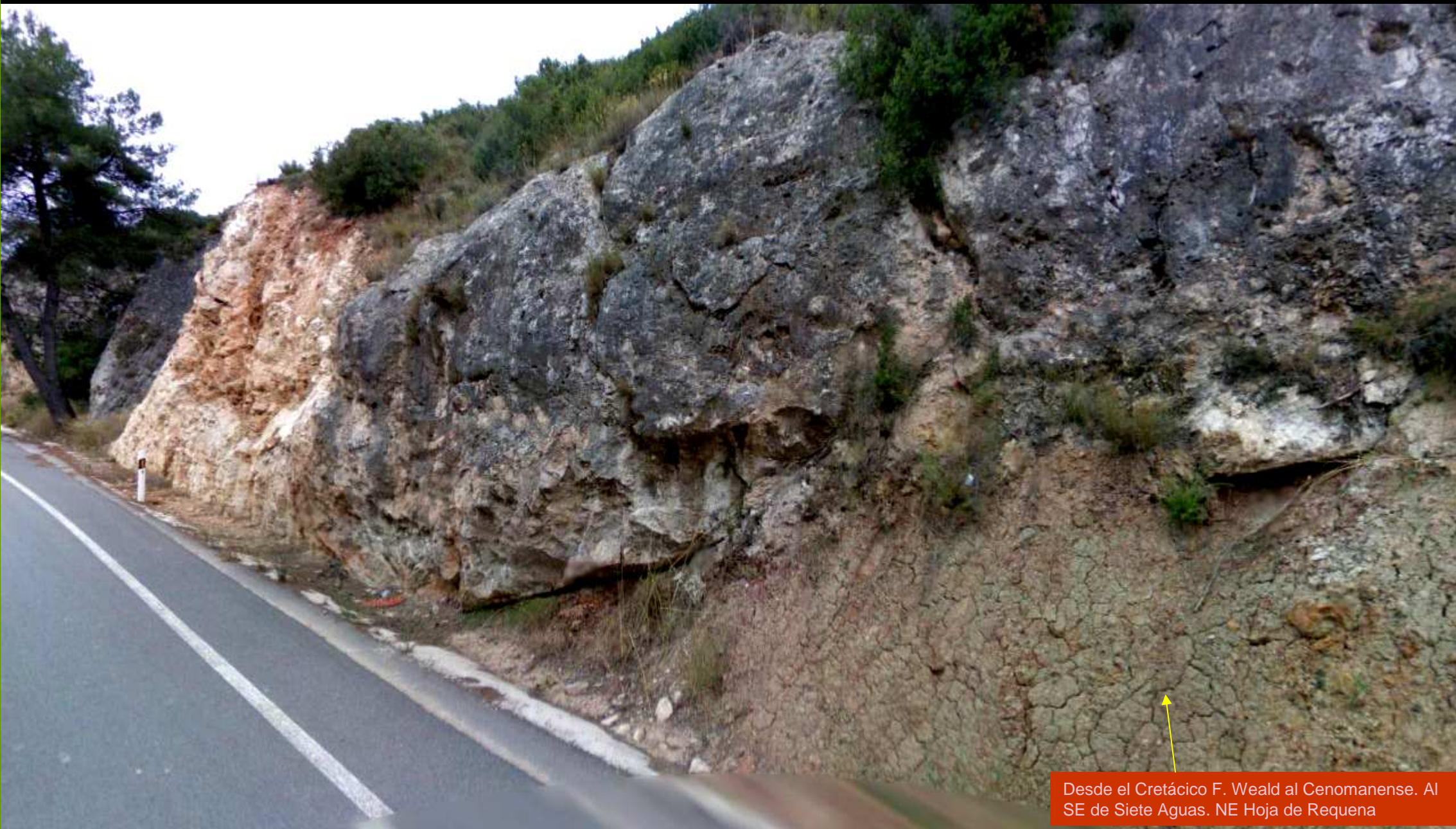
Margas y arcillas rosadas y varioladas Cretácico- Terciarias tectonizadas. S Siete Aguas. Autovía E. NE Hoja de Requena



Margas y arcillas rosadas y varioladas Cretácico- Terciarias. S Siete Aguas. Autovía E. NE Hoja de Requena



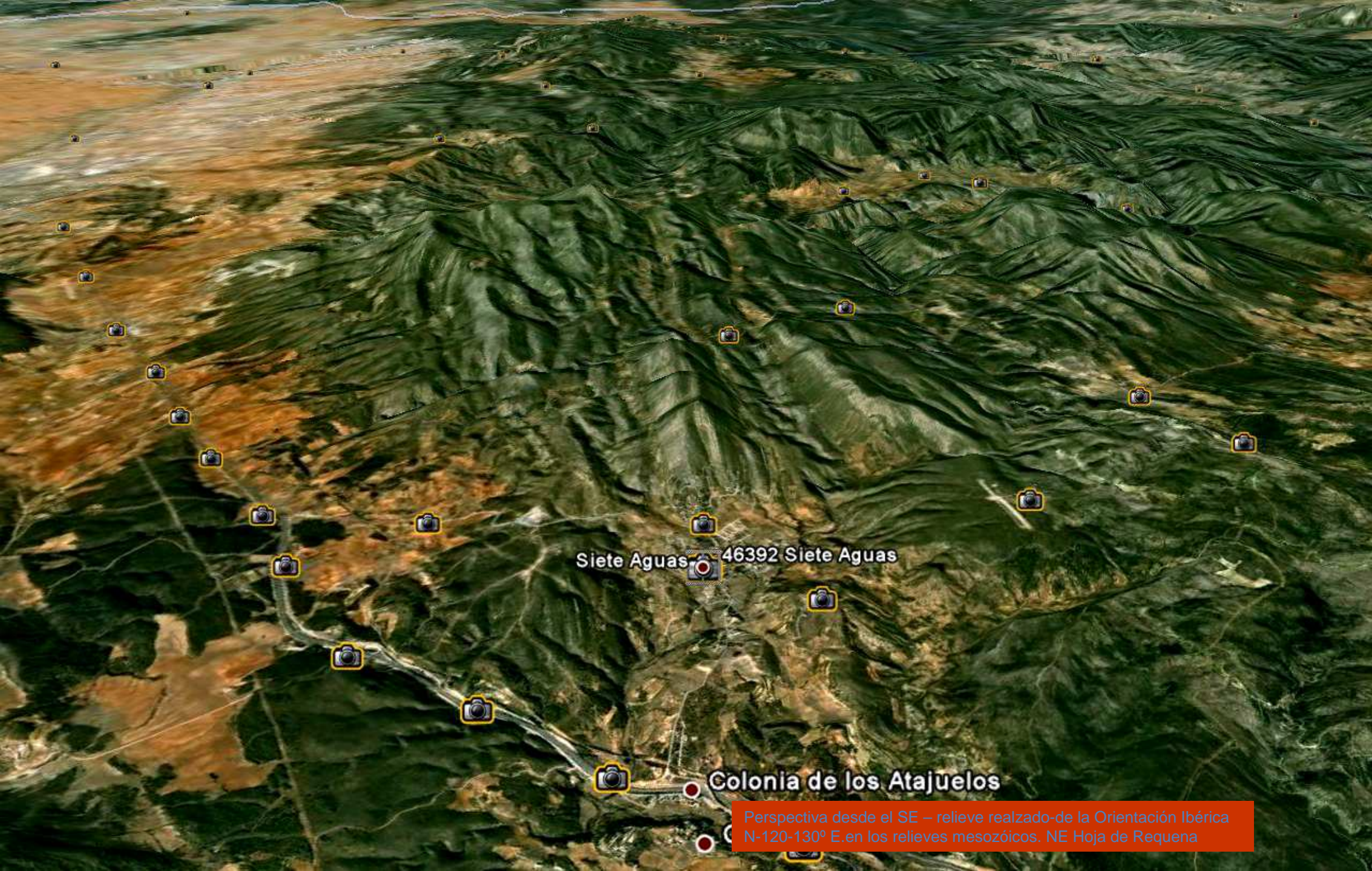
Margas arcillosas rojas y conglomerados del Mioceno, Terciario. Al SE de Siete Aguas. Autovía E. NE Hoja de Requena



Desde el Cretácico F. Weald al Cenomanense. Al SE de Siete Aguas. NE Hoja de Requena



Actuaciones en talud Autovía E sobre areniscas del Mioceno, Terciario. SE Urbanización Ventamina. Borde NE Hoja de Requena



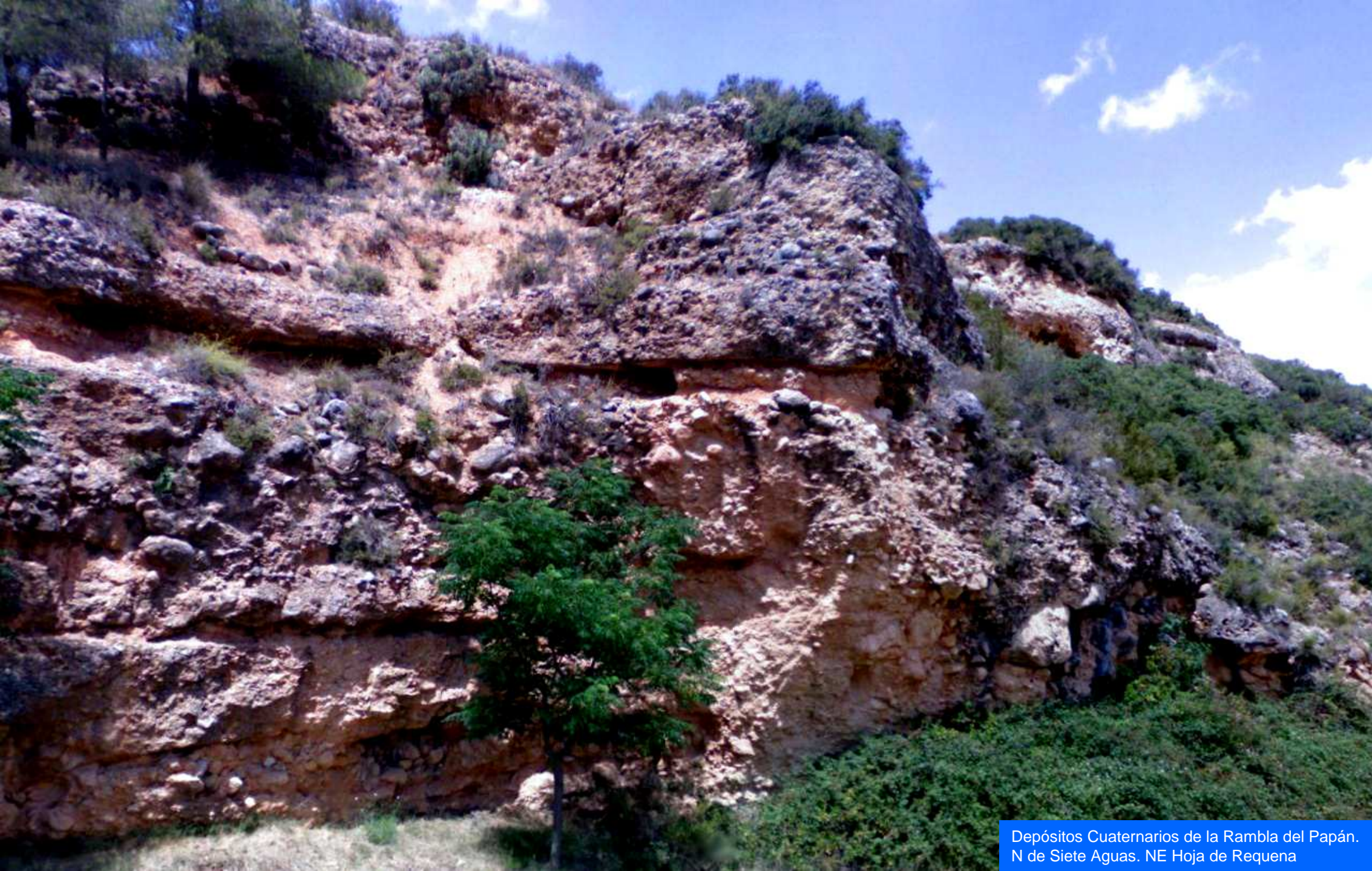
Siete Aguas 46392 Siete Aguas

Colonia de los Atajuelos

Perspectiva desde el SE – relieve realzado-de la Orientación Ibérica N-120-130° E.en los relieves mesozóicos. NE Hoja de Requena



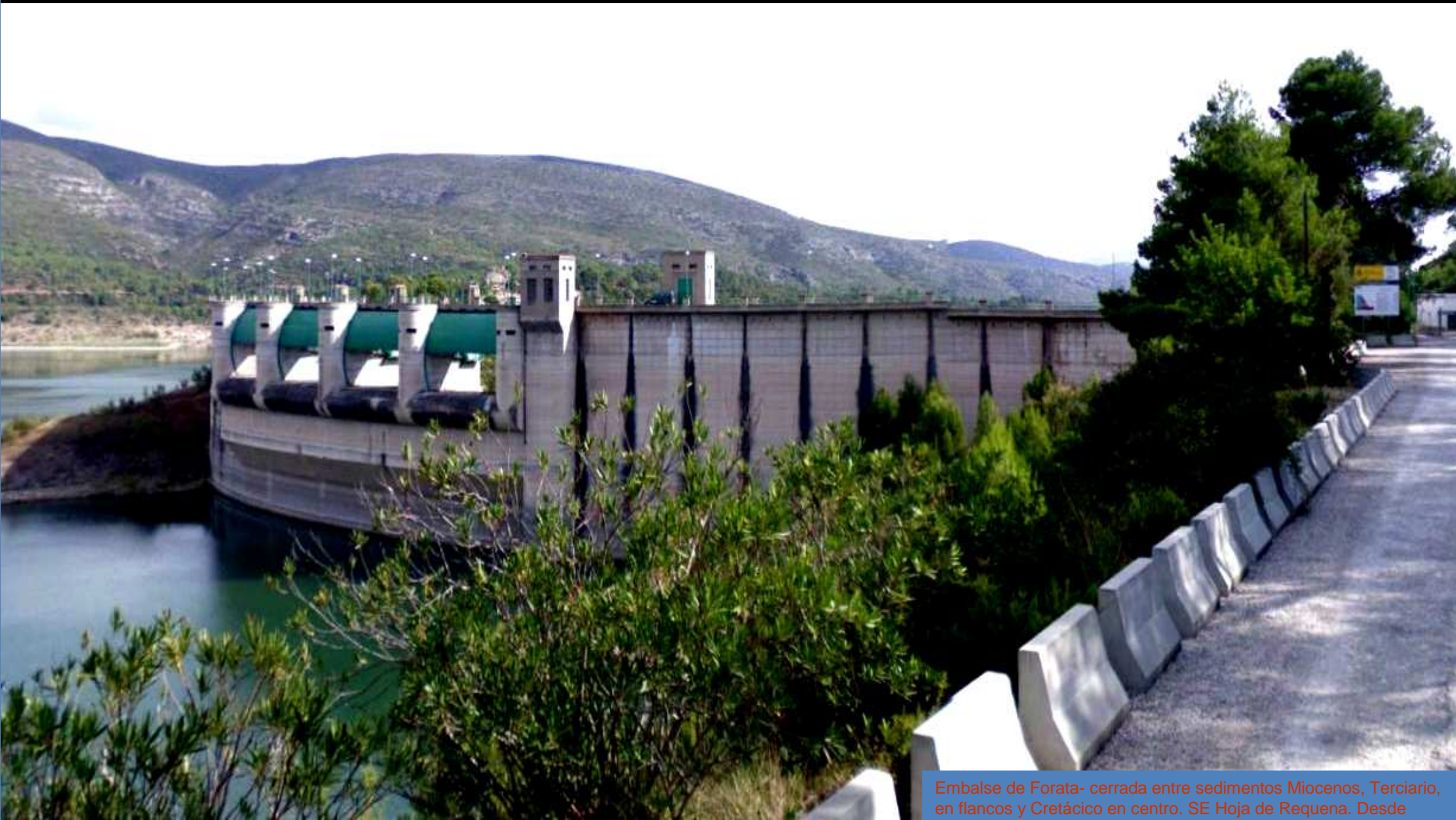
La estratificación subparalela a la directriz Ibérica – Imagen anterior-. Relieve realizado, NE Hoja de Requena



Depósitos Cuaternarios de la Rambla del Papán.
N de Siete Aguas. NE Hoja de Requena



Pantano de Forata. / Desde arriba -relieve realizado) SE Hoja de Requena (fotos de Chirin/ javi gar -Google)



Embalse de Forata- cerrada entre sedimentos Miocenos, Terciario, en flancos y Cretácico en centro. SE Hoja de Requena. Desde estribo derecho.



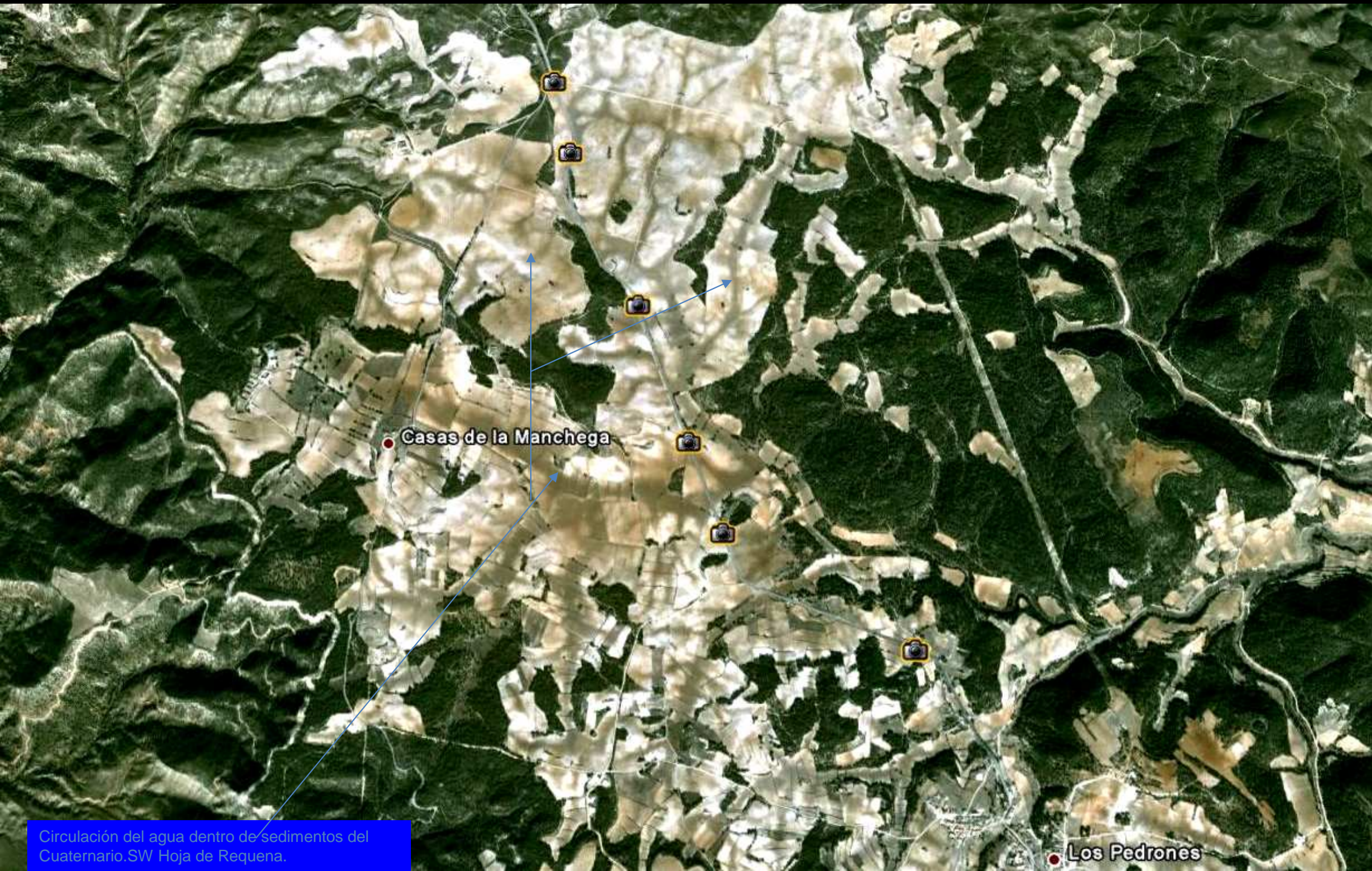
Embalse de Forata- cerrada entre sedimentos Miocenos, Terciario, en flancos y Cretácico en centro. SE Hoja de Requena Arriba Izquierda Cretácico Cenomanense –calcareniras- fallado.



En estribo izquierdo- el N- del Embalse de Forata.
Conglomerados del Mioceno, Terciario. SE Hoja de Requena.



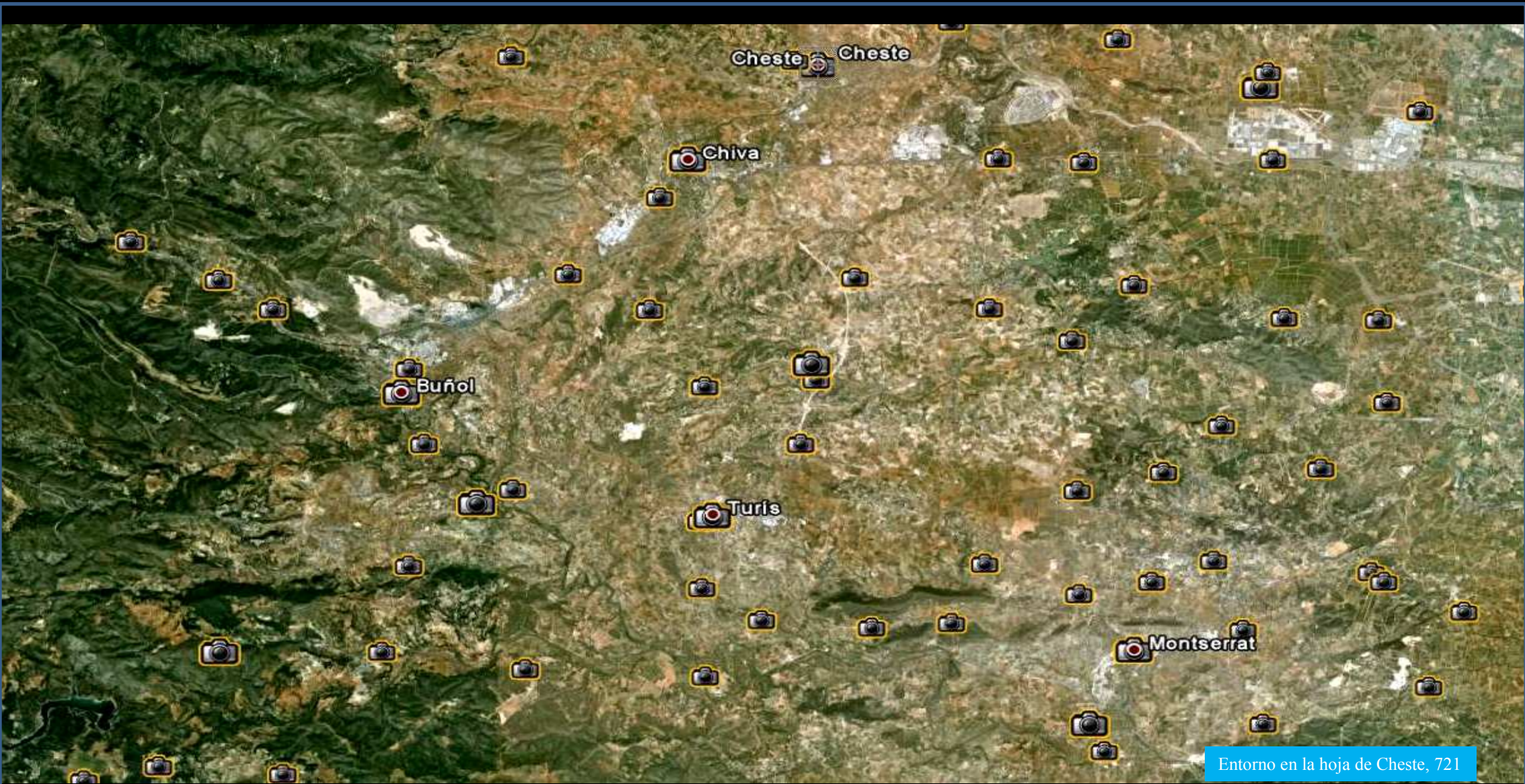
Mioceno, Terciario, Margo detrítico. S de La Portera. Centro SW Hoja de Requena



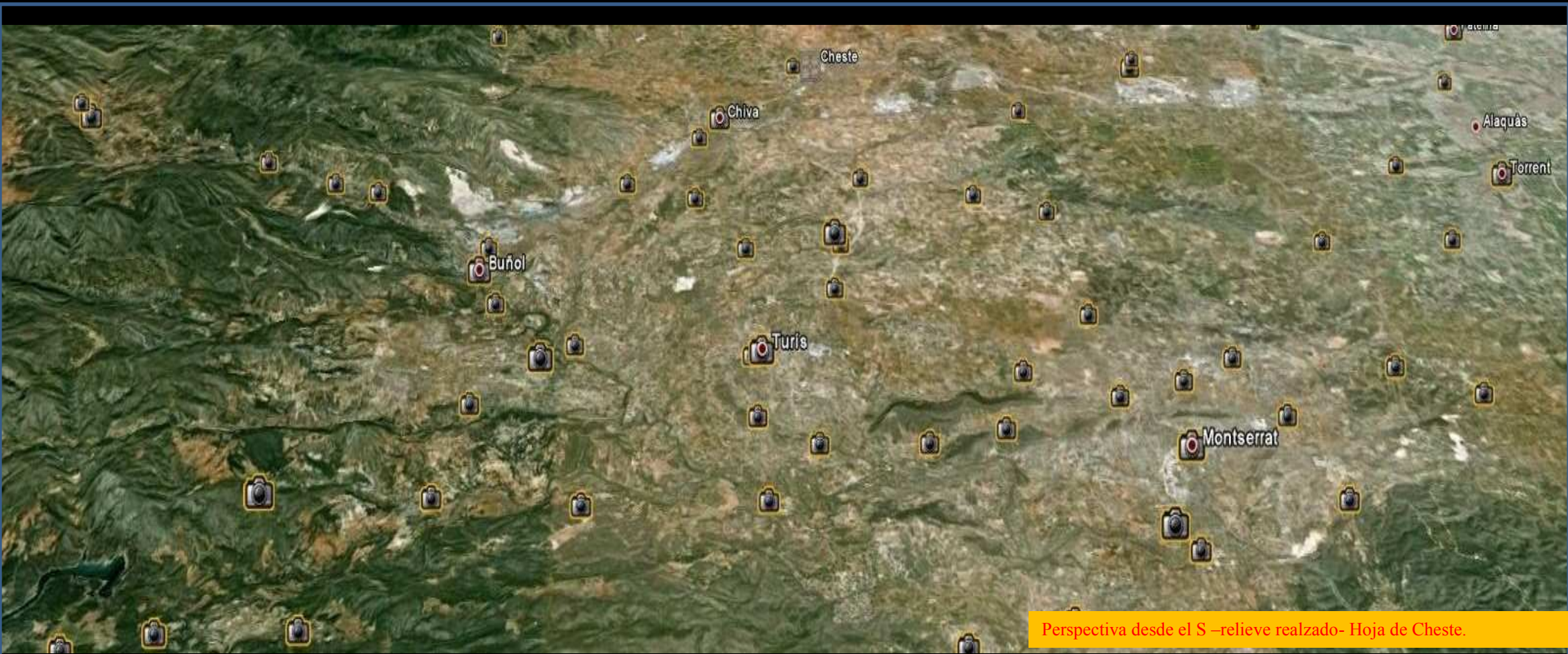
Casas de la Manchega

Los Pedrones

Circulación del agua dentro de sedimentos del Cuaternario. SW Hoja de Requena.



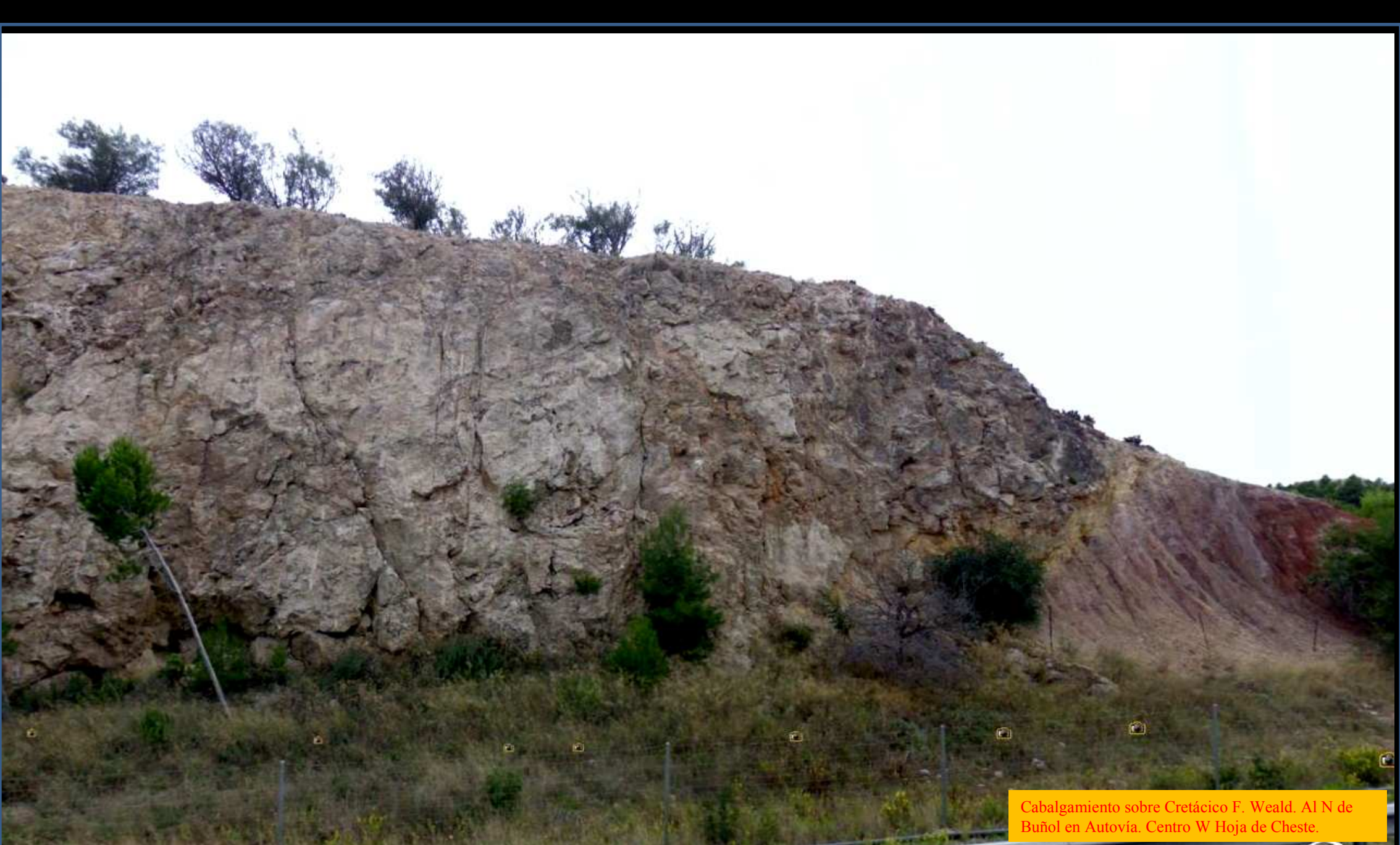
Entorno en la hoja de Cheste, 721



Perspectiva desde el S –relieve realzado- Hoja de Cheste.



Calizas falladas del Jurásico Sup. Autovía.
N. Buñol. Centro W Hoja de Ceste.



Cabalgamiento sobre Cretácico F. Weald. Al N de Buñol en Autovía. Centro W Hoja de Ceste.





Fallas entre materiales del Cretácico, y Terciario Paleógeno arenisco, al NW de Buñol en antigua carretera. W Hoja de Ceste



Areniscas, algunas gravas y limos arenosos del Paleógeno, Terciario- junto imagen anterior. Al NW de Buñol en antigua carretera. El Portillo. W Hoja de Ceste



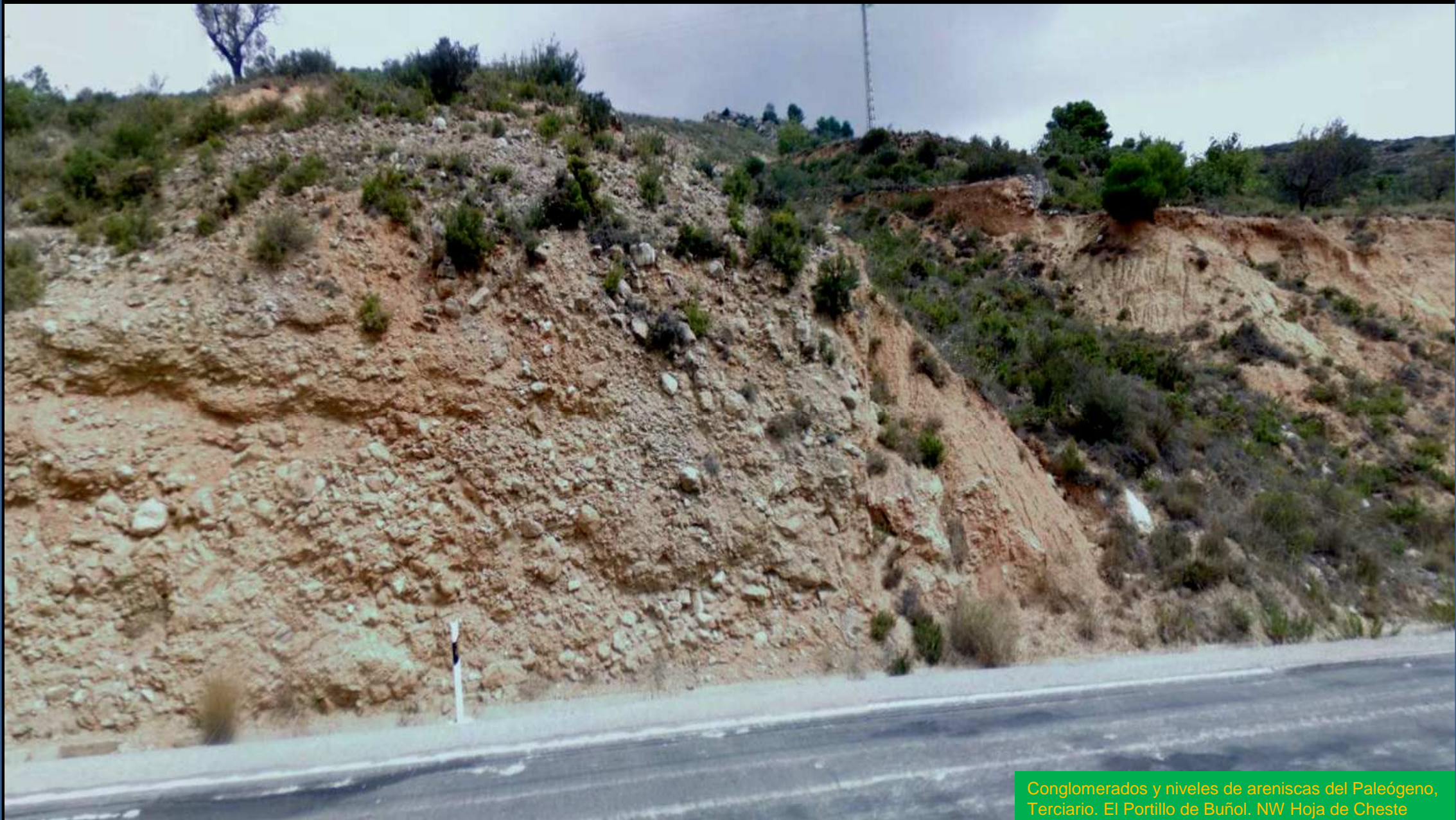
Arriba, calizas del Kimmeridgiense Med. Malm, Jurásico Sup., abajo, conglomerados y niveles de areniscas del Paleógeno, Terciario. El Portillo de Buñol NW Hoja de Cheste



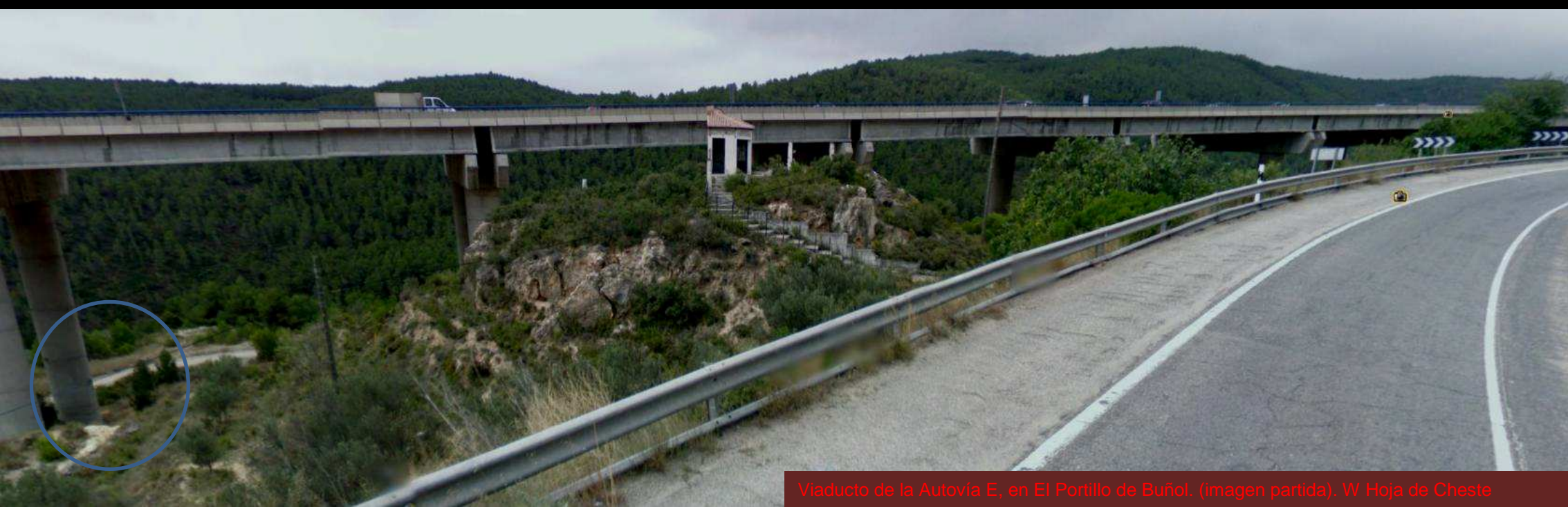
Areniscas del Paleógeno, Terciario. El Portillo de Buñol. NW Hoja de Cheste



Espejos de falla en las areniscas del Paleógeno, Terciario. El Portillo de Buñol. NW Hoja de Cheste



Conglomerados y niveles de areniscas del Paleógeno, Terciario. El Portillo de Buñol. NW Hoja de Cheste



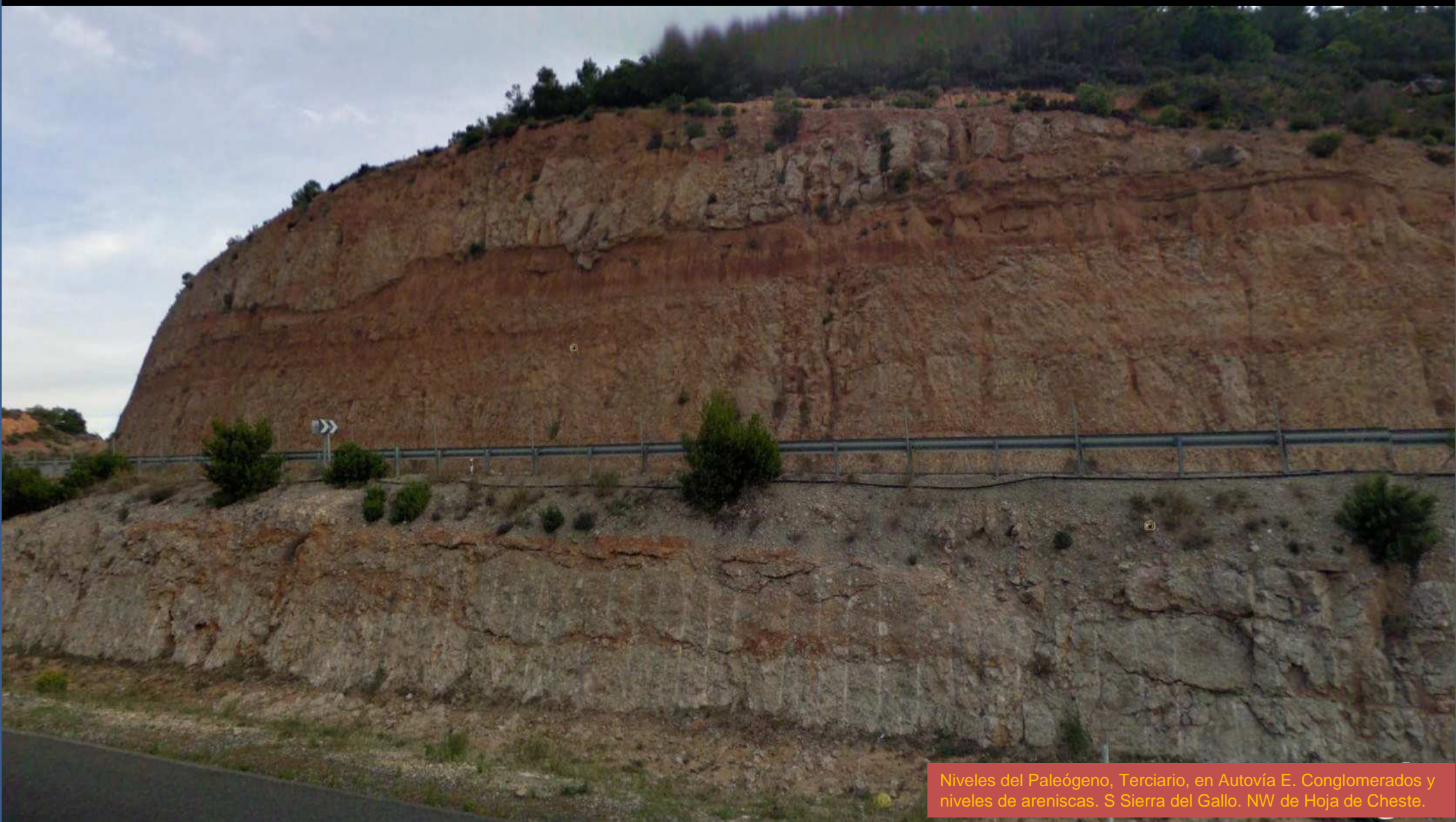
Viaducto de la Autovía E, en El Portillo de Buñol. (imagen partida). W Hoja de Cheste



Zona de basculamiento en las areniscas del Paleógeno, Terciario. SW del Portillo de Buñol. NW Hoja de Chesto



Conglomerados y areniscas del Paleógeno, Terciario.
Al SW Portillo de Buñol. NW Hoja de Cheste



Niveles del Paleógeno, Terciario, en Autovía E. Conglomerados y niveles de areniscas. S Sierra del Gallo. NW de Hoja de Chestre.



Sinclinal en los conglomerados y niveles de areniscas del Paleógeno, Terciario. Autovía, al S Sierra del Gallo. NW Hoja de Cheste



Pliegue en los conglomerados y niveles de areniscas del Paleógeno, Terciario. En Autovía, al S Sierra del Gallo. NW Hoja de Cheste



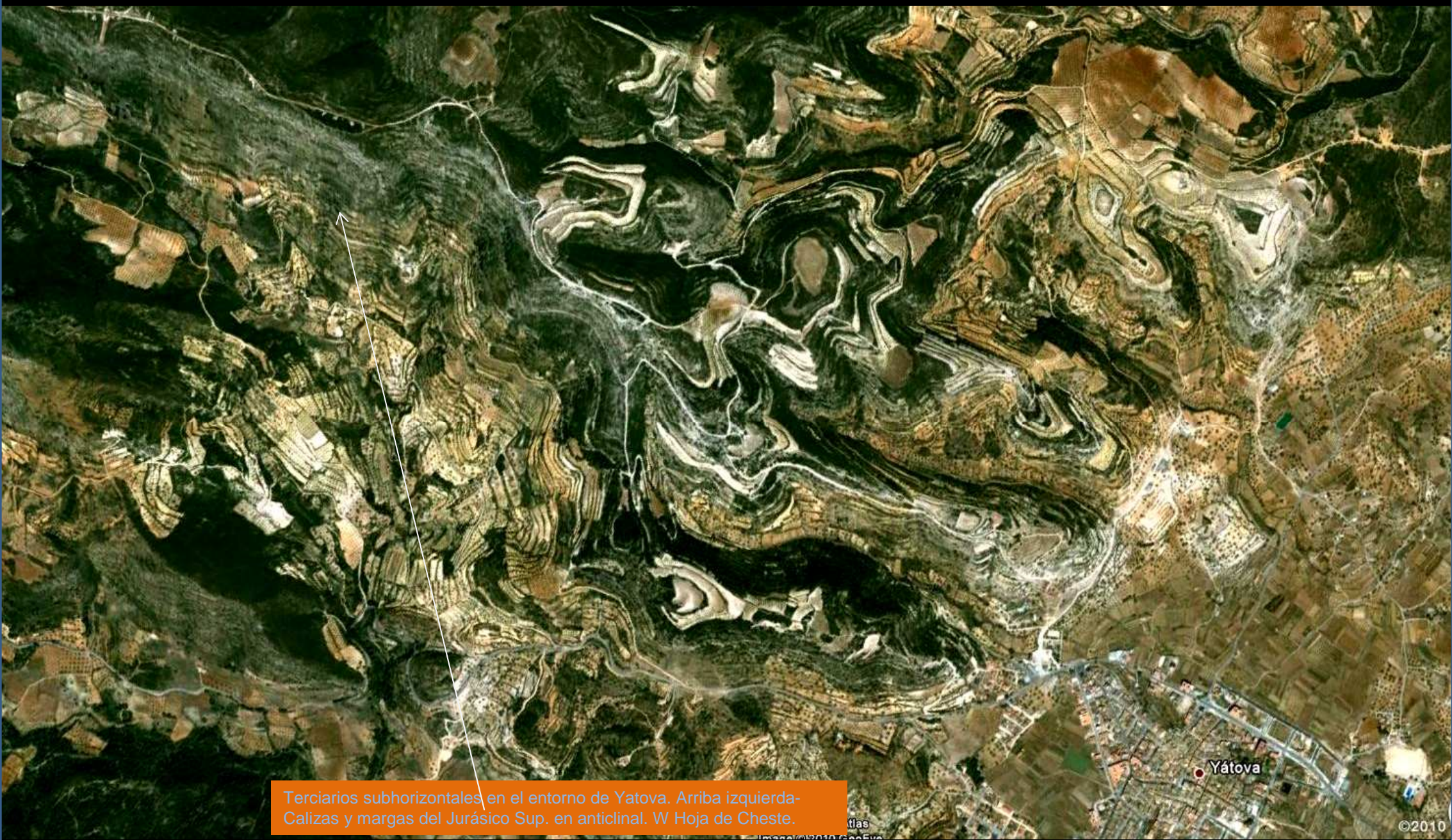
Sinclinal abierto y fallas en los conglomerados y niveles de areniscas del Paleógeno, Terciario. En Autovía, al S Sierra del Gallo, NW Hoja de Ceste



Fallo en la protección- Carretera Nacional Valencia- Madrid, E de La Roma; al S Sierra del Gallo. NW Hoja de Ceste

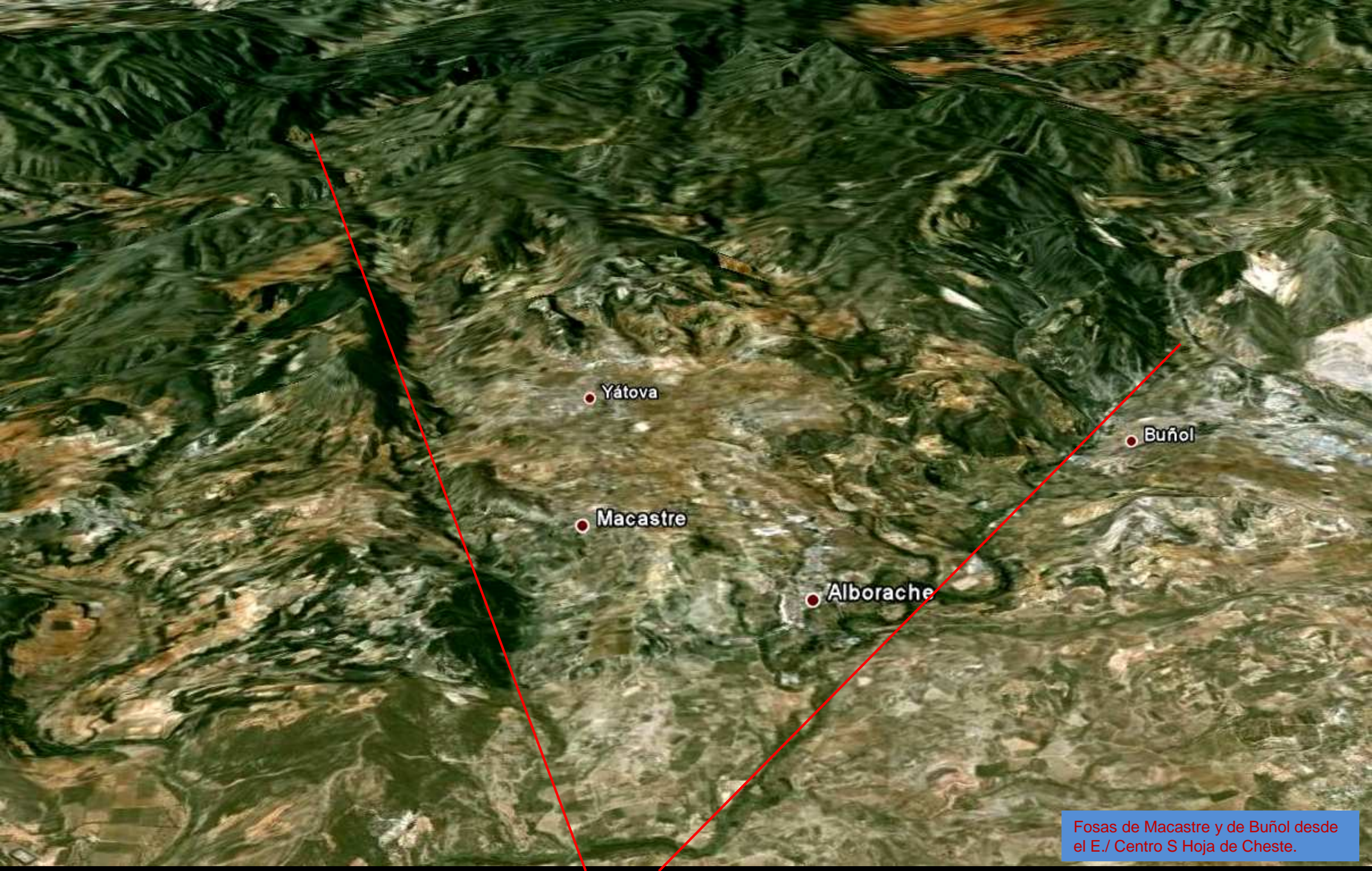


Medidas de protección en el Cretácico del talud de Autovía E. N de La Roma. NW Hoja de Ceste.



Terciarios subhorizontales en el entorno de Yatova. Arriba izquierda-Calizas y margas del Jurásico Sup. en anticlinal. W Hoja de Ceste.

Yátova



Yátova

Buñol

Macastre

Alborache

Fosas de Macastre y de Buñol desde el E./ Centro S Hoja de Ceste.



Arcillas versicolores Keuper, al SW de Macastre. SW Hoja de Ceste.



Arcillas versicolores Keuper, al SW de Macastre. SW Hoja de Ceste.



Margas grises con yesos del Paleógeno, Terciario
Al SW de Macastre SW Hoja de Ceste.



Contacto mecánico entre Terciario margoso y calizas micríticas del Santoniense, Cretácico Sup., Junto al Río Magro. SW Hoja de Ceste.



Zona fallada en las calizas micríticas del Santoniense, Cretácico Sup., Junto al Río Magro. SW Hoja de Ceste.



Conglomerados de cantos calcáreos del Paleógeno, Terciario, y, encima, suelo y terra rossa. Al Sur, junto Río Magro. SW Hoja de Ceste.



Conglomerados y areniscas del Neógeno,
Terciario. Junto Río Magro. SW Hoja de Ceste.



Calizas del Santiense, Cretácico Sup. Sumidero kárstico.
Al Norte meandro del Río Magro. SW Hoja de Cheste



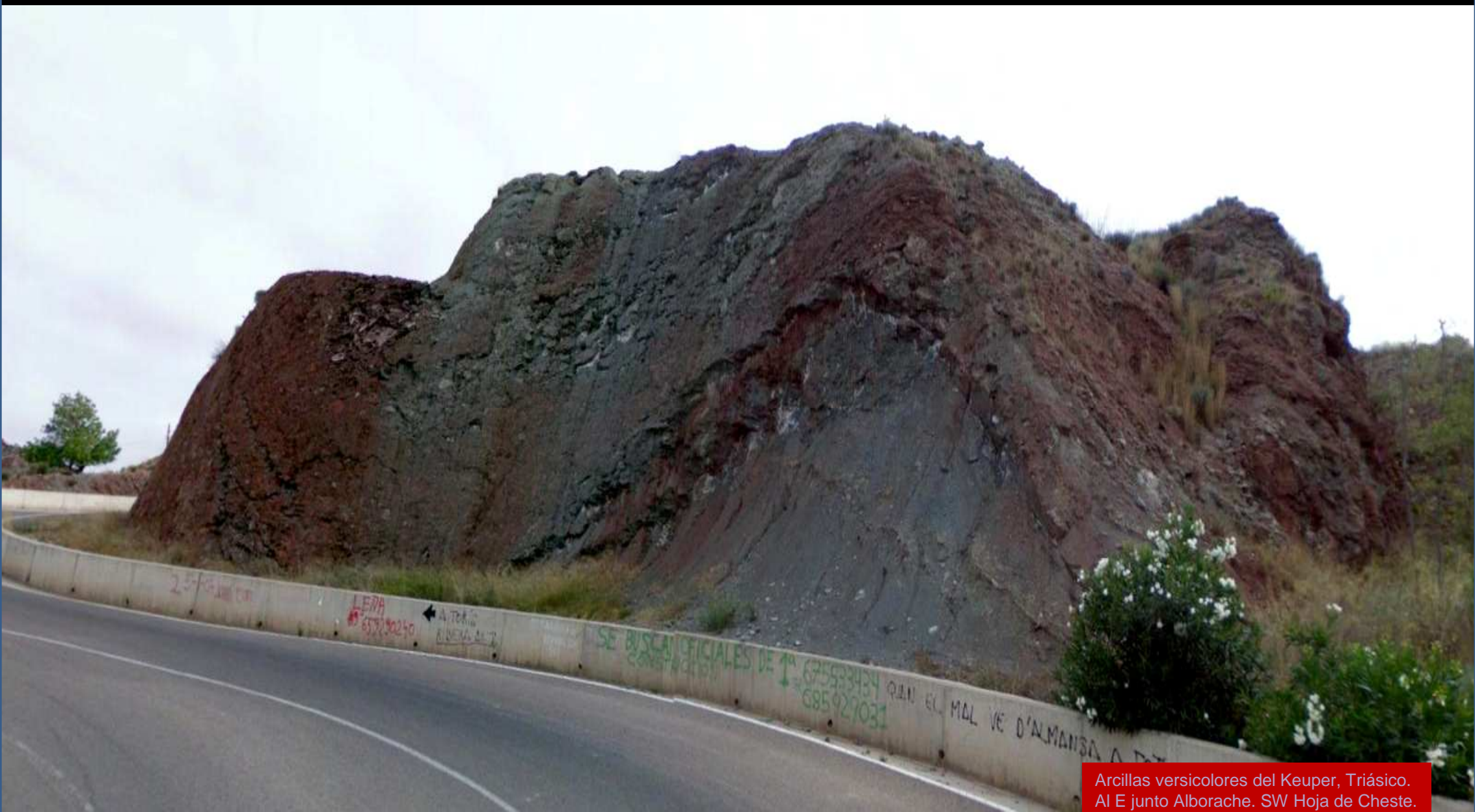
Calizas del Santoniense, Cretácico Sup. Al Norte meandro del Río Magro, SW Hoja de Caste



Detalle en la zona de la anterior -Calizas del Santoniense, Cretácico Sup. Al Norte meandro del Rio Magro. SW Hoja de Cheste



Si solo destaca él. ¿Lo llamamos 'nivel guía'? Cretácico Santiense. SW de La Fuentezuela. SW Hoja de Cheste,



Arcillas versicolores del Keuper, Triásico.
Al E junto Alborache. SW Hoja de Ceste.



Arcillas versicolores con yesos del Keuper, Triásico. Al E junto Alborache. SW Hoja de Ceste.



Arcillas versicolores con yesos del Keuper, Triásico. Al E junto Alborache. SW Hoja de Cheste.



Arcillas versicolores con yesos del Keuper, Triásico.
Al E junto Alborache. SW Hoja de Ceste.



Arcillas versicolores con yesos del Keuper, Triásico. Al E junto Alborache. SW Hoja de Ceste.



Arcillas con yesos del Keuper, Triásico. Al E junto Alborache. SW Hoja de Cheste.



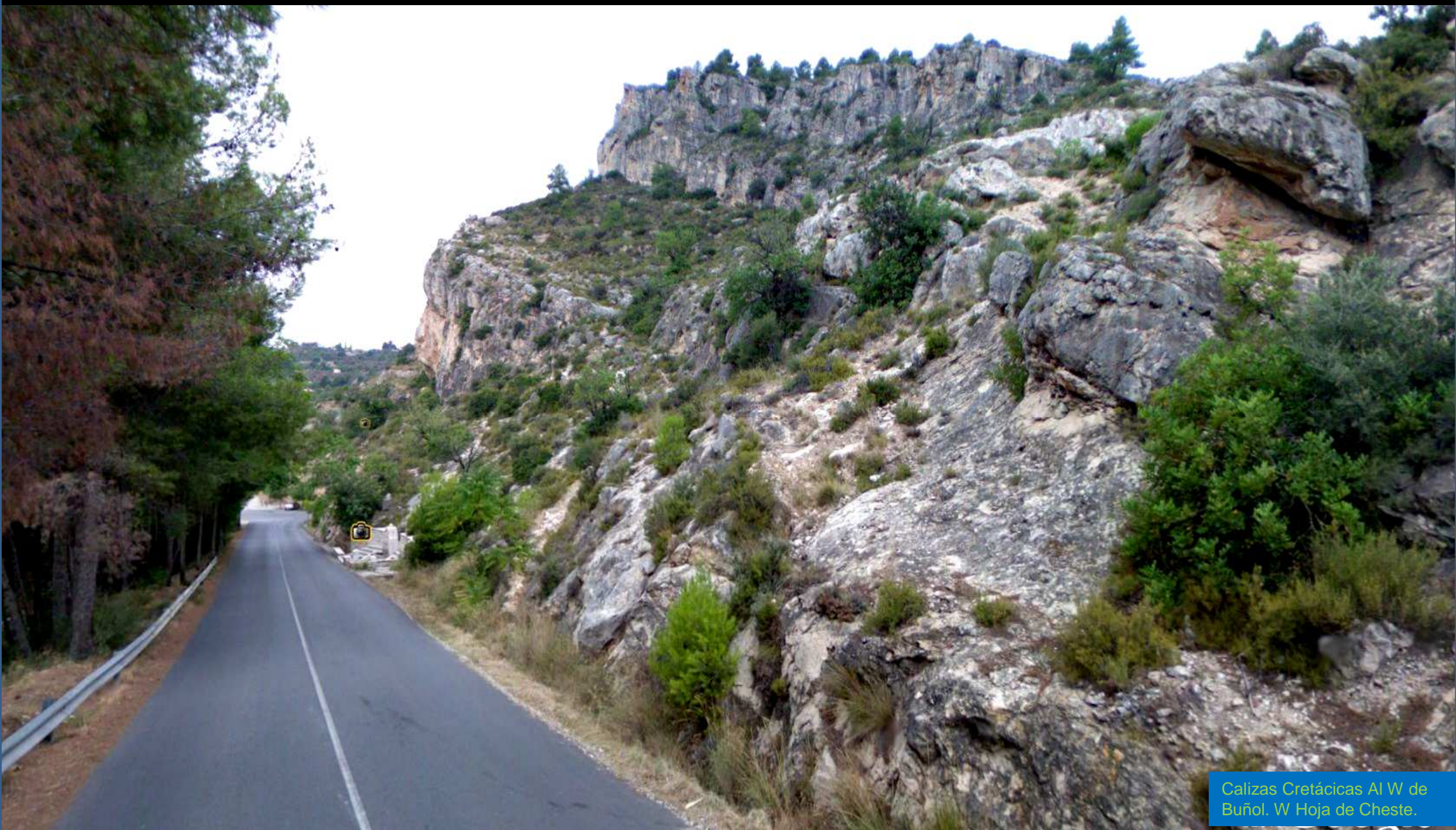
Arcillas versicolores con yesos del Keuper, Triásico. Entre Alborache y Turis. Centro S Hoja de Cheste.



Arcillas versicolores con yesos del Keuper, Triásico. Entre Alborache y Turis. Centro S Hoja de Cheste.



Yesos del Keuper al S de Turis. Centro Hoja de Ceste.



Calizas Cretácicas Al W de Buñol. W Hoja de Cheste.



Falla – y posibles estructuras de arrastre- en las margas del Neógeno, Terciario. Autovía E. S de Chiva. Centro N Hoja de Cheste.



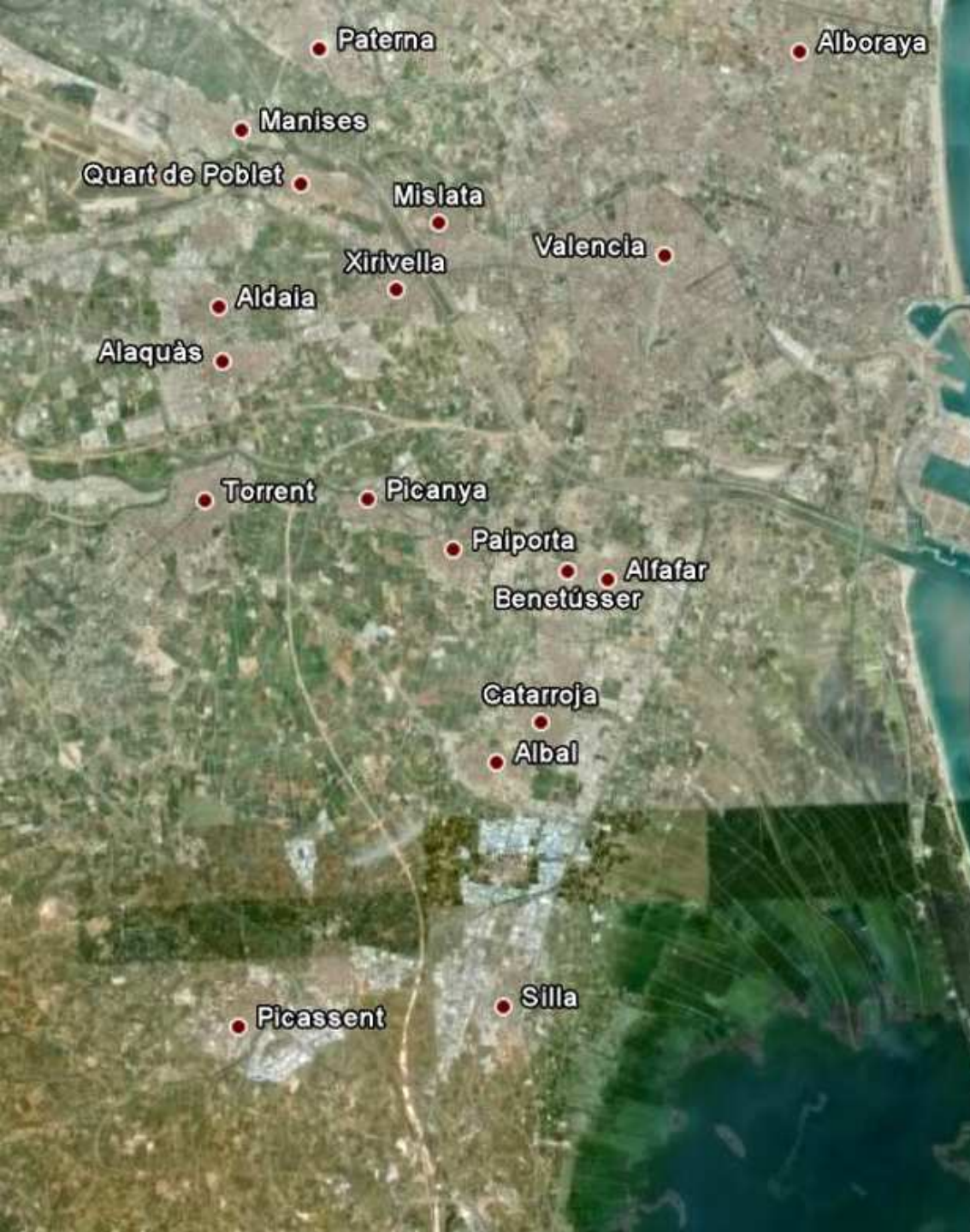
Falla normal en las margas del Neógeno al S de Chiva en la Autovía E. Centro N Hoja de Cheste



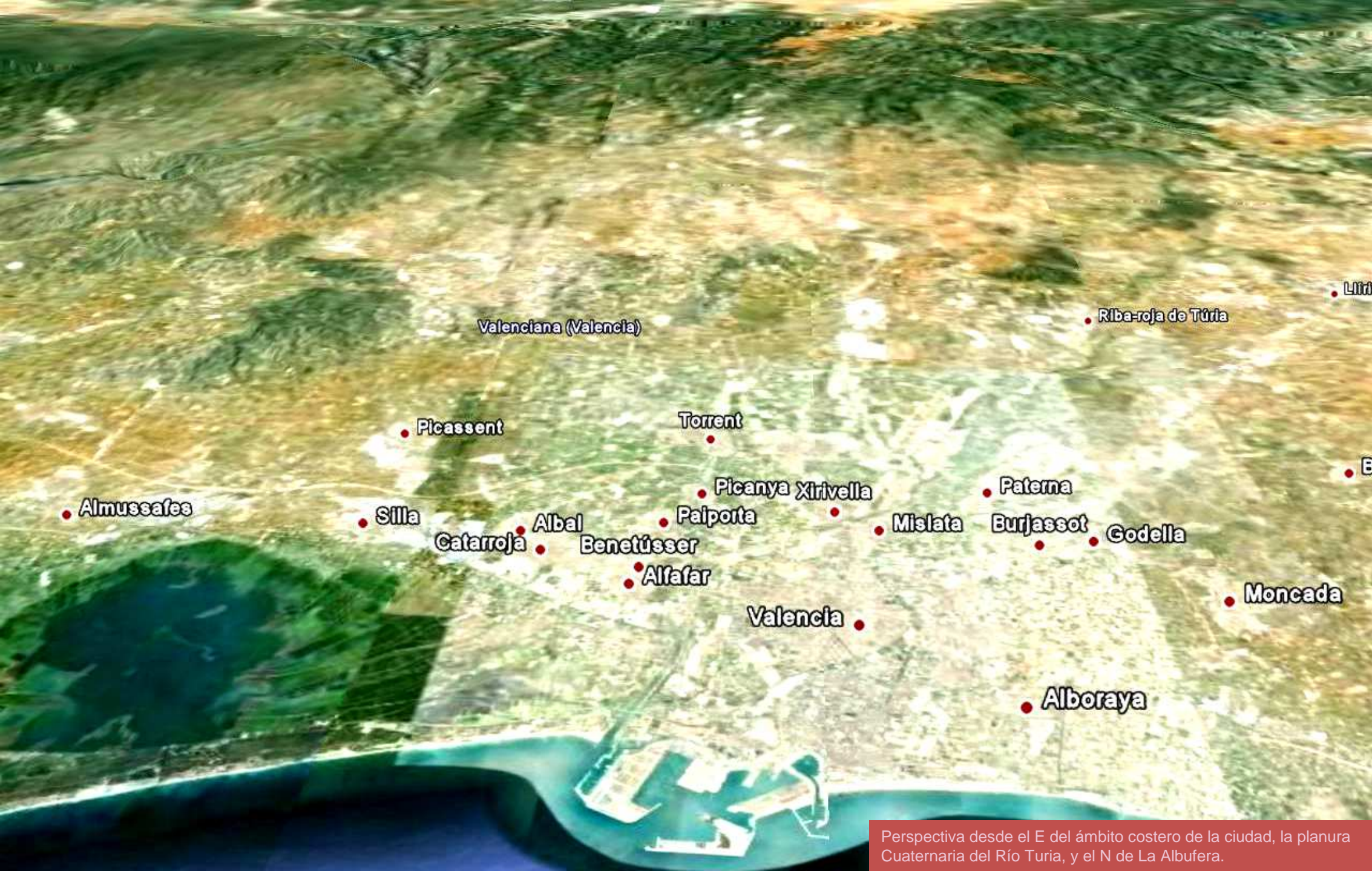
Caseta El Clavel

Santo Domingo

Relieves de la Sierra Perenchiza. Materiales Cretácicos- en el centro- y Terciarios en flancos. En primer plano cantera. Perspectiva- relieve realzado- desde el SE. S Hoja de Cheste.



Entorno en la Hoja de Valencia. 722.



Valenciana (Valencia)

Riba-roja de Túria

Picassent

Torrent

Almussafes

Silla

Catarroja

Albal

Benetússer

Alfafar

Paiporta

Picanya Xirivella

Mislata

Paterna

Burjassot

Godella

Valencia

Moncada

Alboraya

Perspectiva desde el E del ámbito costero de la ciudad, la planura Cuaternaria del Río Turia, y el N de La Albufera.



Playa del Saler, Al S. (Tonio Castells- google) / Playa La Patacona Al N (Petercero-google)



Ámbito de la zona central de la Albufera desde el E. Sur Valencia



Gola y Albufera. Carretera de El Palmar. E Hoja de Valencia



Zona norte de los terrenos de La Albufera.
SW de El Palmar. Hoja de Valencia.



Zona norte de los terrenos de La Albufera.
NE de Silla. Hoja de Valencia.



Maria

La Albufera (per maria-xesus, google)



Imagen de Mark Kovalenko en google . Barranco de Chulilla

He hecho este recorrido consultando los Mapas Geológicos de Terriente, 589; Ademuz, 612; Camarena de La Sierra, 613; Landete, 637; Alpuente, 638; Jérica, 639; Mira, 665; Chelva, 666; Villar del Arzobispo, 667; Sagunto, 668; Utiel, 693; Chulilla, 694; Liria, 695; Burjasot, 696; Venta del Moro, 719; Requena, 720; Cheste, 721 y Valencia, 722.

Las mayúsculas sueltas son N- Norte; S- Sur; E- Este; W -Oeste. Y las épocas geológicas –Sup. Superior; Med- Medio; Inf- Inferior. En ocasiones no he señalado ciertas fallas, pliegues, discordancias.. para que tu...

Para saber como ampliarlo consulta el archivo del mismo autor 'SALIR AL CAMPO' en Riunet de la Universidad Politécnica de Valencia.

Todas las imágenes se encuentran en Google Earth- 5--capas 'Street View' y 'Fotos Panoramio'. Vete a verlas. Y amplía para ti esta colección.

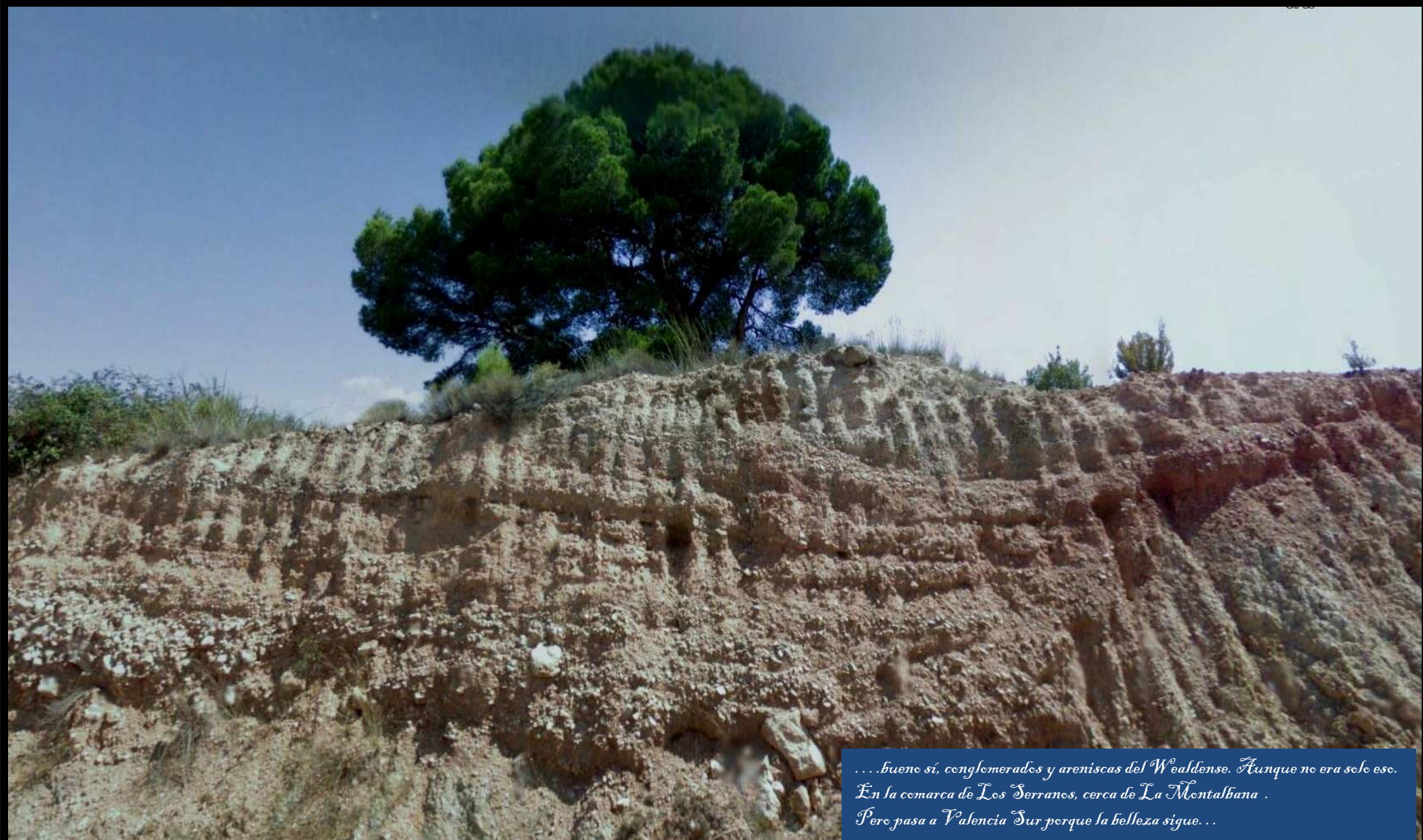
Si, ojalá los de Google hubiesen recorrido la zona de...Pero aún así, hay tanto por disfrutar ... (teniendo una buena tarjeta gráfica ..por los colores sobre todo)

Y no me olvido, también, de ampliar la dedicatoria y agradecimiento a todos aquellos que con su trabajo de cuidar las carreteras...

Luis Angel Alonso Matilla



...Es una preciosidad ..sencilla. Y encima es una pequeña falla en las calizas arcillosas del Dogger, Jurásico Med., con surgencia de agua en el talud. Zona W Embalse de Benageber. W Hoja de Chelva



*...buena sí, conglomerados y areniscas del Wealdense. Aunque no era solo eso.
En la comarca de Los Serranos, cerca de La Montalbana .
Pero pasa a Valencia Sur porque la belleza sigue...*



(foto de barranc- de google)



....y además dicen que su agua.....



A Valencia Sur.